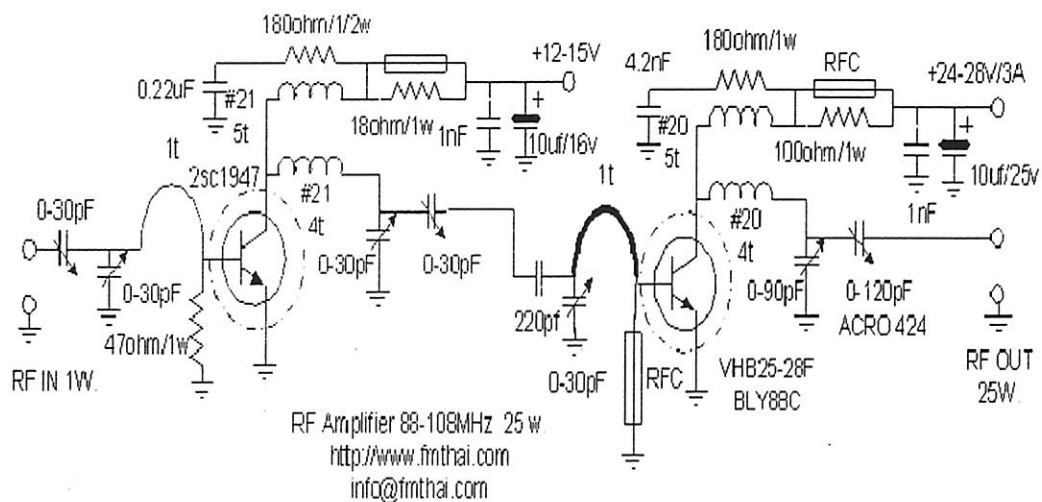


การออกแบบวงจรความถี่สูง



ผศ.ดร.ชาญชัย ทองโสภณ

บทที่ 1

อุปกรณ์ทางด้านความถี่สูง

1.1 แถบสเปกตรัมความถี่ (Frequency Spectrum)[1]

เนื่องจากขอบเขตการใช้งานมีอย่างกว้างขวาง เกี่ยวกับการใช้ย่านความถี่ จากนั้นได้มีความพยายามในการจัดจำพวกของแถบความถี่ ในสมัยเริ่มแรกมีการออกแบบเพื่อใช้ในงานอุตสาหกรรมและพัฒนานำมาใช้ในองค์กรของสหรัฐอเมริกาโดยกองทัพภายหลังจากสงครามโลกครั้งที่ 2 มีการจัดกลุ่มแถบความถี่ทั้งหมดในปัจจุบันได้มีหน่วยงานที่ได้ดูแลเกี่ยวกับการใช้แถบความถี่คือ Institute of Electrical and Electronic Engineers หรือเรียกว่า IEEE สามารถแบ่งแถบความถี่ใช้งานตามมาตรฐาน IEEE ดังนี้

ตารางที่ 1.1 แสดงการแบ่งแถบความถี่ใช้งานตามมาตรฐาน IEEE(IEEE Frequency Spectrum) [1]

Frequency Band	Frequency	Wavelength
ELF (Extreme Low Frequency)	30-300 Hz	10,000-1000 km
VF (Voice Frequency)	300-3000 Hz	1000-100 km
VLF (Very Low Frequency)	3-30 kHz	100-10 km
LF (Low Frequency)	30-300 kHz	10-1 km
MF (Medium Frequency)	300-3000 kHz	1-0.1 km
HF (High Frequency)	3-30 MHz	100-10 m
VHF (Very High Frequency)	30-300 MHz	10-1 m
UHF (Ultrahigh Frequency)	300-3000 MHz	100-10 cm
SHF (Superhigh Frequency)	3-30 GHz	10-1 cm
EHF (Extreme High Frequency)	30-300 GHz	1-0.1 cm
Decimillimeter	300-3000 GHz	1-0.1 mm
P Band	0.23-1 GHz	130-30 cm
L Band	1-2 GHz	30-15 cm
S Band	2-4 GHz	15-7.5 cm
C Band	4-8 GHz	7.5-3.75 cm
X Band	8-12.5 GHz	3.75-2.4 cm
Ku Band	12.5-18 GHz	2.4-1.67 cm
K Band	18-26.5 GHz	1.67-1.13 cm
Ka Band	26.5-40 GHz	1.13-0.75 cm
Millimeter wave	40-300 GHz	7.5-1 mm
Submillimeter wave	300-3000 GHz	1-0.1 mm

สำหรับพื้นฐานจากตารางที่ 1.1 และการคำนวณค่าของคลื่นพลาสมาสามารถหาได้จาก การใช้งานย่านความถี่ต่าง ๆ เช่น ย่านความถี่ VHF/UHF ใช้งานในย่านของการรับ-ส่งสัญญาณโทรทัศน โดยทั่วไปการใช้งานที่ไม่ยุ่งยากมากจะอยู่ในย่านความถี่ประมาณ 30 GHz ย่านความถี่ไม่เกินของ EHF (Extreme High Frequency)

สำหรับย่านความถี่ส่งสัญญาณวิทยุ จะอยู่ระหว่าง VHF ถึง S-band สำหรับย่านความถี่ไมโครเวฟจะใช้งานที่เกี่ยวกับระบบของเรดาร์อยู่ในย่าน C-band และสูงกว่านั้น

1.2 พฤติกรรมอุปกรณ์ทางด้านความถี่สูง [1,2]

จากกรวิเคราะห์วงจรไฟฟ้ากระแสสลับโดยทั่วไป (AC Circuit) ที่ประกอบไปด้วย ค่าของตัวต้านทาน (R) ค่าของตัวเก็บประจุ (C) และค่าของตัวเหนี่ยวนำ (L) ซึ่งสามารถเขียนค่าความต้านทานของ C และ L ได้คือ X_C และ X_L ตามลำดับ

$$X_C = \frac{1}{\omega C} \quad (1.1)$$

$$X_L = \omega L \quad (1.2)$$

ความสัมพันธ์ในสมการที่ (1.1) โดยการยกตัวอย่าง กำหนดให้ $C = 1pF$ และ $L = 1nH$ ที่ความถี่ต่ำ $60Hz$ จะทำให้เกิดเงื่อนไข การเปิดหรือปิดวงจร อย่างใดอย่างหนึ่งดังสมการ

$$X_C(60Hz) = \frac{1}{2\pi \cdot 60 \cdot 10^{-12}} \cong 2.65 \times 10^9 \Omega \approx \infty \quad (1.3)$$

$$X_L(60Hz) = 2\pi \cdot 60 \cdot 10^{-9} \cong 3.77 \times 10^{-7} \Omega \approx 0 \quad (1.4)$$

เส้นคู่ขนานของลายวงจรพิมพ์ (Printed Circuit Board: PCB) การจัดวางเส้นก็จะมีผลต่อความถี่ รวมทั้งค่าความต้านทานและค่าความเหนี่ยวนำด้วย เช่น ลวดตัวนำทองแดงรูปทรงกระบอกมีรัศมี คือ a มีความยาว l และมีค่าความนำ σ_{cond} สามารถหาค่าความต้านทานทางกระแสตรงได้คือ

$$R_{DC} = \frac{l}{\pi a^2 \sigma_{cond}} \quad (1.5)$$

ถ้ารับสัญญาณที่เป็นกระแสตรง จะคิดกระแสทั้งหมดที่ไหลผ่านตัวนำ แต่สำหรับกรณีที่เป็นกระแสสลับ จะมีความยุ่งยากกว่าเนื่องจากประจุมีการไหลสลับทำให้เกิดสนามแม่เหล็กและสนามไฟฟ้า ตามกฎของฟาราเดย์ (Faraday's law) ซึ่งจะเกิดในทิศทางขวางกับการไหลของกระแสจากจุดกำเนิด ค่าความเข้มสูงสุดจะอยู่ที่จุดศูนย์กลาง ($r = 0$) ดังนั้น การเพิ่มขึ้นของค่าความต้านทานจะสูงขึ้นที่บริเวณจุดศูนย์กลางของตัวนำ ส่งผลให้การไหลของกระแสจะอยู่บริเวณขอบรอบนอกของลวดตัวนำเมื่อความถี่ใช้งานสูงขึ้น ในทิศทางการไหลของกระแส z การคำนวณหาค่า ความหนาแน่นของกระแส J_z สามารถเขียนได้ดังนี้

$$J_z = \frac{pI}{2\pi a} \frac{J_0(pr)}{J_1(pa)} \quad (1.6)$$

เมื่อ $p^2 = -j\omega\mu\sigma_{cond}$

$J_0(pr), J_1(pa) =$ สมการของเบสเซล (Bessel functions)

$I =$ กระแสรวมที่ไหลผ่านตัวนำ

ดังนั้น การคำนวณความต้านทานและความเหนี่ยวนำ ภายใต้เงื่อนไขความถี่สูง ($f \geq 500\text{MHz}$) สามารถแทนลงไปได้อีกดังนี้

$$R/R_{DC} \cong a/(2\delta) \tag{1.7}$$

และ

$$(\omega L)/R_{DC} \cong a/(2\delta) \tag{1.8}$$

ซึ่งจะแสดงค่าของ δ คือค่าที่เรียกว่า ความลึกผิว (Skin depth)

$$\delta = (\pi f \mu \sigma_{cond})^{-1/2} \tag{1.9}$$

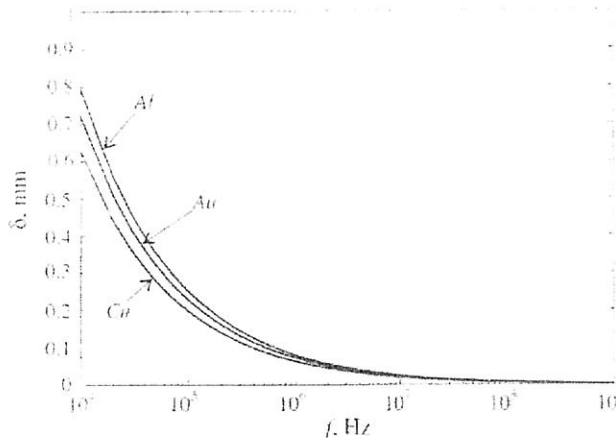
จากสมการ จะได้ว่า

$f =$ ความถี่ (Frequency)

$\mu =$ ค่าความซบซิมได้ (Permeability)

$\sigma_{cond} =$ ค่าการนำ (Conductivity)

สมการที่ (1.8) และ (1.9) สมมติให้ $\delta \ll a$ ทุกกรณีจะใช้ค่าความซบซิมได้ ของตัวนำเพียงค่าเดียว ($\mu_r = 1$) ซึ่งจะได้ว่าค่า ความลึกผิว จะมีค่าสูงที่ความถี่ต่ำและจะมีค่าต่ำที่ความถี่สูงขึ้น ดังรูปที่ 1.1 แสดง ลักษณะของ ความลึกผิว สัมพันธ์กับความถี่ของ ทองแดง (Copper) อะลูมิเนียม (Aluminum) และ ทอง (Gold)



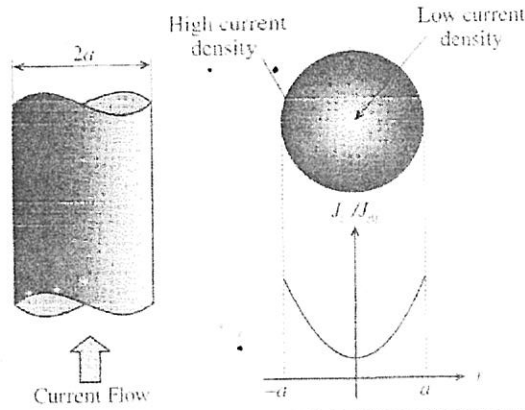
รูปที่ 1.1 แสดงลักษณะของ ความลึกผิว สัมพันธ์กับความถี่ของ

ทองแดง (Copper $\sigma_{Cu} = 64.516 \times 10^6 \text{ S/m}$)

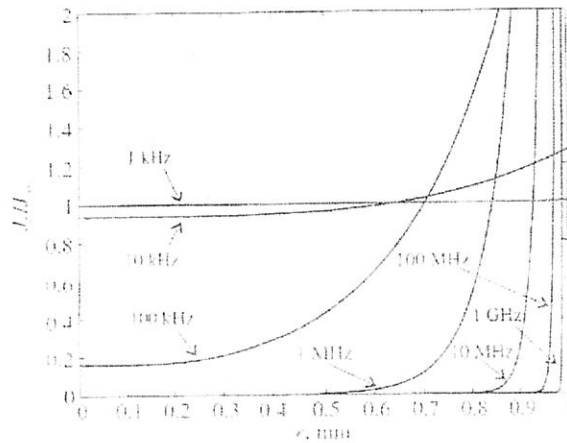
อะลูมิเนียม (Aluminum $\sigma_{Al} = 40.0 \times 10^6 \text{ S/m}$)

และทอง (Gold $\sigma_{Au} = 48.544 \times 10^6 \text{ S/m}$) [1]

ถ้าเราทำการพิจารณาค่าความนำของทองแดง สามารถที่จะวาดกราฟ ค่าความหนาแน่นของกระแสสลับ สมการที่ (1.7) และ นอร์มอลไลซ์ ความหนาแน่นของกระแสทางตรง $J_{z0} = I/(\pi a^2)$ แสดงได้ดังรูปที่ 1.2(a) ถ้าทำการกำหนดให้รัศมีของเส้นลวดตัวนำคงที่ คือ $a = 1$ เราสามารถที่จะทำการวาดกราฟ J_z/J_{z0} ที่รัศมี เปลี่ยนไปเทียบกับความถี่ แสดงได้ดังรูปที่ 1.2(b)



รูปที่ 1.2(a) แสดงแผนภาพเขตขวางวงกลม ความหนาแน่นของกระแสสลับ ที่ นอร์มอลไลซ์ เป็นความหนาแน่นของกระแสตรง [1]



รูปที่ 1.2(b) แสดงคุณลักษณะทางความถี่ของความหนาแน่นกระแสสลับนอร์มอลไลซ์แบบกระแสสลับ สำหรับ เส้นลวดทองแดงที่มีรัศมี $a = 1mm$ [1]

จะเห็นได้ว่ากระแสที่ไหลเพิ่มขึ้นที่บริเวณขอบของเส้นลวด เมื่อความถี่สูงมากขึ้นใกล้ 1GHz กระแส ที่ไหลเกือบทั้งหมดจะไหลอยู่บริเวณผิวของเส้นลวด บ่อยครั้งที่ความถี่สูงจะประมาณความหนาแน่นของกระแส ในทิศทาง z คือ

$$J_z \cong \frac{I_p}{j2\pi a \sqrt{r}} e^{-(1+j)\frac{a-r}{\delta}} \quad (1.10)$$

สำหรับมาตรฐานขนาดของเส้นลวด ตามระบบ American Wire Gauge (AWG) จะใช้ในสหรัฐอเมริกา ตัวอย่างเช่น ต้องการหาขนาดของเส้นลวดที่สามารถหาได้จากค่า AWG ค่าโดยทั่วไปที่ทำการวัดถ้าเป็น AWG 50 จะเริ่มต้นวัดที่ประมาณ 1 mil

ตัวอย่างที่ 1.1 แปลงระหว่างขนาดเส้นผ่านศูนย์กลางของเส้นลวดและขนาด AWG หากค่ารัศมีของ AWG 26 ถ้าเส้นผ่านศูนย์กลางของ AWG 50 เท่ากับ 1.0 mil หรือ $(2.54 \times 10^{-5} \text{ m})$

วิธีทำ: การเพิ่มขึ้นของเส้นผ่านศูนย์กลางสามารถคำนวณได้ดังต่อไปนี้

$$\text{AWG 50 } d = 1 \text{ mil}$$

$$\text{AWG 44 } d = 2 \text{ mils}$$

$$\text{AWG 38 } d = 4 \text{ mils}$$

$$\text{AWG 32 } d = 8 \text{ mils}$$

$$\text{AWG 26 } d = 16 \text{ mils}$$

เราสามารถหาค่าเส้นผ่านศูนย์กลางของ AWG 26 ได้เท่ากับ 16 mils ดังนั้น จะหาค่ารัศมีได้คือ $8 \text{ mils} = 8 \times (2.54 \times 10^{-5} \text{ m}) = 0.2032 \text{ mm}$

แม้ว่าในปัจจุบันจะเปลี่ยนหน่วยวัดเป็นแบบเมตริกแล้ว AWG ก็ยังมีความสำคัญในการจำและรู้ไว้เพื่อทำการเปลี่ยนหน่วยพื้นฐานที่เป็น mil ไปเป็นหน่วยของ มิลลิเมตร และเป็นการพิสูจน์อยู่บ่อย ๆ

1.2.1 ตัวต้านทานความถี่สูง (High – Frequency Resistor)

บางครั้งอุปกรณ์ที่ประกอบรวมกันในวงจรความถี่ต่ำทั้งหมดจะเป็นตัวต้านทาน เพื่อต้องการแรงดันตกคร่อม โดยจะทำการแปลงพลังงานทางไฟฟ้าให้เป็นพลังงานความร้อน เราสามารถเปรียบเทียบระหว่างตัวต้านทานแบบต่าง ๆ ได้ คือ

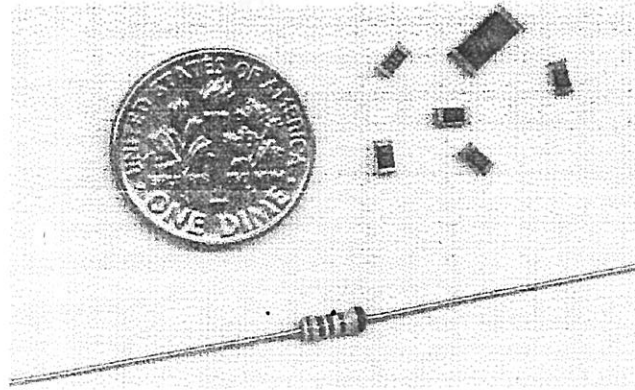
- Carbon-composite resistors มีผงถ่านความหนาแน่นสูงเป็นไดอิเล็กตริก (High-density dielectric Granules)

- Wire-wound resistors มีลวดนิเกิลหรือวัสดุอื่นๆ พันรอบ (Nickel or other winding material)

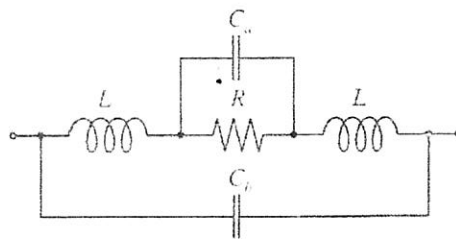
- Metal-film resistors ใช้วัสดุที่ไม่เปลี่ยนแปลงตามอุณหภูมิ (Temperature stable material)

- Thin-film chip resistors ใช้อะลูมิเนียมหรือเบอริลเลียมเป็นพื้นฐานของวัสดุ (Aluminum or beryllium based materials)

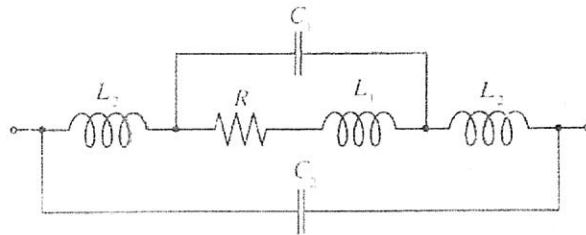
ส่วนมากในปัจจุบันนี้จะเลือกใช้ตัวต้านทานแบบ Thin-film chip ในงานวงจรความถี่วิทยุ และ MW ซึ่งจะเรียกว่า Surface Mounted Devices (SMDs) และสามารถสร้างให้มีขนาดเล็กลงอย่างมาก ดังรูปที่ 1.3 ในส่วนที่ผ่านมาเส้นลวดตรงจะมีค่าความเหนียวน่าเกิดขึ้น ดังนั้นวงจรสมมูลทางไฟฟ้าของวงจรความถี่สูงที่เป็นตัวต้านทาน จะมีความยุ่งยากมากยิ่งขึ้น และขนาดของตัวนำก็ยังมีค่าความจุแฝงแสดงได้ดังรูปที่ 1.4 ส่วนแบบจำลองของตัวต้านทานแบบ Wire-wound แสดงได้ดังรูปที่ 1.5



รูปที่ 1.3 แสดงเปรียบเทียบตัวต้านทานแบบต่าง ๆ [1]



รูปที่ 1.4 แสดงวงจรสมมูลทางไฟฟ้าของตัวต้านทานทั่วไป



รูปที่ 1.5 แสดงวงจรสมมูลทางไฟฟ้าของตัวต้านทานแบบ Wire-wound ที่ความถี่สูง

ตัวอย่างที่ 1.2 RF impedance response of metal film resistor

จงหาค่าอิมพีแดนซ์ที่ความถี่สูงของตัวต้านทานแบบ Metal film ค่า 500Ω ตาม รูปที่ 1.4 ต่อกับเส้นทองแดงยาว 2.5 cm. ขนาด AWG 26 และมีค่า $C_a = 5 pF$

วิธีทำ ทำการหาขนาดรัศมีของ AWG 26 คือ $a = 2.032 \times 10^{-4} m$ ซึ่งสอดคล้องกับสมการที่ (1.8) เป็นการหาค่าความเหนี่ยวนำ ของเส้นลวดตรงที่ความถี่สูง โดยการประมาณจะได้ $L = R_{DC} a / (2\omega\delta)$ และทำการแทนค่าความลึกผิว ในสมการที่ (1.9) ลงไป และค่าความนำของทองแดง ซึ่งจะมีค่าเท่ากับ

$$\sigma_{Cu} = 64.516 \times 10^6 \Omega^{-1} \cdot m^{-1}$$

$$L = R_{DC} \frac{a}{2\omega} \sqrt{\pi f \mu_0 \sigma_{Cu}} = \frac{2l}{\sigma \pi a^2} \frac{a}{4\pi f} \sqrt{\pi f \mu_0 \sigma_{Cu}} = \frac{2l}{4\pi a} \sqrt{\frac{\mu_0}{\pi \sigma_{Cu} f}} = \frac{1.54}{\sqrt{f}} \mu H$$

จากสมการที่ได้ทำการคำนวณมาก่อน เราจะได้ว่า

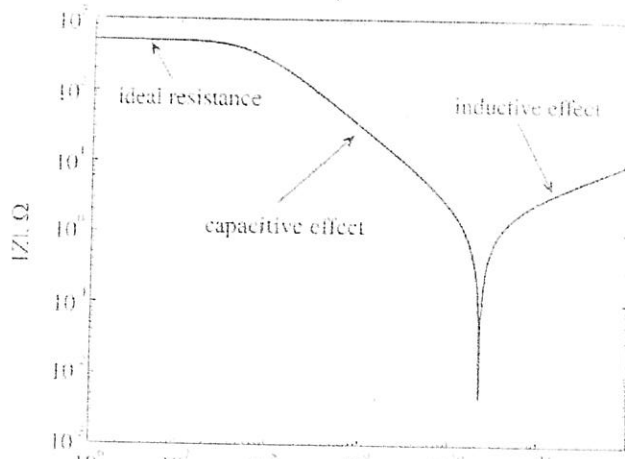
$$\delta = (\pi f \mu \sigma_{cond})^{-1/2} \ll a$$

หรือในเทอมของความถี่ จะเขียนได้ว่า

$$f \gg 1/(\pi \mu \sigma_{Cu} a^2) = 95 \text{ kHz}$$

เมื่อเรารู้ค่าความเหนี่ยวนำของตัวนำ เราสามารถคำนวณหาค่าอิมพีแดนซ์ของวงจรได้ดังนี้

$$Z = j\omega L + \frac{1}{j\omega C + 1/R}$$



รูปที่ 1.6 แสดงความสัมพันธ์ของค่าอิมพีแดนซ์ของตัวนำแบบ Thin-film 500Ω เทียบกับความถี่ [1]

จากรูปจะเห็นได้ว่า ที่ความถี่ค่าอิมพีแดนซ์ของตัวนำจะมีความต้านทาน แต่เมื่อความถี่เพิ่มมากขึ้นมากกว่า 10 MHz จะทำให้ค่าอิมพีแดนซ์มีค่าลดลงอย่างมาก จนกระทั่งถึงค่าความถี่เรโซแนนซ์ที่ประมาณ 20 GHz จึงจะทำให้ผลรวมของอิมพีแดนซ์มีค่าเพิ่มขึ้น

1.2.2 ตัวเก็บประจุความถี่สูง (High-Frequency Capacitors)

ในวงจรความถี่วิทยุ ทั้งหมด ได้มีการนำตัวเก็บประจุมาใช้งานอย่างแพร่หลาย สำหรับวงจรจูน (Tuning) วงจรกรองความถี่ (Filters) และการทำแมตซ์ซิ่ง ทั้งนี้จะมีการไบแอสได้ง่ายสำหรับอุปกรณ์ประเภทแอคทีฟ ได้แก่ ทรานซิสเตอร์ ก่อนที่จะได้ทำการศึกษากี่ยวกับการใช้งานตัวเก็บประจุในงานความถี่สูง ขอให้ทำความเข้าใจเกี่ยวกับคุณลักษณะที่เป็นตัวเก็บประจุที่เป็นแผ่นเพลทที่วางขนานกัน และทำการพิจารณาขนาดของแผ่นเพลทหรือร่วมกับเปรียบเทียบกับ

$$C = \frac{\epsilon A}{d} = \epsilon_0 \epsilon_r \frac{A}{d} \quad (1.11)$$

จากสมการจะได้ว่า

A = พื้นที่ของแผ่นเพลท

d = ระยะห่างระหว่างแผ่นเพลท

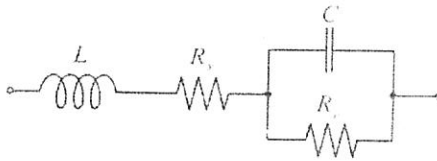
ในอุดมคติจะไม่มีกระแสไหลระหว่างแผ่นเพลท แต่อย่างไรก็ตามที่ความถี่สูงวัสดุที่ใช้ทำไดอิเล็กตริก จะมีการสูญเสียเกิดขึ้นหรือมีค่าความนำนั่นเองทำให้มีกระแสไหล สำหรับค่าอิมพีแดนซ์ของตัวเก็บประจุเขียนได้จากผลรวมแบบขนานของค่าความนำ G_e และค่า ωC

$$Z = \frac{1}{G_e + j\omega C} \quad (1.12)$$

ค่าของกระแสที่แสดงจะอยู่ในรูปของกระแสตรง ซึ่งมีค่าความนำ $G_e = \sigma_{diel} A/d$ เมื่อ σ_{diel} คือค่าความนำของไดอิเล็กตริกซึ่งจะนำค่าของการสูญเสียที่ผิวสัมผัส (Series Loss Tangent) $\tan \Delta_S = \omega \epsilon / \sigma_{diel}$ และแทนค่าลงไปในส่วนของ G_e

$$G_e = \frac{\sigma_{diel} A}{d} = \frac{\omega \epsilon A}{d \tan \Delta_S} = \frac{\omega C}{\tan \Delta_S} \quad (1.13)$$

เราสามารถเขียนวงจรสมมูลของตัวนำโดยจะมีค่าตัวเหนี่ยวนำแฝง L อนุกรมกับ R_s และค่าความต้านทานของไดอิเล็กตริก $R_e = 1/G_e$ ซึ่งแสดงได้ดังรูปที่ 1.7



รูปที่ 1.7 วงจรสมมูลทางไฟฟ้าของตัวเก็บประจุความถี่สูง

ตัวอย่างที่ 1.3 RF impedance response of capacitor

ให้คำนวณหาค่าอิมพีแดนซ์ความถี่สูงของตัวเก็บประจุ 47 pF มีสารไดอิเล็กตริกตรงกลางประกอบด้วยอะลูมิเนียมออกไซด์ (Al_2O_3) มีค่าการสูญเสียที่ผิวสัมผัสเท่ากับ 10^{-4} (สมมติไม่ขึ้นอยู่กับความถี่) เส้นตัวนำทองแดงขนาด 1.25 cm AWG26 ($\sigma_{Cu} = 64.516 \times 10^6 \Omega^{-1} \cdot m^{-1}$)

วิธีทำ คล้ายคลึงกับตัวอย่างที่ 1.2 คำนวณหาค่าความเหนี่ยวนำของตัวนำ ดังนี้

$$L = R_{DC} \frac{a}{2\omega} \sqrt{\pi f \mu_0 \sigma_{Cu}} = \frac{2l}{4\pi a} \sqrt{\frac{\mu_0}{\pi \sigma_{Cu} f}} = \frac{771}{\sqrt{f}} \text{ nH}$$

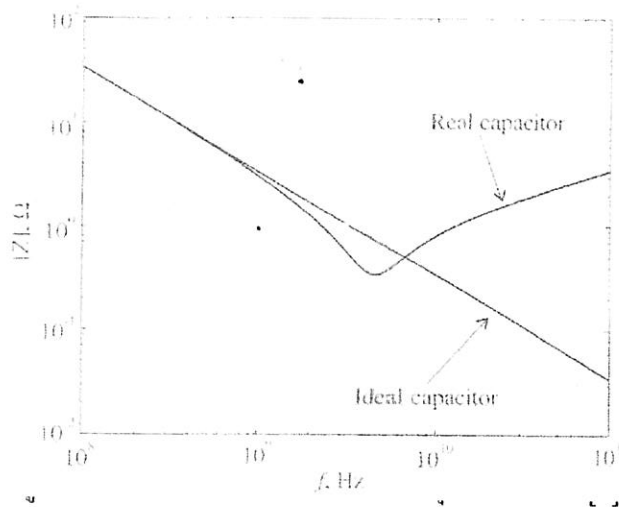
ค่าความต้านทานอนุกรมของตัวนำสามารถคำนวณได้จากสมการ ดังนี้

$$R_s = R_{DC} \frac{a}{2\delta} = \frac{2l}{2\pi a \sigma_{Cu}} \sqrt{\pi f \mu_0 \sigma_{Cu}} = \frac{l}{a} \sqrt{\frac{\mu_0 f}{\pi \sigma_{Cu}}} = 4.8 \sqrt{f} \mu\Omega$$

สุดท้ายในทำนองเดียวกันโดยใช้สมการที่ 1.13 หาค่าตัวต้านทาน R_e ดังนี้

$$R_e = \frac{1}{G_e} = \frac{1}{2\pi f C \tan \Delta_s} = \frac{33.9 \times 10^6}{f} M\Omega$$

ค่าการตอบสนองทางความถี่ของอิมพีแดนซ์พื้นฐานตามสมการที่ 1.12 ของตัวเก็บประจุ แสดงได้ ดังรูปที่ 1.8



ในการคำนวณหาค่าตัวต้านทาน R_e เราสมมุติให้ค่าการสูญเสียที่ผิวสัมผัส ไม่ขึ้นกับความถี่ แต่ในความเป็นจริง จะขึ้นกับความถี่ที่ใช้งานจากการสูญเสียที่ผิวสัมผัส สามารถที่จะนำไปคำนวณหาค่า ตัวต้านทานอนุกรม (ESR) โดยการแทนค่าของ $\tan \Delta_s$ ซึ่งค่าของ ESR คือ

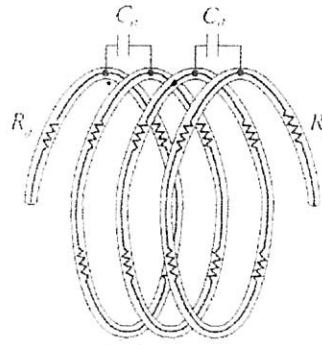
$$ESR = \frac{\tan \Delta_s}{\omega C}$$

จะมีตัวบ่งชี้คือ $ESR \rightarrow 0$ เมื่อ $\tan \Delta_s \rightarrow 0$

1.2.3 ขดลวดความถี่สูง (High-Frequency Inductors)

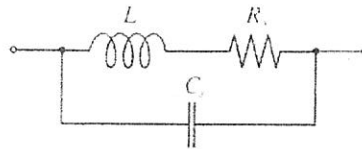
ถึงแม้ว่าจะไม่มีการใช้งานตัวเหนี่ยวนำบ่อยเท่ากับตัวต้านทานและตัวเก็บประจุ แต่ตัวเหนี่ยวนำจะใช้ในการไบแอสทรานซิสเตอร์ในวงจร ตัวอย่างเช่น การใช้ RF coils (RFCs) ในการชอร์ตวงจรที่เป็นแรงดันกระแสตรง รูปแบบโดยทั่วไปของคอยล์ก็จะได้จากการนำเอาเส้นลวดเส้นตรงทรงกระบอกมาทำเป็นขด เรารู้ก่อนหน้านี้อีกว่าเมื่อนำเส้นลวดมาทำเป็นขดจะเกิดค่าความต้านทานขึ้นนอกเหนือจากการเกิดค่าความเหนี่ยวนำและ

ขึ้นอยู่กับความถี่ด้วย นอกเหนือไปจากนั้นขดลวดที่อยู่ข้างเคียงกันยังสามารถเกิดค่าความจุแฝงและจะเพิ่มขึ้นถ้าจำนวนรอบมากขึ้น สามารถแสดงผลที่เกิด ดังรูปที่ 1.9



รูปที่ 1.9 แสดงการกระจายตัวของค่าความจุและความต้านทานอนุกรม ของขดลวด[1]

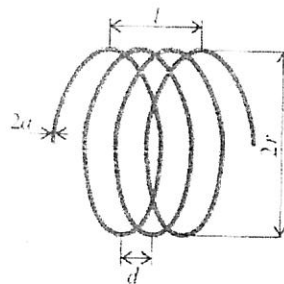
วงจรสมมูลของขดลวด แสดงได้ดังรูปที่ 1.10 ซึ่งจะมีค่าความจุแฝงขนานอยู่ คือ C_s และค่าความต้านทานอนุกรม คือ R_s ตามลำดับ ถ้ามีการกระจายรวมกันอยู่ของค่าความจุ และค่าความต้านทานเราจะเขียนได้ใหม่คือ C_d และ R_d ตามลำดับ



รูปที่ 1.10 วงจรสมมูลของตัวเหนี่ยวนำความถี่สูง

ตัวอย่างที่ 1.4 RF impedance response of an RFC

ให้ประมาณค่าการตอบสนองทางความถี่ของ RFC โดยมีจำนวนรอบ $N = 3.5$ รอบ ใต้เส้นลวดทองแดงขนาด AWG 36 เป็นแกนอากาศขนาด 0.1 นิ้ว ให้ความยาวของขดลวด 0.05 นิ้ว



รูปที่ 1.11 แสดงขนาดของขดลวดแกนอากาศ ตัวอย่างที่ 1.4

วิธีทำ จากขนาดของขดลวดที่แสดงในรูปที่ 11 นั้น เราสามารถหาขนาดรัศมีของเส้นลวด AWG 36 คือ $a=2.5\text{mils}=63.5\mu\text{m}$ ขนาดรัศมีของขดลวด คือ $r=50\text{mils}=1.27\text{mm}$ ขนาดความยาวของขดลวด คือ $l=50\text{mils}=1.27\text{mm}$ ระยะห่างระหว่างขดข้างเคียง คือ $d=l/N\approx 3.6\times 10^{-4}\text{m}$ สามารถหาค่าความเหนี่ยวนำของขดลวด สำหรับสูตรหาค่าความเหนี่ยวนำที่เป็นแกนอากาศ ดังนี้

$$L = \frac{\pi^2 \mu_0 N^2}{l} \quad (1.14)$$

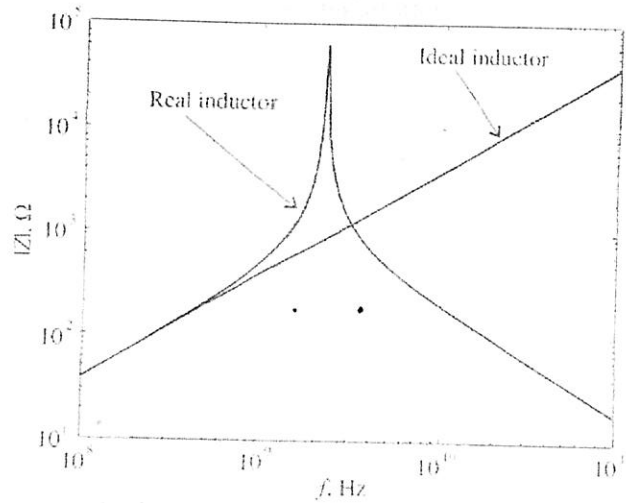
จากเงื่อนไข $r \ll l$ และจำนวนรอบ N มีจำนวนมาก และขนาดความยาวของขดลวดคือการเปรียบเทียบกับรัศมีและจำนวนรอบ จะได้ค่าความสัมพันธ์ที่ไม่มาก ดังนั้น สมการที่ 1.14 จะไม่ใช่ค่าความเหนี่ยวนำที่แท้จริงแต่ก็เป็นการประมาณที่ได้ค่าใกล้เคียง ซึ่งเมื่อทำการแทนค่าในสมการที่ 1.14 เราจะได้ค่า $L=61.4\text{nH}$ ในการประมาณค่าความจุ C_s เราจะใช้สูตรคำนวณการหาค่าความจุระหว่างแผ่นเพลทที่ขนานกันในทางอุดมคติ คือสมการที่ 1.11 ในกรณีนี้การแยกกันของระยะห่างของขด d ระหว่างเพลท จะสมมุติให้มีค่าเท่ากับระยะห่างระหว่างแต่ละขด ซึ่งจะมีค่า $d=l/N\approx 3.6\times 10^{-4}\text{m}$ และพื้นที่ A สามารถประมาณได้คือ $A=2al_{\text{wire}}$ เมื่อ $l_{\text{wire}}=2\pi rN$ คือ ความยาวของเส้นขดลวด ดังนั้น เราสามารถแทนค่าต่าง ๆ ลงไปในสมการที่ 1.11 ได้ดังนี้

$$C_s = \frac{\epsilon_0 \cdot 2\pi N \cdot 2a}{l/N} = 4\pi\epsilon_0 \frac{raN^2}{l} = 0.087\text{pF}$$

เนื่องจากว่ารัศมีของเส้นลวดมีค่าเพียง $63.5\mu\text{m}$ เท่านั้น เราสามารถที่จะไม่นำมาพิจารณาเกี่ยวกับค่าความลึกเชิงผิว ได้ และสามารถคำนวณหาต้านทานที่อนุกรม R_s ในสถานะที่เป็นกระแสดตรง ของเส้นลวด ได้

$$R_s = \frac{l_{\text{wire}}}{\sigma_{\text{Cu}} \pi a^2} = \frac{2\pi rN}{\sigma_{\text{Cu}} \pi a^2} = 0.034\Omega$$

การตอบสนองทางความถี่ของ RFC_s ที่ได้จากการวิเคราะห์ แสดงได้ดังรูปที่ 1.12



รูปที่ 1.12 แสดงการตอบสนองทางความถี่ของ RFCs [1]

RFCs นิยมใช้กันแพร่หลายในการไบแอสวงจรความถี่วิทยุ อย่างไรก็ตามจากรูปที่ 1.12 จะเห็นได้ว่าจะขึ้นอยู่กับความถี่ ซึ่งจากเงื่อนไขการเกิดรีโซแนนซ์นี้จะเกิดความยุ่งยากในการเพิ่มอุปกรณ์เข้ามาในระบบความถี่วิทยุ จริง ๆ แล้วในการทำให้วงจรเกิดการแมตช์ซึ่งจะใช้ RFCs ควบคู่กับการปรับอุปกรณ์

จากรูปที่ 1.12 สามารถที่จะเห็นลักษณะของ RFCs ที่เกิดการเบี่ยงเบนจากลักษณะที่คาดหวังไว้ของค่าความเหนี่ยวนำที่ความถี่สูงในทางอุดมคติ จะเห็นได้ว่าค่าอิมพีแดนซ์ของ RFCs จะมีการเพิ่มขึ้นอย่างรวดเร็วในช่วงความถี่ที่เข้าใกล้รีโซแนนซ์ ที่ความถี่ที่สูงขึ้นต่อไป จะส่งผลต่อค่าความจุแฝง C_s จนมีค่าที่เหมาะสมและค่าอิมพีแดนซ์ของขดลวดจะลดลง

ถ้าค่าความต้านทานอนุกรมของ RFCs มีค่าเป็นศูนย์ ผลรวมของค่าอิมพีแดนซ์ทั้งหมดที่จุดเรโซแนนซ์จะมีค่าได้ถึงค่าอนันต์ แต่ถ้าความต้านทานอนุกรมไม่เป็นศูนย์ R_s มีค่าสูงสุด ค่าอิมพีแดนซ์ที่ได้จะมีค่าจำกัด จากคุณสมบัติผลกระทบของความต้านทานของขดลวดและตัวประกอบคุณภาพ (Q) เขียนรวมกันได้ดังนี้

$$Q = \frac{X}{R_s} \quad (1.15)$$

เมื่อ X คือ ค่ารีแอ็กแตนซ์

R_s คือ ค่าความต้านทานอนุกรมของขดลวด

ค่าคุณภาพการสูญเสียเกี่ยวกับความต้านทานในวงจรพาสซีฟ และสำหรับการปรับก็มีความคาดหวังว่าจะได้รับค่าคุณภาพมีค่าที่สูง

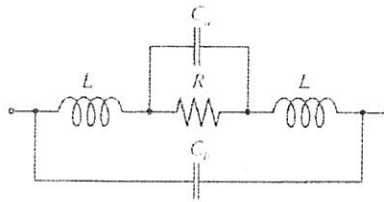
1.3 สรุป

ในบทนี้เป็นการกล่าวถึงแถบสเปกตรัมความถี่ ที่มีการจัดแบ่งเป็นหมวดหมู่มีชื่อเรียก และกำหนดช่วงความถี่ของคลื่น รวมไปถึงพฤติกรรมของอุปกรณ์ ทางด้านความถี่สูงที่จะมีการเปลี่ยนแปลงไปจากคุณสมบัติจริงอย่างมากเมื่อความถี่ ในการทำงานเปลี่ยนแปลงไปอย่างเช่นอุปกรณ์ตัวต้านทาน ตัวเก็บประจุ รวมไปถึงค่าของตัวเหนี่ยวนำ และในส่วนของตัวต้านทานก็ยังแบ่งออกเป็นอีกหลายชนิด แต่ละชนิดก็จะมีผลการเปลี่ยนแปลงที่แตกต่างกัน ไปอีกด้วย ฉะนั้นในการออกแบบ

วงจรทางด้านความถี่สูง จึงจำเป็นต้องพิจารณาอุปกรณ์ดังกล่าวนี้

คำถามท้ายบทที่ 1

1. จงหาค่าความต้านทานทางกระแสตรง และทางกระแสสลับของลวดอลูมิเนียม ($\sigma_{Al}=4.0 \times 10^7 \text{ s/m}$) เบอร์ AWG 14 มีความยาว 5 cm ทำงานที่ความถี่ 100MHz, 1GHz และ 10 GHz
2. จงคำนวณหาความลึกเชิงผิว ของทองแดง ($\sigma_{Cu}=64.516 \times 10^6 \text{ s/m}$) อลูมิเนียม ($\sigma_{Al}=4.0 \times 10^6 \text{ s/m}$) และทอง ($\sigma_{Au}=48.544 \times 10^6 \text{ s/m}$) ที่ความถี่ 1 GHz และ 10 GHz และหาค่าความต้านทานที่ความยาว 10 cm และมีเส้นผ่านศูนย์กลาง 1mm.
3. จงคำนวณหาค่าอิมพีแดนซ์ที่ความถี่ต่างๆของตัวเก็บประจุ 50 pF ประกอบด้วยสารไดอิเล็กทริกตรงกลาง อะลูมิเนียมออกไซด์ (Al_2O_3) มีค่าการสูญเสียที่ผิวสัมผัส เท่ากับ 10^{-4} เส้นลวดอลูมิเนียมยาว 1.25 cm. เบอร์ AWG 26 ($\sigma_{Al}=4.0 \times 10^6 \text{ s/m}$)
4. จงหาค่าเหนี่ยวนำของขดลวดที่เป็นแกนอากาศที่ความถี่ต่างๆโดยที่ความยาวของลวด 2 cm. ขนาดรัศมีของวงขดลวด 1 cm. ลวดเบอร์ AWG 20 ระยะห่างระหว่างขดข้างเคียง $d = \frac{l}{N} = 3 \times 10^{-3} \text{ m}$
5. จงหาอิมพีแดนซ์ของตัวต้านทานแบบ Metal film ค่า $1k\Omega$ ตามรูป ต่อกับเส้นทองแดงยาว 2 cm. ขนาดลวดเบอร์ AWG 26 และมีค่า $C_a = 5 \text{ pF}$ ที่ความถี่ 10 GHz



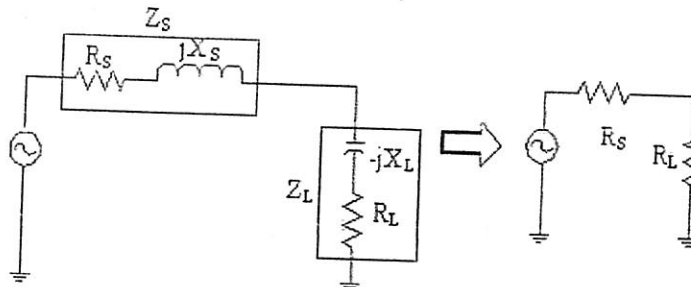
6. ถ้าต้องการกำหนดเหนี่ยวนำของขดลวดเท่ากับ 50 nH จะต้องพันขดลวดเบอร์ AWG 36 จำนวนกี่รอบเป็นแบบแกนอากาศ โดยกำหนดขนาดรัศมีของขดลวดต่อความยาวของการพันเป็น 1:2

บทที่ 2

การแมตซ์อิมพีแดนซ์

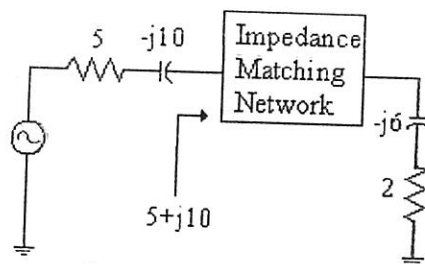
การแมตซ์อิมพีแดนซ์มีความสำคัญมาก ในวงจรความถี่วิทยุเพื่อจะทำให้มีการส่งผ่านกำลังงานจากแหล่งจ่ายไปยังโหลดได้มากที่สุด เท่าที่จะเป็นไปได้เช่นความจำเป็นในการส่งผ่านกำลังงานไปยังด้านอินพุตของเครื่องรับซึ่งการสูญเสียที่ไม่จำเป็นในวงจรจะทำให้สัญญาณขนาดเล็กเกินกว่าที่จะยอมรับ ได้ดังนั้นในแต่ละอุปกรณ์ต้องมั่นใจว่าการต่อจะต้องแมตซ์ด้วยโหลดที่ถูกต้อง

เป็นที่ทราบกันดีว่าในวงจรเคชี การส่งผ่านกำลังงานสูงสุดจากแหล่งจ่ายไปยังโหลด จะเกิดเมื่อตัวต้านทานของโหลดเท่ากับตัวต้านทานของแหล่งจ่าย ส่วนในกรณีของวงจรเอซี อิมพีแดนซ์ของโหลด (Z_L) จะต้องเท่ากับการคอนจูเกตจำนวนเชิงซ้อนของอิมพีแดนซ์ของแหล่งจ่าย เพื่อให้ส่วนของจำนวนจินตภาพหักล้างกันไปเหลือแต่ส่วนของจำนวนจริง (R_S กับ R_L) ดังรูปที่ 3.1 เมื่อ R_S กับ R_L เท่ากัน ดังนั้นการส่งผ่านกำลังงานสูงสุดก็จะเกิดขึ้น



รูปที่ 3.1 แสดง อิมพีแดนซ์ของแหล่งจ่ายและค่าคอนจูเกตกับ โหลด [2]

จุดมุ่งหมายเบื้องต้นของการการแมตซ์อิมพีแดนซ์ คือการทำให้อิมพีแดนซ์ของโหลดดูเหมือนการคอนจูเกตจำนวนเชิงซ้อนของอิมพีแดนซ์ของแหล่งจ่าย ดังนั้น จะเกิดการส่งผ่านกำลังงานสูงสุดไปยังโหลด เช่นในรูปที่ 3.2 $Z_L = 2-j6$ จะถูกเปลี่ยนไปเป็นค่า $5+j10$ ซึ่งเท่ากับการคอนจูเกตจำนวนเชิงซ้อนของ $Z_S = 5-j10$

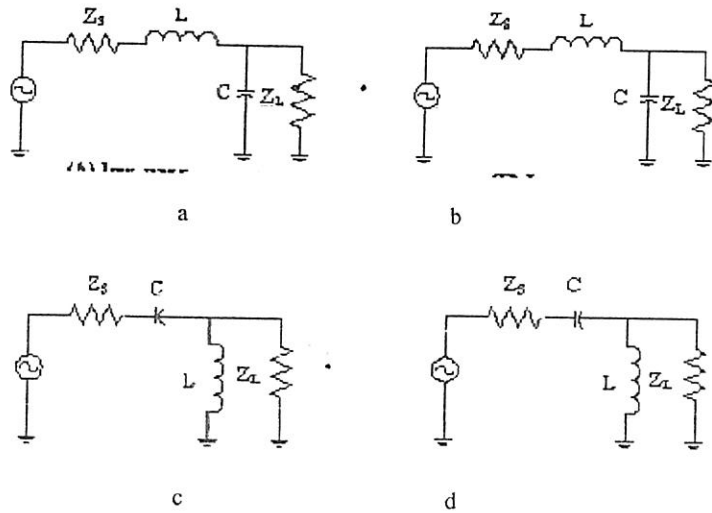


รูปที่ 3.2 แสดงการแมตซ์อิมพีแดนซ์ [2]

มีข้อสังเกตอยู่ว่า ถ้าตัวต้านทานนั้นแปรค่าตามความถี่ ดังนั้น การแมตซ์โดยสมบูรณ์นั้นจะเกิดขึ้นที่ความถี่เดียว ทำให้เกิดปัญหาในวงจรที่ต้องการแบนวิดท์กว้างๆ ในการแก้ปัญหาข้อนี้เราจะต้องใช้องค์ประกอบจำนวนมากอย่างเช่นในรูปที่ 3.2 วิธีง่ายในการแมตซ์ คือใช้สองตัวประกอบของ LC แต่เราอาจจำเป็นต้องใช้ถึงเจ็ดตัวประกอบ LC หากต้องการแบนวิดท์กว้างขึ้น ซึ่งขึ้นอยู่กับการประยุกต์ที่ใช้ว่ายังทำงานได้อยู่หรือไม่

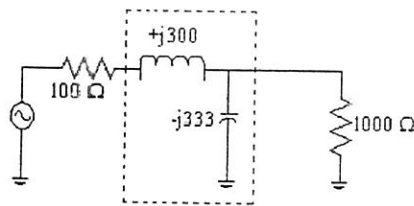
3.1 การแมตช์อิมพีแดนซ์ในรูปแบบโครงข่าย L (L-Network) [2]

โครงข่าย L มีรูปแบบดังรูปที่ 3.3 คือวางตัวเป็นรูปร่างของตัว L เป็นวงจรแมตช์ที่ซึ่ง ที่ง่ายและใช้กันแพร่หลายที่สุด โดยใช้ LC สอดตัวประกอบ ในรูปที่ 3.3a, 3.3b เป็นรูปแบบของวงจรกรองความถี่ต่ำผ่าน ส่วนรูปที่ 3.3c, 3.3d เป็นวงจรกรองความถี่สูงผ่าน

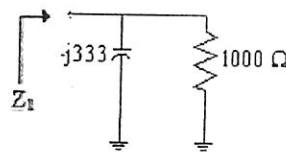


รูปที่ 3.3 แสดงโครงข่าย L [2]

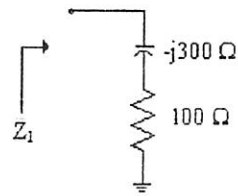
ในรูปที่ 3.4 ถึงรูปที่ 3.6 เป็นการแมตช์แหล่งจ่าย 100 โอห์ม กับ โหลด 1000 โอห์ม ซึ่งเราจะได้เห็นว่าตัวประกอบขนาน ทำหน้าที่แปลงอิมพีแดนซ์ค่าใหญ่ ให้มีค่าเล็กลง โดยที่ส่วนจำนวนจริงเท่ากับค่าส่วนจำนวนจริงของอิมพีแดนซ์ ที่ปลายอีกด้านหนึ่ง (ในที่นี้คือแหล่งจ่าย 100 โอห์ม) ส่วน ตัวประกอบอนุกรม ทำหน้าที่เป็นตัวรีโชนแนนท์ หรือหักล้างค่าตัวประกอบรีแอคแตนซ์ ที่ปรากฏอยู่ ดังรูปที่ 3.7 ซึ่งจะทำให้เป็นเสมือนมีเพียงแหล่งจ่ายที่ค่าล้งับ โหลด ที่มีค่า R_s เท่ากับ R_L ทำให้ การส่งกำลัง ดีที่สุด



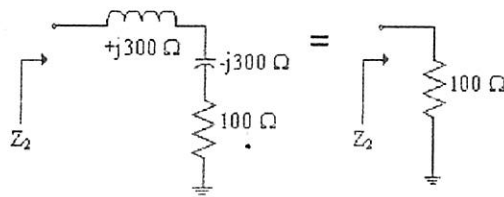
รูปที่ 3.4 แสดง การแมตช์แหล่งจ่าย 100 โอห์มกับ โหลด 1000 โอห์ม



รูปที่ 3.5 แสดง อิมพีแดนซ์เมื่อมองเข้าไปทางโหลด



รูปที่ 3.6 แสดงวงจรเปรียบเทียบ



รูปที่ 3.7 แสดงวงจรเมตริกซ์ที่สมบูรณ์

ในการออกแบบเราสามารถทำได้ง่ายๆ โดยใช้สมการ

$$Q_s = Q_p = \sqrt{\frac{R_p}{R_s} - 1}$$

$$Q_s = \frac{X_s}{R_s}$$

$$Q_p = \frac{R_p}{X_p}$$

Q_s = ขาอนุกรมของ Q

Q_p = ขาขนานของ Q

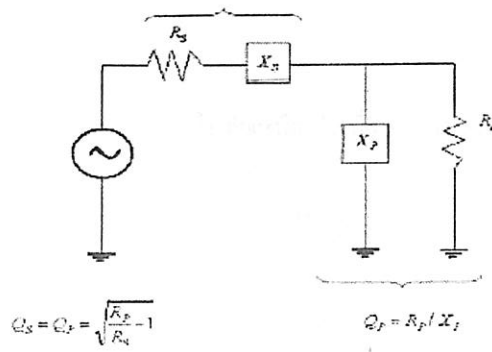
R_p = ความต้านทานขนาน

X_p = ความต้านทานของขดลวดขนาน

R_s = ความต้านทานอนุกรม

X_s = ความต้านทานของขดลวดอนุกรม

ในรูปที่ 3.8 แสดงวงจร โคร่งข่าย L โดยที่ค่าของ X_s กับ X_p จะเป็นตัวเก็บประจุ หรือ ตัวเหนี่ยวนำ ก็ได้ แต่ต้องเป็นชนิดตรงข้ามกัน คือ ถ้า X_s เป็น ตัวเหนี่ยวนำ X_p ต้องเป็น ตัวเก็บประจุ



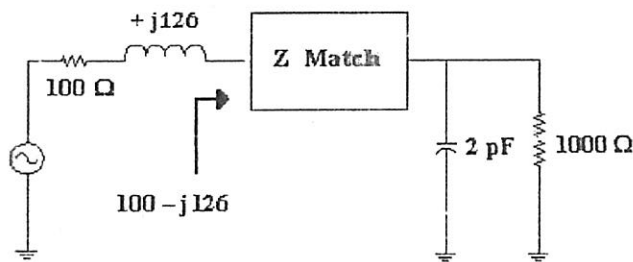
รูปที่ 3.8 แสดง โครจรข่ายL [2]

ในทางปฏิบัติอุปกรณ์ต่างๆ เช่น ทรานซิสเตอร์, สายส่งสัญญาณ, สายอากาศ มีค่าอินдукและเอาทัพอดิมพีแดนซ์ เป็นจำนวนเชิงซ้อน ซึ่งมีทั้งค่า $(R+jX)$ ดังนั้นเราจึงต้องรู้วิธีการกับค่าเหล่านี้ จะมี 2 วิธีการ คือ

(1) Absorption: คือ การคิดเฉพาะการแมตช์ของตัวต้านทานก่อน แล้วจะได้เป็นค่าตัวประกอบของตัวเก็บประจุและตัวเหนี่ยวนำ จากนั้นนำมาหักล้างกับค่าของตัวเก็บประจุและตัวเหนี่ยวนำที่มีอยู่แล้วในวงจร เราจะเห็นวิธีการได้ชัดเจนขึ้นจากตัวอย่างที่ 3.1

(2) Resonance: คือ การหาค่าของรีโซแนนซ์ของวงจรตัวประกอบของตัวเก็บประจุและตัวเหนี่ยวนำ ที่เท่ากัน แต่เป็นชนิดตรงกันข้าม ที่ความถี่ที่ต้องการ

ตัวอย่างที่ 3.1 ใช้วิธีการ Absorption ในการแมตช์แหล่งจ่ายกับโหลด ดังรูปที่ 3.9 (ที่ 100 MHz)



รูปที่ 3.9 แสดงวงจรแหล่งจ่ายและโหลด

วิธีทำ ขั้นแรกเราทำการออกแบบโดยไม่คิด ค่ารีแอ็กแตนซ์ เหลือเพียงการแมตช์เฉพาะส่วนจริง 100 โอห์มของแหล่งจ่ายกับส่วนจริง 1000 โอห์ม ของโหลดที่ความถี่ 100 MHz เราได้ว่า

$$Q_s = Q_p = \sqrt{\frac{R_p}{R_s}} - 1$$

$$= \sqrt{\frac{1000}{100}} - 1$$

$$= 3$$

ได้ $X_s = Q_s R_s$ (เป็นตัวเหนี่ยวนำ เนื่องจากต่ออนุกรมอยู่กับ +j126)

$$= (3)(100)$$

$$= 300 \text{ ohms}$$

$X_p = \frac{R_p}{Q_p}$ (เป็นตัวเก็บประจุ เนื่องจากต่อขนานอยู่กับตัวเก็บประจุ 2pF)

$$= \frac{1000}{3}$$

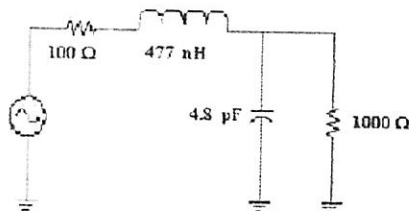
$$= 333 \text{ ohms}$$

ดังนั้นจะได้ค่าองค์ประกอบของ L กับ C ที่ความถี่ 100 MHz เป็นดังนี้

$$L = \frac{X_s}{\omega} = \frac{300}{2\pi(100 \times 10^6)} = 477 \text{ nH}$$

$$C = \frac{1}{\omega X_p} = \frac{1}{2\pi(100 \times 10^6)(333)} = 4.8 \text{ pF}$$

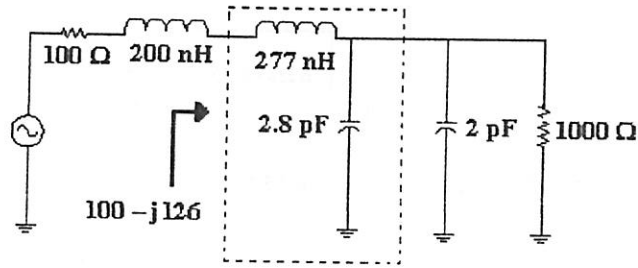
เราจะได้อำนาจเมื่อแมตซ์ โดยไม่คิด ค่ารีแอคแตนซ์ รูปที่ 3.10



รูปที่ 3.10 แสดงวงจรที่คิดการแมตซ์เฉพาะ ส่วนจริง

จากการคำนวณได้ว่าตัวเก็บประจุ 4.8pF แต่ในวงจรมีค่าอยู่แล้ว 2pF จึงนำมาเพิ่มอีก 2.8pF เมื่อรวมกันแล้วจะเท่ากับ 4.8pF ตามที่คำนวณในตอนแรก

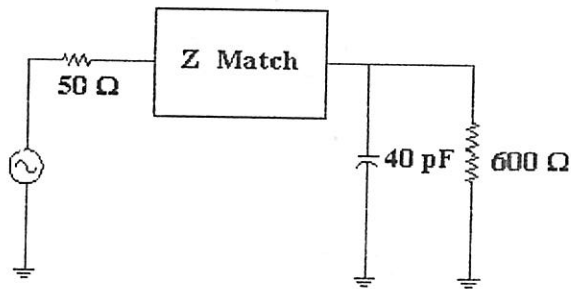
ที่ด้านแหล่งจ่ายก็เช่นกัน เรามี ตัวเหนี่ยวนำ อยู่ +j126 โอห์ม หรือ 200nH ดังนั้นเราจะใช้ ตัวเหนี่ยวนำ อนุกรมเข้าไปอีก 477 nH - 200nH = 277 nH ซึ่งจะได้วงจรที่ออกแบบเป็นดังรูปที่ 3.11



รูปที่ 3.11 แสดงวงจรสุดท้าย ของตัวอย่าง 3.1

จะสังเกตได้ว่าหากตัวประกอบของตัวเก็บประจุและตัวเหนี่ยวนำ มีค่าใหญ่กว่าค่าที่คำนวณได้ จะใช้ Absorption ไม่ได้ ตัวอย่างเช่น ถ้าตัวเก็บประจุ เป็น 20pF เราไม่สามารถเพิ่มขนานตัวเก็บประจุให้ได้ เป็น 4.8 pF ในกรณีแบบนี้เราจะใช้วิธีของการรีโซแนนท์ควบคู่ไปกับ absorption แทน ดังในตัวอย่าง 3.2

ตัวอย่างที่ 3.2 ออกแบบวงจรแมตซ์ ที่ป้องกันการไหลของกระแสตรง จากแหล่งจ่ายไปโหลด ตามรูปที่ 3.12 ที่ความถี่ 75 MHz โดยใช้วิธี รีโซแนนท์



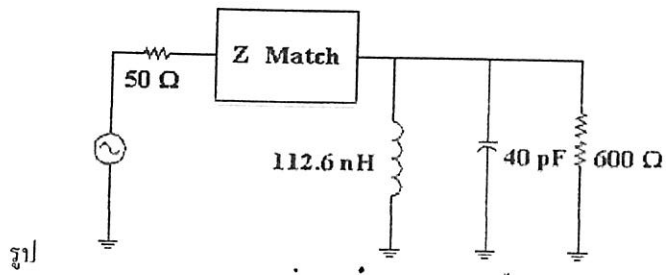
รูปที่ 3.12 แสดงวงจรโหลดเชิงซ้อน สำหรับตัวอย่างที่ 3.2

วิธีทำ ต้องการป้องกันกระแสตรง ดังนั้นใช้ โครงข่ายวงจรแมตซ์ในรูปที่ 3.3c
ขั้นแรกกำจัด ตัวเก็บประจุ 40pF โดย ต่อ ด้วยการ ขนานค่าตัวเหนี่ยวนำที่ 75 MHz

$$L = \frac{1}{\omega^2 C_{stray}}$$

$$= \frac{1}{[2\pi(75 \times 10^6)]^2 (40 \times 10^{-12})}$$

$$= 112.6nH$$



รูป
 ได้วงจรรูปที่ 3.12 ซึ่งเหลือเพียงการแมตช์แหล่งจ่าย 50 โอห์ม กับ โหลด 600 โอห์มดังนี้

$$Q_s = Q_p = \sqrt{\frac{R_p}{R_s} - 1}$$

$$= \sqrt{\frac{600}{50} - 1}$$

$$= 3.32$$

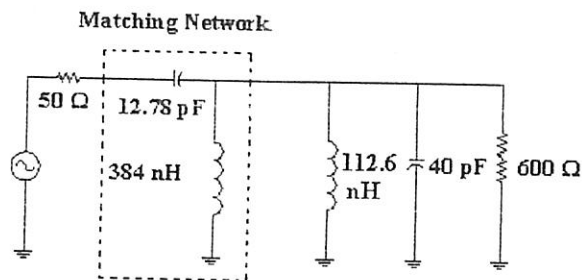
$$X_s = Q_s R_s = (3.32)(50) = 166 \text{ โอห์ม}$$

$$X_p = \frac{R_s}{Q_p} = \frac{600}{3.32} = 181 \text{ โอห์ม}$$

ดังนั้นจะได้ค่าขององค์ประกอบ เป็น

$$C = \frac{1}{\omega X_s} = \frac{1}{2\pi(75 \times 10^6)(166)} = 12.78 \text{ pF}$$

$$L = \frac{X_p}{\omega} = \frac{181}{2\pi(75 \times 10^6)} = 384 \text{ nH}$$



รูปที่ 3.14 แสดงวงจรรูปที่ 3.12 หลังจากแมตช์ แล้ว

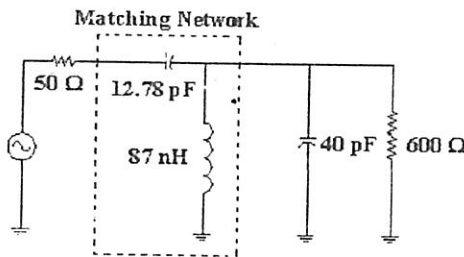
ได้อัตลักษณ์จากแมตซ์อิมพีแดนซ์เป็นดังรูป 3.15 ซึ่งเราสามารถรวม ขนนานตัวหนึ่ยวนำ ได้เป็นตัวเดียว ดังนี้

$$L_{new} = \frac{L_1 L_2}{L_1 + L_2}$$

$$= \frac{(384)(112.6)}{384 + 112.6}$$

$$= 87 \text{ nH}$$

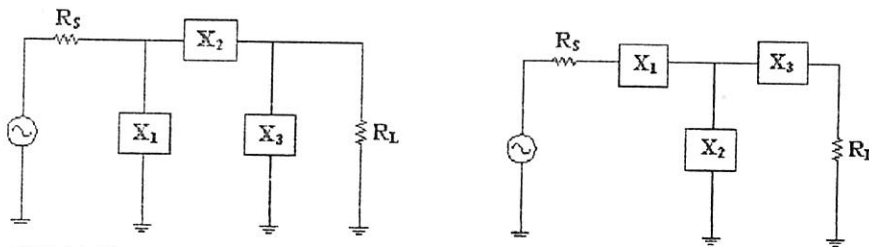
ได้อัตลักษณ์สุดท้าย ดังรูปที่ 3.15



รูปที่ 3.15 แสดงรูปวงจรมุมรวม

3.2 การแมตซ์อิมพีแดนซ์แบบ 3 องค์ประกอบ (3 Element Matching) [2]

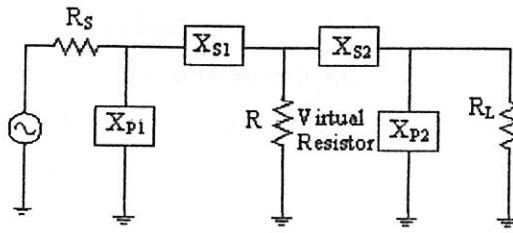
ในการใช้ โครงข่าย 2 ตัวประกอบ เราใช้ R_s กับ R_p เป็นตัวกำหนดค่าตัวประกอบคุณภาพ (Q) ทำให้เราไม่สามารถเลือกปรับค่าตัวประกอบคุณภาพให้มากขึ้นได้โดยใช้โครงข่าย 3 ตัวประกอบแบบโครงข่าย π และ โครงข่าย T ดังรูปที่ 3.16 และ 3.17 ตามลำดับ



รูปที่ 3.16 แสดงโครงข่าย 3 ตัวประกอบแบบ π [2] รูปที่ 3.17 แสดงโครงข่าย 3 ตัวประกอบแบบ T [2]

3.2.1 แบบโครงข่าย π (π -network)

มีลักษณะเป็นโครงข่าย L มาชนกัน ซึ่งจะแมตซ์โหลดและแหล่งจ่ายเข้ากับ ตัวต้านทานเสมือน (Virtual Resistance) ซึ่งวางอยู่ที่ตรงรอยต่อระหว่าง 2 โครงข่าย ดังรูป 3.18 โดยที่ X_{s1} และ X_{s2} มีเครื่องหมายลบ แสดงให้รู้ว่าเป็นรีแอ็คแตนซ์ ชนิดตรงข้ามกับ X_{p1} และ X_{p2} ตามลำดับ



รูปที่ 3.18 แสดงโครงข่ายแบบ π [2]

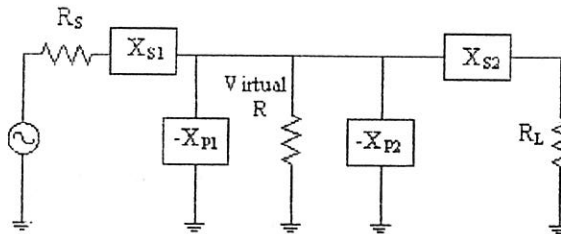
การออกแบบแต่ละส่วนจะเหมือนการออกแบบ โครงข่ายแบบ L โดยที่ ตัวต้านทานเสมือน จะต้องมิต่ำกว่า R_s หรือ R_L ค่าใดค่าหนึ่ง เพราะมันจะตรงข้ามกับ แกนด้านอนุกรม ของแต่ละ โครงข่าย L ค่าของ R จะกำหนดได้จาก ตัวประกอบคุณภาพ ที่ต้องการของวงจรตามสมการ

$$Q = \sqrt{\frac{R_H}{R} - 1}$$

โดยที่ R_H คือค่าอิมพีแดนซ์ปลายที่ใหญ่ที่สุดระหว่าง R_s กับ R_L
 R คือค่าตัวต้านทานเสมือน

3.2.2 แบบโครงข่าย T (T-network)

มีลักษณะการออกแบบจะคล้ายกับ โครงข่าย π คือ แมตซ์โหลดกับแหล่งจ่ายผ่าน โครงข่าย L 2 ชุด เข้ากับ ตัวต้านทานเสมือน ซึ่งค่ามากกว่าความต้านทานของโหลดหรือแหล่งจ่ายค่าใดค่าหนึ่ง โครงข่าย L มี แกนด้านขนาน ที่ต่อเข้าด้วยกันดังรูปที่ 3.19



รูปที่ 3.19 แสดงโครงข่ายแบบ T [2]

โครงข่ายแบบ T มักใช้แมตซ์ค่าอิมพีแดนซ์น้อยๆ 2 ค่าเข้าด้วยกัน เมื่อต้องการค่าตัวประกอบคุณภาพสูง ขึ้นจะต้องเลือกค่าตัวต้านทานค่าน้อยที่สุดเป็นส่วนของปลายโครงข่ายจากสมการ

$$Q = \sqrt{\frac{R}{R_{small}} - 1}$$

โดยที่ $R =$ ค่าตัวต้านทานเสมือน

$$R_{\text{small}} = \text{ค่าตัวต้านทานที่เล็กที่สุดระหว่าง } R_s \text{ กับ } R_L$$

ในตัวอย่าง 3.3 และ 3.4 จะแสดงสมการแมตซ์โดยใช้ โครงข่าย π และ โครงข่าย T ตามลำดับ เพื่อให้ได้ค่าตัวประกอบคุณภาพ ตามที่ต้องการ

ตัวอย่างที่ 3.3 แมตซ์แหล่งจ่าย 100 โอห์ม กับ โหลด 1000 โอห์ม โดยใช้ โครงข่าย π 4 แบบ ซึ่งให้ค่าตัวประกอบคุณภาพ = 15

วิธีทำ จาก

$$Q = \sqrt{\frac{R_H}{R} - 1}$$

เราสามารถหาค่า ตัวต้านทานเสมือน ที่จะแมตซ์ได้

$$R = \frac{R_H}{Q^2 + 1} = \frac{1000}{226} = 4.42 \ \Omega$$

ได้
$$X_{p2} = \frac{R_p}{Q_p} = \frac{R_L}{Q} = \frac{1000}{15} = 66.7 \ \Omega$$

$$X_{s2} = QR_{\text{series}} = 15(R) = (15)(4.42) = 66.3 \ \Omega$$

ออกแบบส่วน L ด้าน โหลดของ โครงข่ายเสร็จ

Q สำหรับ L network เป็นการนิยามใหม่โดยอัตราส่วนของ R_s กับ R_L โดยสมการ 4-1

$$\begin{aligned} Q_1 &= \sqrt{\frac{R_s}{R_L} - 1} \\ &= \sqrt{\frac{100}{4.42} - 1} \\ &= 4.6 \end{aligned}$$

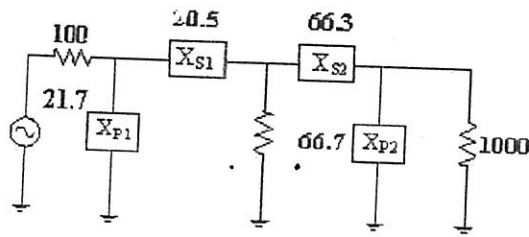
หมายเหตุ ค่าความต้านทานแหล่งจ่ายพิจารณาเป็นขาคอนนามของ L network ดังนั้น R_s นิยามเหมือน R_p

$$\begin{aligned} X_{p1} &= \frac{R_p}{Q_1} \\ &= \frac{100}{4.6} \\ &= 21.7 \text{ohms} \end{aligned}$$

ทำนองเดียวกัน

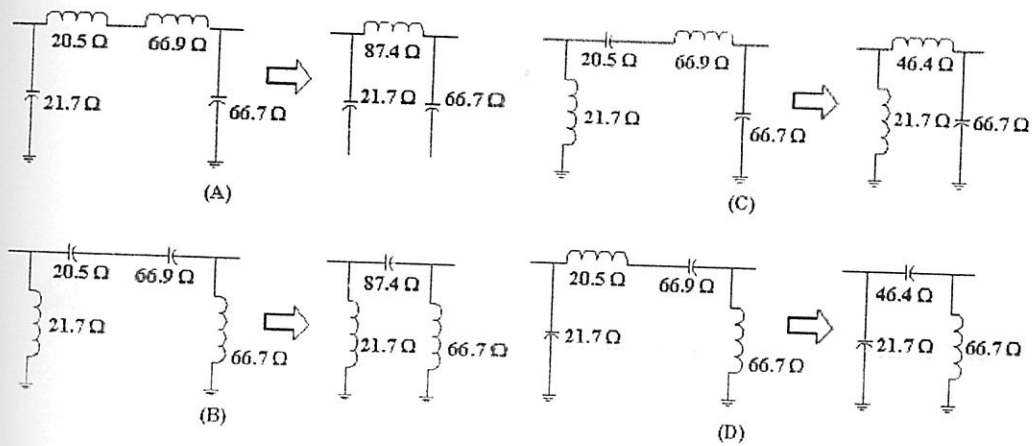
$$\begin{aligned} X_{s1} &= Q_1 R_{\text{series}} \\ &= Q_1 (R) \\ &= (4.6)(4.42) \\ &= 20.51 \text{ohms} \end{aligned}$$

โครงข่ายที่ออกแบบเสร็จแล้วเป็นดังรูป 3.20 โดยจะไม่แสดง คิวต้านทานเสมือน ในวงจร ส่วนรีแอกแตนซ์ X_{S1} และ X_{S2} ที่อนุกรมกันอยู่ เราสามารถรวมเป็นองค์ประกอบเดียวกันได้ และเราจะแสดงเป็นรีแอกแตนซ์ แต่ยังไม่คำนวณเป็นค่าขององค์ประกอบจริงๆ เพื่อให้ง่ายต่อการทำเป็นโครงข่าย π ใน 4 รูปแบบ



รูปที่ 3.20 แสดงวงจรแสดงค่ารีแอกแตนซ์ ของตัวอย่างที่ 3.3

X_{P1} , X_{S1} , X_{P2} และ X_{S2} จะเป็น C หรือ L ก็ได้ โดยที่ X_{P1} , X_{S1} เป็นชนิดตรงข้ามกัน และ X_{P2} , X_{S2} ก็เป็นชนิดตรงข้ามกัน ทำให้เราได้แมตซ์ เป็น 4 รูปแบบ ดังรูปที่ 3.21 ซึ่งแสดงรีแอกแตนซ์ เป็น โอห์ม อนุกรม ตรงกลางจะนำมาบวกกันถ้าเป็นชนิดเดียวกัน แต่ถ้าต่างชนิดกันจะนำค่ามาลบกัน ดังรูป (C), (D) แล้วในขั้นสุดท้ายจึงเปลี่ยนเป็นค่าของ C หรือ L ที่ความถี่ที่ต้องการ



รูปที่ 3.21 แสดงการแปลงจากวงจรโครงข่าย L ไปเป็นโครงข่าย π

ตัวอย่างที่ 3.4 แมตซ์แหล่งจ่าย 10 โอห์ม กับ โหลด 50 โอห์ม โดยใช้ โครงข่าย π 4 แบบ ซึ่งให้ค่า ตัวประกอบคุณภาพ = 15

วิธีทำ จาก

$$Q = \sqrt{\frac{R}{R_{small}} - 1}$$

เราสามารถหาค่า คิวต้านทานเสมือน ที่จะแมตซ์ได้

$$R = R_{small} (Q^2 + 1) = 10(101) = 1010 \text{ } \Omega$$

ได้

$$X_{S1} = QR_s = 10(10) = 100 \text{ } \Omega$$

$$X_{p1} = \frac{R}{Q} = \frac{1010}{10} = 101 \ \Omega$$

เราจะได้สมการ

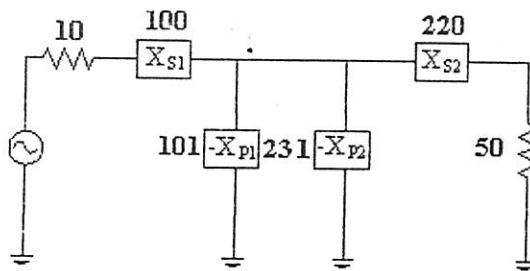
$$Q_2 = \sqrt{\frac{R}{R_L} - 1} = \sqrt{\frac{1010}{50} - 1} = 4.4$$

ได้

$$X_{p2} = \frac{R}{Q_2} = \frac{1010}{4.4} = 230 \ \Omega$$

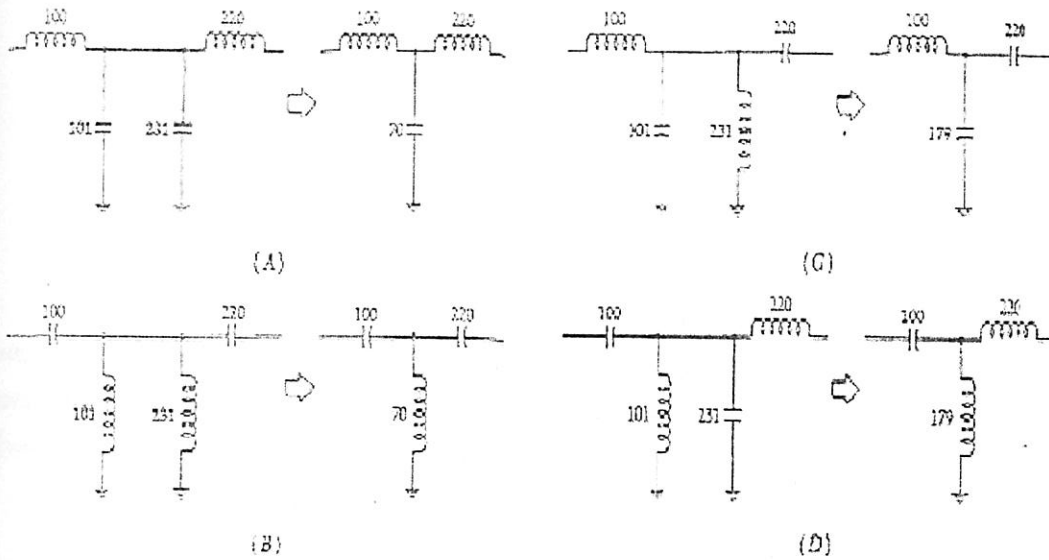
$$X_{s2} = Q_2 R_L = (4.4)(50) = 220 \ \Omega$$

ได้ โครจข่าย ที่สมบูรณ์ ดังรูป 3.22 ซึ่งไม่แสดง ตัวต้านทานเสมือน ในวงจร



รูปที่ 3.22 แสดงวงจรแสดงค่า รีแอคแตนซ์ ของตัวอย่างที่ 3.4

ตัวประกอบแบบขนาน ทั้งสองค่า (X_{p1} และ X_{p2}) สามารถนำมารวมกันแบบขนานเป็น ตัวประกอบ เดียว ซึ่งเป็นไปได้ 4 แบบ ดังรูป 3.23



รูปที่ 3.23 แสดงการแปลงวงจรจาก โครจข่าย ไปเป็น โครจข่าย

3.3 แผนภูมิสมิท (Smith Chart) [2]

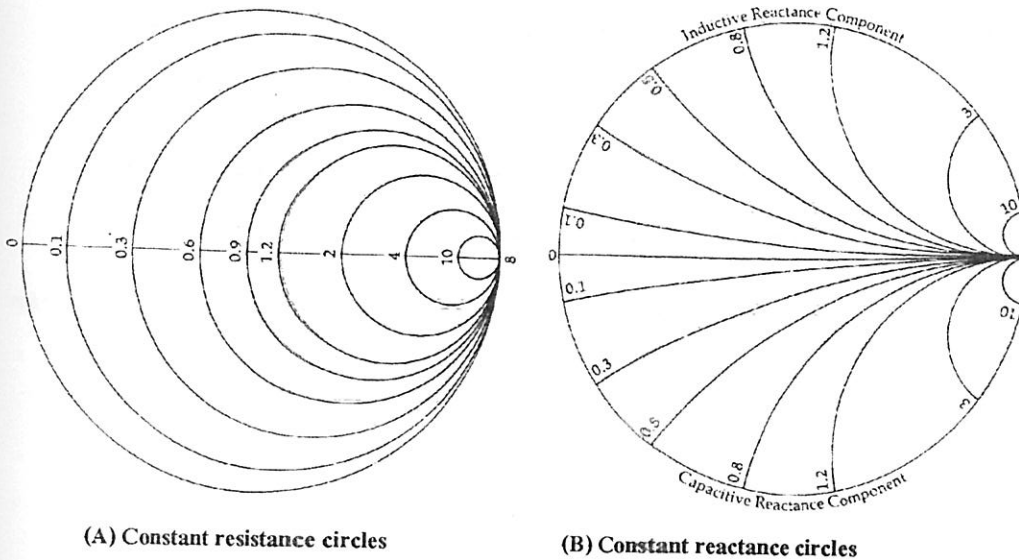
แผนภูมิสมิท ได้จากการทำแปลงค่าโดยแผนภูมิต้า $Z = r + jx$ ลงในระนาบของ $\Gamma \angle \phi = u + jv$ โดยใช้สมการ

$$\Gamma = \frac{Z - Z_0}{Z + Z_0}$$

$$\Gamma = \frac{Z - 1}{Z + 1}$$

โดย $Z = \frac{Z}{Z_0}$ คือค่า นอร์แมลไลซ์ ของอิมพีแดนซ์

ซึ่งจะทำให้เราได้ชุดของวงกลม ค่าตัวต้านทาน คงที่ กับวงกลมค่ารีแอคแตนซ์ คงที่ ดังรูปที่ 3.24 บนระนาบ $u-v$ เมื่อนำวงกลมทั้ง 2 ชุด มารวมกันก็จะได้เป็น แผนภูมิสมิท ดังรูปที่ 3.24



(A) Constant resistance circles

(B) Constant reactance circles

รูปที่ 3.24 แสดงโครงสร้างของแผนภูมิสมิท [2]

เนื่องจากระนาบ (u,v) ของ Γ ไม่ค่อยได้ใช้ ดังนั้น รูปแบบภาพ จึงมีสเกลเป็นโพลาไร โดยมุมของ Γ อยู่บนสเกลตามเส้นรอบวงของ รูปแบบภาพ ทั้งที่เป็นองศาและเศษส่วนของความยาวคลื่น และขนาดของ Γ หาได้จากสเกลได้ รูปแบบภาพ นอกจากนี้ได้รูปแบบภาพ ยังมีสเกลสำหรับอ่านค่า VSWR และ ค่าการสูญเสีย ด้วย ทำให้แผนภูมิสมิท มีประโยชน์มากในการแก้ปัญหาของสายส่ง และปัญหาในการแมตซ์อิมพีแดนซ์

3.3.1 การกำหนดจุดบนแผนภูมิสมิท

ในแต่ละจุดบน แผนภูมิสมิทจะแสดงค่าของอิมพีแดนซ์ ซึ่งมีลักษณะเป็นการอนุกรมกัน ในรูปของ $Z = R + jX$ นั่นคือเราสามารถ กำหนดจุด ค่า Z ลงบนจุดที่เป็นจุดตัดระหว่างวงกลม R กับวงกลม X ได้เลย ดังแสดงการ กำหนดจุดต่างๆ ในแผนภูมิสมิท รูปที่ 3.24

เมื่อมีการต่อ อุปกรณ์อนุกรม เข้ากับ $Z=R+jX$ ค่าอิมพีแดนซ์ จะมีการเปลี่ยนแปลงไปบนแผนภูมิสมิท
ดังนี้

- เมื่อต่อ ตำแหน่ง R ของอิมพีแดนซ์ จะวิ่งไปตามเส้น X คงที่
- เมื่อต่อ C เราได้ $X_c = -1/2\pi fC$ ดังนั้น ตำแหน่ง จะวิ่งไปตามวงกลม R คงที่ โดยที่ค่า X ลดลง (counterclockwise) เป็นระยะเท่ากับขนาดของ X_c ตัวอย่างเช่น ต่ออนุกรม X_c ค่า $-j10$ โอห์ม เข้ากับ $Z=0.5 + j0.7$ โอห์ม ซึ่งเรากำนวณได้

$$Z = 0.5 + j0.7 - j10$$

$$Z = 0.5 + j0.3$$

ค่า Z ใหม่ที่คำนวณได้นี้ แสดงค่าเป็น R กับ C ที่ต่ออนุกรมกันอยู่ เช่นเดียวกัน รูปที่ 3.24 จาก จุด $Z = 0.5 + j0.7$ ค่าของอิมพีแดนซ์ก็จะวิ่งบนวงกลม $R=0.5$ ไปในทิศทางที่ทำให้ X ลดลง เป็นระยะ $X = -j10$ ซึ่งจะได้จุดสุดท้ายเป็น $Z = 0.5 - j0.3$

- เมื่อต่อ L เราได้ $X_L = 2\pi fL$ ตำแหน่ง จะวิ่งอยู่บนวงกลม R คงที่ แต่จะวิ่งในทิศทางที่ทำให้ค่า X เพิ่มขึ้น (clockwise) เป็นระยะห่างเท่ากับขนาด X_L ดังรูป 3.24

3.3.2 การแปลงอิมพีแดนซ์เป็นแอดมิแตนซ์

ถ้าเรากำหนด ค่า นอร์มัลไลซ์แอดมิแตนซ์ (Admittance) $y = \frac{Y}{Y_0}$ ซึ่งเป็นส่วนกลับ

ของ นอร์มัลไลซ์อิมพีแดนซ์ในระนาบ Γ เราจะได้เป็นแผนภูมิสมิทแบบแอดมิแตนซ์

จาก
$$\Gamma \angle \phi = \frac{z+1}{z-1}$$

หรือ
$$z = \frac{1+\Gamma \angle \phi}{1-\Gamma \angle \phi}$$

เราได้
$$y = \frac{1}{z} = \frac{1-\Gamma \angle \phi}{1+\Gamma \angle \phi} = \frac{1+\Gamma \angle (\phi \pm 180^\circ)}{1-\Gamma \angle (\phi \pm 180^\circ)}$$

นั่นคือ เมื่อเรากำหนด จุดของ Z ที่สอดคล้องกับ Γ ค่าหนึ่งๆ แล้วหมุน Γ ไปจากเดิมเป็นมุม 180° จะได้ จุดซึ่งเป็นค่าส่วนกลับของ Z ก็คือค่า แอดมิแตนซ์ ของ Z นั้นเอง จะเป็นไปได้จาก รูปที่ 3.31 เมื่อเรากำหนดจุด $Z=1+j1$ ลงบน แผนภูมิสมิท แล้ววัดระยะทาง d จากจุดศูนย์กลางมายัง Z จากนั้นวัดระยะ d เดียวกันนี้จากจุด ศูนย์กลางไปยังด้านตรงข้าม (180°) ของจุดเดิม เราก็จะได้ ส่วนกลับของ Z คือ $y = 0.5 - j0.5$ ในทำนองเดียวกันกับการหาค่าส่วนกลับของ Z หากเราหมุน ทั้งหมดไป 180° เราก็จะได้ รูปแบบของแอดมิแตนซ์ ซึ่งสามารถใช้ แผนภูมิสมิท รูปที่ 3.27 ได้เช่นกัน โดยที่ค่า แอดมิแตนซ์ ในรูปของ $Y=G+jB$ จะเป็นการต่อขนานกันของ ความนำ (G) กับ

ซัสเซปแตนซ์ (B) ดังนั้นเมื่อมีการต่อ อุปกรณ์แบบขนาน เข้ากับ Y เดิม เราก็จะเห็นการเปลี่ยนแปลงค่าของ Y เช่นเดียวกับเมื่อต่อ อุปกรณ์อนุกรม เข้ากับ Z ดังนี้

- เมื่อต่อ G ตำแหน่ง ของ แอดมิตแตนซ์ จะวิ่งไปตามเส้น B คงที่
- ต่อ ขนานตัวเก็บประจุ เราได้ $B_{eq} = 2\pi fC$ ดังนั้น แอมมิตแตนซ์ จะเปลี่ยนค่าไปบนวงกลม G คงที่โดยมีค่า B เพิ่มขึ้น (clockwise) เป็นระยะเท่ากับขนาดของ susceptance ของ capacitance ที่ต่อเข้าไปดังรูปที่ 3.33
- ต่อ shunt ขนานตัวเหนี่ยวนำ เราได้ $B_{eq} = -1/2\pi fL$ ดังนั้น แอมมิตแตนซ์ จะเปลี่ยนค่าไปบนวงกลม G คงที่โดยมีค่า B ลดลง (counterclockwise) เป็นระยะเท่ากับขนาดของ ซัสเซปแตนซ์ ที่ต่อเข้าไปดังรูปที่ 3.34

3.3.3 แผนภูมิแบบอิมมิแตนซ์ (Immittance chart)

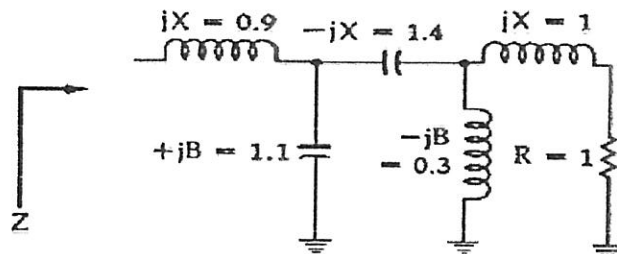
เพื่อความสะดวก เราจะใช้ทั้ง อิมพีแดนซ์ และ แอดมิตแตนซ์ ใน แผนภูมิ เดียวกัน เรียกว่า แผนภูมิมิอิมมิแตนซ์ ซึ่งสามารถอ่านค่าได้ทั้ง z และ y ดังแสดงในรูปที่ 3.35 เรา กำหนด ค่า อิมพีแดนซ์ $Z = 1 + j1$ ตามเส้นที่บใน พิกัด ของ อิมพีแดนซ์ เราสามารถอ่านค่าแอดมิตแตนซ์ ของมันได้ทันทีตามเส้นประ ใน พิกัด ของ แอดมิตแตนซ์ ซึ่งสรุปได้ดังแสดงรูป 3.9

ถ้าหากต้องการต่อ อุปกรณ์อนุกรมหรือขนาน เข้าไปในวงจร เราก็จะหาค่า อิมพีแดนซ์ รวมได้โดยง่าย โดยเมื่อต่อ อุปกรณ์อนุกรมเข้าไป ตำแหน่ง จะวิ่งอยู่บน แผนภูมิมิอิมพีแดนซ์ และเมื่อต่อ อุปกรณ์แบบขนาน จะได้ ตำแหน่ง วิ่งบน แผนภูมิแอดมิตแตนซ์ ซึ่งสรุปได้ดังแสดงรูป 3.9

3.4 การแมตซ์อิมพีแดนซ์บนแผนภูมิแบบสมิท[2]

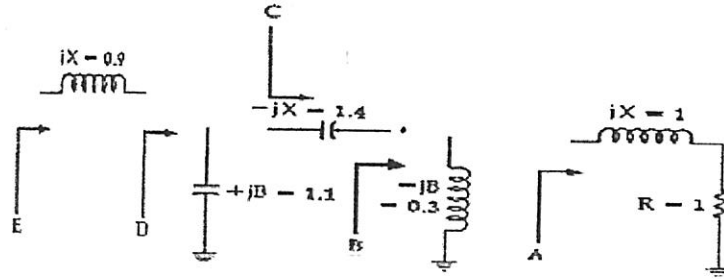
เนื่องจากเมื่อเราเพิ่มองค์ประกอบต่างๆ เข้าไปในวงจรแล้ว เราสามารถติดตามการเปลี่ยนแปลงของอิมพีแดนซ์ ได้โดยง่าย โดยการ ใช้ แผนภูมิสมิท ดังนั้นเราจึงสามารถใช้ เป็นเครื่องมือช่วยในการแมตซ์ ได้เป็นอย่างดี เมื่อเราทราบค่าของโหลดอิมพีแดนซ์ และอิมพีแดนซ์ที่ต้องการเมื่อมองจากแหล่งจ่าย ดังแสดงในตัวอย่าง 3.5 โดยการ กำหนดจุดค่าโหลดอิมพีแดนซ์ แล้วเดินอุปกรณ์อนุกรมหรือขนานลงไปบน แผนภูมิ จนกระทั่งได้ อิมพีแดนซ์ ที่แหล่งจ่ายต้องการนอกจากนี้เรายังสามารถแมตซ์อิมพีแดนซ์ ของวงจรต่างๆโดยใช้ โครงข่ายแบบ 2 องค์ประกอบ บน แผนภูมิสมิท ดังในตัวอย่าง 3.6 ซึ่งไม่ต้องใช้สูตรคำนวณเหมือนที่ทำในคอนแรก

ตัวอย่างที่ 3.5 หาค่าอิมพีแดนซ์ของวงจร ในรูปที่ 3.25



รูปที่ 3.25 แสดงรูปตัวอย่างที่ 3.5

วิธีทำ เราสามารถหาคำตอบได้โดยง่าย โดยใช้แผนภูมิสมิท ดังรูปที่ 3.27 ซึ่งมีวิธีการดังนี้
 ขั้นแรกเราแยกวงจรออกเป็นกิ่งเดี่ยวๆ ดังรูปที่ 3.26 แล้วกำหนดจุดค่า อิมพีแดนซ์ ของ อนุกรม RL, $Z=1+j1$
 โอห์ม ซึ่งก็คือจุด A ในรูป 3.27



รูปที่ 3.26 แสดงวงจรองค์ประกอบในทีละส่วน

ต่อมาเมื่อเราเพิ่มองค์ประกอบเข้าไปในวงจรทีละส่วน ทำให้ค่า อิมพีแดนซ์ บน แผนภูมิสมิท เปลี่ยนแปลงไป ตามทิศทางที่แสดงในรูปที่ 3.9 ซึ่งเราจะเขียนลงไปบน แผนภูมิสมิท ได้ดังนี้

โคง AB = ขนาน L = -jB = 0.3 โอห์ม

โคง BC = อนุกรม C = -jX = 1.4 โอห์ม

โคง CD = ขนาน C = +jB = 1.1 โอห์ม

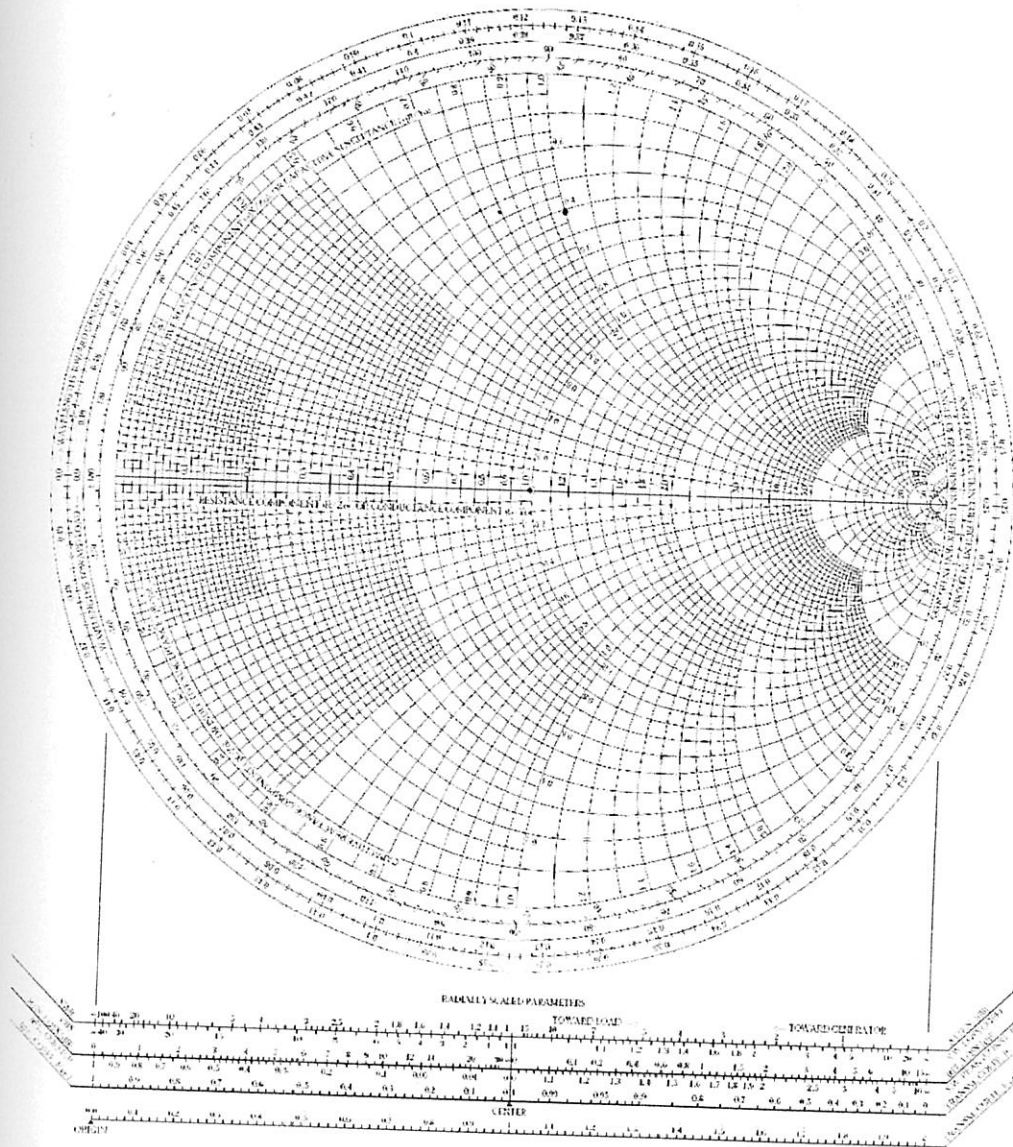
โคง DE = อนุกรม L = +jX = 0.9 โอห์ม

ดังนั้นจะได้ Z ที่ต้องการ คือ ค่า อิมพีแดนซ์ที่จุด E ซึ่งอ่านค่าได้โดยตรงจาก แผนภูมิ ได้

$$Z = 0.2 + j0.5$$

The Complete Smith Chart

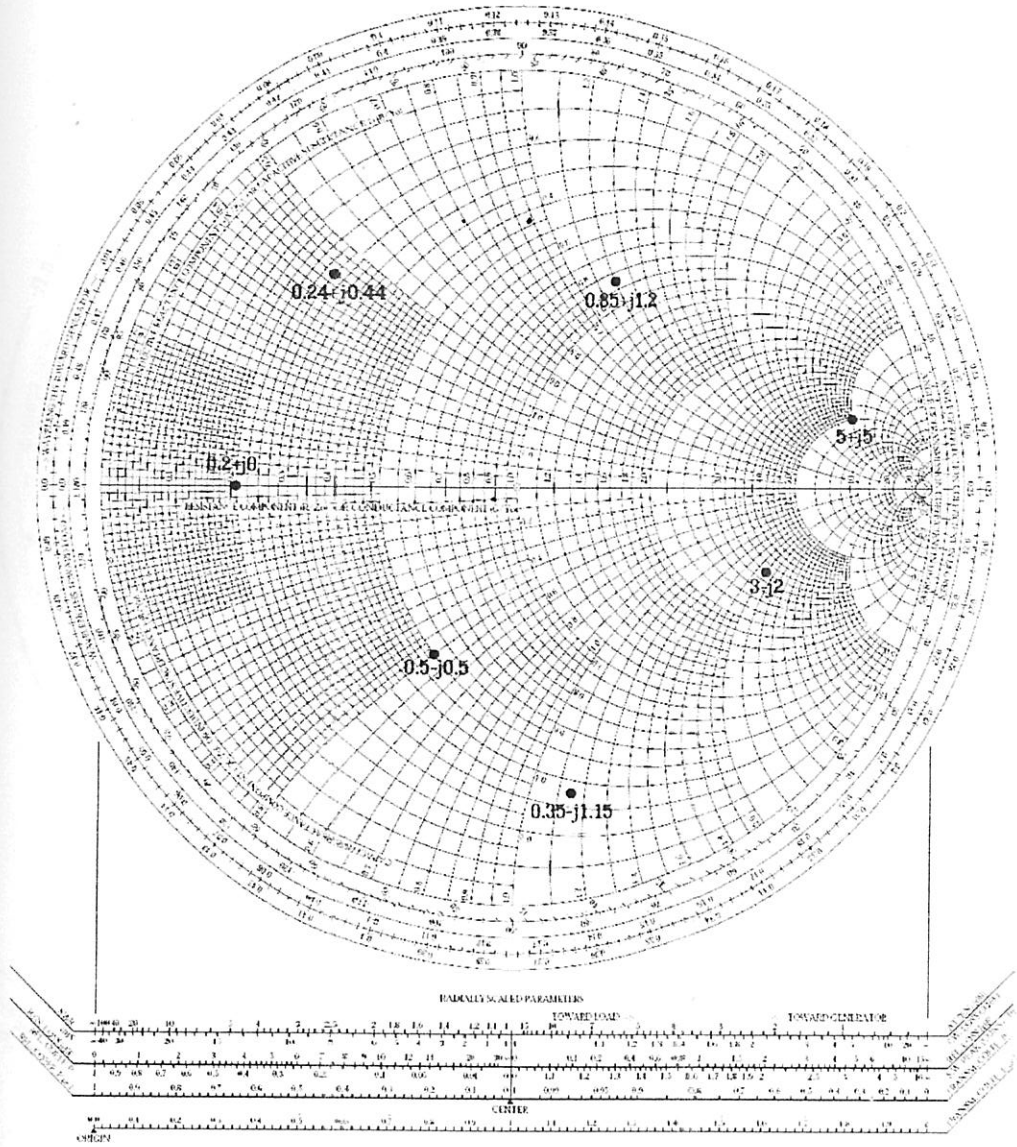
Black Magic Design



รูปที่ 3.27 แผนภูมิสมิท

The Complete Smith Chart

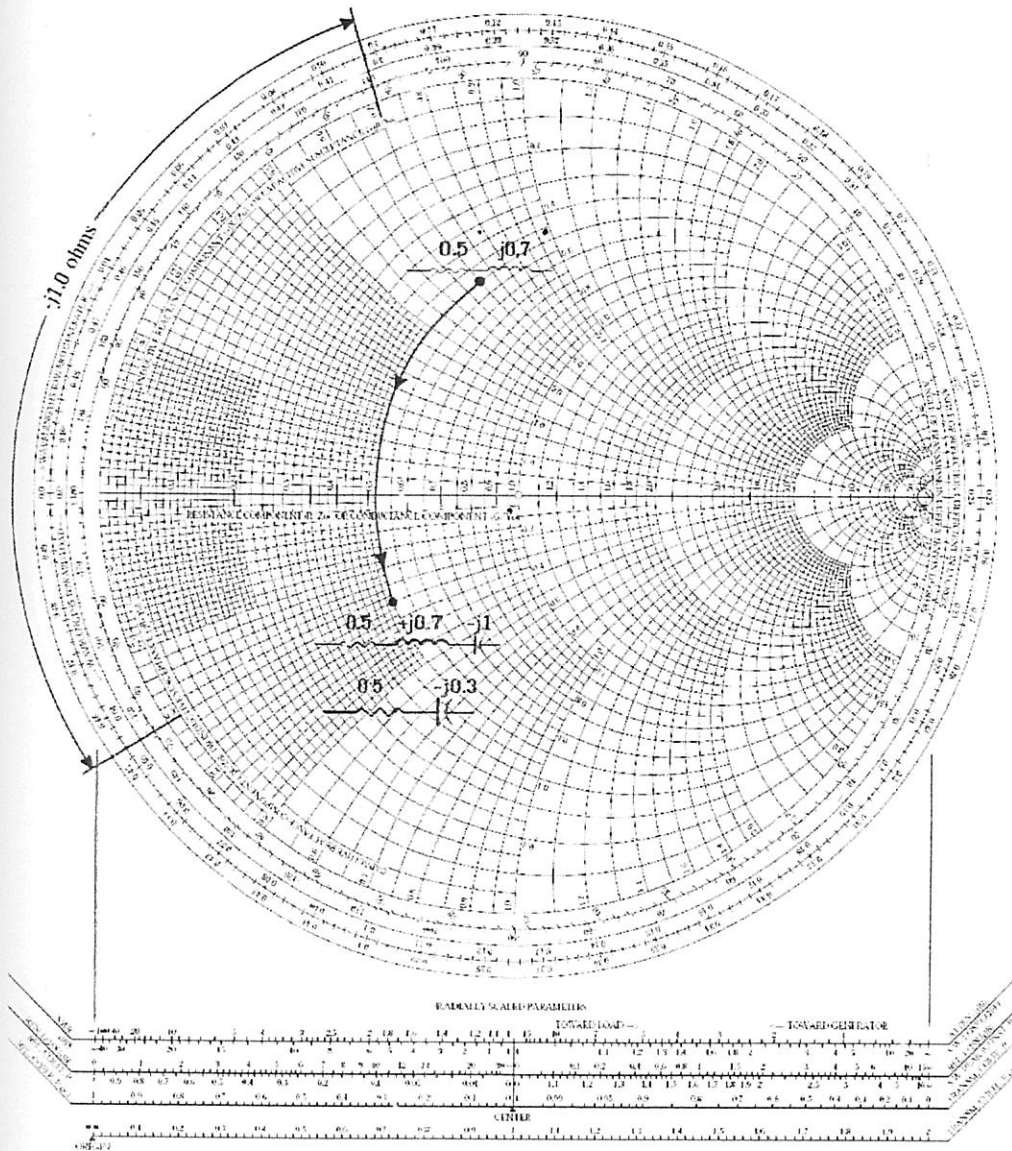
Black Magic Design



รูปที่ 3.28 แสดงตำแหน่งค่าบนจุดแผนภูมิสมิท

The Complete Smith Chart

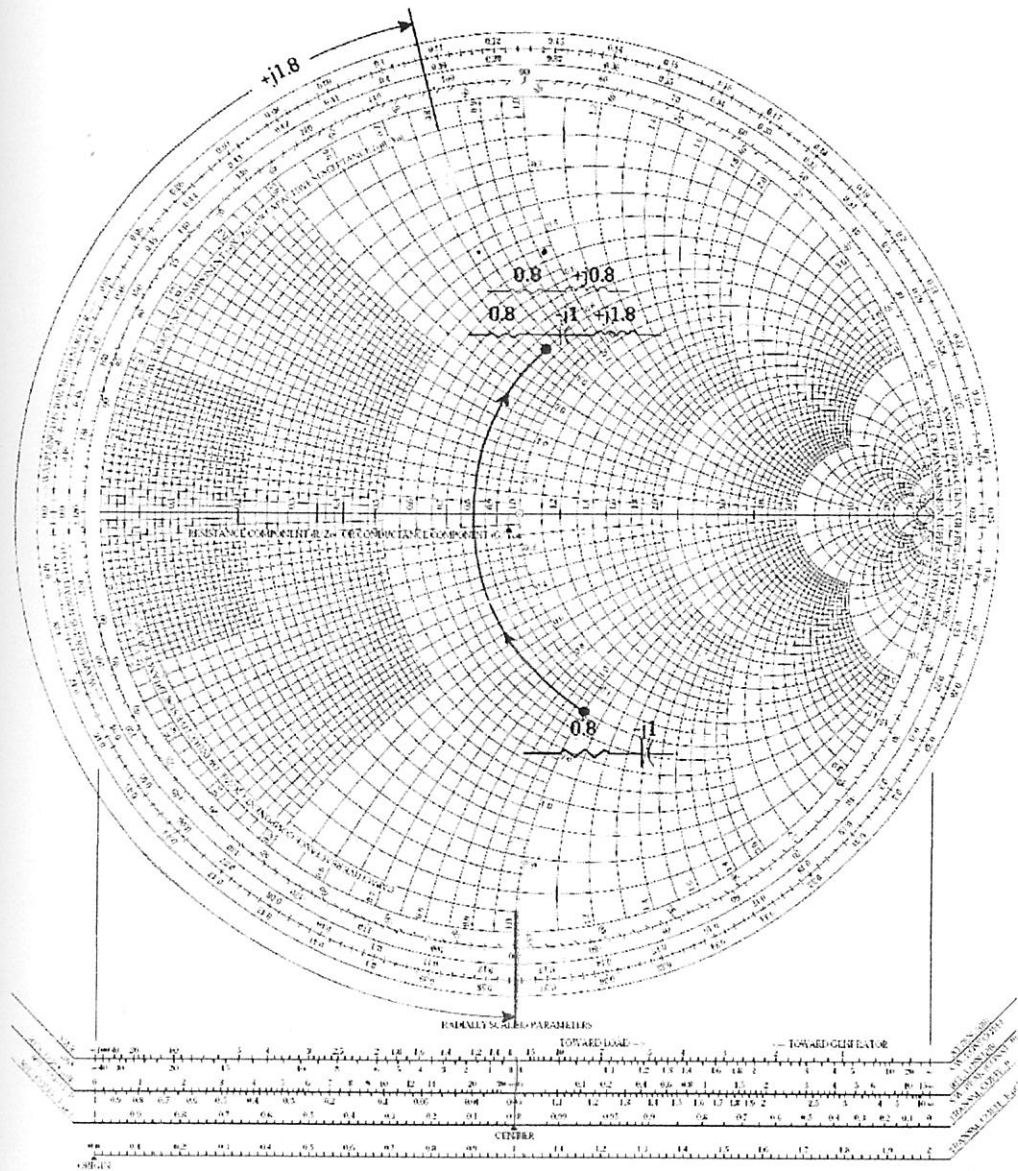
Black Magic Design



รูปที่ 3.29 แสดงการเพิ่มอุปกรณ์อนุกรมตัวเก็บประจุ

The Complete Smith Chart

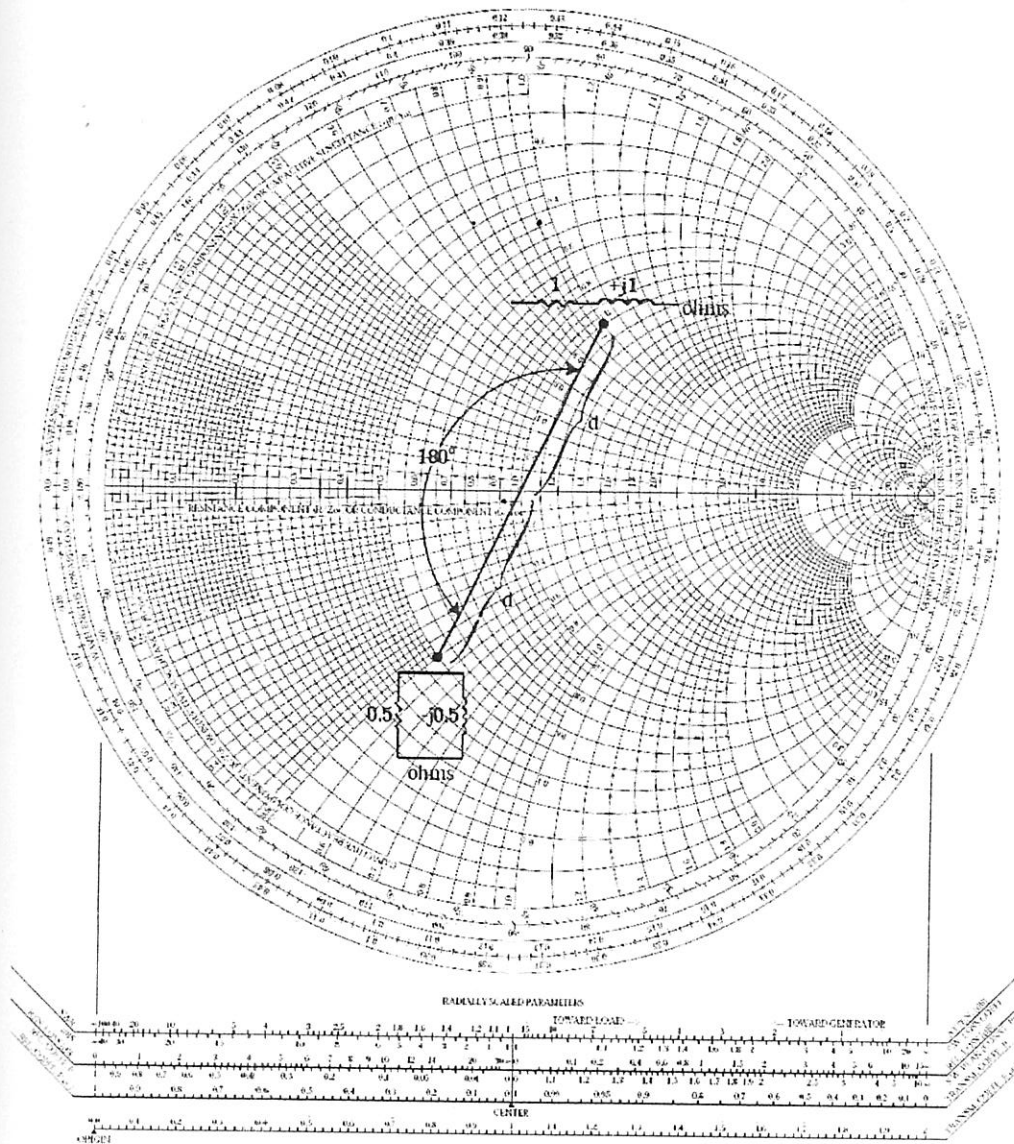
Black Magic Design



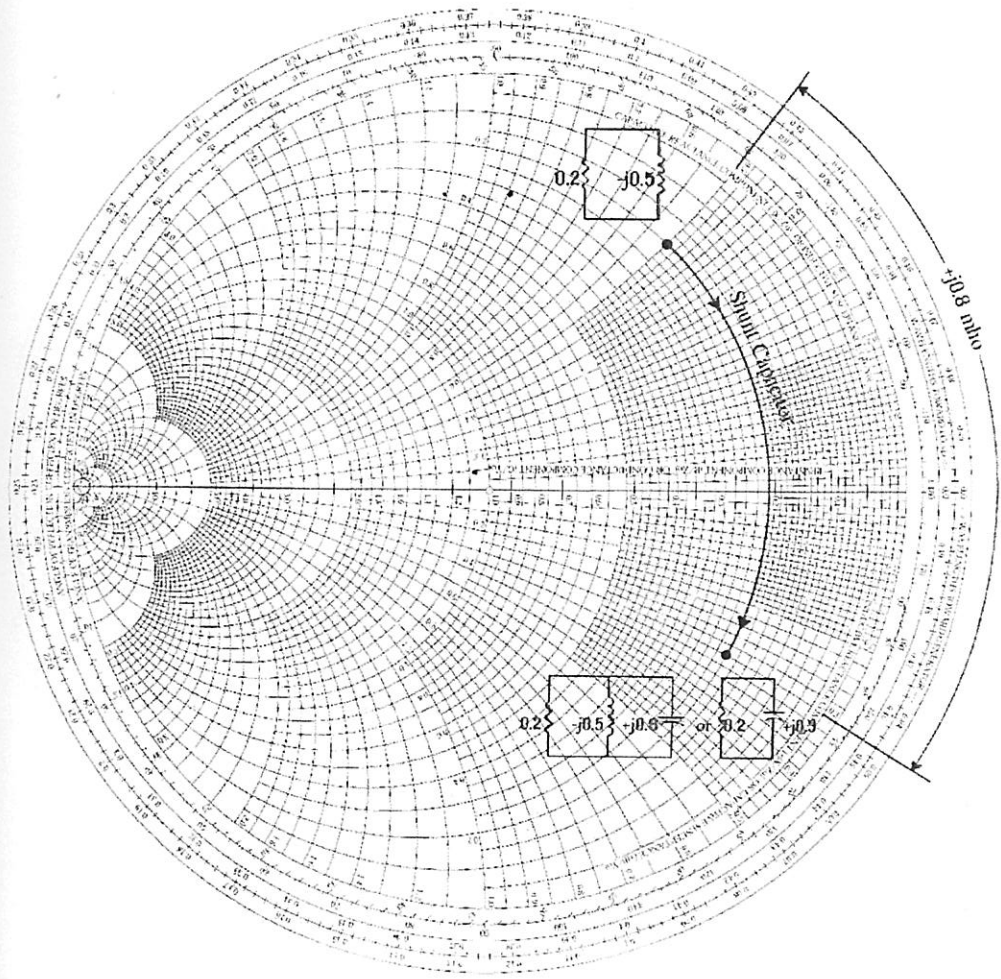
รูปที่ 3.30 แสดงการเพิ่มอุปกรณ์อนุกรมตัวเหนี่ยวนำ

The Complete Smith Chart

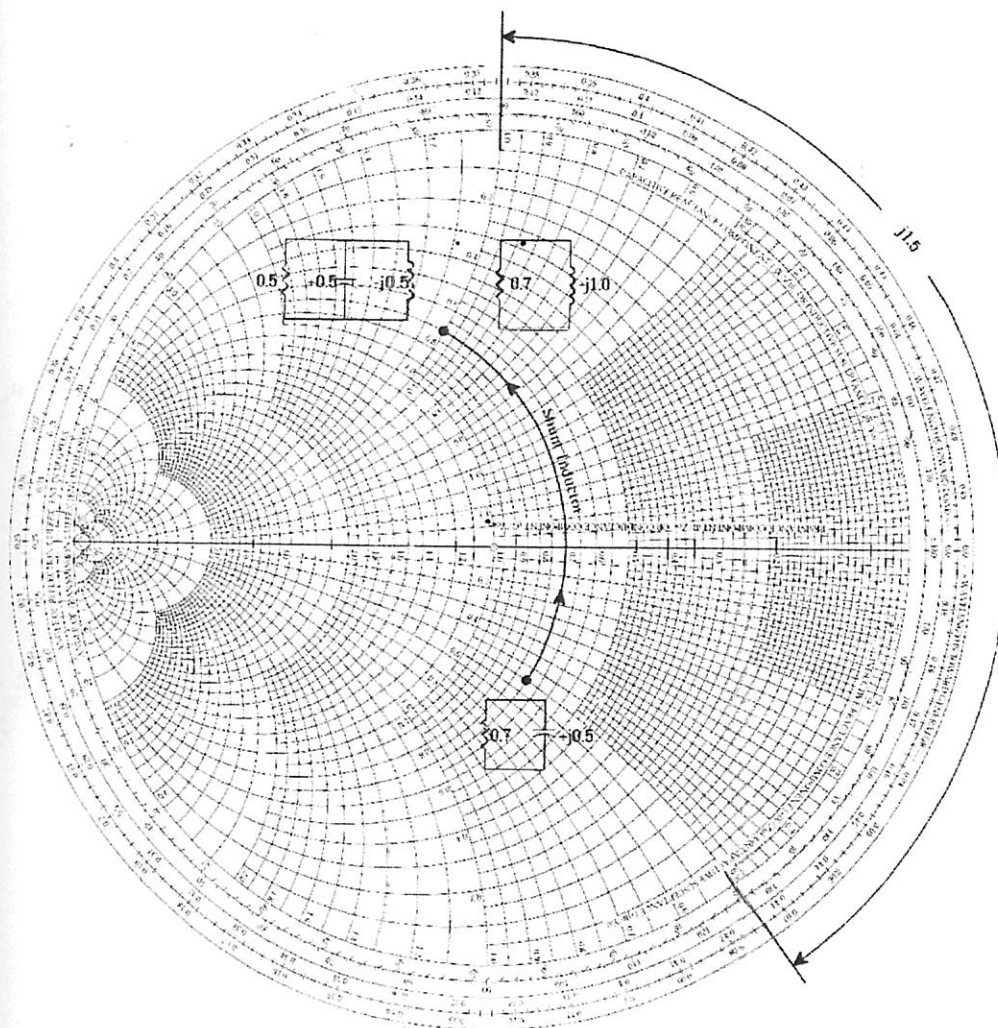
Black Magic Design



รูปที่ 3.31 แสดงการเปลี่ยนค่าอิมพีแดนซ์กับแอดมิตแดนซ์



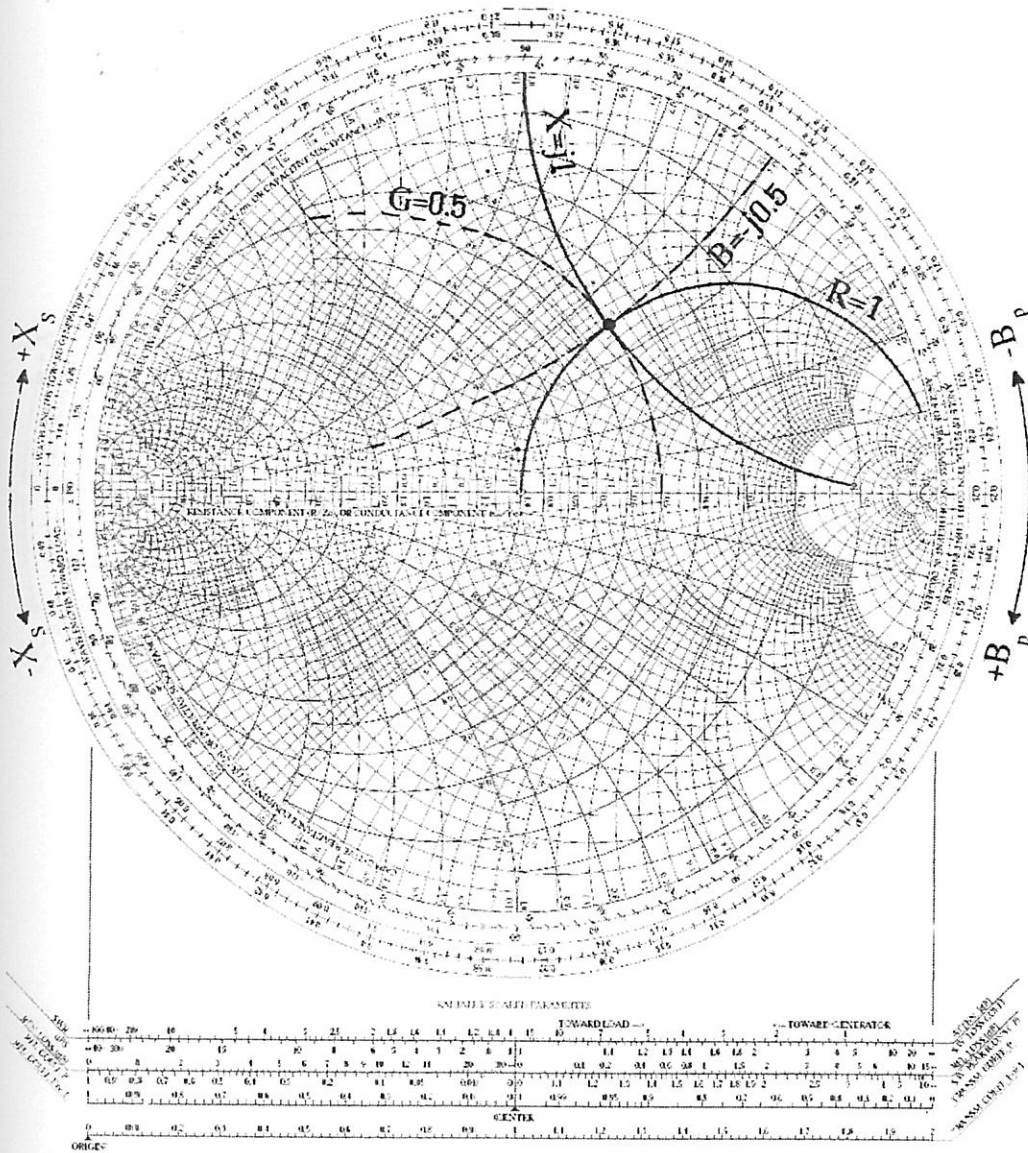
รูปที่ 3.32 แสดงการเพิ่มอุปกรณ์ขนานตัวเก็บประจุ



รูปที่ 3.33 แสดงการเพิ่มอุปกรณขานานตัวเหนี่ยวนำ

NAME	TITLE	ENG. NO.
SMITH - CHART FORM E-1014	Microwave Circuit Design - EEE503 - Fall 2008	DATE

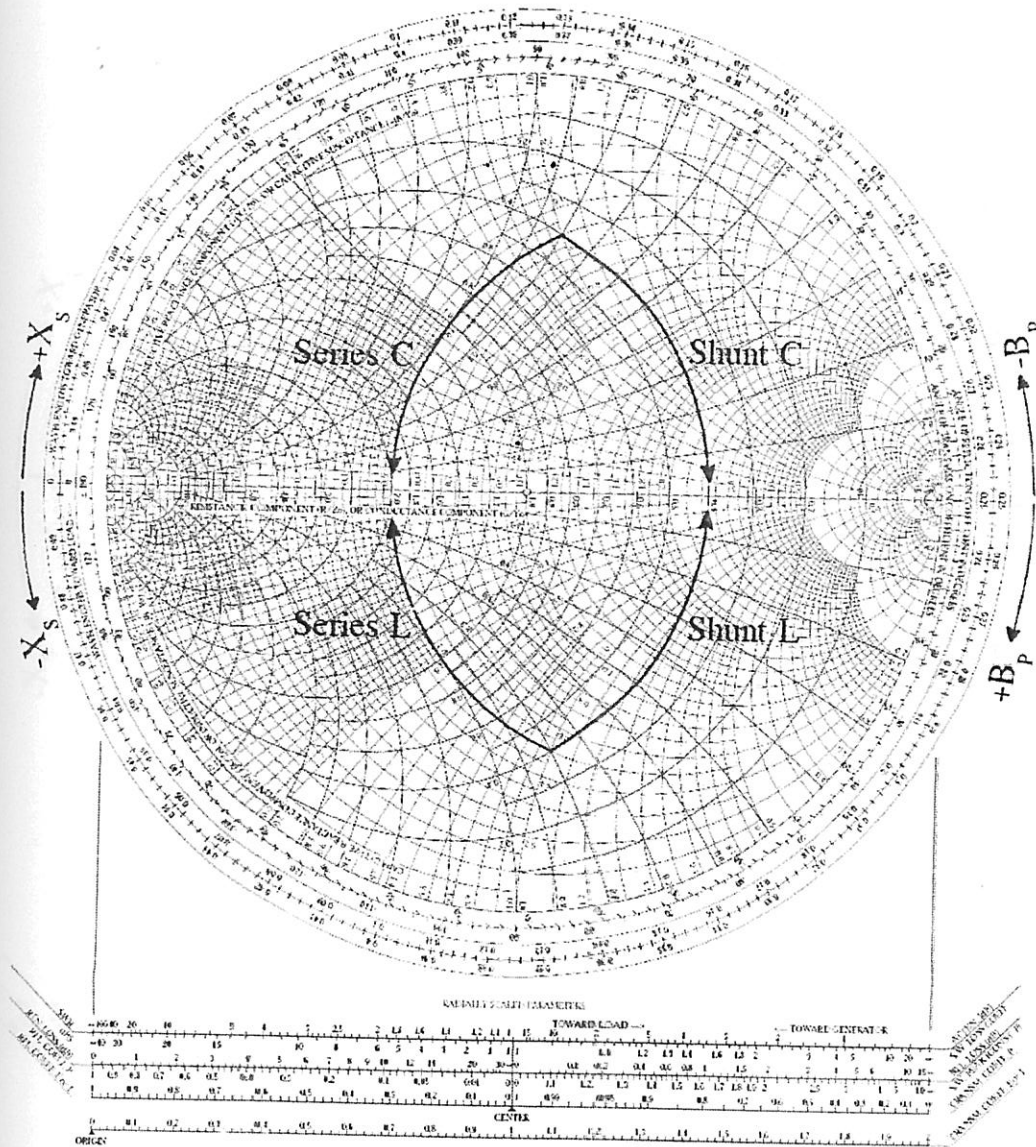
NORMALIZED IMPEDANCE AND ADMITTANCE COORDINATES



รูปที่ 3.34 แสดงตำแหน่งแอดมิตแตนซ์

NAME	TITLE	EWG. NO.
SMIT- CHART FORM ZY-Q1-N	Microwave Circuit Design - EE503 - Fall 2000	DATE

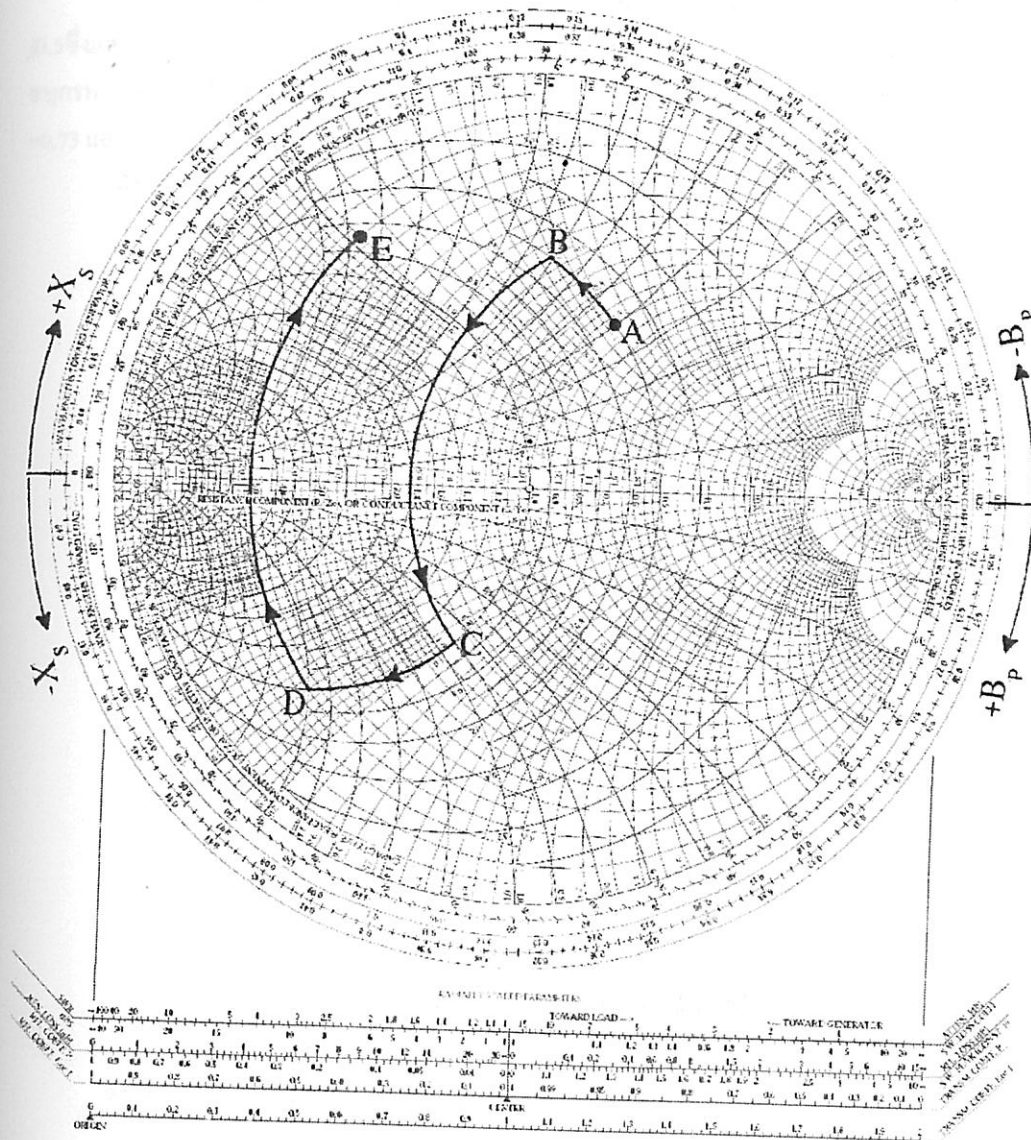
NORMALIZED IMPEDANCE AND ADMITTANCE COORDINATES



รูปที่ 3.35 แสดงทิศทาง การเคลื่อนที่ ของการแมตซ์อิมพีแดนซ์บนแผนภูมิสมิท

NAME	TITLE	DWG. NO.
SMITH-CHART FORM 24-0-41	Microwave Circuit Design - EE603 - Fall 2006	DATE

NORMALIZED IMPEDANCE AND ADMITTANCE COORDINATES



รูปที่ 3.36 แสดงแผนภูมิสมิท สำหรับตัวอย่าง 3.5

ตัวอย่างที่ 3.6 ออกแบบโครงข่าย แมตซ์แบบ 2 องค์ประกอบ บน แผนภูมิสมิท เพื่อแมตซ์ทางด้านแหล่งจ่ายที่ $25 - j15$ โอห์ม และทางด้านฝั่งโหลด $100 - j25$ โอห์ม ที่ความถี่ 60 MHz ให้ทำการแมตซ์ เป็นวงจรแบบกรอความถี่ต่ำ ผ่าน

วิธีทำ เนื่องจากเป็นอิมพีแดนซ์จำนวนเชิงซ้อน ดังนั้น อิมพีแดนซ์ ที่ต้องการเมื่อมองจากแหล่งจ่าย คือ การคอนจูเกตจำนวนเชิงซ้อนของค่านแหล่งจ่าย นั่นคือเราต้องการทำให้โหลด $100-j25$ โอห์ม มีค่าเมื่อมองจากแหล่งจ่ายเป็น $25+j15$ โอห์ม

เนื่องจากค่าอิมพีแดนซ์นี้ใหญ่เกินไปเราจะทำการนอร์มัลไลซ์ ด้วย 50 ได้ $Z_s = 0.5 + j0.3$ และ $Z_L = 2 - j0.5$ ซึ่งแสดงใน แผนภูมิสมิท รูปที่ 3.37 เป็นจุด C และ A ตามลำดับ ต่อมาเราจะแมตช์โดยใช้ขานาน C และอนุกรม L เพื่อให้ได้ วงจรรองความถี่ต่ำผ่าน ตามต้องการ ได้ดังรูป 3.37 โดยที่โคง AB เป็น ขานาน C ซึ่งมีค่า $+jB = 0.73$ และ โคง BC เป็น อนุกรม L ซึ่งมีค่า $+jX = 1.2$

ดังนั้นจะได้ค่า คินค่านอร์มัลไลซ์ ของทั้งสองค่า โดยคูณด้วย 50 โอห์ม

$$X_C = \left(\frac{1}{+jB} \right) (50)$$

$$X_C = \left(\frac{1}{0.73} \right) (50) = 68.5 \ \Omega$$

$$X_L = (+jX)(50)$$

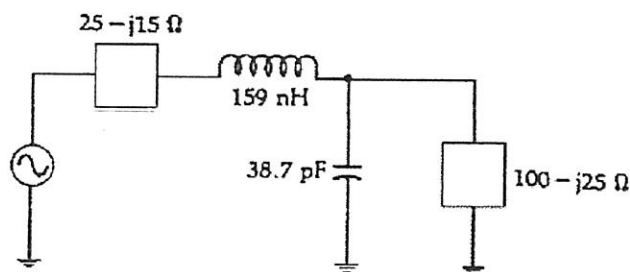
$$X_L = (1.2)(50) = 60 \ \Omega$$

ซึ่งที่ 60 MHz จะได้ค่าองค์ประกอบเป็น

$$L = \frac{X_L}{\omega} = \frac{60}{2\pi(60 \times 10^6)} = 159 \text{ nH}$$

$$C = \frac{1}{\omega X_C} = \frac{1}{2\pi(60 \times 10^6)(68.5)} = 38.7 \text{ pF}$$

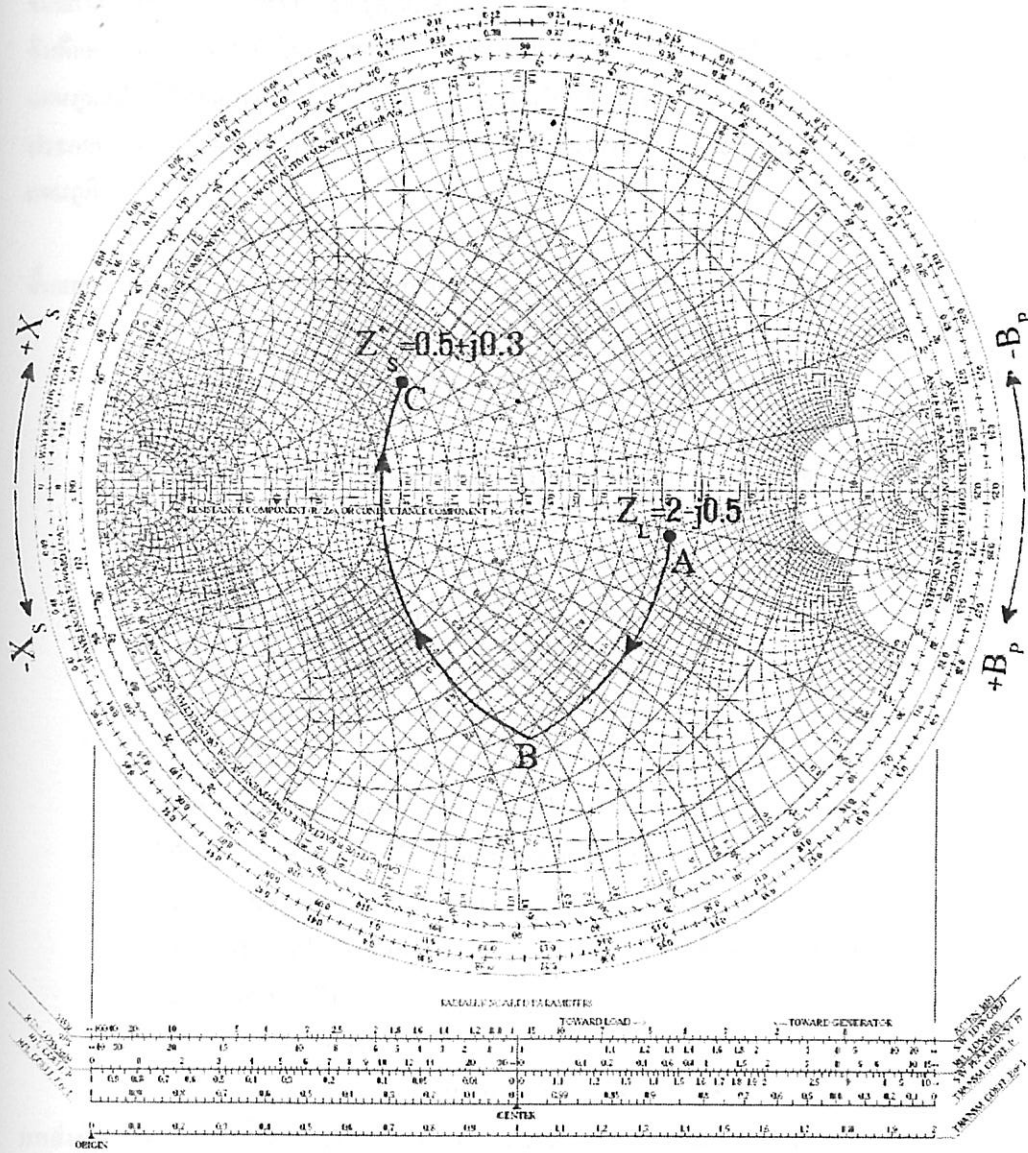
จะได้วงจรที่แมตช์แล้วดังรูปที่ 3.38



รูปที่ 3.37 แสดงรูปตัวอย่าง 3.6

NAME	TITLE	DWG. NO.
SMIT-C-ART-FORM 2V-01-11	Microwave Circuit Design - EEE23 - Fall 2000	DATE

NORMALIZED IMPEDANCE AND ADMITTANCE COORDINATES



รูปที่ 3.38 แสดงแผนภูมิสมิท สำหรับตัวอย่าง 3.6

3.5 การแมตซ์อิมพีแดนซ์แบบ 3 องค์ประกอบ[2]

เราทราบมาแล้วว่า การใช้ แบบ 3 องค์ประกอบ สามารถกำหนดค่าตัวประกอบคุณภาพ สูงๆ ได้ ซึ่งในการแมตซ์บน แผนภูมิสมิท เราสามารถเลือกค่าตัวประกอบคุณภาพ ได้เช่นกัน โดยแต่ละจุดบนแผนภูมิสมิท ก็จะมีค่าตัวประกอบคุณภาพของมันอยู่ตามสูตรของ วงจรอนุกรม

อิมพีแดนซ์ เท่ากับ X/R ทำให้เรา สามารถกำหนดจุด เป็นเส้น โคง ซึ่งก็มีค่าตัวประกอบคุณภาพ ตามที่ต้องการบนแผนภูมิสมิท ได้ ดังแสดงตัวอย่างใน รูปที่ 3.39 เป็นเส้น โคง ซึ่งมีค่า ตัวประกอบคุณภาพ = 5 นี้ โดยโคงของค่าตัวประกอบคุณภาพ = ∞ คือเส้นรอบวงกลมของ แผนภูมิ และเส้น ตัวประกอบคุณภาพ = 0 คือเส้นแกนนอนของแผนภูมิ

ในการออกแบบให้ได้ค่า ตัวประกอบคุณภาพ สูงขึ้นก็มีลักษณะเช่นเดียวกันกับในวิธีการคำนวณขั้นตอนในการออกแบบ ให้ได้ค่าตัวประกอบคุณภาพ ตามต้องการ สามารถสรุปได้ดังนี้

- 1) กำหนดจุดเส้น โคงตัวประกอบคุณภาพคงที่สำหรับค่าตัวประกอบคุณภาพตามที่ต้องการ
- 2) กำหนดจุดค่าโพลอิมพีแดนซ์(Z_L) และตัวคอนจูเกตจำนวนเชิงซ้อนของแหล่งจ่ายอิมพีแดนซ์ (Z_S)
- 3) กำหนดว่าจะให้ปลายทางใดของโครงข่ายเป็นตัวกำหนดค่าตัวประกอบคุณภาพ ดังนี้
-โครงข่ายT: ปลายที่มีค่าต้านทานน้อยเป็นตัวกำหนดค่าตัวประกอบคุณภาพ
-โครงข่าย π : ปลายที่มีค่าต้านทานมากเป็นตัวกำหนดค่าตัวประกอบคุณภาพ
- 4) สำหรับ โครงข่ายแบบ T

$R_S > R_L$ อิมพีแดนซ์จะเริ่มเคลื่อนจากโพลไปตามวงกลมRคงที่ไปตัดเส้น โคงของ ตัวประกอบคุณภาพ ความยาวของส่วน โคงที่เคลื่อนที่ไปตาม แผนภูมิสมิท จะเป็นตัวกำหนดค่าของ องค์ประกอบตัวแรก จากนั้นจะวิ่งจากจุดนี้ไปยัง Z_S ด้วยการเคลื่อนที่ 2 ครั้งครั้งแรกเป็นอุปกรณแบบขนาน (วิ่งตามวงกลมGคงที่) ต่อมาเป็นอุปกรณแบบอนุกรม $R_S < R_L$ หากจุดตัดระหว่างเส้น โคง ตัวประกอบคุณภาพ กับวงกลมที่ค่า R ของแหล่งจ่ายอิมพีแดนซ์คงที่ แล้ว กำหนดจุด เป็นจุด I ไว้ ค่าอิมพีแดนซ์จะวิ่งจากโพลอิมพีแดนซ์ไปยังจุด I ด้วยการเคลื่อนที่ 2 ครั้ง อุปกรณอนุกรม แล้วตามด้วย อุปกรณแบบขนาน จากนั้นวิ่งจากจุด I ไปยัง Z_S ตามวงกลม R คงที่ด้วย อุปกรณแบบอนุกรม อีกอันหนึ่ง

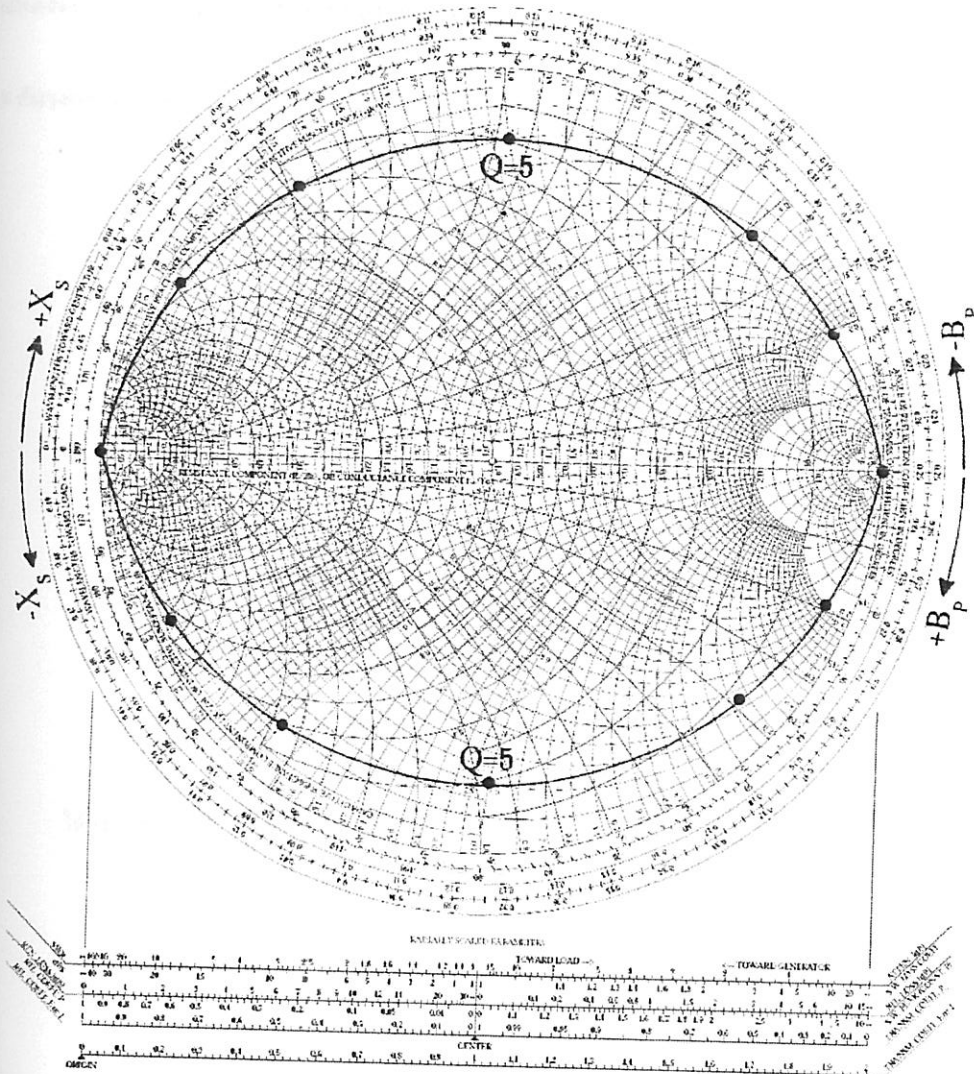
- 5) สำหรับ π network

$R_S > R_L$ หากจุดตัด I ระหว่างเส้น โคง ตัวประกอบคุณภาพ กับ วงกลมที่ค่าG ของ แหล่งจ่ายอิมพีแดนซ์คงที่แล้ว plot ค่าไว้ ค่าอิมพีแดนซ์จะวิ่งจากโพลอิมพีแดนซ์ไปยังจุด I ด้วยการเคลื่อนที่ 2 ครั้งอุปกรณแบบขนาน แล้วตามด้วยอุปกรณแบบอนุกรม จากนั้นวิ่งจากจุด I ไปยัง Z_S ตามวงกลม G คงที่ด้วยอุปกรณแบบอนุกรม อีกอันหนึ่ง

$R_S < R_L$ อิมพีแดนซ์จะเริ่มเคลื่อนจากโพลไปตามวงกลม G คงที่ไปตัดเส้น โคงของตัวประกอบคุณภาพ ความยาวของส่วน โคงที่เคลื่อนที่ไปตามแผนภูมิสมิท จะเป็นตัวกำหนดค่าของ องค์ประกอบตัวแรก จากนั้นจะวิ่งจากจุดนี้ไปยัง Z_S^* (Z_S Conjugate) ด้วยการเคลื่อนที่ 2 ครั้งครั้งแรกเป็นอุปกรณแบบอนุกรม (วิ่งตามวงกลม R คงที่) ต่อมาเป็น อุปกรณแบบขนาน

NAME	TITLE	EWG. NO.
SMIT - CHEST FORM 21-614H	Microwave Circuit Design - EB302 - Fall 2000	U-7E

NORMALIZED IMPEDANCE AND ADMITTANCE COORDINATES



รูปที่ 3.39 เส้นค้ำประกอบคุณภาพ (Q) = 5

ตัวอย่างที่ 3.7 ออกแบบโครงข่ายแบบ T ที่ใช้แมตซ์ทางด้านแหล่งจ่ายที่ $15+j15$ โอห์มและทางด้านฝั่งโหลด 225 โอห์ม ที่ความถี่ 30 MHz โดยให้มี ตัวประกอบคุณภาพ เป็น 5

วิธีทำ ตามขั้นตอนข้างต้น เราต้องวาดเส้นโค้ง ตัวประกอบคุณภาพ $=5$ ก่อน แล้วกำหนด ค่าโหลดอิมพีแดนซ์ และตัวคอนจูเกตจำนวนเชิงซ้อนของแหล่งจ่ายอิมพีแดนซ์ โดบนอร์มัลไลซ์ ด้วย 75 โอห์ม ซึ่งจะได้

$$Z_s = 0.2 - j0.2 \text{ และ } Z_L = 3$$

รายละเอียดในการออกแบบแสดงในแผนภูมิ รูปที่ 3.40 โจทย์ต้องการใช้ โครงข่ายแบบ T ดังนั้น ปลายด้าน แหล่งจ่ายจะเป็นตัวกำหนดค่าตัวประกอบคุณภาพ เพราะ $R_s < R_L$

ตามขั้นตอนที่ 4 สำหรับกรณี $R_s < R_L$ อันดับแรก คือ หาจุดตัด I ระหว่างเส้นโค้ง ตัวประกอบคุณภาพ $= 5$ กับวงกลมที่ค่า R คงที่ ที่ผ่าน Z_s และจากนั้นวิ่งจาก โหลดอิมพีแดนซ์ไปยังจุด I โดยใช้ 2 องค์ประกอบ

อุปกรณ์ 1 = ico้ง AB = อนุกรม L = $j2.5$ โอห์ม

อุปกรณ์ 2 = ico้ง BI = ขนาน C = $j1.15$ โอห์ม

จากนั้นเคลื่อนจากจุด I ไปยัง Z_s ตามวงกลม R คงที่ได้

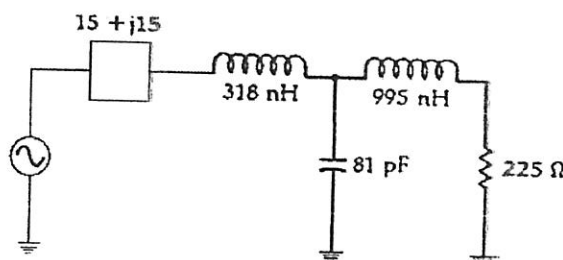
อุปกรณ์ 3 = ico้ง IC = อนุกรม L = $j0.8$ โอห์ม หากค่า L และ C ได้ดังนี้

$$\text{อุปกรณ์ 1 = อนุกรม L: } L = \frac{(2.5)(75)}{2\pi(30 \times 10^6)} = 995 \text{ nH}$$

$$\text{อุปกรณ์ 2 = ขนาน C: } C = \frac{1.15}{2\pi(30 \times 10^6)(75)} = 81 \text{ pF}$$

$$\text{อุปกรณ์ 3 = อนุกรม L: } L = \frac{(0.8)(75)}{2\pi(30 \times 10^6)} = 318 \text{ nH}$$

ได้วงจรสุดท้ายที่สมบูรณ์ดังรูป 3.41

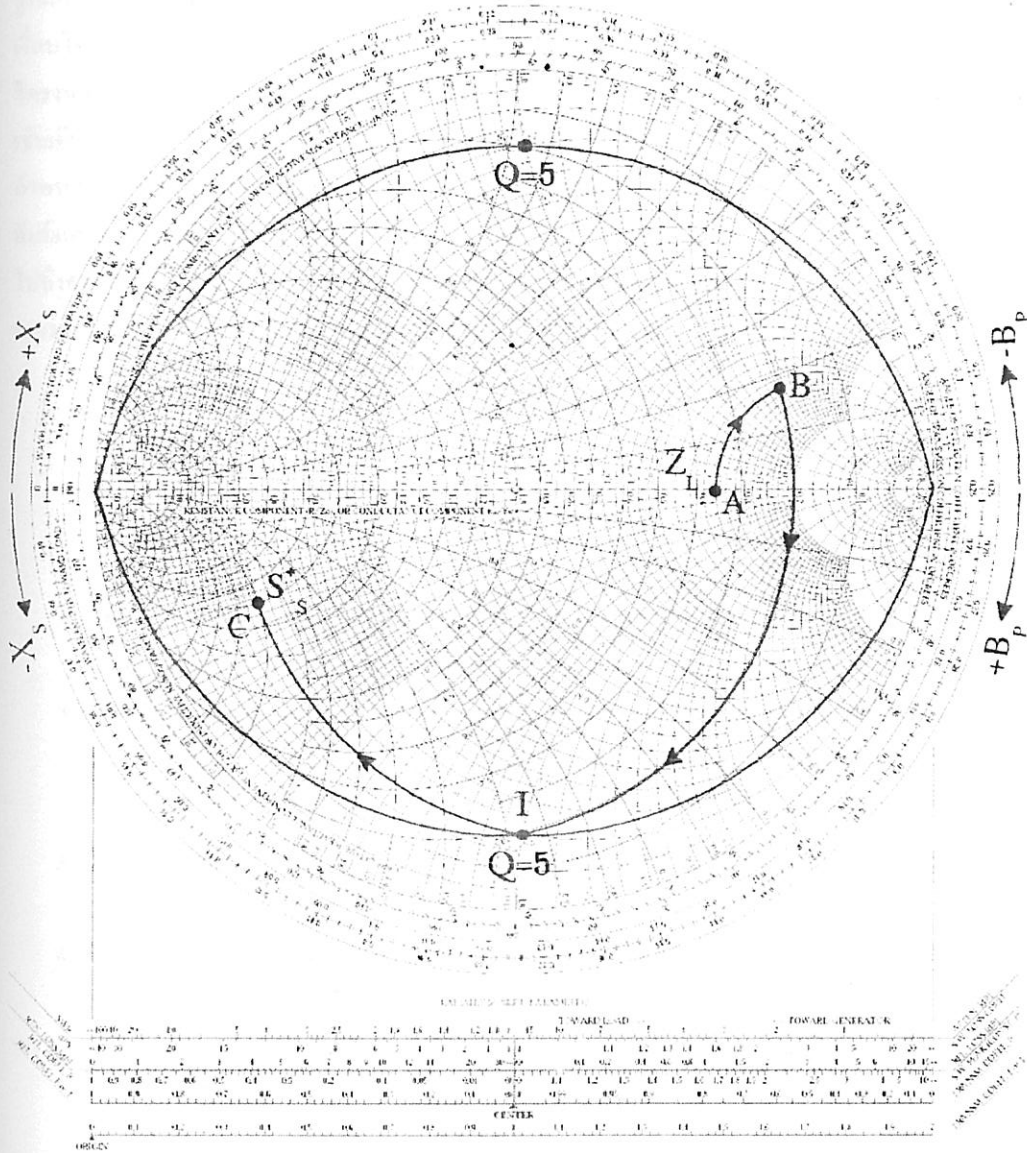


รูปที่ 3.40 แสดงวงจรสุดท้าย

นอกจากการแมตซ์โดยใช้ 2 องค์ประกอบหรือ 3 องค์ประกอบ ข้างต้นแล้ว เรายังมีวิธีการแก้ปัญหาได้อีกนับไม่ถ้วน โดยใช้หลายองค์ประกอบ ต่างกันไปได้มากมาย

NAME	TITLE	DATE
SMITH CHART FORM 2 (2014)	Miscellaneous Design - EE620 - Fall 2000	DATE

NORMALIZED IMPEDANCE AND ADMITTANCE COORDINATES



รูปที่ 3.41 แสดงแผนภูมิสมิท สำหรับตัวอย่าง 3.7

3.6 สรุป

ในบทนี้จะเป็นการแมตช์อิมพีแดนซ์ ระหว่างวงจรทางด้านแหล่งจ่าย ไปยังวงจรทางด้านโหลด โดยแบ่งเนื้อหาออกเป็น 2 ตอนคือ ในตอนแรกจะเป็นการแมตช์อิมพีแดนซ์โดยวิธี การคำนวณและในตอนที่สองจะเป็นการแมตช์อิมพีแดนซ์ โดยใช้วิธีแผนภูมิของสมิทซึ่งในการแมตช์ โดยวิธีการคำนวณนี้แยกออกไปตามความเหมาะสมของวงจรที่จะทำ การแมตช์ อย่างเช่น การแมตช์โดยใช้ L,C สององค์ประกอบก็จะเหมาะสมกับรูปแบบของ โครงข่ายแบบ L ซึ่งโครงข่ายแบบ L ยังแยกไปอีกขึ้นกับวงจรจะเหมาะสมกับการคำนวณ โดยใช้เงื่อนไขแบบ Absorption หรือ Resonance ส่วนการแมตช์โดยใช้ L,C สามองค์ประกอบ สามารถคำนวณแบบ โครงข่ายที่เป็น T หรือ π แต่ก็ขึ้นอยู่กับเงื่อนไขข้อกำหนดของการออกแบบ หรือลักษณะของวงจร เช่นเดียวกัน สำหรับการแมตช์ โดยวิธี แผนภูมิของสมิทก็จะเริ่มต้นโดยการทำความรู้จักแผนภูมิของสมิทการ กำหนดจุดค่าต่างๆ บนแผนภูมิของสมิท การแปลงอิมพีแดนซ์เป็นแอดมิแตนซ์ การใช้แผนภูมิอิมพีแดนซ์ รวมไปถึงตัวอย่างการแมตช์อิมพีแดนซ์ แบบ L,C สององค์ประกอบและ สามองค์ประกอบ ยังรวมไปถึงการกำหนดตัวประกอบคุณภาพ ซึ่งจะมีผลต่อความกว้างของแบนด์วิดของวงจรและมีผลเป็นตัวกำหนดขอบเขตของการแมตช์อิมพีแดนซ์ของวงจร

คำถามท้ายบทที่ 3

1. จงทำการแมตช์แหล่งจ่ายกับโหลดที่ความถี่ทำงาน 100 MHz โดยที่แหล่งจ่ายที่มีค่าความต้านทาน $Z_i = 100 + j126$ และโหลด $Z_o = 1000\Omega$
2. จงทำการแมตช์อิมพีแดนซ์ที่ป้องกันการไหลของกระแสตรง(DC) จากแหล่งจ่ายไปยังโหลดโดยแหล่งจ่ายมีค่าความต้านทาน $Z_i = 50\Omega$ และโหลดมีค่าความต้านทาน 600Ω ทำงานที่ความถี่ 75MHz
3. จงทำการแมตช์แหล่งจ่าย 100Ω กับโหลด 1000Ω ขนานกับคาปาซิเตอร์ 2pF โดยใช้แบบ โครงข่าย π ซึ่งให้ค่า $Q=15$ ทำงานที่ความถี่ 100MHz
4. จงออกแบบวงจรแมตช์อิมพีแดนซ์บนแผนภูมิสมิท แบบ 2 องค์ประกอบ ทางด้านแหล่งจ่าย $Z_i = 25 + j10\Omega$ และทางด้านโหลด $Z_L = 100 + j50$ ที่ความถี่ 100MHz
5. จงออกแบบวงจรแมตช์อิมพีแดนซ์โดยทางด้านแหล่งจ่าย $Z_i = 15 + j15\Omega$ และทางด้านโหลด 150Ω ที่มีความถี่ 100MHz โดยให้มีค่า loaded ตัวประกอบคุณภาพ เป็น 5 และเป็นวงจรแบบกรองความถี่ต่ำผ่าน
6. จงออกแบบวงจรแมตช์อิมพีแดนซ์แบบโครงข่าย T ที่แมตช์ทางด้านแหล่งจ่าย $15 + j50\Omega$ และทางด้านโหลด $25 + j75\Omega$ ที่ความถี่ 200MHz โดยให้มีตัวประกอบคุณภาพเท่ากับ 5 และเป็นวงจรแบบกรองความถี่สูงผ่าน

บทที่ 3

การออกแบบวงจรกรองความถี่วิทยุ

5.1 ชนิดของวงจรกรองความถี่ [1,3]

วงจรกรอง (Filter) คือ วงจรอิเล็กทรอนิกส์ที่ให้ผลตอบสนองความถี่ (Frequency response) ทางขนาดหรือเฟสที่ไม่เท่ากันในแต่ละย่านความถี่ เพื่อหวังผลในการคัดแปลง หรือ “แยก” ย่านความถี่ หรือ ความถี่เฉพาะ ที่ต้องการออกจากส่วนที่ไม่ต้องการ เพื่อส่งผ่านสัญญาณในแถบความถี่ที่ต้องการ และทำการลดทอนสัญญาณในบริเวณแถบความถี่ที่ไม่ต้องการ วงจรกรองแบ่งเป็น 4 ประเภท คือ

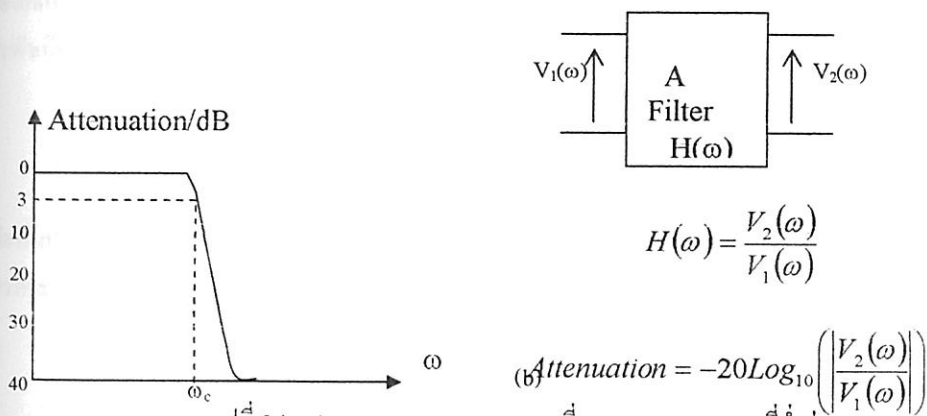
1. วงจรกรองความถี่ต่ำผ่าน (Low-pass filter) (LPF) เป็นวงจรกรองที่ให้สัญญาณขาเข้าความถี่ตั้งแต่ศูนย์เฮิรตซ์ (Hertz) ขึ้นไปจนถึงความถี่ที่ค่าหนึ่งซึ่งเรียกว่า ความถี่คัทออฟ (cut-off frequency) หรือ ω_c ผ่านไปได้ และทำหน้าที่ลดทอนสัญญาณที่มีความถี่เกินกว่านั้น

2. วงจรกรองความถี่สูงผ่าน (High-pass filter) (HPF) เป็นวงจรกรองที่ยอมให้สัญญาณที่มีความถี่สูงกว่าความถี่คัทออฟ (ω_c) ให้ผ่านไปได้และลดทอนสัญญาณที่มีความถี่ต่ำกว่า

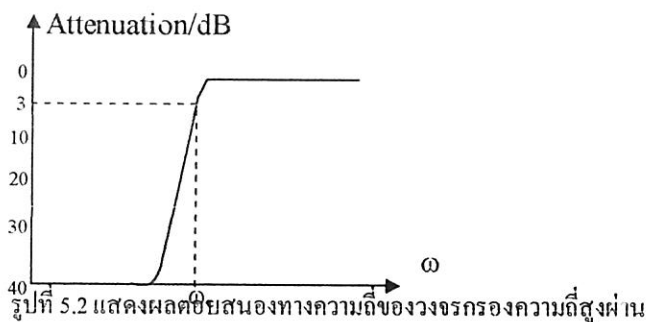
3. วงจรกรองแถบความถี่ผ่าน (Band-pass filter) (BPF) เป็นวงจรกรองที่ยอมให้สัญญาณผ่านได้เฉพาะในช่วงความถี่ ω_1 ถึง ω_2 เท่านั้น

4. วงจรกรองแถบความถี่หยุดผ่าน (Stop-pass filter) (SBF) เป็นวงจรกรองที่ไม่ยอมให้สัญญาณผ่านได้ในช่วงความถี่ ω_1 ถึง ω_2

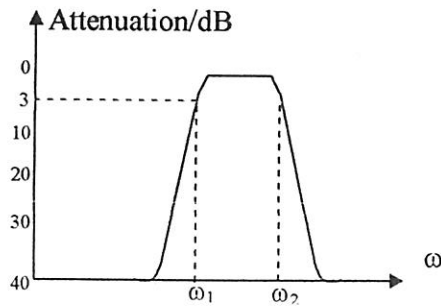
แสดงคุณลักษณะของวงจรกรองความถี่โดยแสดงการลดทอน (Attenuation) ดังรูป



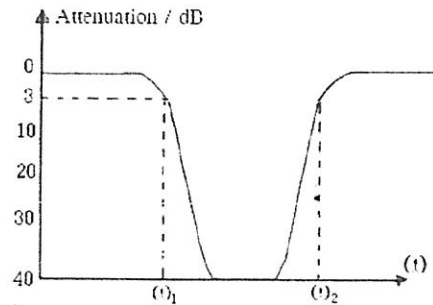
รูปที่ 5.1 แสดงผลตอบสนองทางความถี่ของวงจรกรองความถี่ต่ำผ่าน



รูปที่ 5.2 แสดงผลตอบสนองทางความถี่ของวงจรกรองความถี่สูงผ่าน



รูปที่ 5.3 แสดงผลตอบสนองทางความถี่ของวงจรกรองแถบความถี่ต่ำ



รูปที่ 5.4 แสดงผลตอบสนองทางความถี่ของวงจรกรองแถบความถี่สูง

การออกแบบวงจรกรองความถี่ต่ำกว่า 1 GHz จะนิยมใช้ วงจรองค์ประกอบแบบก้อน (Lumped Element) เช่น ตัวต้านทาน ตัวเหนี่ยวนำ และตัวเก็บประจุ โดยพิจารณาค่าสูญเสีย ของความถี่ที่ต้องการออกแบบ ค่า การสูญเสียกำลัง ของระบบ 2 พอร์ต คำนวณจาก

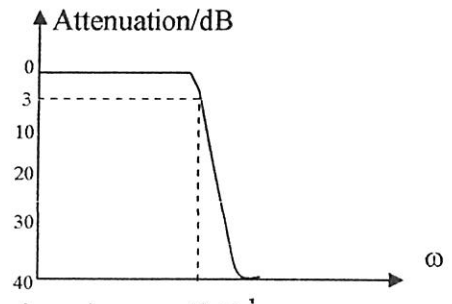
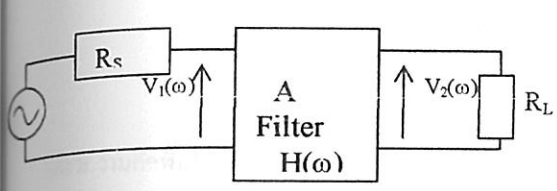
$$P_{IL} = \frac{\text{Power available from the source}}{\text{Power delivered to load}} = \frac{P_{inc}}{P_{load}} = \frac{1}{1 - |\Gamma(\omega)|^2} \quad (5.1)$$

โดยที่ Γ คือสัมประสิทธิ์การสะท้อนกลับ (Reflection Coefficient) ของวงจรกรอง (สมมติว่าไม่มีการสูญเสียในวงจรกรอง) ถ้าพิจารณาพารามิเตอร์การกระจัดกระจาย จะได้ค่า การสูญเสีย L_A และการสูญเสีย L_R ในหน่วย dB ดังสมการ (5.2) และ (5.3) ตามลำดับ

$$L_A(\omega) = 10 \log P_{LR} = 10 \log \frac{1}{|S_{21}(j\omega)|^2} \text{ dB} \quad (5.2)$$

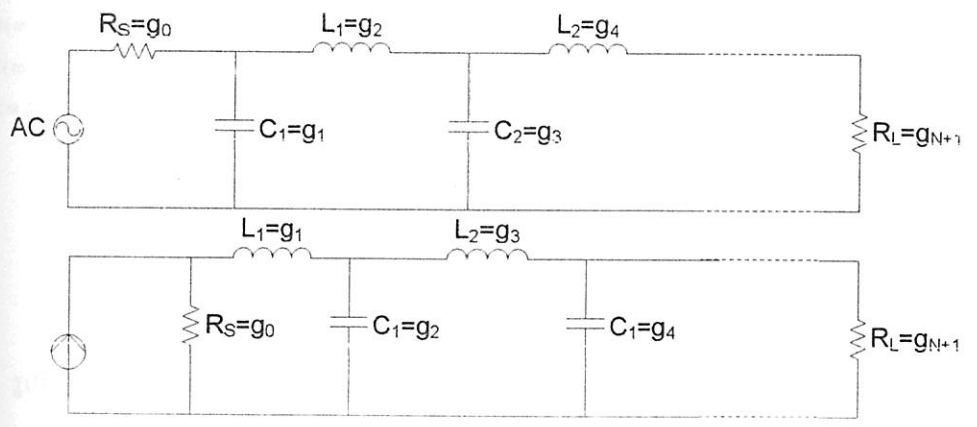
$$L_R(\omega) = 10 \log [1 - |S_{21}(j\omega)|^2] \text{ dB} \quad (5.3)$$

โดยปกติการออกแบบวงจรกรองด้วยการพิจารณา การสูญเสีย นั้นจะเริ่มต้นการออกแบบด้วยการนอร์มไลซ์ วงจรต้นแบบ ซึ่งเป็นวงจรกรองแบบความถี่ต่ำผ่าน ประกอบด้วยแหล่งจ่ายแรงดันและโหลดความต้านทาน 1 โอห์ม ที่งานที่ความถี่ที่ออฟเซตเท่ากับ 1 ไร่เดียนต่อวินาที ดังแสดงในรูปที่ 5.4 ขั้นตอนต่อไปให้หลักการเปลี่ยนรูปแบบอิมพีแดนซ์ หรือการแปลงอิมพีแดนซ์และแปลงความถี่ให้เท่ากับค่าที่ต้องการใช้งานจริงโดยการนอร์มไลซ์จากวงจรกรองความถี่ต่ำผ่าน

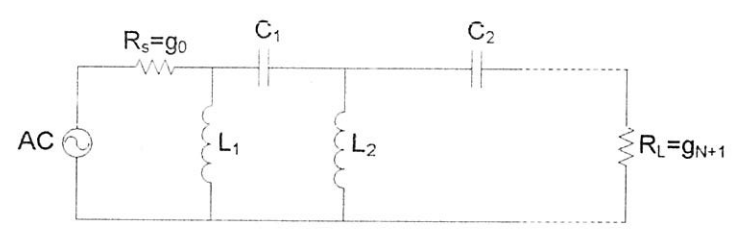


รูปที่ 5.5 แสดงวงจรรองความถี่ต่ำผ่าน ที่ความถี่คัทออฟเท่ากับ 1 เรเดียนต่อวินาที

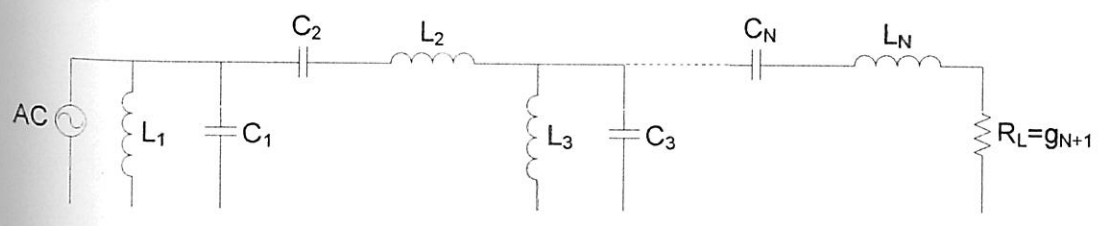
วงจรรองคลื่นแบบความถี่ต่ำผ่าน มีรูปแบบวงจรแสดงดังรูปที่ 5.5 ซึ่งการเปลี่ยนตำแหน่งของตัวเหนี่ยวนำ และตัวเก็บประจุเป็นแบบอนุกรมหรือขนานจะทำให้การทำงานของวงจรเปลี่ยน เลขอันดับ (Order) ของวงจรรองขึ้นกับจำนวนของอุปกรณ์ ที่ต้องการใช้งาน ส่วนวิธีการแปลงอิมพีแดนซ์และแปลงความถี่ไปเป็นความถี่คัทออฟ แหล่งจ่าย และโหลดความต้านทานที่ใช้งานจริงนั้นจะขึ้นกับประเภทของวงจรรอง ตัวอย่างวงจรรองแบบ ความถี่สูงผ่าน และ แบบแถบความถี่ผ่าน แสดงดังรูปที่ 5.6 และรูปที่ 5.7 ตามลำดับ โดยที่ตำแหน่งของตัวเหนี่ยวนำและตัวเก็บประจุจะเปลี่ยนไปเมื่อเทียบกับวงจรรองความถี่ต่ำผ่าน ในรูปที่ 5.6



รูปที่ 5.6 แสดงวงจรรองความถี่ต่ำผ่าน โดยใช้ อุปกรณ์ LC



รูปที่ 5.7 แสดงวงจรรองความถี่สูงผ่าน



รูปที่ 5.8 แสดงวงจรรองแถบความถี่ผ่าน

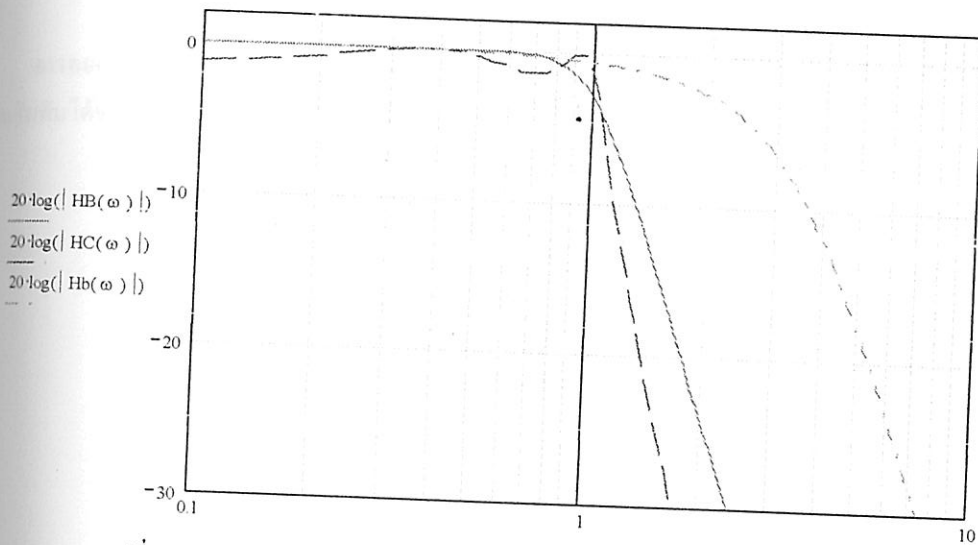
5.2. ตารางค่าการออกแบบวงจรความถี่ต่ำผ่าน [1,3]

มาตรฐานการออกแบบวงจรโดยการนอร์มัลไลซ์วงจรความถี่ต่ำผ่าน ที่รู้จักกันมี 3 วิธี คือ

1. Maximally flat หรือ Butterworth filter
2. Equal ripple หรือ Chebyshev
3. Elliptic function

แนวความคิดพื้นฐานของผลตอบสนองทางแอมพลิจูด $|H(\omega)|^2$ แสดงดังสมการ (5.4) โดยที่ K_0 และ C_0 เป็นค่าคงที่ ขึ้นอยู่กับชนิดของสมการคณิตศาสตร์ที่ใช้ ส่วน $P_N(\omega)$ เป็นสมการคณิตศาสตร์ของ ω อันดับ N ซึ่งการออกแบบวงจรความถี่ต่ำผ่าน แต่ละประเภทจะใช้สมการคณิตศาสตร์ $P_N(\omega)$ แตกต่างกันไป เช่น สมการโพลิโนเมียลของ Butterworth, Chebyshev, Bessel และฟังก์ชันเริ่มต้น รูปที่ 5.9 แสดงการเปรียบเทียบผลตอบสนองทางแอมพลิจูดของ วงจรความถี่ต่ำผ่าน ระหว่างฟังก์ชัน Polynomials แบบ Butterworth, Bessel และ Chebyshev

$$H(\omega) = \frac{V_o(\omega)}{V_i(\omega)} = \frac{K_0}{1 + C_0 P_N(\omega)} \quad (5.4)$$



รูปที่ 5.9 แสดงผลตอบสนองทางแอมพลิจูดอันดับที่ 4 ($N=4$) ของ Butterworth, Chebyshev และ Bessel

การออกแบบวงจรความถี่ต่ำผ่าน แต่ละวิธีมีข้อดีและข้อด้อยแตกต่างกัน โดยวิธี Chebyshev สามารถกำจัดสัญญาณที่มีความถี่มากกว่าความถี่คัทออฟได้รวดเร็ว แต่ทำให้เกิดเป็นระลอกคลื่นที่ความถี่ใช้งาน สำหรับวิธี Bessel มีอัตราการกำจัดสัญญาณช้าที่สุดแต่ให้ผลตอบสนองเฟสเป็นเชิงเส้น จึงสามารถลดการผิดเพี้ยนเฟสได้ ส่วนวิธี Butterworth จะมีคุณลักษณะอยู่ระหว่างวิธี Chebyshev และ Bessel

5.2.1 Butterworth Lowpass Prototype filters

Butterworth หรือ maximally flat Lowpass Prototype filters จะให้ ค่าการสูญเสีย ที่ความถี่ คัทออฟ 1 Hz เท่ากับ 3.01 dB สำหรับจำนวน LC ที่ใช้งานในการต่อวงจรความถี่ต่ำผ่าน จะขึ้นกับจำนวนอันดับ (Order) ของ สมการโพลิโนเมียล P_N เมื่อพิจารณาสมการ (5.5) จะได้ว่า $g_1, g_2, g_3, \dots, g_N$ สำหรับ วงจรความถี่ต่ำผ่าน อันดับ N ดังแสดงในตารางที่ 5.1 ซึ่งวงจรออกแบบ Butterworth มีโครงสร้างของเครือข่ายแบบสมมาตรเช่น $g_0 = g_{N+1}, g_1 = g_N$ เป็นต้น

$$\begin{aligned} g_0 &= 1.0 \\ g_i &= 2 \sin\left(\frac{(2i-1)\pi}{2N}\right) \quad \text{for } i=1 \text{ to } N \\ g_{N+1} &= 1.0 \end{aligned} \quad (5.5)$$

จำนวนอันดับของวงจรกรอง Butterworth จะถูกจำกัดด้วย ค่าการสูญเสีย (L_{As}) ที่ให้ค่าการลดทอนช่วงแถบที่ไม่ต้องการ ต่ำสุด โดยคำนวณจากสมการ (5.6) ตัวอย่างเช่น ต้องการ $L_{As} = 40$ dB และ $\omega_s = 2$ จะได้ $N = 6.644$ ดังนั้นต้องออกแบบวงจรกรองความถี่ต่ำผ่าน ให้มี $N = 7$

$$N \geq \frac{\log(10^{0.1L_{As}-1})}{2 \log \omega_s} \quad (5.6)$$

5.2.2 Chebyshev Lowpass Prototype filters

การออกแบบวงจรกรองให้มีความสูญเสีย L_r ต่ำ ($L_r < 0$) หรือมี VSWR สูงนั้นจำเป็นต้องกำหนดค่าการกระเพื่อมของความถี่ผ่าน หรือ L_{Ar} คำนวณได้จาก

$$L_{Ar} = -10 \log(1 - 10^{0.1L_r})$$

$$L_{Ar} = -10 \log \left[1 - \left(\frac{VSWR - 1}{VSWR + 1} \right)^2 \right] \quad (5.7)$$

การออกแบบ Chebyshev จะให้ ค่าการกระเพื่อม ของความถี่ผ่านเท่ากับ L_{As} ที่ความถี่คัทออฟ 1 Hz ซึ่งสามารถคำนวณหาค่า g และจำนวนอันดับได้จากสมการ (5.8) และ (5.9) ตามลำดับ

$$g_0 = 1.0$$

$$g_i = \frac{1}{g_{i+1}} \frac{4 \sin\left(\frac{(2i-1)\pi}{2N}\right) \cdot \sin\left(\frac{(2i-3)\pi}{2N}\right)}{\gamma^2 \sin^2\left[\frac{(i-1)\pi}{N}\right]} \quad \text{for } i = 2, 3, \dots, N \quad (5.8)$$

$$g_{N+1} = \begin{cases} 1.0 & \text{for } N \text{ odd} \\ \coth^2\left(\frac{\beta}{4}\right) & \text{for } N \text{ even} \end{cases}$$

$$\beta = \ln \left[\coth \left(\frac{L_{Ar}}{17.37} \right) \right]$$

$$\gamma = \sinh \left(\frac{\beta}{2N} \right)$$

$$N \geq \frac{\cosh^{-1} \sqrt{10^{0.1L_{As}} - 1}}{\cosh^{-1} \omega_s} \quad (5.9)$$

จากตัวอย่างของวงจรกรองแบบ Butterworth ซึ่งต้องการ $L_{As} \geq 40$ dB ที่ $\omega_s = 2$ แต่ถ้าต้องการให้สัญญาณตอบสนองความถี่ผ่านให้มีความการกระเพื่อม $L_{Ar} = 0.1$ จะต้องใช้การออกแบบ วงจรกรองแบบ Chebyshev ซึ่งได้จำนวนอันดับ $N = 5.45$ หรือ $N = 6$ นั่นเอง และใช้ตารางที่ 5.2 ในการออกแบบวงจรกรองความถี่ต่ำผ่าน

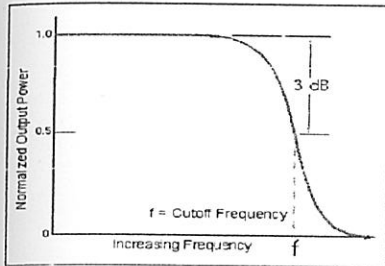
5.2.3 Elliptic Function Lowpass Prototype filters

Elliptic Function Lowpass Prototype filters เป็นวิธีการออกแบบ วงจรกรองความถี่ต่ำผ่าน ซึ่งไม่มีสมการในการหาค่าอิมพีแดนซ์ ต้องใช้หลักการ เปิดตาราง โดย $g_0 = g_{N+1} = 1.0$ รูปที่ 5.12 แสดงวงจรของ Elliptic Function Lowpass Prototype filters ซึ่งอิมพีแดนซ์อนุกรมในรูป 5.12 จะทำหน้าที่บล็อกรังส่งสัญญาณผ่านวงจรกรองด้วยการจำกัดจำนวนกลุ่มของอิมพีแดนซ์อนุกรมให้เกิดการเปิดวงจร (open circuit) ที่ความถี่เรโซแนนซ์ จึงสามารถหาค่า g_i สำหรับ i เป็นเลขคี่จากตัวเก็บประจุขนาน หา g_i สำหรับ i เป็นเลขคู่จากตัวเหนี่ยวนำ และหา g_i สำหรับ i เป็นเลขคู่จากตัวเก็บประจุอนุกรม

สำหรับรูป 5.11(b) ใช้หลักการลัด วงจร (Short Circuit) วงจรกรองที่มีความถี่เรโซแนนซ์ จึงสามารถหาค่า g_i สำหรับ i เป็นเลขที่จากตัวเหนี่ยวนำอนุกรม หา g_i สำหรับ i เป็นเลขที่จากตัวเก็บประจุ และหา g'_i สำหรับ i เป็นเลขที่จากตัวเหนี่ยวนำขนาน

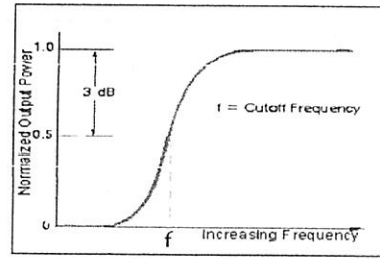
การออกแบบ FILTER DESIGN

1)



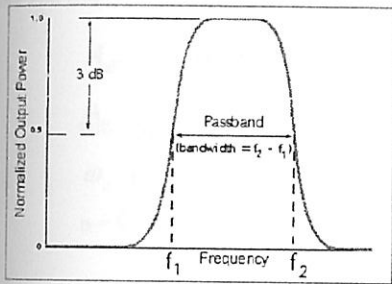
Low-pass filter (LPF)

2)



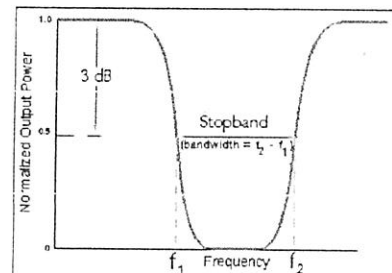
High-pass filter (HPF)

3)



Band-pass filter (BPF)

4)



Band-Rejection Filter (BRF)

Load Q

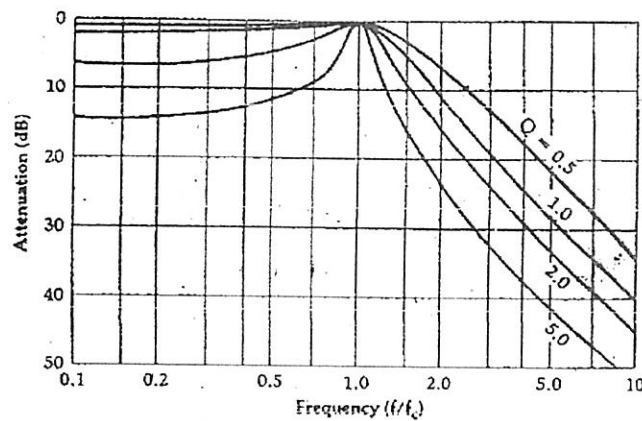
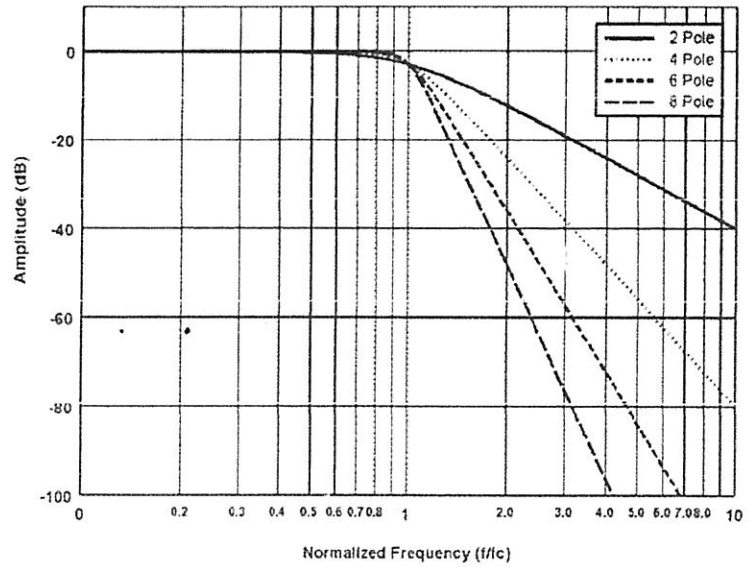
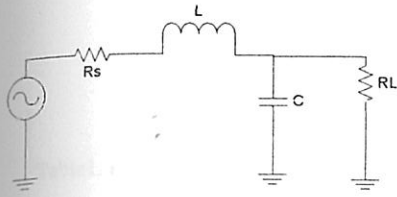


Fig. 3-3. Typical two-pole filter response curves.

Typical two - pole filter response



ชนิดของ Filter (Filter Types)

(1) The Butterworth Response

$$A_{dB} = 10 \log \left[1 + \left(\frac{\omega}{\omega_c} \right)^{2n} \right]$$

เมื่อ ω - ความถี่ ณ จุด Att

ω_c = ความถี่ ณ จุด cut off (ω_{3dB})

n = จำนวน element

Ex1 จงหาจำนวน element จากกรอกแบบ Butterworth filter cutoff 50 MHz และ Attenuation มากกว่า 50 dB ที่ 150 MHz
วิธีทำ

$$\text{จาก } \frac{\omega}{\omega_c} \text{ หรือ } \frac{f}{f_c}$$

$$\therefore \frac{f}{f_c} = \frac{150 \text{ MHz}}{50 \text{ MHz}} = 3$$

\therefore จาก Fig 3.9 ที่ $\frac{f}{f_c} = 3$ และ Att $\geq 50 \text{ dB}$

จะได้ 6 element ที่ 57 dB

ถ้า 5 element ที่ 47dB

\therefore ตอบ 6 element

ค่าของแต่ละ element (values)

normalized 1 ohm (source และ load)

$$A_x = \frac{2\sin(2x-1)\pi}{2x}, \quad x = 1, 2, \dots, x$$

เมื่อ x คือ จำนวน element

A_x คือ x -th inductance or capacitor

Table1. Butterworth Equal Terminal Low-Pass Prototype Element Values ($R_s = R_L$)

n	C_1	L_2	C_3	L_4	C_5	L_6	C_7
2	1.414	1.414					
3	1.000	2.000	1.000				
4	0.765	1.848	1.848	0.765			
5	0.618	1.618	2.000	1.618	0.618		
6	0.518	1.414	1.932	1.932	1.414	0.518	
7	0.445	1.247	1.802	2.000	1.802	1.247	0.445
n	L_1	C_2	L_3	C_4	L_5	C_6	L_7

Table 2. Butterworth Low-Pass Prototype Element Values

n	R_s / R_L	C_1	L_2	C_3	L_4	C_5	L_6	C_7
2	1.111	1.035	1.835					
	1.250	0.849	2.121					
	1.429	0.697	2.439					
	1.667	0.566	3.346					
	2.000	0.448	3.346					
	2.500	0.342	4.095					
	3.333	0.245	5.313					
	5.000	0.156	7.707					
	10.000	0.074	14.814					
∞		1.414	0.707					
3	0.900	0.808	1.633	1.599				
	0.800	0.844	1.384	1.928				
	0.700	0.915	1.165	2.277				
	0.600	1.023	0.965	2.702				
	0.500	1.181	0.779	3.261				
	0.400	1.425	0.604	4.064				
	0.300	1.838	0.440	5.363				
	0.200	2.669	0.284	7.910				
	0.100	5.167	0.138	15.455				
∞		1.500	1.333	0.500				
4	1.111	0.466	1.592	1.744	1.469			
	1.250	0.388	1.695	1.511	1.811			
	1.429	0.325	1.862	1.291	2.175			
	1.667	0.269	2.103	1.082	2.613			
	2.000	0.218	2.452	0.883	3.187			
	2.500	0.169	2.968	0.691	4.009			
	3.333	0.124	3.883	0.507	5.338			
	5.000	0.080	5.684	0.331	7.940			
	10.000	0.039	11.094	0.162	15.642			
∞		1.531	1.577	1.082	0.383			
5	0.900	0.442	1.027	1.910	1.756	1.389		
	0.800	0.470	0.866	2.061	1.544	1.738		
	0.700	0.517	0.731	2.285	1.333	2.108		
	0.600	0.588	0.609	2.600	1.126	2.552		
	0.500	0.686	0.496	3.051	0.924	3.133		
	0.400	0.838	0.388	3.736	0.727	3.965		
	0.300	1.094	0.285	4.884	0.537	5.307		
	0.200	1.608	0.186	7.185	0.352	7.935		
	0.100	3.512	0.091	14.095	0.173	15.710		
∞		1.545	1.694	1.382	0.894	0.309		
6	1.111	0.289	1.040	1.322	2.054	1.744	1.335	
	1.250	0.245	1.116	1.126	2.239	1.550	1.688	
	1.429	0.207	1.236	0.957	2.499	1.346	2.062	
	1.667	0.173	1.407	0.801	2.858	1.143	2.509	
	2.000	0.141	1.653	0.654	3.369	0.942	3.094	
	2.500	0.111	2.028	0.514	4.141	0.745	3.931	
	3.333	0.082	2.656	0.379	5.433	0.552	5.280	
	5.000	0.054	3.917	0.248	8.020	0.363	7.922	
	10.000	0.026	7.7705	0.122	15.786	0.179	15.738	
∞		1.553	1.759	1.553	1.202	0.758	0.259	
7	0.900	0.299	0.711	1.404	1.489	2.125	1.727	1.296
	0.800	0.322	0.606	1.517	1.278	2.334	1.546	1.652
	0.700	0.357	0.515	1.688	1.091	2.618	1.350	2.028
	0.600	0.408	0.432	1.928	0.917	3.005	1.150	2.477
	0.500	0.480	0.354	2.273	0.751	3.553	0.951	3.064
	0.400	0.590	0.278	2.795	0.592	4.380	0.754	3.904
	0.300	0.775	0.206	3.671	0.437	5.761	0.560	5.258
	0.200	1.145	0.135	5.427	0.287	8.526	0.369	7.908
	0.100	2.257	0.067	10.700	0.142	16.822	0.182	15.748
∞		1.558	1.799	1.659	1.397	1.055	0.656	0.223
n	R_L / R_s	L_1	C_2	L_3	C_4	L_5	C_6	L_7

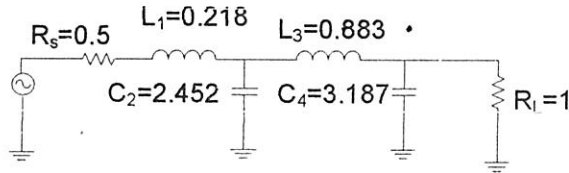
Ex 3.2 หา Low-pass prototype $n=4$ Butterworth filter เมื่อ $R_s = 50 \Omega$ และ $R_L = 100 \Omega$

วิธีทำ จาก $\frac{R_s}{R_L} = \frac{50}{100} = 0.5$

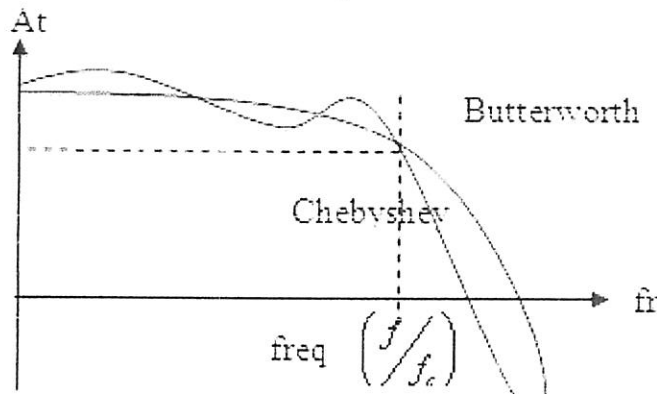
ถ้า $\frac{R_s}{R_L} = 0.5$ จะได้ $n=3$

จาก $\frac{R_L}{R_s} = \frac{100}{50} = 2$

จะได้ $K=4$ จะดูจากรูปด้านล่างของตาราง



2) ชนิดของ The Chebyshev Response



comparison of three-element

Attenuation

$$A_{dB} = 10 \log \left[1 + \epsilon^2 C_n^2 \left(\frac{\omega}{\omega_c} \right) \right]$$

$$\epsilon = \sqrt{10^{R_{AB}/10} - 1}$$

$$\left(\frac{\omega}{\omega_c} \right) = \left(\frac{\omega}{\omega_c} \right) \cosh B$$

$$B = \frac{1}{K} \cosh^{-1} \left(\frac{1}{\epsilon} \right)$$

เมื่อ R_{AB} = passband ripple in decibels

n = order of the filter

$C_n^2 \left(\frac{\omega}{\omega_c} \right)$ คือ chebyshev polynomial

Table 3 Chebyshev Polynomial to the Order n

n	Chebyshev Polynomial
1	$\frac{\omega}{\omega_c}$
2	$2\left(\frac{\omega}{\omega_c}\right)^2 - 1$
3	$4\left(\frac{\omega}{\omega_c}\right)^3 - 3\left(\frac{\omega}{\omega_c}\right)$
4	$8\left(\frac{\omega}{\omega_c}\right)^4 - 8\left(\frac{\omega}{\omega_c}\right)^2 + 1$
5	$16\left(\frac{\omega}{\omega_c}\right)^5 - 20\left(\frac{\omega}{\omega_c}\right)^3 + 5\left(\frac{\omega}{\omega_c}\right)$
6	$32\left(\frac{\omega}{\omega_c}\right)^6 - 48\left(\frac{\omega}{\omega_c}\right)^4 + 18\left(\frac{\omega}{\omega_c}\right)^2 - 1$
7	$64\left(\frac{\omega}{\omega_c}\right)^7 - 112\left(\frac{\omega}{\omega_c}\right)^5 + 56\left(\frac{\omega}{\omega_c}\right)^3 - 7\left(\frac{\omega}{\omega_c}\right)$

Attenuation chebyshev 0.01-dB ripple

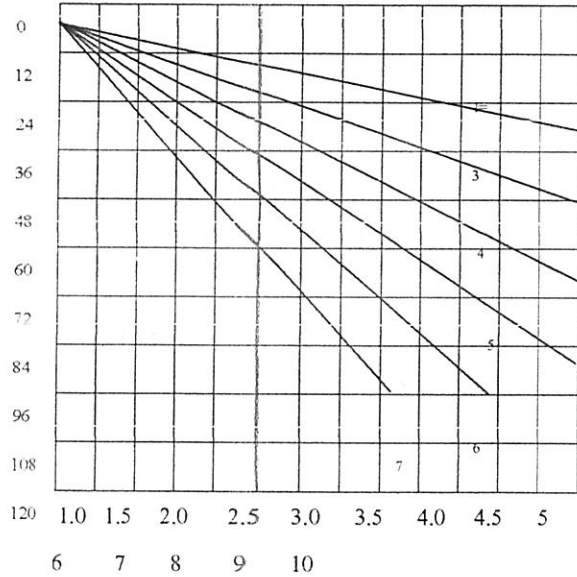


Fig.2 Attenuation characteristics for a Chebyshev filter with 0.01 dB ripple

Attenuation chebyshev 0.1-dB ripple

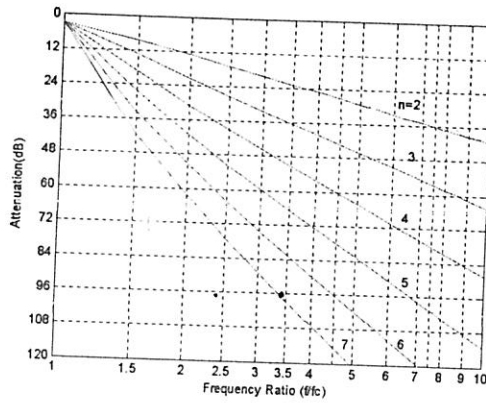


Fig.3 Attenuation characteristics for a chebyshev filter with 0.1dB ripple.

Attenuation chebyshev 1-dB ripple

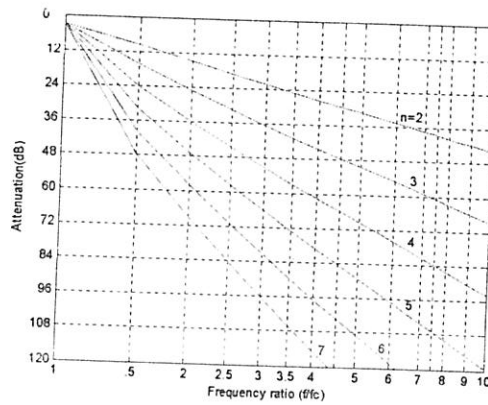


Fig.4 Attenuation characteristics for a chebyshev filter with 1dB ripple.

Attenuation chebyshev 0.5-dB ripple

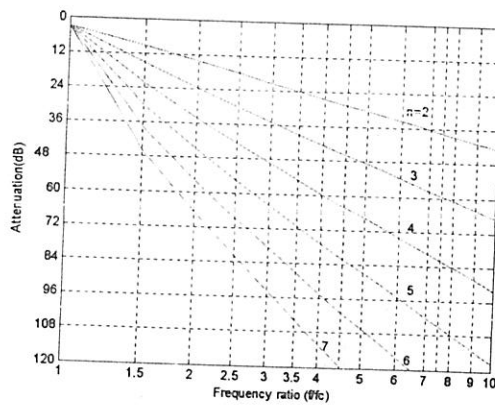


Fig.5 Attenuation characteristics for a chebyshev filter with 0.5dB ripple.

Ex.3.3 1) attenuation 4-element, 2.5dB ripple, low-pass chebyshev filter at $\omega/\omega_c = 2.5$

วิธีทำ

$$1) \varepsilon = \sqrt{10^{2.5/10} - 1} = 0.882$$

$$2) B = \frac{1}{4} \left[\cosh^{-1} \left(\frac{1}{0.882} \right) \right]$$

$$= 0.1279$$

$$3) \left(\frac{\omega}{\omega_c} \right)' = 2.5 \cosh 0.1279$$

$$= 2.5204$$

$$4) \text{เมื่อ } n=4, \left(\frac{\omega}{\omega_c} \right)' = 2.5204$$

$$c_n \left(\frac{\omega}{\omega_c} \right) = 8 \left(\frac{\omega}{\omega_c} \right)'^4 - 8 \left(\frac{\omega}{\omega_c} \right)'^2 + 1$$

$$= 8(2.5204)^4 - 8(2.5204)^2 + 1 = 273.05$$

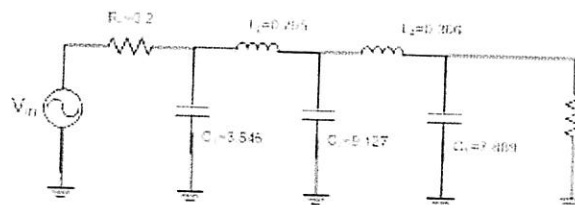
$$\therefore A_r = 10 \log \left[1 + (0.882)^2 (273.05)^2 \right] = 47.63 \text{ dB}$$

Ex.3.4 1) Low-pass prototype Value $n=5$, 0.1-dB ripple chebyshev filter Source resistance 50Ω load 200Ω

วิธีทำ

$$\text{ได้ } \frac{R_s}{R_L} = \frac{50}{250} = 0.2$$

ดูจากตาราง 3-5, 0.1-dB ripple, $n=5$, $\frac{R_s}{R_L} = 0.2$

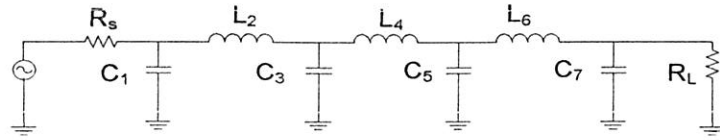


Chebyshev Low-pass

Table 4 Chebyshev Low-Pass Element Values for 0.01-dB Ripple

<i>n</i>	R_s / R_L	C_1	L_2	C_3	L_4	C_5	L_6	C_7
2	1.101	1.347	1.483					
	1.111	1.247	1.595					
	1.250	0.943	1.997					
	1.429	0.759	2.344					
	1.667	0.609	2.750					
	2.000	0.479	3.277					
	2.500	0.363	4.033					
	3.333	0.259	5.255					
	5.000	0.164	7.650					
	10.000	0.078	14.749					
	∞	1.412	0.742					
3	1.000	1.181	1.821	1.181				
	0.900	1.092	1.660	1.480				
	0.800	1.097	1.443	1.806				
	0.700	1.160	1.228	2.165				
	0.600	1.274	1.024	2.598				
	0.500	1.452	0.829	3.164				
	0.400	1.734	0.645	3.974				
	0.300	2.216	0.470	5.280				
	0.200	3.193	0.305	7.834				
	0.100	6.141	0.148	15.390				
	∞	1.501	1.433	0.591				
4	1.100	0.950	1.938	1.761	1.046			
	1.111	0.854	1.946	1.744	1.165			
	1.250	0.618	2.075	1.542	1.617			
	1.429	0.495	2.279	1.334	2.008			
	1.667	0.398	2.571	1.128	2.461			
	2.000	0.316	2.994	0.926	3.045			
	2.500	0.242	3.641	0.729	3.875			
	3.333	0.174	4.727	0.538	5.209			
	5.000	0.112	6.910	0.352	7.813			
	10.000	0.054	13.469	0.173	15.510			
	∞	1.529	1.694	1.312	0.523			
5	1.000	0.977	1.685	2.037	1.685	0.977		
	0.900	0.880	1.456	2.174	1.641	1.274		
	0.800	0.877	1.235	2.379	1.499	1.607		
	0.700	0.926	1.040	2.658	1.323	1.977		
	0.600	1.019	0.863	3.041	1.135	2.424		
	0.500	1.166	0.699	3.584	0.942	3.009		
	0.400	1.398	0.544	4.403	0.749	3.845		
	0.300	1.797	0.398	5.772	0.557	5.193		
	0.200	2.604	0.259	8.514	0.368	7.826		
	0.100	5.041	0.127	16.741	0.182	15.613		
	∞	1.547	1.795	1.645	1.237	0.488		
6	1.101	0.851	1.796	1.841	2.027	1.631	0.937	
	1.111	0.760	1.782	1.775	2.094	1.638	1.053	
	1.250	0.545	1.864	1.489	2.403	1.507	1.504	
	1.429	0.436	2.038	1.266	2.735	1.332	1.899	
	1.667	0.351	2.253	1.061	3.167	1.145	2.357	
	2.000	0.279	2.678	0.867	3.768	0.954	2.948	
	2.500	0.214	3.261	0.682	4.667	0.761	3.790	
	3.333	0.155	4.245	0.503	6.163	0.568	5.143	
	5.000	0.100	6.223	0.330	9.151	0.376	7.785	
	10.000	0.048	12.171	0.162	18.105	0.187	15.595	
	∞	1.551	1.847	1.790	1.598	1.190	0.469	
7	1.000	0.913	1.595	2.002	1.870	2.002	1.595	0.913
	0.900	0.816	1.362	2.089	1.722	2.202	1.581	1.206
	0.800	0.811	1.150	2.262	1.525	2.465	1.464	1.538
	0.700	0.857	0.967	2.516	1.323	2.802	1.307	1.910
	0.600	0.943	0.803	2.872	1.124	3.250	1.131	2.359
	0.500	1.080	0.650	3.382	0.928	3.875	0.947	2.948
	0.400	1.297	0.507	4.156	0.735	4.812	0.758	3.790
	0.300	1.669	0.372	5.454	0.546	6.370	0.568	5.148
	0.200	2.242	0.242	8.057	0.360	9.484	0.378	7.802
	0.100	4.701	0.119	15.872	0.178	18.818	0.188	15.652
	∞	1.559	1.867	1.866	1.765	1.563	1.161	0.456
<i>n</i>	R_s / R_L	L_1	C_2	L_3	C_4	L_5	C_6	L_7

Table 5 Chebyshev Low-Pass Element Values for 0.1-dB Ripple



n	R_s / R_L	C_1	L_2	C_3	L_4	C_5	L_6	C_7
2	1.355	1.209	1.638					
	1.429	0.977	1.982					
	1.667	0.733	2.489					
	2.000	0.560	3.054					
	2.500	0.417	3.827					
	3.333	0.293	5.050					
	5.000	0.184	7.426					
	10.000	0.087	14.433					
	∞	1.391	0.819					
	3	1.000	1.433	1.594	1.433			
0.900		1.426	1.494	1.622				
0.800		1.451	1.356	1.871				
0.700		1.521	1.193	2.190				
0.600		1.648	1.017	2.603				
0.500		1.853	0.838	3.159				
0.400		2.186	0.660	3.968				
0.300		2.763	0.486	5.279				
0.200		3.942	0.317	7.850				
0.100		7.512	0.155	15.466				
∞	1.513	1.510	0.716					
4	1.355	0.992	2.148	1.585	1.341			
	1.429	0.779	2.348	1.429	1.700			
	1.667	0.576	2.730	1.185	2.243			
	2.000	0.440	3.227	0.967	2.856			
	2.500	0.329	3.961	0.760	3.698			
	3.333	0.233	5.178	0.560	5.030			
	5.000	0.148	7.607	0.367	7.614			
	10.000	0.070	14.887	0.180	15.230			
	∞	1.511	1.7681	1.455	0.673			
	5	1.000	1.301	1.556	2.241	1.556		
0.900		1.285	1.433	2.380	1.448	1.488		
0.800		1.300	1.282	2.528	1.382	1.738		
0.700		1.358	1.117	2.868	1.244	2.062		
0.600		1.470	0.947	3.269	1.085	2.484		
0.500		1.654	0.778	3.845	0.913	3.055		
0.400		1.954	0.612	4.720	0.733	3.886		
0.300		2.477	0.451	6.196	0.550	5.237		
0.200		3.546	0.295	9.127	0.366	7.889		
0.100		6.787	0.115	17.957	0.182	15.745		
∞	1.561	1.807	1.766	1.417	0.651			
6	1.355	0.942	2.080	1.659	2.247	1.534	1.277	
	1.429	0.735	2.249	1.454	2.544	1.405	1.629	
	1.667	0.542	2.600	1.183	3.064	1.185	2.174	
	2.000	0.414	3.068	0.958	3.712	0.979	2.794	
	2.500	0.310	3.765	0.749	4.651	0.778	3.645	
	3.333	0.220	4.927	0.551	6.195	0.580	4.996	
	5.000	0.139	7.250	0.361	9.261	0.384	7.618	
	10.000	0.067	14.220	0.178	18.427	0.190	15.350	
	∞	1.534	1.884	1.831	1.749	1.394	0.638	
	7	1.000	1.262	1.520	2.239	1.680	2.239	1.520
0.900		1.242	1.395	2.361	1.578	2.397	1.459	1.447
0.800		1.255	1.245	2.548	1.443	2.624	1.362	1.697
0.700		1.310	1.083	2.819	1.283	2.942	1.233	2.021
0.600		1.417	0.917	3.205	1.209	3.384	1.081	2.444
0.500		1.595	0.753	3.764	0.928	4.015	0.914	3.018
0.400		1.885	0.593	4.618	0.742	4.970	0.738	3.855
0.300		2.392	0.437	6.054	0.556	6.569	0.557	5.217
0.200		3.428	0.286	8.937	0.369	9.770	0.372	7.890
0.100		6.570	0.141	17.603	0.184	19.376	0.186	15.813
∞	1.575	1.858	1.921	1.827	1.734	1.379	0.631	
n	R_s / R_L	L_1	C_2	L_3	C_4	L_5	C_6	L_7

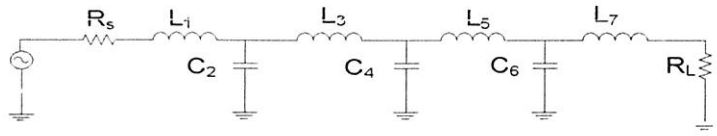


Table 6 Chebyshev Low-Pass Prototype Element Values for 0.5 dB Ripple

n	R_S / R_L	C_1	L_2	C_3	L_4	C_5	L_6	C_7
2	1.984	0.983	1.950					
	2.000	0.909	2.103					
	2.500	0.564	3.165					
	3.333	0.395	4.411					
	5.000	0.228	6.700					
	10.000	0.105	13.322					
	∞	1.307	0.975					
3	1.000	1.864	1.280	1.834				
	0.900	1.918	1.209	2.026				
	0.800	1.997	1.120	2.237				
	0.700	2.114	1.015	2.517				
	0.500	2.557	0.759	3.436				
	0.400	2.985	0.615	4.242				
	0.300	3.729	0.463	5.576				
	0.200	5.254	0.309	8.225				
	0.100	9.890	0.153	16.118				
	∞	1.572	1.518	0.932				
4	1.984	0.920	2.586	1.304	1.826			
	2.000	0.845	2.720	1.238	1.985			
	2.500	0.516	3.766	0.869	3.121			
	3.333	0.344	5.120	0.621	4.480			
	5.000	0.210	7.708	0.400	6.987			
	10.000	0.098	15.352	0.196	14.262			
	∞	1.436	1.889	1.521	0.913			
5	1.000	1.807	1.303	2.691	1.303	1.807		
	0.900	1.854	1.222	2.849	1.238	1.970		
	0.800	1.926	1.126	3.060	1.157	2.185		
	0.700	2.035	1.015	3.353	1.058	2.470		
	0.600	2.200	0.890	3.765	0.942	2.861		
	0.500	2.457	0.754	4.367	0.810	3.414		
	0.400	2.870	0.609	5.296	0.664	4.245		
	0.300	3.588	0.459	6.871	0.508	5.625		
	0.200	5.064	0.306	10.054	0.343	8.367		
	0.100	9.556	0.153	19.647	0.173	16.574		
	∞	1.630	1.740	1.922	1.514	0.903		
6	1.984	0.905	2.577	1.368	2.713	1.299	1.796	
	2.000	0.830	2.704	1.291	2.872	1.237	1.956	
	2.500	0.506	3.722	0.890	4.109	0.881	3.103	
	3.333	0.337	5.055	0.632	5.699	0.635	4.481	
	5.000	0.206	7.615	0.406	8.732	0.412	7.031	
	10.000	0.096	15.186	0.197	17.681	0.202	14.433	
	1.000	1.790	1.296	2.718	1.385	2.718	1.296	1.790
	0.900	1.835	1.215	2.869	1.308	2.883	1.234	1.953
	0.800	1.905	1.118	3.076	1.215	3.107	1.155	2.168
	0.700	2.011	1.007	3.364	1.105	3.416	1.058	2.455
	0.600	2.174	0.882	3.772	0.979	3.852	0.944	2.848
	0.500	2.428	0.747	4.370	0.838	4.289	0.814	3.405
	0.400	2.835	0.604	5.295	0.685	5.470	0.669	4.243
	0.300	3.546	0.455	6.867	0.522	7.134	0.513	5.635
	0.200	5.007	0.303	10.049	0.352	10.496	0.348	8.404
	0.100	9.456	0.151	19.649	0.178	20.631	0.176	16.665
	∞	1.646	1.777	2.031	1.789	1.924	1.503	0.895
n	R_L / R_S	L_1	C_2	L_3	C_4	L_5	C_6	L_7

Table 7. Chebyshev Low-Pass Prototype Element Values for 1.0-dB Ripple

n	R_s / R_L	C_1	L_2	C_3	L_4	C_5	L_6	C_7
2	3.000	0.572	3.132					
	4.000	0.365	4.600					
	8.000	0.157	9.658					
3	1.000	2.216	1.088	2.216				
	0.500	4.431	0.817	2.216				
	0.333	6.647	0.726	2.216				
	0.250	8.862	0.680	2.216				
	0.125	17.725	0.612	2.216				
	∞	1.652	1.460	1.108				
4	3.000	0.653	4.411	0.814	2.535			
	4.000	0.452	7.083	0.612	2.848			
	8.000	0.209	17.164	0.428	3.281			
	∞	1.350	2.010	1.488	1.106			
5	1.000	2.207	1.128	3.103	1.128	2.207		
	0.500	4.414	0.656	4.653	1.128	2.207		
	0.333	6.622	0.376	6.205	1.128	2.207		
	0.250	8.829	0.282	7.756	1.128	2.207		
	0.125	17.657	0.141	13.961	1.128	2.207		
	∞	1.721	1.645	2.061	1.493	1.103		
6	3.000	0.679	3.873	0.771	4.711	0.969	2.406	
	4.000	0.481	5.644	0.476	7.351	0.849	2.582	
	8.000	0.227	12.310	0.198	16.740	0.726	2.800	
	∞	1.378	2.097	1.690	2.074	1.494	1.102	
7	1.000	2.204	1.131	3.147	1.194	3.147	1.131	2.204
	0.500	4.408	0.566	6.293	0.895	3.147	1.131	2.204
	0.333	6.612	0.377	9.441	0.796	3.147	1.131	2.204
	0.250	8.815	0.283	12.588	0.747	3.147	1.131	2.204
	0.125	17.631	0.141	25.175	0.671	3.147	1.131	2.204
	∞	1.741	1.677	2.155	1.703	2.079	1.494	1.102
n	R_L / R_s	L_1	C_2	L_3	C_4	L_5	C_6	L_7

The Bessel Filter

Attenuation Bessel Filter

$$AdB = 3\left(\frac{W}{Wc}\right)^2$$

Maximally flat group delay or linear phase.

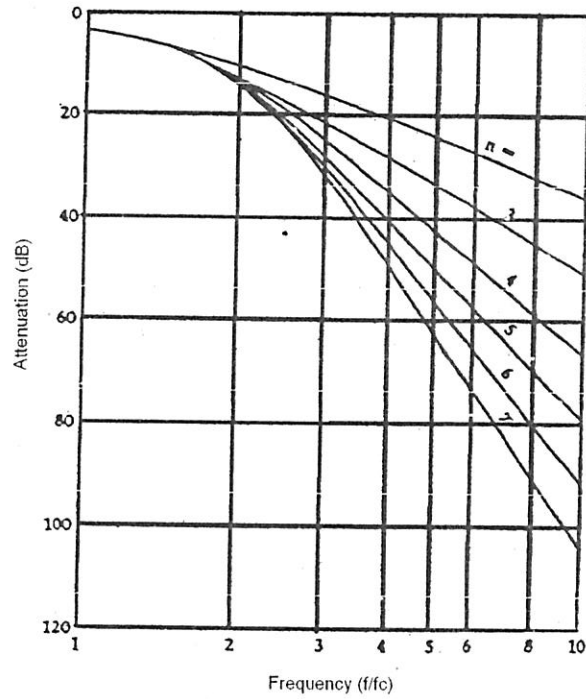


Table 8 Bessel Low-Pass Prototype Element Values

n	R_s / R_L	C_1	L_2	C_3	L_4	C_5	L_6	C_7
2	1.000	0.576	2.148					
	1.111	0.508	2.310					
	1.250	0.443	2.510					
	1.429	0.380	2.764					
	1.667	0.319	3.099					
	2.000	0.260	3.565					
	2.500	0.203	4.258					
	3.333	0.149	5.405					
	5.000	0.097	7.688					
	10.000	0.047	14.510					
	∞	1.362	0.454					
3	1.000	0.337	0.971	2.203				
	0.900	0.371	0.865	2.375				
	0.800	0.412	0.761	2.587				
	0.700	0.466	0.658	2.858				
	0.600	0.537	0.558	3.216				
	0.500	0.635	0.459	3.714				
	0.400	0.783	0.362	4.457				
	0.300	1.028	0.267	5.689				
	0.200	1.518	0.175	8.140				
	0.100	2.983	0.086	15.470				
	∞	1.463	0.843	0.293				
4	1.000	0.233	0.673	1.062	2.240			
	1.111	0.209	0.742	0.967	2.414			
	1.250	0.184	0.829	0.853	2.630			
	1.429	0.160	0.941	0.741	2.907			
	1.667	0.136	1.089	0.630	3.273			
	2.000	0.112	1.295	0.520	3.782			
	2.500	0.089	1.604	0.412	4.543			
	3.333	0.066	2.117	0.306	5.805			
	5.000	0.043	3.142	0.201	8.319			
	10.000	0.021	6.209	0.099	15.837			
	∞	1.501	0.978	0.613	0.211			
5	1.000	0.174	0.507	0.804	1.111	2.258		
	0.900	0.193	0.454	0.889	0.995	2.433		
	0.800	0.215	0.402	0.996	0.879	2.650		
	0.700	0.245	0.349	1.132	0.764	2.927		
	0.600	0.284	0.298	1.314	0.651	3.295		
	0.500	0.338	0.247	1.567	0.538	3.808		
	0.400	0.419	0.196	1.946	0.427	4.573		
	0.300	0.555	0.146	2.577	0.317	5.843		
	0.200	0.825	0.096	3.835	0.210	8.375		
	0.100	1.635	0.048	7.604	0.104	15.949		
	∞	1.513	1.023	0.753	0.473	0.162		
6	1.000	0.137	0.400	0.693	0.854	1.113	2.265	
	1.111	0.122	0.443	0.573	0.946	0.996	2.439	
	1.250	0.108	0.496	0.508	1.060	0.881	2.655	
	1.429	0.094	0.564	0.442	1.207	0.767	2.933	
	1.667	0.080	0.655	0.378	1.402	0.653	3.300	
	2.000	0.067	0.782	0.313	1.675	0.541	3.812	
	2.500	0.053	0.973	0.249	2.084	0.429	4.577	
	3.333	0.040	1.289	0.186	2.763	0.319	5.847	
	5.000	0.026	1.289	0.123	4.120	0.211	8.378	
	10.000	0.013	3.815	0.061	8.186	0.105	15.951	
	∞	1.512	1.033	0.813	0.607	0.379	0.129	
7	1.000	0.111	0.326	0.525	0.702	0.869	1.105	2.266
	0.900	0.122	0.292	0.582	0.630	0.963	0.990	2.440
	0.800	0.137	0.259	0.652	0.559	1.080	0.875	2.656
	0.700	0.156	0.226	0.743	0.487	1.231	0.762	2.932
	0.600	0.182	0.193	0.863	0.416	1.431	0.649	3.298
	0.500	0.217	0.160	1.032	0.346	1.711	0.537	3.809
	0.400	0.270	0.127	1.285	0.276	2.130	0.427	4.572
	0.300	0.358	0.095	1.705	0.206	2.828	0.318	5.838
	0.200	0.534	0.063	2.545	0.137	4.221	0.210	8.362
	0.100	1.061	0.031	5.062	0.068	8.397	0.104	15.917
	∞	1.509	1.029	0.835	0.675	0.503	0.311	0.105

Frequency and Impedance Sealing

$$C = \frac{C_n}{2\pi f_c R} \quad \dots F$$

$$L = \frac{RL_n}{2\pi f_c} \quad \dots H$$

C_n = low-pass prototype element value

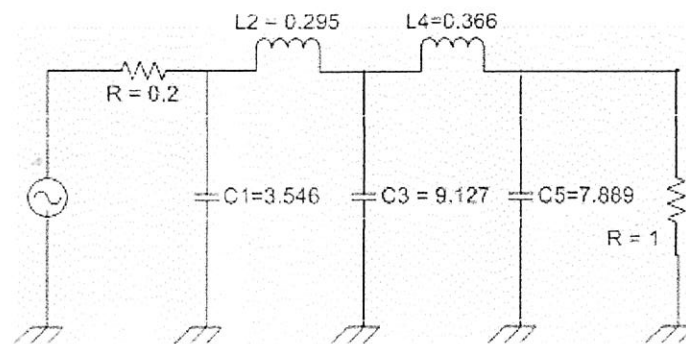
L_n = low-pass prototype element value

R = load resistor value

f_c = cutoff frequency

Ex 3.5 จงหาค่าของ low-pass จากตัวอย่าง Ex3.4 ที่ความถี่ 50MHz และ load resistance 250 Ω

วิธีทำ จาก Ex3.4 จะได้อค่าของ C_n และ L_n ดังรูป



จากสูตร C

$$C = \frac{C_n}{2\pi f_c R}$$

$$\therefore C_1 = \frac{3.546}{2\pi(50 \times 10^6)(250)} = 45 \text{ pF} \quad \#$$

$$C_3 = \frac{9.127}{2\pi(50 \times 10^6)(250)} = 116 \text{ pF} \quad \#$$

$$C_5 = \frac{7.889}{2\pi(50 \times 10^6)(250)} = 100 \text{ pF} \quad \#$$

จากสูตร L

$$L = \frac{RL_n}{2\pi f_c}$$

$$L_2 = \frac{(250)(0.295)}{2\pi(50 \times 10^6)} = 235 \text{ nH} \quad \#$$

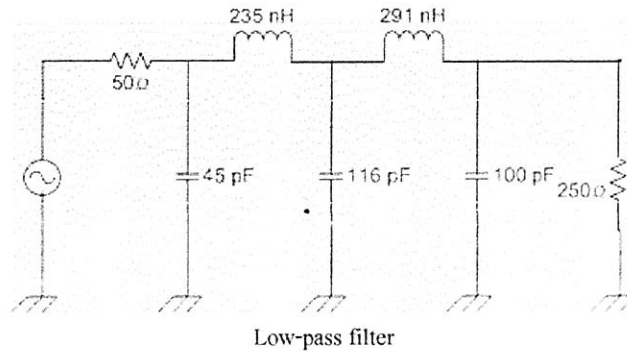
$$L_4 = \frac{(250)(0.366)}{2\pi(50 \times 10^6)} = 291 \text{ nH} \quad \#$$

และ Source resistance is scaled.

$$R_{s(\text{final})} = 0.2(250)$$

$$= 50 \Omega$$

∴ final circuit



Ex3.6 จงออกแบบ Low-pass filter โดยกำหนดเงื่อนไขดังนี้

- 1.) $f_c = 350 \text{ MHz}$
- 2.) Response มากกว่า 60 dB ที่ 150 MHz
- 3.) Maximally flat passband-no-ripple
- 4.) $R_s = 50 \Omega$
- 5.) $R_L = 500 \Omega$

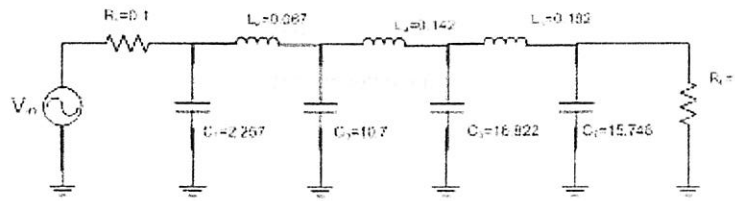
วิธีทำ Maximally flat passband is Butterworth response

$$1. \frac{R_s}{R_L} = \frac{50}{500} = 0.1$$

$$2. \frac{f_{60\text{dB}}}{f_{3\text{dB}}} = \frac{105\text{MHz}}{35\text{MHz}}$$

3. จาก $\frac{f}{f_c} = 3$ จาก Fig 3-9 ที่มากกว่า 60 dB จะได้ 7 element $\approx 68 \text{ dB}$

4. จาก 7 element และ $\frac{R_s}{R_L} = 0.1$ จะได้ว่า C_n, L_n ดังรูป (Table 3-2)



Low-pass prototype

5. หาค่าจาก

$$C = \frac{C_n}{2\pi f_c R} \quad \dots$$

$$L = \frac{RL_n}{2\pi f_c R}$$

แทนค่า

$$C_1 = \frac{2.257}{2\pi(35 \times 10^6)(500)} = 21 \text{ pF}$$

$$L_2 = \frac{(500)(0.067)}{2\pi(35 \times 10^6)} = 152 \text{ nH}$$

ค่าต่างๆ จากสูตรจะได้

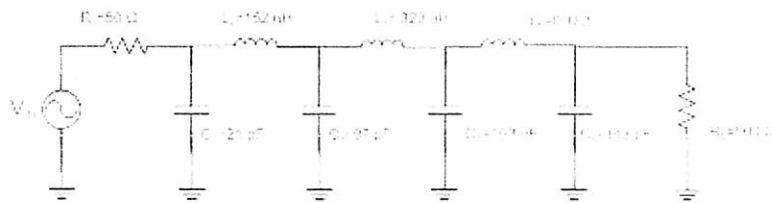
$$C_3 = 97 \text{ pF} \quad L_4 = 323 \text{ nH}$$

$$C_5 = 153 \text{ pF} \quad L_6 = 414 \text{ nH}$$

$$C_7 = 143 \text{ pF} \quad R_s = 50 \Omega$$

$$R_L = 500 \Omega$$

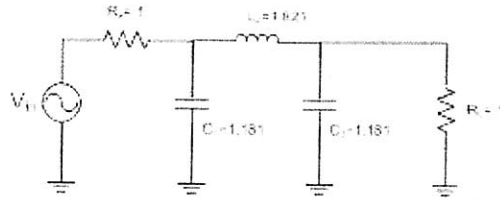
∴ จะได้ final circuit



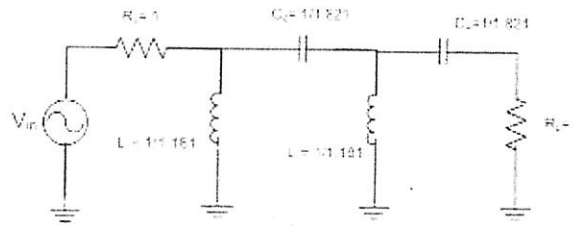
Low-pass filter circuit

การออกแบบวงจรความถี่สูงผ่าน(High-pass Filter Design)

การเปลี่ยนจาก Low-pass prototype มาเป็น High-pass prototype circuit



Low-pass prototype circuit



High-pass prototype circuit

Ex 3.2 จงออกแบบ LC high-pass Filter ที่ $f_c = 60\text{MHz}$ และ minimum attenuation = 40dB ที่ 307Hz โดยที่แหล่งจ่ายและโหลดมีค่า 300Ω กำหนดให้มีค่า 0.5dB passband ripple.

$$\text{Inverting } \frac{fc}{f} = \frac{60\text{MHz}}{30\text{MHz}} = 2 \#$$

2. Attenuation 0.5-dB ripple chebyshev filter 40dB Att, ratio $\frac{fc}{f} = 2$

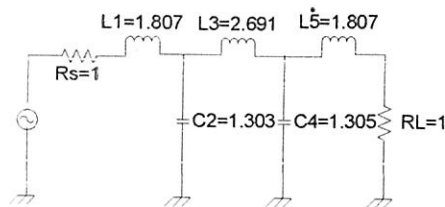
จากตาราง 3.17 จะได้ $n = 5 \#$

3. จาก $\frac{R_s}{R_L} = \frac{R_L}{R_s} = \frac{300}{300} = 1$

และ $n = 5$ จะได้ค่า table 3-6 B

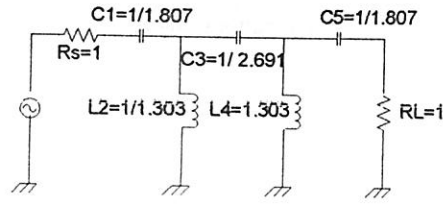
(ใช้วงจรมนหรือล่างก็ได้)

∴ ได้



Low-pass prototype circuit

4. เปลี่ยนจาก low-pass เป็น high-pass



High-pass prototype circuit

5. เปลี่ยนค่าของ L และ C

จาก
$$C = \frac{Cn}{2\pi fcR} \text{-----(F)}$$

$$L = \frac{RLn}{2\pi fc} \text{-----(H)}$$

∴ จาก

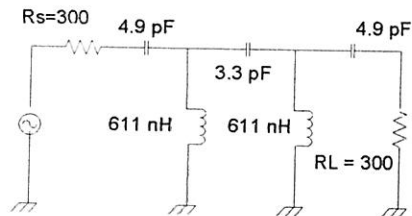
$$C1 = \frac{1}{2\pi(600 \times 10^6)(300)} = 4.9 \text{ pF}$$

$$L2 = \frac{(300)\left(\frac{1}{1.303}\right)}{2\pi(600 \times 10^6)} = 61 \text{ nH}$$

∴ จะได้

- C3 = 3.3 pF
- C5 = 4.9 pF
- L4 = 611 nH

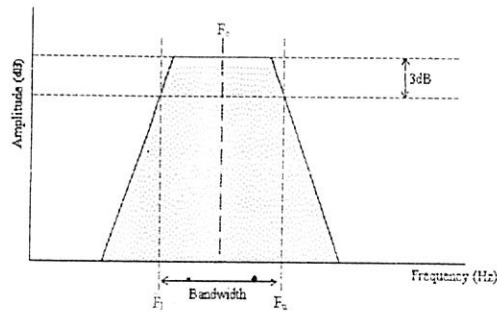
6. วงจรสุดท้าย High-pass คือ



Final filter circuit

3. Bandpass Filter Design

วงจรรองความถี่แถบผ่าน



EX 3.8

จงหา Butterworth low-pass prototype circuit โดยมีค่า bandpass ดังแสดง

$$BW_{3dB} = 3\text{MHz}$$

$$BW_{40dB} = 6\text{MHz}$$

วิธีทำ

$$1. \text{ จาก } \frac{BW}{BW_c} = \frac{f}{f_c} = \frac{BW_{40dB}}{BW_{3dB}} = \frac{6\text{MHz}}{2\text{MHz}} = 3$$

2. จาก Butterworth response curves 40 dB Att, $\frac{f}{f_c} = 3$, Fig 3-9 จะได้

$$n = 5 \text{ element}$$

Ex 3-9 จงออกแบบ bandpass filter มี

$$f_0 = 75 \text{ MHz}$$

$$BW_{3dB} = 7 \text{ MHz}$$

$$BW_{45dB} = 35 \text{ MHz}$$

Pass band Ripple = 1 dB

$$R_S = 50\Omega$$

$$R_L = 100\Omega$$

วิธีทำ

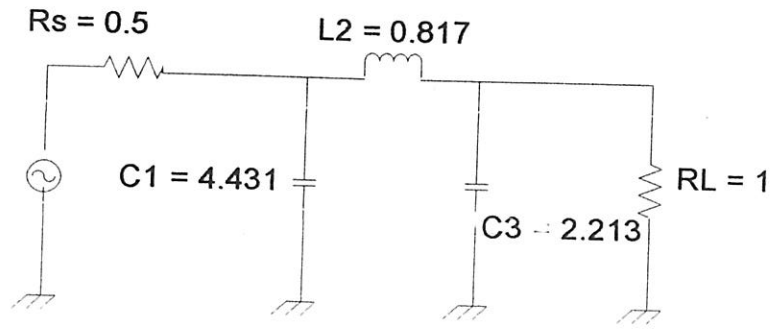
$$1. \text{ จาก } \frac{BW}{BW_c} = \frac{35\text{MHz}}{7\text{MHz}} = 5$$

2. จาก 1-dB ripple chebyshev, 45 dB Att, $\frac{f}{f_c} = 5$, Fig 3-18 จะได้

$$n = 3 \text{ element } (\cong 50 \text{ dB})$$

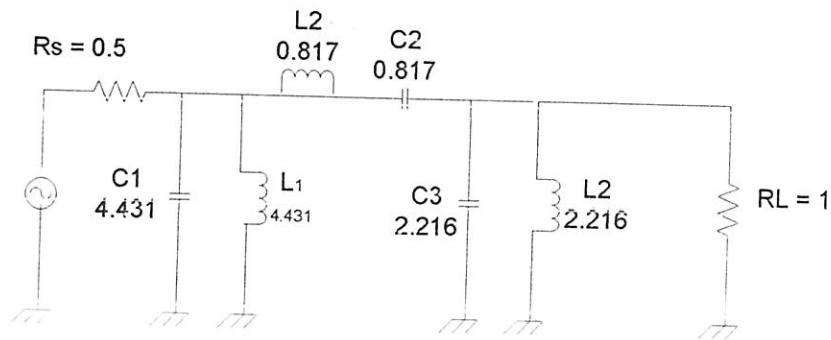
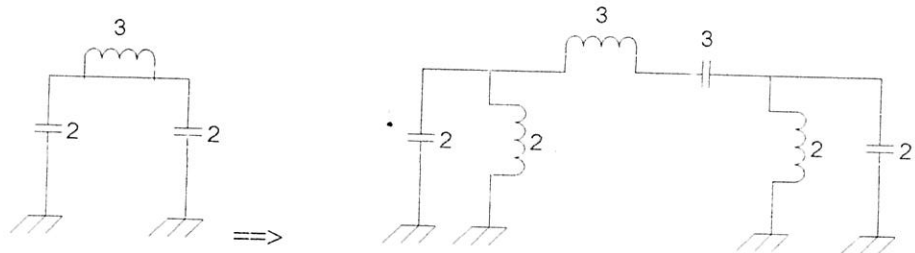
$$3. \text{ จาก } \frac{R_S}{R_L} = \frac{50}{100} = 0.5$$

$n = 3 \text{ element}$, 1-dB ripple chebyshev Table 3-2A จะได้



low pass prototype circuit

4. ทำการเปลี่ยนจาก Low-pass ไปเป็น band pass circuit เช่น



5. ทำการคำนวณหาค่า C,L จาก

ชุดขนาน (Parallel-resonant)

$$C = \frac{C_n}{2\pi R B} \dots\dots F$$

$$L = \frac{R B}{2\pi f_c^2 L_n} \dots\dots H$$

ชุดอนุกรม (Series-resonant)

$$C = \frac{B}{2\pi f_c^2 C_u R} \dots\dots F$$

$$L = \frac{R L_n}{2\pi B} \dots\dots H$$

R= final load impedance

B= Bandwidth 3-dB

f_0 = Center frequency

L_n = inductor bandpass nomalized

Cn= Capacitor bandpass normalized

∴ จากชุดขนาน

$$C_1 = \frac{4.431}{2\pi(100)(7 \times 10^6)} = 100.7 \text{ pF}$$

$$L_1 = \frac{(100)(7 \times 10^6)}{2\pi(75 \times 10^6)^2(4.431)} = 4.47 \text{ nH}$$

จากชุดอนุกรม

$$C_2 = \frac{7 \times 10^6}{2\pi(75 \times 10^6)^2(0.817)(100)}$$

$$= 2.4 \text{ pF}$$

$$L_2 = \frac{(100)(0.817)}{2\pi(7 \times 10^6)}$$

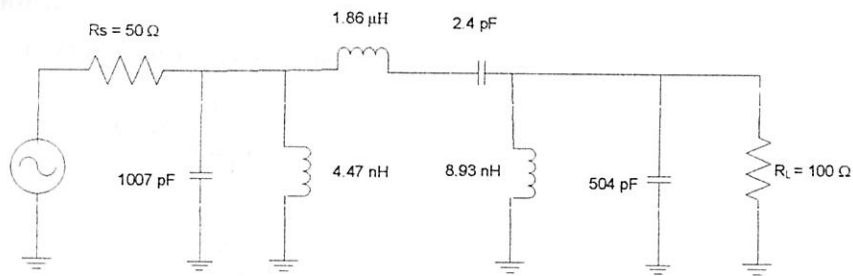
$$= 1.86 \mu\text{H}$$

จากชุดขนาน

$$C_3 = 504 \text{ pF}$$

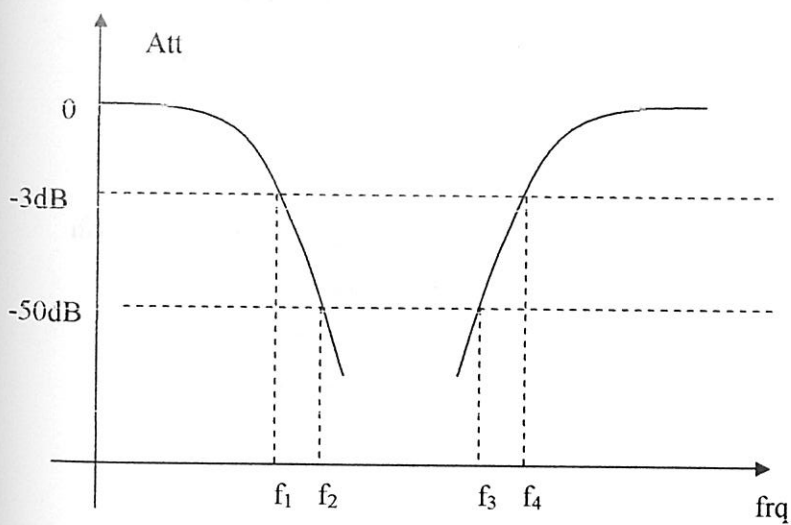
$$L_3 = 8.93 \text{ nH}$$

6. จะได้วงจรสุดท้ายคือ



Final circuit

4. Band-Rejection Filter Design

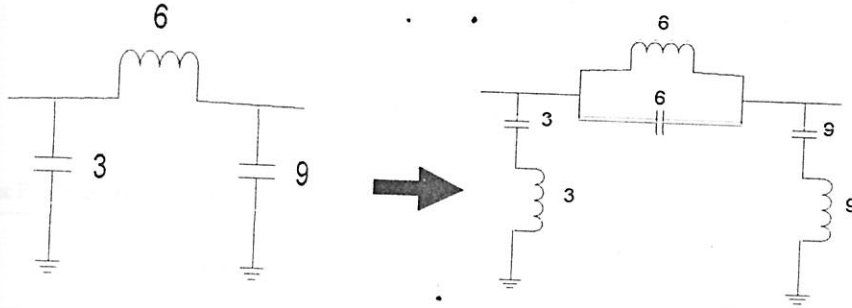


Band-rejection filter curves.

จาก
$$\frac{BW_c}{BW} = \frac{f_4 - f_1}{f_3 - f_2} = \frac{f_c}{f}$$

∴ Attenuation curves
$$= \frac{BW_c}{BW}$$

และทำการเปลี่ยนจาก Low-pass ไปเป็น Band-reject ตัวอย่างเช่น



Low pass to Band reject transfer

สูตรในการคำนวณ

1. จากชุดอนุกรม (Series-resonant)

$$C = \frac{C_n}{2\pi RB} \dots F$$

$$L = \frac{RB}{2\pi f_c^2 L_n} \dots H$$

2. จากชุดขนาน (Parallel resonant)

$$C = \frac{B}{2\pi f_c^2 RC_n} \dots F$$

$$L = \frac{RL_n}{2\pi B} \dots H$$

- เมื่อ
- B = 3-dB bandwidth.
 - R = final load resistance.
 - f_c = center frequency.
 - C_n = capacitor band-reject
 - L_n = inductor band-reject

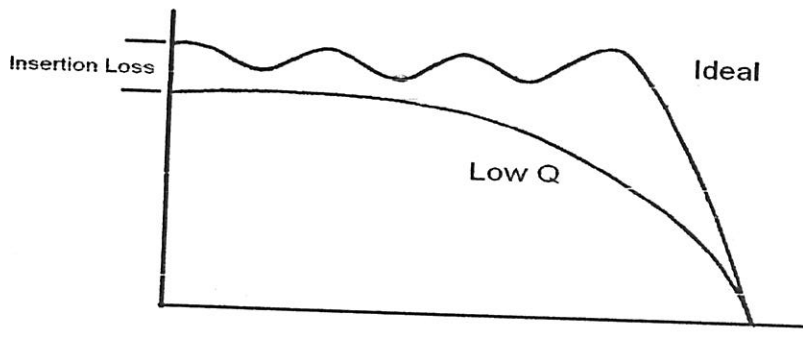


Fig 7 The effect of finite-Q elements On filter response

Table 9 Filter Element-Q Requirements

Filter Type	Minimum Element Q Required
Bessel	3
Butterworth	15
0.01-dB Chebyshev	24
0.1-dB Chebyshev	39
0.5-dB Chebyshev	57
1-dB Chebyshev	75

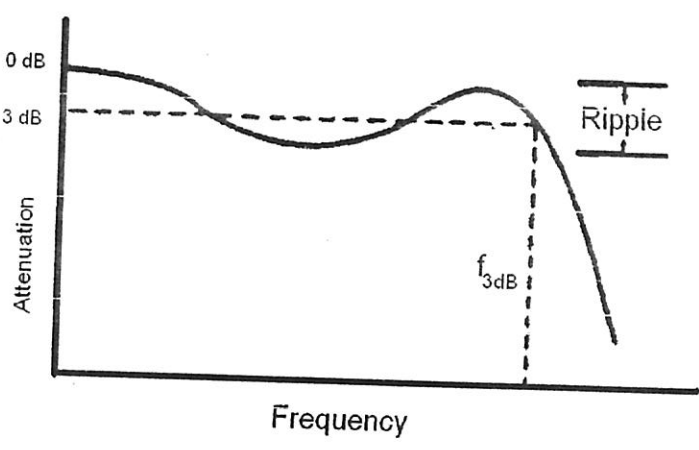


Fig 8 Typical response of a three-element low-pass filter.

บทที่ 4

การออกแบบวงจรขยายสัญญาณ

การออกแบบวงจรวิทยุที่มีสัญญาณขนาดเล็กเป็นวิธีแก้ปัญหาก็ที่แน่นอนว่า ที่มีกระบวนการที่เป็นขั้นเป็นตอน มีหนังสือที่สามารถหาได้ตามท้องตลาดขณะนี้ที่เสนอวิธีการดังกล่าว นั่นคือ "ประยุกต์ สิ่งต่าง ๆ ที่วงจรของคุณต้องการ" วงจรซึ่งผู้เขียนอาจจะออกแบบสำหรับการใช้งานในเงื่อนไขเฉพาะอย่าง ซึ่งอาจไม่ตรงกับความต้องการของผู้อ่าน ถึงอย่างไรก็ตาม การออกแบบถูกแสดงโดยปราศจากขั้นตอนเพิ่มเติม และผู้อ่านอาจสับสนเมื่อจะนำความรู้ไปประยุกต์ใช้ในการออกแบบวงจรตามความต้องการของผู้อ่าน

บทเรียนที่จะจำเสนอต่อไปนี้ จะถูกนำเสนออย่างแตกต่าง รายละเอียดของขั้นตอนตามกระบวนการออกแบบ ดังนั้น คุณสามารถเลือก ทรานซิสเตอร์ ที่คุณต้องการ และใช้ภายใต้เงื่อนไขการปฏิบัติตามจริงที่คุณออกแบบ คุณจะไม่ต้องคิดแปลงสิ่งอื่นสู่ความต้องการของคุณแน่นอนที่เดิยวที่คุณจะสร้าง อุปกรณ์ขยายสัญญาณ RF อย่างง่าย ๆ และใช้ประโยชน์มัน สำหรับการกำใช้งานส่วนตัว

พวกเขาจะเริ่มต้นการอภิปราย ด้วยการสรุปสั้น ๆ ในเรื่องของ การไบอัสทรานซิสเตอร์ ทั้งประเภท bipolar และ FET จากที่อธิบายในบทที่แล้ว quiescent bias point ของทรานซิสเตอร์ มีผลอย่างยิ่งต่อ พารามิเตอร์ Y และ S การไบอัสทรานซิสเตอร์จึงเป็นเรื่องที่ถือว่าสำคัญและอาจจริงอาจแจ้งและไม่ควรใช้อย่างสะเพร่า

ต่อไปเราจะกระโดดจากหัวข้อแรกไปเรื่อง หลักเกณฑ์ทาง RF ของ amplifier โดยการตรวจสอบ เสถียรภาพ(stability), อัตราขยาย(gain), impedance matching, และ การออกแบบโดยทั่วไป ซึ่งเน้นหนักไปที่การใช้ พารามิเตอร์ Y และ S เป็นเครื่องมือในการออกแบบ

Transistor Biasing

Amplifier จะทำงานได้ดีที่อุณหภูมิห้อง และจะต้องทำงานได้อย่างน่าเชื่อถือ ต้องรักษาคุณสมบัติต่างๆเอาไว้ ไม่ว่าจะเป็น gain, noise เป็นต้น ในระดับอุณหภูมิที่กว้างมากๆ วงจรการ bias กระแสตรง จะต้องใช้ความระมัดระวัง ในการพิจารณา ยกตัวอย่างเช่น data sheet 2N5179 ซึ่งแสดงในบทสุดท้าย ให้สังเกตที่เส้นโค้งของ y และ s ซึ่งแสดงให้เห็นว่า การเปลี่ยนแปลงจุดการ bias ของทรานซิสเตอร์นั้น จะเปลี่ยนแปลงจุดการทำงานของค่าต่างๆทุกตัว ดังนั้นมันจึงมีเหตุผลที่จะทำให้เชื่อว่า จุดการทำงานของ DC จะยังเสถียรอยู่ภายใต้ข้อกำหนดของการทำงานหรือคุณสมบัติของ RF ซึ่งอาจจะเปลี่ยนแปลงอย่างรวดเร็ว ซึ่งแสดงให้เห็นว่า มี 2 พื้นฐานภายในคุณสมบัติของทรานซิสเตอร์ ที่มีผลกระทบต่ออย่างจริงจังบนจุดการทำงานของ DC ของทรานซิสเตอร์เหนืออุณหภูมิ ซึ่งก็คือค่า ΔV_{BE} และ $\Delta \beta$

ดังนั้นเราสามารถแก้ไขผลกระทบของค่าทั้งนี้ได้โดยออกแบบ bias อุณหภูมิให้เกิดเสถียรภาพ ถ้าอุณหภูมิเพิ่มขึ้น แรงดัน V_{BE} ของทรานซิสเตอร์จะลดลงด้วยอัตรา 2.5 mV/°C จากอุณหภูมิปกติ คือ 0.7 V

(สำหรับอุปกรณ์ที่ทำจาก silicon) แต่กระแส I_B และ I_C จะเพิ่มขึ้น ซึ่งเป็นสิ่งที่เราไม่ต้องการ ซึ่งอุณหภูมิของ V_{BE} ที่เปลี่ยนไปนั้นจะเรียกว่า ΔV_{BE} ซึ่งแสดงในรูปที่ 6-1 การลดลงของ V_{BE} เนื่องจากอุณหภูมิ ทำให้กระแส I_E เพิ่มขึ้น เป็นเหตุให้ค่า V_E เพิ่มขึ้นด้วย ค่า V_E ที่เพิ่มขึ้นนี้มาจาก การป้อนกลับแบบลบที่ซึ่งเป็น bias

ย้อนกลับจากจุดเชื่อมต่อขา base-emitter และกระแส I_C ที่ลดลง ดังนั้นการลดลงของ V_{BE} มีแนวโน้มที่จะลดลง
 ได้จากการเพิ่ม V_E และการเพิ่มขึ้นเล็กน้อยของ I_C เมื่ออุณหภูมิเปลี่ยนไป ซึ่งจะได้ความสัมพันธ์ดังสมการ

$$\Delta I_C \cong \frac{-\Delta V_{BE} I_C}{V_E} \quad (\text{สมการ 6-1})$$

ΔI_C = การเปลี่ยนแปลงของกระแสที่ขา collector

I_C = กระแสที่ขา collector

ΔV_{BE} = การเปลี่ยนแปลงของแรงดัน base-emitter

V_E = แรงดันที่ขา emitter

ดังนั้นถ้าให้ V_E เท่ากับ 20 เท่าของ ΔV_{BE} กระแส I_C จะเปลี่ยนไป 5% ในช่วงอุณหภูมิระหว่าง Δ

V_{BE} นั่นก็คือค่าของ V_E ไม่ใช่ค่า R_E ซึ่งเป็นค่าที่สำคัญสำหรับการออกแบบ

จากสมการที่ 6-1 เราจะเห็นว่า ค่า V_E ยิ่งมากยิ่งดี ถ้าเราไม่สนใจการ bias ทรานซิสเตอร์ ที่จุดการทำงานที่
 กำหนด จะเห็นได้ว่า การออกแบบนั้นจะต้องคำนึงถึงองค์ประกอบอื่นๆด้วย การที่เราทำให้ค่า V_E เพิ่มขึ้นนั้น จะ
 ทำให้เกิดพลังงานที่สูญเสียไป และทำให้อัตราขยายของสัญญาณ ac ลดลง เราสามารถแก้ไขได้โดยการทำให้ bypass
 ตัวเก็บประจุข้าม R_E ที่ความถี่ของสัญญาณซึ่งช่วยในการป้องกันการสูญเสียอัตราขยาย แต่พลังงานที่สูญเสียนั้น
 ยังคงอยู่

ถ้าเราสมมติให้ Amplifier ทำงานได้เกินช่วงการเปลี่ยนแปลงอุณหภูมิไม่เกิน $\pm 50^\circ\text{C}$ และให้
 $V_E = 2.5\text{ V}$ ซึ่งทำให้เกิดการเปลี่ยนแปลง $\pm 5\%$ ใน I_C ระหว่าง ΔV_{BE} จริงๆแล้วเราสามารถหาค่าต่างๆของ

วงจรการ bias ทรานซิสเตอร์ ซึ่งส่วนใหญ่คล้ายดังรูป 6-1 ซึ่งให้ค่า V_E ในช่วง 2-4 V ขึ้นอยู่กับค่า V_{CC} และค่า
 V_C ที่เราเลือก

การเปลี่ยนแปลงอัตราขยายกระแสตรงของทรานซิสเตอร์(หรือค่า β) มีความสำคัญมากในการออกแบบ ก็คือ
 เมื่อเราทำการเปลี่ยนแปลงค่า β ก็จะทำให้กระแส I_C เปลี่ยนแปลงด้วย ยิ่งกว่านั้น ยังทำให้การทำงานของ

ทรานซิสเตอร์เปลี่ยนแปลงด้วยเหมือนกัน ซึ่งค่า β ในซิลิคอนทรานซิสเตอร์ จะเพิ่มขึ้นตามอุณหภูมิด้วยอัตรา 5%
 $/^\circ\text{C}$ ดังนั้นการเปลี่ยนแปลงอุณหภูมิในช่วง $\pm 50^\circ\text{C}$ เราก็สามารถที่จะรู้ค่า β ได้ นอกจากนี้เราก็จะได้รู้ได้อีกว่า
 ค่า I_C จะเปลี่ยนแปลงได้มากที่สุดไม่เกิน 25%

นอกจาก β จะเปลี่ยนแปลงตามอุณหภูมิแล้ว ในทางอุตสาหกรรมก็ต้องทำให้ค่า β เปลี่ยนแปลงด้วย
 เหมือนกัน ยกตัวอย่างเช่น ทางอุตสาหกรรมอาจต้องการค่า β ที่เปลี่ยนแปลงอยู่ในช่วง 50 ถึง 500 ซึ่งสำหรับการ
 ออกแบบอุปกรณ์นั้นเป็นเรื่องที่ยากมาก ดังนั้นเป็นเรื่องยากที่เราจะกำหนดให้จุดการทำงานของค่า β สอดคล้อง
 กับอุณหภูมิ

การเปลี่ยนแปลงค่า I_C จาก β นั้น มีความสัมพันธ์ดังสมการ

$$\Delta I_C = I_{C1} \left(\frac{\Delta \beta}{\beta_1 \beta_2} \right) \left(1 + \frac{R_B}{R_E} \right) \quad (\text{สมการ 6-2})$$

I_{C1} = กระแส collector ที่ $\beta = \beta_1$

β_1 = ค่า β ที่ต่ำที่สุด

β_2 = ค่า β ที่สูงที่สุด

$$\Delta \beta = \beta_2 - \beta_1$$

R_B = ความต้านทานที่ขนานกันระหว่าง R_1 และ R_2 (ดังรูป 6-1)

R_E = ความต้านทานที่ขา emitter

จากสมการนี้จะเห็นได้ว่า ค่าต่างๆของทรานซิสเตอร์จะถูกควบคุมโดยการเปลี่ยนแปลงค่า β บนกระแส collector ซึ่งไหลตลอดอัตราส่วนความต้านทาน $\frac{R_B}{R_E}$ ค่าอัตราส่วนที่น้อย จะบ่งบอกถึงการเปลี่ยนแปลงของกระแส collector ที่น้อยด้วย ดังนั้นถ้าเราลดค่าอัตราส่วน $\frac{R_B}{R_E}$ จะทำให้ค่าอัตราขยายกระแสของ amplifier ลดลงด้วย ซึ่งเป็นสิ่งที่เราไม่ต้องการและถ้าอัตราส่วนเข้าใกล้ 1 การปรับปรุงในจุดการทำงานที่เสถียรก็จะลดลงอย่างรวดเร็ว ดังนั้นในทางปฏิบัติการออกแบบควรจะให้อัตราส่วน $\frac{R_B}{R_E}$ ให้น้อยกว่า 10

จากรูป 6-1, 6-2, 6-3 แสดงรูปการ bias ที่ใช้ได้สำหรับความต้านทานที่ขา emitter (R_E) ซึ่งค่า R_E นี้เป็นตัวที่ทำให้การป้อนกลับแบบลบ จะช่วยลดผลกระทบสำหรับการเปลี่ยนแปลงค่ากระแส I_C ตามอุดมคติ จากรูปที่ 6-2, 6-3 ไม่มีค่า R_E แต่เราเอา R_F มาแทน ซึ่งอยู่ระหว่างขา collector และขา base ซึ่งมีหน้าที่ให้การป้อนกลับแบบลบเช่นเดียวกัน ค่า R_F นี้จะทำงานได้ดีเมื่อผลกระทบจากการเปลี่ยนแปลงอุดมคติสำหรับค่า parameter ต่างๆ เปลี่ยนแปลงเล็กน้อยเท่านั้น

จากรูป 6-4 และ 6-5 แสดงวิธีการออกแบบ FET ซึ่งมีสูตรในการออกแบบดังนี้

$$I_D = I_{DSS} \left(1 - \frac{V_{GS}}{V_P} \right)^2 \quad (\text{สมการ 6-3})$$

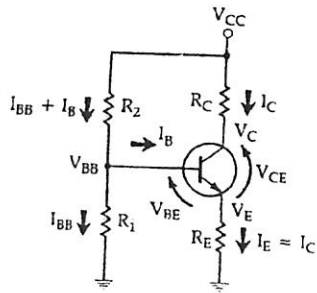
I_D = กระแส Drain

I_{DSS} = กระแส Drain ที่ $V_{GS}=0$

V_{GS} = แรงดันจาก Gate ไป Source

V_P = แรงดัน pinch-off

ค่ากระแส I_D ส่วนมากจะเป็นค่าที่ผู้ใช้เลือก ส่วนค่ากระแส I_{DSS} และแรงดัน V_P นั้นจะเป็นค่าที่ได้จาก data sheet สำหรับทรานซิสเตอร์ ถ้าเรารู้ค่าทั้ง 3 แล้ว เราสามารถหาค่า V_{GS} ได้



1. เลือกจุดการทำงานของทรานซิสเตอร์

$$I_C = 10 \text{ mA}, V_C = 10 \text{ V}, V_{CC} = 20 \text{ V}, \beta = 50$$

2. สมมติให้ค่า V_E ที่เสถียรเท่ากับ

$$V_E = 2.5 \text{ V}$$

3. สมมติให้ $I_E \approx I_C$ สำหรับทรานซิสเตอร์ที่มีค่า β สูง

4. เมื่อรู้ I_E และ V_E แล้ว R_E หาค่าได้

$$\begin{aligned} R_E &= \frac{V_E}{I_E} \\ &= \frac{2.5}{10 * 10^{-3}} \\ &= 250 \Omega \end{aligned}$$

5. รู้ค่า V_{CC} , V_C และ I_C หาค่า R_C ได้

$$\begin{aligned} R_C &= \frac{V_{CC} - V_C}{I_C} \\ &= \frac{20 - 10}{10 * 10^{-3}} \\ &= 1000 \Omega \end{aligned}$$

6. รู้ค่า I_C และ β คำนวณหา I_B

$$\begin{aligned} I_B &= \frac{I_C}{\beta} \\ &= 0.2 \text{ mA} \end{aligned}$$

7. รู้ค่า V_E และ V_{BE} คำนวณหา V_{BB}

$$\begin{aligned} V_{BB} &= V_E + V_{BE} \\ &= 2.5 + 0.7 \\ &= 3.2 \text{ V} \end{aligned}$$

8. กำหนดให้ค่า I_{BB} มีค่ามากๆ

$$I_{BB} = 1.5 \text{ mA}$$

9. รู้ค่า I_{BB} , V_{BB} คำนวณหา R_1

$$R_1 = \frac{V_{BB}}{I_{BB}}$$

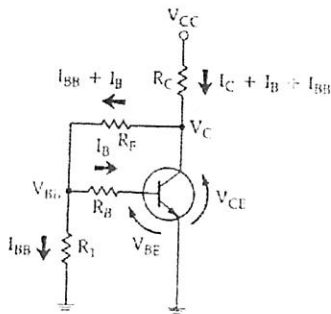
$$= \frac{3.2}{1.5 \times 10^{-3}}$$

$$= 2133 \Omega$$

10. รู้ค่า V_{CC} , V_{BB} , I_{BB} และ I_B คำนวณหา R_2

$$R_2 = \frac{V_{CC} - V_{BB}}{I_{BB} + I_B} = \frac{20 - 3.2}{1.7 \times 10^{-3}} = 9882 \Omega$$

รูปที่ 6-1 Bias network design 1



1. เลือกจุดการทำงานของทรานซิสเตอร์

$$I_C = 10 \text{ mA}, V_C = 10 \text{ V}, V_{CC} = 20 \text{ V}, \beta = 50$$

2. สมมติค่า I_{BB} และ V_{BB} ที่จะจ่ายให้ I_B

$$V_{BB} = 2 \text{ V}$$

$$I_{BB} = 1 \text{ mA}$$

3. รู้ค่า I_C และ β คำนวณหา I_B

$$I_B = \frac{I_C}{\beta}$$

$$= 0.2 \text{ mA}$$

4. รู้ค่า V_{BB} , $V_{BE} = 0.7 \text{ V}$ และ I_B คำนวณหา R_B

$$R_B = \frac{V_{BB} - V_{BE}}{I_{BB} + I_B}$$

$$= \frac{2 - 0.7}{0.2 \times 10^{-3}}$$

$$= 6500 \Omega$$

5. รู้ค่า I_{BB} , V_{BB} คำนวณหา R_1

$$R_1 = \frac{V_{BB}}{I_{BB}}$$

$$= \frac{2}{1 \times 10^{-3}}$$

$$= 2000 \Omega$$

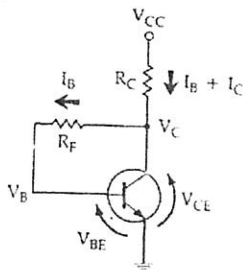
6. รู้ค่า V_{CC} , V_{BB} , I_{BB} และ I_B คำนวณหา R_F

$$R_F = \frac{V_{CC} - V_{BB}}{I_{BB} + I_B} = \frac{10 - 2}{1.2 * 10^{-3}} = 6667 \Omega$$

7. รู้ค่า V_{CC} , V_C , I_C , I_B และ I_{BB} คำนวณหา R_C

$$R_C = \frac{V_{CC} - V_{BB}}{I_{BB} + I_B + I_C} = \frac{20 - 10}{11.2 * 10^{-3}} = 893 \Omega$$

รูปที่ 6-2 Bias network design 2



1. เลือกจุดการทำงานของทรานซิสเตอร์

$$I_C = 10 \text{ mA}, V_C = 10 \text{ V}, V_{CC} = 20 \text{ V}, \beta = 50$$

2. รู้ค่า I_C และ β คำนวณหา I_B

$$I_B = \frac{I_C}{\beta} = 0.2 \text{ mA}$$

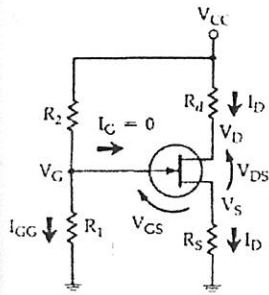
3. รู้ค่า V_C , $V_B = V_{BE} = 0.7 \text{ V}$ และ I_B คำนวณหา R_F

$$R_F = \frac{V_C - V_B}{I_B} = \frac{10 - 0.7}{200 * 10^{-6}} = 46.5 \text{ K}\Omega$$

4. รู้ค่า I_B , I_C , V_{CC} และ V_C คำนวณหา R_C

$$R_C = \frac{V_{CC} - V_C}{I_B + I_C} = \frac{20 - 10}{10.2 * 10^{-3}} = 980 \Omega$$

รูปที่ 6-3 Bias network design 3



1. เลือกค่าจุดการทำงานของทรานซิสเตอร์

$$I_D = 10 \text{ mA}, V_D = 10 \text{ V}, V_{CC} = 20 \text{ V}$$

2. รู้ค่า V_{CC} , V_D และ I_D คำนวณหา R_d

$$\begin{aligned} R_d &= \frac{V_{CC} - V_D}{I_D} \\ &= \frac{10}{10 * 10^{-3}} \\ &= 1000 \Omega \end{aligned}$$

3. กำหนดค่า V_P , I_{DSS} จาก data sheet

$$V_P = -6 \text{ V}$$

$$I_{DSS} = 5 \text{ mA}$$

4. รู้ค่า I_D , I_{DSS} และ V_P คำนวณหา V_{GS}

$$\begin{aligned} V_{GS} &= V_P \left(1 - \sqrt{\frac{I_D}{I_{DSS}}} \right) \\ &= -6 \left(1 - \sqrt{\frac{10 * 10^{-3}}{5 * 10^{-3}}} \right) \\ &= 2.48 \text{ V} \end{aligned}$$

5. สมมติค่า V_S ให้อยู่ในช่วง 2-3 V

$$V_S = 2.5 \text{ V}$$

6. รู้ค่า V_S และ I_D หาค่า R_S

$$\begin{aligned} R_S &= \frac{V_S}{I_D} \\ &= \frac{2.5}{10 * 10^{-3}} \\ &= 250 \Omega \end{aligned}$$

7. รู้ค่า V_S และ V_{GS} คำนวณ V_G

$$\begin{aligned} V_G &= V_{GS} + V_S \\ &= 2.48 + 2.5 \\ &= 4.98 \text{ V} \end{aligned}$$

8. กำหนดค่า R_1

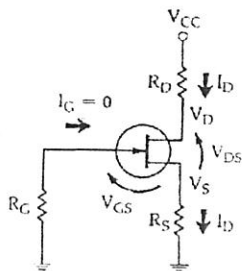
$$R_1 = 220 \text{ K} \Omega$$

9. รู้ค่า R_1 , V_G และ V_{CC} และคำนวณ R_2

$$R_2 = \frac{R_1(V_{CC} - V_G)}{V_G}$$

$$= \frac{220 * 10^3 (20 - 4.98)}{4.98} = 664 \text{ K}\Omega$$

รูปที่ 6-4 Bias network design 4



1. เลือกค่าจุดการทำงานของทรานซิสเตอร์

$$I_D = 10 \text{ mA}, V_D = 10 \text{ V}, V_{CC} = 20 \text{ V}$$

2. รู้ค่า V_{CC} , V_D และ I_D คำนวณหา R_d

$$R_d = \frac{V_{CC} - V_D}{I_D}$$

$$= \frac{10}{10 * 10^{-3}}$$

$$= 1000 \Omega$$

3. กำหนดค่า V_P , I_{DSS} จาก data sheet

$$V_P = -6 \text{ V}$$

$$I_{DSS} = 5 \text{ mA}$$

4. รู้ค่า I_D , I_{DSS} และ V_P คำนวณหา V_{GS}

$$V_{GS} = V_P \left(1 - \sqrt{\frac{I_D}{I_{DSS}}} \right)$$

$$= -6 \left(1 - \sqrt{\frac{10 * 10^{-3}}{5 * 10^{-3}}} \right)$$

$$= 2.48 \text{ V}$$

5. รู้ค่า $I_G = 0$, $V_{GS} = V_S$ และ I_D คำนวณหา R_S

$$R_S = \frac{V_S}{I_D}$$

$$= \frac{2.48}{10 * 10^{-3}}$$

$$= 248 \Omega$$

6. เมื่อ $I_G = 0$ เราสามารถกำหนดให้ค่า R_G มีค่ามากได้ โดยให้ค่า R_G มีค่าประมาณ $1 \text{ M}\Omega$

รูปที่ 6-5 Bias network design

EXAMPLE 6-1—Cont.

NAME	TITLE	DWG. NO.
SMITH CHART FORM ZY-01-N	ANALOG INSTRUMENTS COMPANY, NEW PROVIDENCE, N.J. 07974	DATE

NORMALIZED IMPEDANCE AND ADMITTANCE COORDINATES

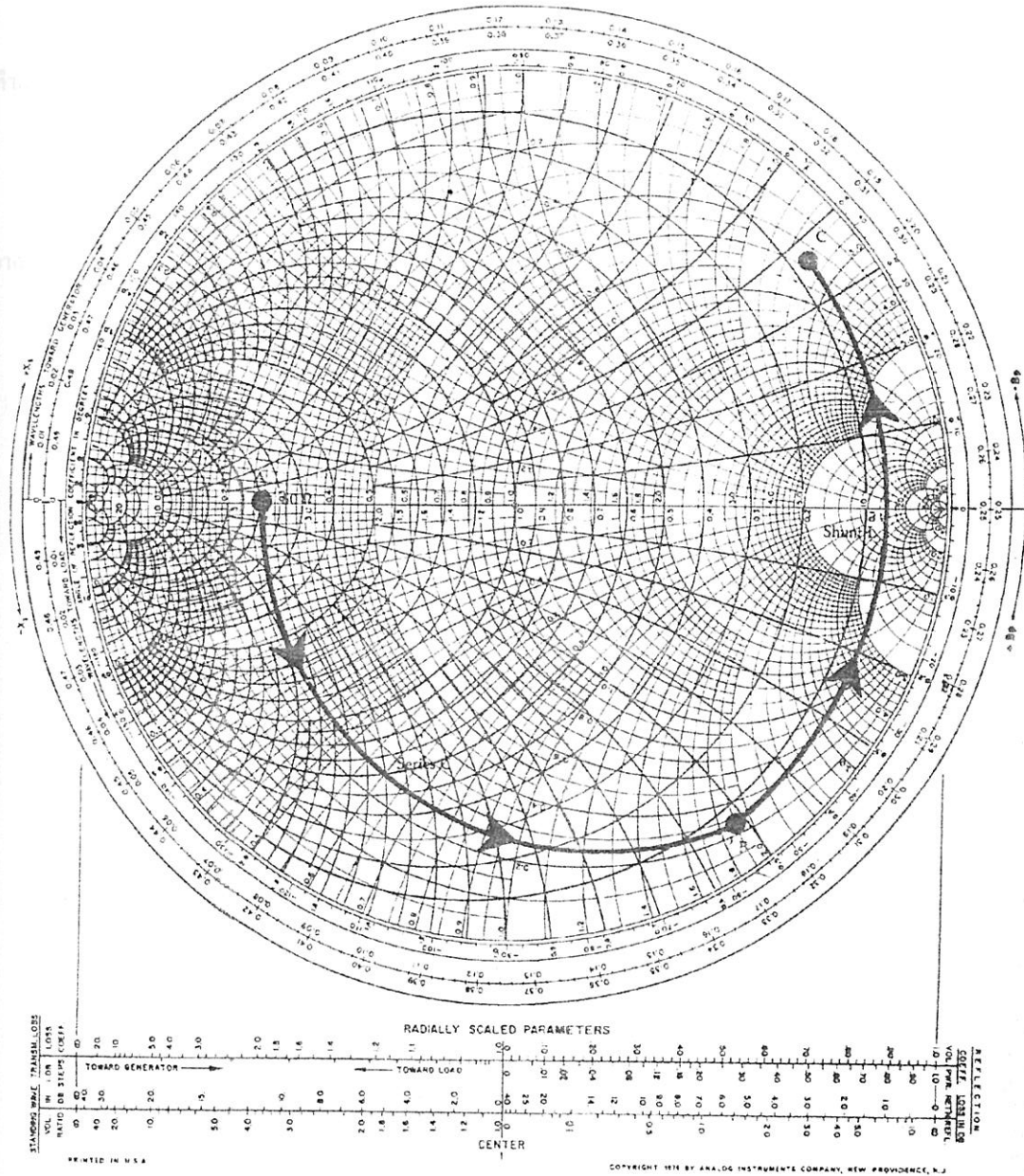


Fig. 6-7. Output network design for Example 6-1.

Cont. on next page

หรือ

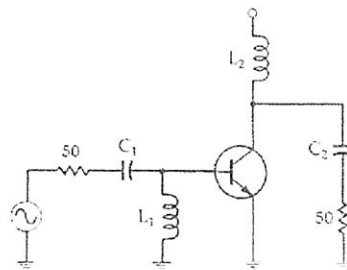
$$Z_L = 0.495 + j2.62 \text{ ohms}$$

ทำการ normalized 50 ohms ที่โหลด จะส่งค่าสูงสุด transfer ที่โหลด เลือกค่า L ที่ทำให้เกิดการ matching

$$\text{Arc AB} = \text{series C} = -j1.9 \text{ ohms}$$

$$\text{Arc BC} = \text{shunt L} = -j0.89 \text{ mho}$$

ค่า input และ output matching networks แสดงอยู่ในรูป 6-8 ค่าส่วนประกอบตามความเป็นจริงถูกค้นพบจากการใช้สมการที่ 4-11 ถึง 4-14 สำหรับทางด้าน input



รูป 6-8 วงจรสำหรับตัวอย่าง 6-1

$$\begin{aligned} C_1 &= \frac{1}{\omega XN} \\ &= \frac{1}{2\pi(100 \times 10^6)(1.3)(50)} \\ &= 24.5 \text{ pF} \end{aligned}$$

L_1

$$= \frac{N}{\omega B}$$

$$= \frac{50}{2\pi(100 \times 10^6)(1.1)}$$

$$= 72 \text{ nH}$$

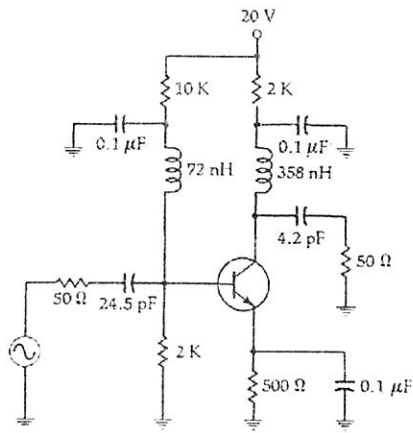
$$C_2 = \frac{1}{2\pi(100 \times 10^6)(1.9)(200)}$$

$$= 4.18 \text{ pF}$$

$$L_2 = \frac{200}{2\pi(100 \times 10^6)(0.89)}$$

$$= 358 \text{ nH}$$

เมื่อใส่ค่าต่างๆตามที่คำนวณได้จะได้วงจรสุดท้ายดังรูป



รูป 6-9

Simultaneous Conjugate Match
(Unconditionally stable Transistors)

คู่ Conjugate พร้อมกัน
(ไม่มีเงื่อนไขที่มีเสถียรภาพ Transistors)

หนึ่งครั้งต่อที่มีเสถียรภาพที่เหมาะสม Transistor ได้ถูกค้นพบและความสามารถกำไรของมันได้ถูกค้นพบให้จับคู่ความต้องการของคุณ, คุณสามารถดำเนินต่อไปกับการออกแบบ.

โพรซีจอร์การออกแบบดังต่อไปนี้จะส่งผลในภาระและการสะท้อนข้อมูล Coefficients ซึ่งจะเตรียมคู่ conjugate สำหรับสิ่งที่นำออกตามความเป็นจริงและสิ่งที่นำเข้า impedances, อย่างแต่ละคน, ของ the transistor. จำว่าสิ่งที่นำออกตามความเป็นจริง impedance ของ transistor คือ dependent บนข้อมูล impedance ซึ่ง transistor "เห็น." อย่างสมทนา, สิ่งที้นำเข้าตามความเป็นจริง impedance ของ transistor คือ dependent บนภาระ impedance ซึ่ง transistor "เห็น." dependency นี้ คือ, เพราะว่า, เป็นสาเหตุให้โดยกำไรกลับหลังของ transistor (S12). ถ้า S12 เท่ากันเพื่อศูนย์แล้ว, ภาระและข้อมูล impedances คงไม่มีผลกระทบบน ของ transistor สิ่งที้นำเข้าและสิ่งที่นำออก impedances.

เพื่อค้นหาโหลดการสะท้อน coefficient สำหรับ คู่ conjugate, ภาระการคำนวณดังต่อไปนี้:

$$C_2 = S_{22} - (D_S S_{11}) \quad \text{Eq6-18}$$

ที่ซึ่ง, เครื่องหมายดอกจันแสดงควมซับซ้อน conjugate ของ S11 (ความใหญ่โตเดียวกัน, แต่ไม่มีเครื่องหมายสิ่งตรงข้าม). ปริมาณ D8 เป็นปริมาณปานกลางเป็นคำนวณในสมการ 6-14.

ถัดไป, คำนวณ B2.

$$B_2 = 1 + [S_{22}]^2 - [S_{11}]^2 [D_S]^2 \quad \text{Eq6-19}$$

คือความใหญ่ของการสะท้อน Coefficient แล้วค้นพบจากสมการ:

$$|\Gamma_L| = \frac{B_2 \pm \sqrt{B_2^2 - 4|C_2|^2}}{2|C_2|} \quad \text{Eq6-20}$$

เครื่องหมายที่อยู่หน้าสิ่งมูลฐานคือ สิ่งตรงข้ามของเครื่องหมายของ B2 (ซึ่งถูกคำนวณอย่างผ่านมาในสมการ 6-19). มุมของการสะท้อน โหลด Coefficient คือ ที่เป็นลบของมุมของ C2 อย่างง่าย ๆ (ค้นพบในสมการ 6-18).

หากเราต้องการหาค่าของสัมประสิทธิ์การสะท้อนที่ปลายโหลด เราอาจหาได้จากกราฟจุดบน Smith Chart หรือหาโดยตรงได้จากกรแทนที่ Γ_L ลงในสมการที่ 5-8 และแก้สมการหา Z_L ที่แมตช์กัน ด้วยค่าของสัมประสิทธิ์การสะท้อนที่ปลายสาย เราสามารถคำนวณค่าของสัมประสิทธิ์การสะท้อนทางฝั่งแหล่งจ่ายที่ต้องนำทรานซิสเตอร์มาเชื่อมต่อให้เหมาะสม

$$\Gamma_s = \left[\begin{array}{c} S_{11} + S_{12}S_{21}\Gamma_L \\ 1 - (\Gamma_L \bullet S_{22}) \end{array} \right]^* \quad (\text{สมการที่ 6-21})$$

เครื่องหมายคอกกันแสดงให้เห็นว่า เราต้องทำการคอนจูเกตปริมาณที่อยู่ในวงเล็บก่อน ถ้าไม่เช่นนั้นแล้ว เมื่อเรากำหนดสมการที่ 6-21 เสร็จเรียบร้อย ปริมาณที่คำนวณได้จะมีค่าถูกต้องแต่มุมที่ได้จะผิด เราต้องเปลี่ยนเครื่องหมายของมุมด้วย

เมื่อเราได้ค่าของ Γ_s ที่ต้องการแล้ว จากนั้นนำเอาไปจุดลงบน Smith Chart หรือแทนค่าลงในสมการที่ 5-8 เพื่อหาอิมพีแดนซ์ของแหล่งจ่ายที่ตรงกัน

การออกแบบ Amp โดยใช้ S-Parameter

1. ตรวจสอบ Stability

$$D_s = S_{11}S_{22} - S_{12}S_{21}$$

$$k = \frac{1 + |D_s|^2 - |S_{11}|^2 - |S_{22}|^2}{2 \bullet |S_{21}| \bullet |S_{12}|}$$

k=Rolett stability factor จะต้องมากกว่า 1 (k>1) คือ unconditionally stable

2. หา Maximum Available Gain (MAG)

$$B_1 = 1 + |S_{11}|^2 - |S_{22}|^2 - |D_s|^2$$

$$MAG = 10 \log \frac{|S_{21}|}{|S_{12}|} + 10 \log \left| k \pm \sqrt{k^2 - 1} \right| \quad \dots\dots\dots(\text{dB})$$

หมายเหตุ

ค่าจะเป็นบวกหรือลบขึ้นอยู่กับค่า B_1 ถ้า B_1 เป็นบวกจะใช้เครื่องหมายลบ (เครื่องหมายตรงข้ามกับ B_1)

3. Conjugate Match

3.1 Load reflection coefficient (Γ_L)

$$C_2 = S_{22} - D_s S_{11}^*$$

$$|\Gamma_2| = \frac{B_2 \pm \sqrt{B_2^2 - 4|C_2|^2}}{2|C_2|}$$

$$B_2 = 1 + |S_{22}|^2 - |S_{11}|^2 - |D_s|^2$$

หมายเหตุ มุมของ $|\Gamma_L|$ จะใช้มุมเดียวกับ C_2 แต่เครื่องหมายตรงข้าม

3.2 Source-reflection (Γ_s) หา

$$\Gamma_s = \left[S_{11} + \frac{S_{12}S_{21}\Gamma_L}{1 - \Gamma_L S_{22}} \right]^*$$

Ex 1

จงออกแบบ Amplifier ที่ Maximum gain ความถี่ 200 MHz โดยที่ความต้านทานแหล่งจ่ายและโหลดเท่ากับ 50Ω มีค่า S-Parameter ที่ $V_{CE} = 10V$ $I_C = 10mA$ มีค่า

$$S_{11} = 0.4 \angle 162^\circ$$

$$S_{22} = 0.35 \angle -39^\circ$$

$$S_{12} = 0.04 \angle 60^\circ$$

$$S_{21} = 5.2 \angle 63^\circ$$

วิธีทำ

1. ตรวจสอบ Stability

$$D_s = S_{11}S_{22} - S_{12}S_{21}$$

$$D_s = (0.4 \angle 162^\circ)(0.35 \angle -39^\circ) - (0.04 \angle 60^\circ)(5.2 \angle 60^\circ)$$

$$= (0.4)(0.35) \angle (162 - 39)^\circ - (0.04)(5.2) \angle (60 + 63)^\circ$$

$$= 0.14 \angle 123^\circ - 0.208 \angle 123^\circ$$

$$= (-0.076 + j0.117) - (-0.113 + j0.175)$$

$$= 0.037 - j0.058$$

$$= 0.068 \angle -57^\circ$$

หาค่า k จาก

$$k = \frac{1 + |D_s|^2 - |S_{11}|^2 - |S_{22}|^2}{2 \cdot |S_{21}| |S_{12}|}$$

$$= \frac{1 + (0.068)^2 - (0.4)^2 - (0.35)^2}{2 \cdot |S_{21}| |S_{12}|}$$

$$= 1.74$$

$\therefore k > 1$ คือ Unconditionally stable 1 (สามารถออกแบบเป็น Amp)

2. หาค่าของ Maximum Available Gain (MAG)

จาก

$$\begin{aligned}
 B_1 &= 1 + |S_{11}|^2 - |S_{22}|^2 - |D_2|^2 \\
 &= 1 + (0.4)^2 - (0.35)^2 - (0.068)^2 \\
 &= 1.03
 \end{aligned}$$

∴ B_1 มีเครื่องหมายเป็นบวก ทำให้ log ตัวที่ 2 หลังค่า k เป็นลบ

$$\begin{aligned}
 MAG &= 10 \log \frac{|S_{21}|}{|S_{12}|} + 10 \log |k \pm \sqrt{k^2 - 1}| \\
 &= 10 \log \frac{5.2}{0.04} + 10 \log |1.74 - \sqrt{(1.74)^2 - 1}| \\
 &= 21.14 + (-5) \\
 &= 16.1 \text{ dB}
 \end{aligned}$$

3. ท1 Conjugate Match

3.1 load reflection coefficient (Γ_L)

จาก

$$\begin{aligned}
 C_2 &= S_{22} - (D_2 S_{11}^*) \\
 &= 0.35 \angle -39^\circ - ((0.068 \angle -5.7^\circ) \bullet (0.4 \angle -162^\circ)) \\
 &= (0.272 - j0.22) - (0.027 \angle -219^\circ) \\
 &= (0.272 - j0.22) - (-0.021 - j0.017) \\
 &= 0.293 - j0.237 \\
 &= 0.377 \angle -39^\circ
 \end{aligned}$$

ท1

$$\begin{aligned}
 B_2 &= 1 + |S_{22}|^2 - |S_{11}|^2 - |D_s|^2 \\
 &= 1 + (0.35)^2 - (0.4)^2 - (0.068)^2 \\
 &= 0.958 \\
 |\Gamma_L| &= \frac{B_2 \pm \sqrt{B_2^2 - 4|C_2|^2}}{2|C_2|} \\
 |\Gamma_L| &= \frac{0.958 - \sqrt{(0.958)^2 - 4(0.377)^2}}{2(0.377)}
 \end{aligned}$$

เครื่องหมายหลังพจน์แรกเป็นลบเพราะจะต้องมีเครื่องหมายตรงข้ามกับ B_2 (ซึ่ง B_2 เป็นบวก)

$$|\Gamma_L| = 0.487$$

∴ จะได้ load-reflection coefficient

$$\Gamma_L = 0.487 \angle 39^\circ$$

มุม 39° มาจากมุมของ C_2 แต่เครื่องหมายจะต้องตรงกันข้าม

3.2 Source-reflection coefficient

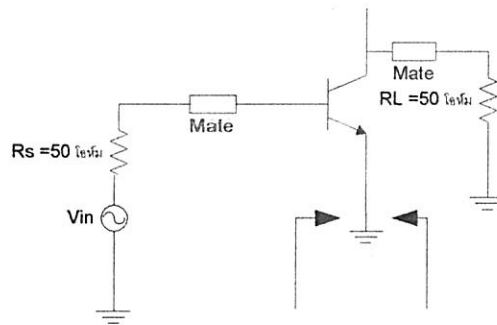
$$\begin{aligned}
 \Gamma_s &= \left[S_{11} + \frac{S_{12}S_{21}\Gamma_L}{1 - (\Gamma_L \bullet S_{22})} \right]^* \\
 &= \left[0.4\angle 162^\circ + \frac{(0.04\angle 60^\circ)(5.2\angle 63^\circ)(0.487\angle 39^\circ)}{1 - [(0.487\angle 39^\circ)(0.35\angle -39^\circ)]} \right]^* \\
 &= \left[0.4\angle 162^\circ + \frac{0.10\angle 162^\circ}{1 - (0.170\angle 0^\circ)} \right]^* \\
 &= \left[(-0.38 + j0.123) + \frac{0.10\angle 162^\circ}{0.83\angle 0^\circ} \right]^* \\
 &= \left[(-0.38 + j0.123) + 0.12\angle 162^\circ \right]^* \\
 &= \left[(-0.38 + j0.123) + (-0.114 + j0.037) \right]^* \\
 &= \left[-0.494 + j0.16 \right]^* \\
 &= \left[0.52\angle 162^\circ \right]^* \\
 &= 0.52\angle -162^\circ
 \end{aligned}$$

4. ทำการ plot ลงบน smith chart

จาก

$$\Gamma_s = 0.52\angle -162^\circ$$

$$\Gamma_L = 0.487\angle 39^\circ$$



รูปที่ 1

สามารถทำได้ 2 แบบ คือ plot

1. แบบ Plot ขนาดและมุมโดยตรง คือ

$$\Gamma_S = 0.52 \angle -162^\circ$$

$$\Gamma_L = 0.487 \angle 39^\circ$$

2. แบบแปลงให้ในรูปของ

Z_S จาก Γ_S และ Z_L จาก Γ_L

การแปลง Z_S ให้อยู่ในรูปของ Γ_S จะได้

$$\begin{aligned} Z_S &= \frac{1 + \Gamma_S}{1 - \Gamma_S} = \frac{1 + (0.52 \angle -162^\circ)}{1 - (0.52 \angle -162^\circ)} \\ &= \frac{1 + (-0.496 - j0.162)}{1 - (-0.496 - j0.162)} \end{aligned}$$

$$= \frac{0.504 - j0.162}{1.496 + j0.162}$$

$$= \frac{0.529 \angle -17.8^\circ}{1.505 \angle 6.18^\circ}$$

$$= 0.352 \angle -23.98^\circ$$

$$= 0.32 - j0.14 \Omega$$

แต่ค่าที่ได้จริง คือ

$$Z_S = 50(0.32 - j0.14)$$

$$= 16 - j7 \Omega$$

การแปลง Γ_L ให้อยู่ในรูปของ Z_L จะได้

$$Z_L = \frac{1 + \Gamma_L}{1 - \Gamma_L} = \frac{1 + (0.487 \angle 39^\circ)}{1 - (0.487 \angle 39^\circ)}$$

$$= 1.6 + j1.28 \Omega$$

แต่ค่าที่ได้จริง คือ

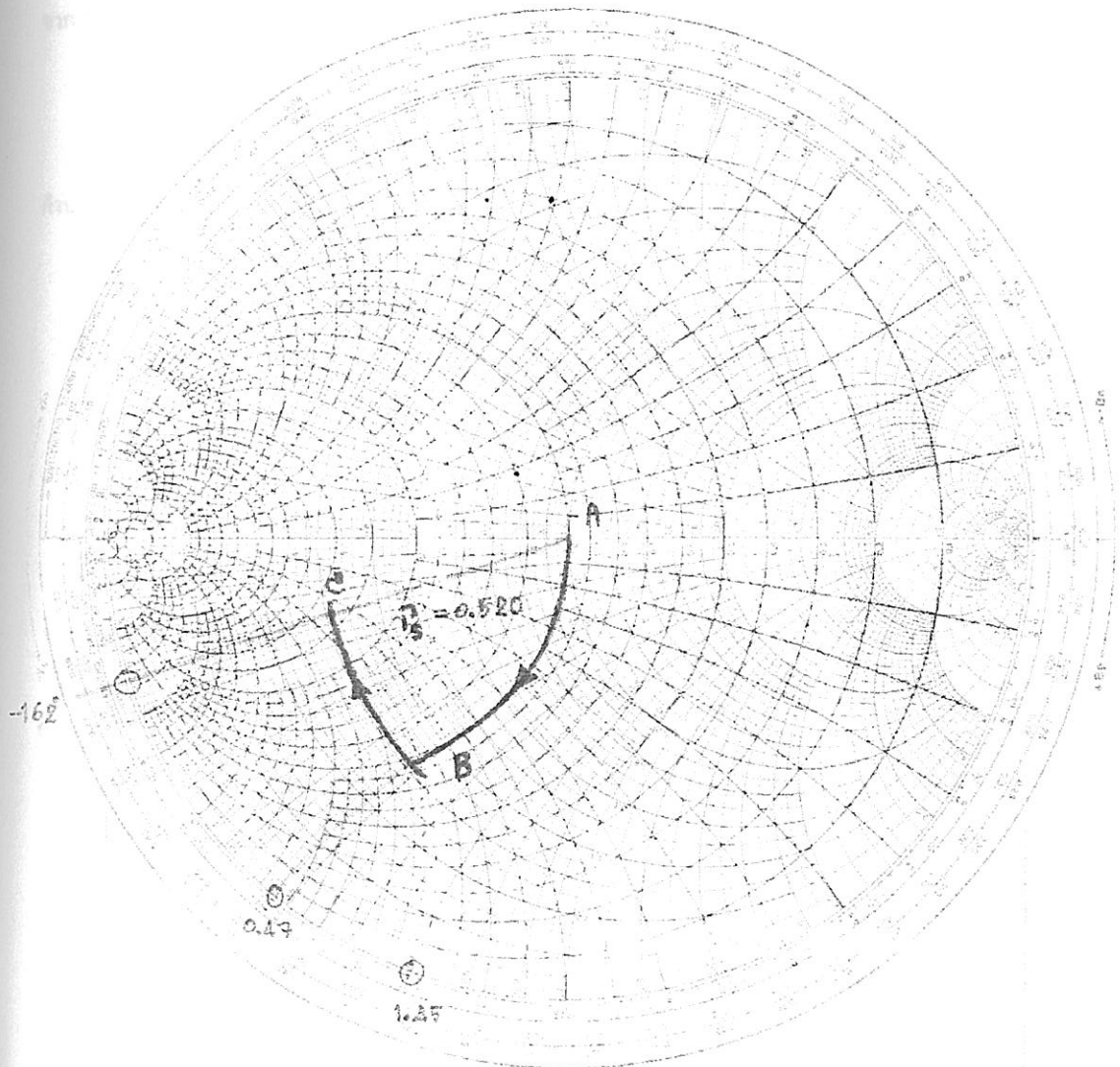
$$Z_L = 50(1.6 + j1.28)$$

$$= 80 + j64 \Omega$$

Plot Γ_S หรือ Z_S จากรูปที่ a

NAME	TITLE	DWG. NO.
SMITH CHART FORM 17-61-A	ANALOG INSTRUMENTS COMPANY, NEW PROVIDENCE, N.J. 07871	DATE

NORMALIZED IMPEDANCE AND ADMITTANCE COORDINATES



SWR	dBS	Γ_{max}	Γ_{min}	Γ_{avg}	Γ_{rms}	Γ_{eff}	Γ_{eff}^2	Γ_{eff}^4	Γ_{eff}^8
1.00	0	0.000	0.000	0.000	0.000	0.000	0.000	0.000	0.000
1.10	0.1	0.050	0.050	0.050	0.035	0.012	0.001	0.000	0.000
1.20	0.2	0.067	0.067	0.067	0.048	0.016	0.002	0.000	0.000
1.30	0.3	0.083	0.083	0.083	0.060	0.020	0.003	0.000	0.000
1.40	0.4	0.099	0.099	0.099	0.071	0.024	0.004	0.000	0.000
1.50	0.5	0.113	0.113	0.113	0.081	0.028	0.005	0.000	0.000
1.60	0.6	0.127	0.127	0.127	0.091	0.032	0.006	0.000	0.000
1.70	0.7	0.141	0.141	0.141	0.100	0.036	0.007	0.000	0.000
1.80	0.8	0.154	0.154	0.154	0.109	0.040	0.008	0.000	0.000
1.90	0.9	0.167	0.167	0.167	0.118	0.044	0.009	0.000	0.000
2.00	1.0	0.182	0.182	0.182	0.126	0.048	0.010	0.000	0.000
2.20	1.2	0.200	0.200	0.200	0.138	0.054	0.012	0.000	0.000
2.40	1.4	0.218	0.218	0.218	0.149	0.060	0.014	0.000	0.000
2.60	1.6	0.235	0.235	0.235	0.160	0.066	0.016	0.000	0.000
2.80	1.8	0.252	0.252	0.252	0.170	0.072	0.018	0.000	0.000
3.00	2.0	0.269	0.269	0.269	0.180	0.078	0.020	0.000	0.000
3.20	2.2	0.285	0.285	0.285	0.190	0.084	0.022	0.000	0.000
3.40	2.4	0.301	0.301	0.301	0.200	0.090	0.024	0.000	0.000
3.60	2.6	0.317	0.317	0.317	0.210	0.096	0.026	0.000	0.000
3.80	2.8	0.332	0.332	0.332	0.220	0.102	0.028	0.000	0.000
4.00	3.0	0.348	0.348	0.348	0.230	0.108	0.030	0.000	0.000
4.20	3.2	0.363	0.363	0.363	0.240	0.114	0.032	0.000	0.000
4.40	3.4	0.378	0.378	0.378	0.250	0.120	0.034	0.000	0.000
4.60	3.6	0.393	0.393	0.393	0.260	0.126	0.036	0.000	0.000
4.80	3.8	0.408	0.408	0.408	0.270	0.132	0.038	0.000	0.000
5.00	4.0	0.423	0.423	0.423	0.280	0.138	0.040	0.000	0.000
5.20	4.2	0.437	0.437	0.437	0.290	0.144	0.042	0.000	0.000
5.40	4.4	0.452	0.452	0.452	0.300	0.150	0.044	0.000	0.000
5.60	4.6	0.466	0.466	0.466	0.310	0.156	0.046	0.000	0.000
5.80	4.8	0.480	0.480	0.480	0.320	0.162	0.048	0.000	0.000
6.00	5.0	0.494	0.494	0.494	0.330	0.168	0.050	0.000	0.000
6.20	5.2	0.508	0.508	0.508	0.340	0.174	0.052	0.000	0.000
6.40	5.4	0.522	0.522	0.522	0.350	0.180	0.054	0.000	0.000
6.60	5.6	0.536	0.536	0.536	0.360	0.186	0.056	0.000	0.000
6.80	5.8	0.550	0.550	0.550	0.370	0.192	0.058	0.000	0.000
7.00	6.0	0.564	0.564	0.564	0.380	0.198	0.060	0.000	0.000
7.20	6.2	0.578	0.578	0.578	0.390	0.204	0.062	0.000	0.000
7.40	6.4	0.592	0.592	0.592	0.400	0.210	0.064	0.000	0.000
7.60	6.6	0.606	0.606	0.606	0.410	0.216	0.066	0.000	0.000
7.80	6.8	0.620	0.620	0.620	0.420	0.222	0.068	0.000	0.000
8.00	7.0	0.634	0.634	0.634	0.430	0.228	0.070	0.000	0.000
8.20	7.2	0.648	0.648	0.648	0.440	0.234	0.072	0.000	0.000
8.40	7.4	0.662	0.662	0.662	0.450	0.240	0.074	0.000	0.000
8.60	7.6	0.676	0.676	0.676	0.460	0.246	0.076	0.000	0.000
8.80	7.8	0.690	0.690	0.690	0.470	0.252	0.078	0.000	0.000
9.00	8.0	0.704	0.704	0.704	0.480	0.258	0.080	0.000	0.000
9.20	8.2	0.718	0.718	0.718	0.490	0.264	0.082	0.000	0.000
9.40	8.4	0.732	0.732	0.732	0.500	0.270	0.084	0.000	0.000
9.60	8.6	0.746	0.746	0.746	0.510	0.276	0.086	0.000	0.000
9.80	8.8	0.760	0.760	0.760	0.520	0.282	0.088	0.000	0.000
10.00	9.0	0.774	0.774	0.774	0.530	0.288	0.090	0.000	0.000

รูป a

จาก AB จะได้ ขนาน C

$$\approx 1.45 - 0 = j1.45 \frac{1}{\Omega}$$

จาก BC จะได้อนุกรม L

$$\approx 0.47 - 0.14 = j0.33 \Omega$$

คำนวณหาค่า C จาก (ขนาน C)

$$\begin{aligned} X_C(R) &= \frac{1}{2\pi f_C} \Omega \\ \therefore C &= \frac{1}{2\pi f X_C R} \\ &= \frac{1}{2\pi (200 \times 10^6) \left(\frac{1}{1.45}\right) (50)} \\ &= 2.3 \times 10^{-11} F \\ &= 23 pF \end{aligned}$$

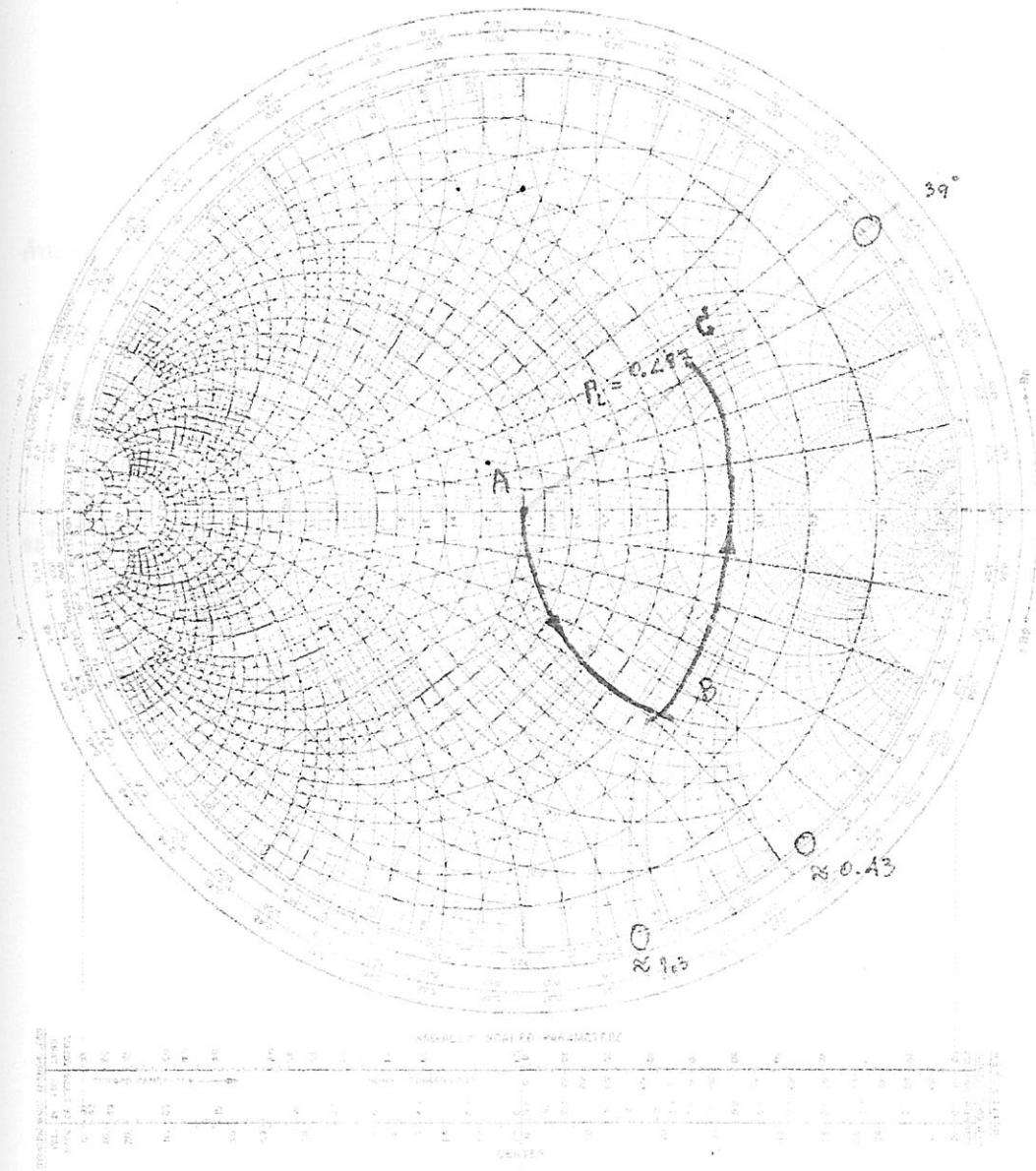
คำนวณหาค่า L จาก (อนุกรม L)

$$\begin{aligned} X_L(R) &= 2\pi fL \\ \therefore L &= \frac{X_L(R)}{2\pi f} \\ L &= \frac{(0.33)(50)}{2\pi(200 \times 10^6)} \\ &= 1.31 \times 10^{-8} H \\ &= 13.1 nH \end{aligned}$$

2. Plot Γ_L หรือ Z_L จากรูปที่ b

NAME	TITLE	DRG. NO.
SWITCH CHART FORM Z-Y-PA ANALOG INSTRUMENTS COMPANY, NEW PROVIDENCE, N.J. 07111		DATE

NORMALIZED IMPEDANCE AND ADMITTANCE COORDINATES



รูป b

จากรูป AB จะได้ อนุกรม C

$$\approx 1.3 - j0 = j1.3 \frac{1}{\Omega}$$

จาก BC จะได้ ขนาน L

$$\approx 0.43 - 0.14 = j0.33\Omega$$

คำนวณหาค่า C จากอนุกรม C

$$C = \frac{1}{2\pi f X_c(R)} = \frac{1}{2\pi(200 \times 10^6)(1.3)(50)}$$

$$= 1.22 \times 10^{-11} F$$

$$= 12.2 pF$$

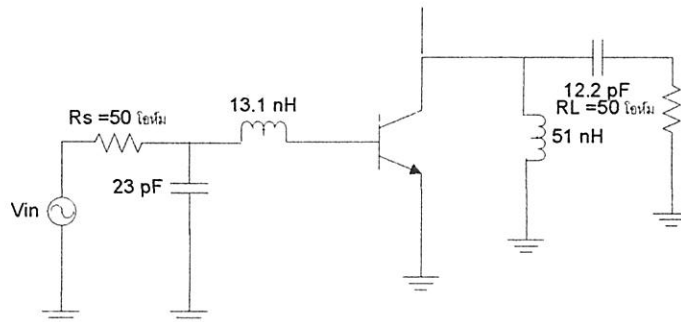
คำนวณหาค่า L จาก ขนาน L

$$L = \frac{X_L(R)}{2\pi f} = \frac{\frac{1}{0.75}(50)}{2\pi(200 \times 10^6)}$$

$$= 5.1 \times 10^{-8} H$$

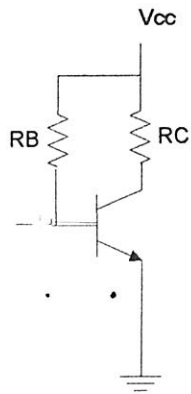
$$= 51 nH$$

จะได้วงจรสุดท้าย คือ



รูปที่ 2

จากการ bias $V_{CE} = 10V, I_C = 10mA$ หาค่า ความต้านทาน ของวงจรจะได้



รูปที่ 3

กำหนด $V_{CC} = 15V, \beta = 50(Si)$

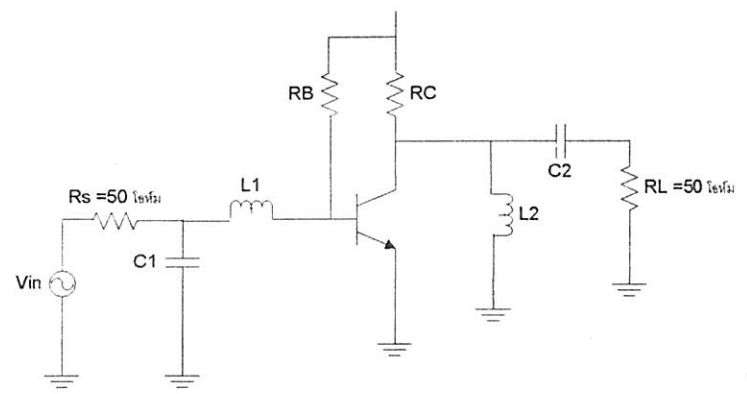
จาก

$$V_{CC} = I_C R_C + V_{CE} \dots \dots \dots (1)$$

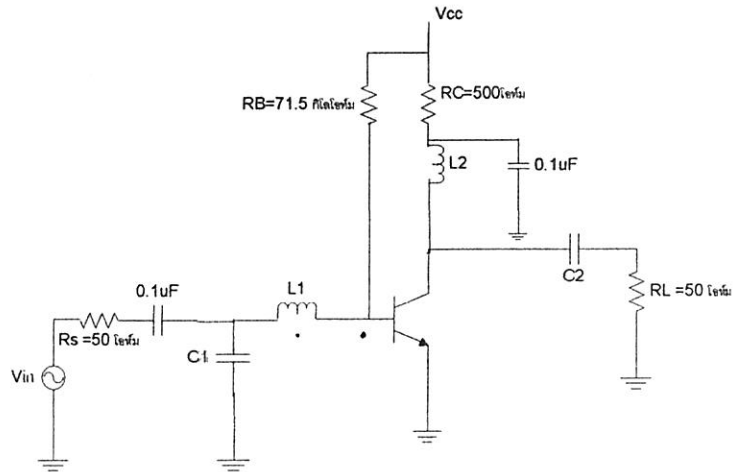
$$15 = (10 \times 10^{-3}) R_C + 10$$

$$\therefore R_C = \frac{15 - 0.7}{\frac{10 \times 10^{-3}}{50}} = 71.5 k\Omega$$

\therefore จะได้วงจรรวม คือ

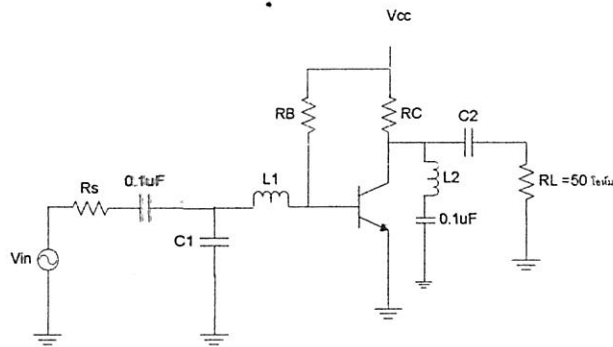


รูปที่ 4



รูปที่ 5

หรือ



รูปที่ 6

4. ตรวจสอบ Transducer Gain คือ Gain จากผลของ Γ_S และ Γ_L จะได้ผล มากน้อยเท่าไร ถ้า เท่ากับ MAG แสดง ว่า ดีมาก ไม่มีการสะท้อนกลับมาที่ตัว T_r

$$G_T = \frac{|S_{21}|^2 (1 - |\Gamma_S|^2) (1 - |\Gamma_L|^2)}{|(1 - S_{11}\Gamma_S)(1 - S_{22}\Gamma_L) - S_{12}S_{21}\Gamma_L\Gamma_S|^2}$$

จะได้

$$G_T = \frac{(5.2)^2 (1 - |\Gamma|^2) (1 - |\Gamma_L|^2)}{\left[(1 - 0.4 \angle 162^\circ) (0.52 \angle -162^\circ) \right] \left[1 - (0.35 \angle -39^\circ) (0.487 \angle 39^\circ) \right] - \left[(0.04 \angle 60^\circ) (5.2 \angle 63^\circ) (0.487 \angle 39^\circ) (0.522 \angle -162^\circ) \right]^2}$$

$$G_T = 41.15 \text{ เท่า}$$

$$\therefore G_T = 10 \log_{10} 41.15 = 16.14 \text{ dB}$$

ดังนั้น ไม่มีการสะท้อนกลับจากโหลดและแหล่งจ่าย ไปยัง T_r ($MAG = G_T$)

ข้อสังเกต อีกครั้งที่ transducer gain มีค่าใกล้เคียงกับ MAG ถ้าเราเอาจุดทศนิยมมาคิดด้วยจะเห็นว่า G_T มีค่าน้อยกว่า MAG เพียงเล็กน้อย นี่คือข้อตกลงที่ว่า S_{12} จะไม่มีค่าเท่ากับศูนย์และจะมีสัญญาณป้อนกลับมาสู่ทรานซิสเตอร์ภายในเพียงเล็กน้อย

การออกแบบสำหรับ Specified Gain

บ่อยครั้งที่เราออกแบบแอมพลิฟายเออร์ ที่มีเพียงสเปคเดียวซึ่งในบางครั้งอย่างเช่น การแมตช์แบบคอนจูเกตสำหรับทรานซิสเตอร์อาจให้อัตราขยายที่มากเกินไปสำหรับสเปคและอาจทำให้มีการขับ โหลดมากเกินไป ถ้าคุณต้องการหาส่วนประกอบให้ได้คุณอาจเข้าไปค้นหาที่โรงงานผลิตแล้วหาทรานซิสเตอร์ที่คุณต้องการเมื่อการออกแบบให้ค่าตรงตามที่โรงงานผลิต นี่อาจใช้เวลาเป็นสัปดาห์หรืออาจเป็นเดือน นี่อาจเป็นวิธีที่ดีกว่าซึ่งเรียกว่า Selective mismatching

Selective mismatching คือ การควบคุมการลดลงของอัตราขยายที่เกิดจากการไม่แมตช์กันของทรานซิสเตอร์กับโหลดอย่างง่าย มันอาจจะเป็นความคิดที่นอกกรอบ แต่มันได้ผล มีเหตุผล และใช้ได้ดีในการออกแบบ ยังคงมีคนที่ยังเชื่อว่าคุณค่าของ RF ทรานซิสเตอร์ต้องแมตช์กันกับอิมพีแดนซ์ของแหล่งจ่ายและโหลด มันไม่จริง ทรานซิสเตอร์ที่แมตช์แบบคอนจูเกตกับแหล่งจ่ายและโหลดเท่านั้นเมื่อ อัตราขยายสูงสุดถูกออกแบบโดยไม่มีคำนึงถึงพารามิเตอร์ตัวอื่นๆ เช่น สัญญาณรบกวนและเบนวิดธ์

วิธีการของ Selective mismatching ที่ง่ายก็คือการใช้ constant-gain circle เหมือนที่อยู่ใน Smith Chart constant-gain circle คือวงกลมที่มีเส้นรอบวงที่แสดงถึงอิมพีแดนซ์ด้าน โหลดที่มีผลต่ออัตราขยายของแอมพลิฟายเออร์ เมื่อเราวาดวงกลมลงบน Smith Chart จะสังเกตเห็นอิมพีแดนซ์ของโหลดที่จะแบ่งให้อัตราขยาย

วงกลมของ constant-gain circle ที่จุดลงบน Smith Chart ต้องมีการคำนวณค่า

1. ตำแหน่งจุดศูนย์กลางของวงกลม
2. รัศมีของวงกลม

โดยคำนวณจาก

1. จำนวน D_s โดยใช้สมการที่ 6-14
2. จำนวน $D_2 = |S_{22}|^2 - |D_s|^2$ สมการที่ 6-23
3. จำนวน $C_2 = S_{22} - D_s S_{11}^*$ สมการที่ 6-24
4. จำนวน $G = \text{อัตราขยายที่ต้องการ(absolute)}$ สมการที่ 6-25

$$|S_{21}|^2$$

ปริมาณที่นำมาคำนวณในสมการที่ 6-25 ต้องเป็นค่าของ absolute ห้ามใช้ปริมาณที่อยู่ในหน่วย dB

5. คำนวณค่าน้ำหนักของจุดศูนย์กลางจาก

$$r_o = \frac{GC_2^*}{1+D_2G} \quad \text{สมการที่ 6-26}$$

6. คำนวณรัศมีของวงกลมจาก

$$P_o = \frac{(1-2K|S_{12}S_{21}|G+|S_{12}S_{21}|^2G^2)^{1/2}}{1+D_2G} \quad \text{สมการที่ 6-27}$$

สมการที่ 6-26 จะให้ค่าที่เป็นจำนวนเชิงซ้อน โดยมีขนาดและมุมซึ่งมีขนาดของมุมเท่ากับสัมประสิทธิ์การสะท้อน การจุดค่าลงบน Smith Chart เหมือนกับการจุดค่าของสัมประสิทธิ์การสะท้อนลงบนกราฟเช่นกัน รัศมีของวงกลมที่คำนวณได้ในสมการที่ 6-27 เป็นเศษส่วนที่มีค่าน้อยๆซึ่งอยู่ระหว่าง 0-1 แสดงให้เห็นขนาดของวงกลมบนกราฟ เมื่อเราเลือกค่าของสัมประสิทธิ์การสะท้อนที่ฝั่งฝั่งโหลด จะได้ค่าของอิมพีแดนซ์ของโหลด จากนั้นกำหนดค่าของสัมประสิทธิ์การสะท้อนที่ฝั่งแหล่งจ่ายที่เราต้องการออกแบบโดยไม่ต้องทำการลดค่าของอัตราขยายอีก ค่าของสัมประสิทธิ์การสะท้อนที่ฝั่งโหลดจะเป็นคอนจูเกตกับค่าสัมประสิทธิ์การสะท้อนที่ฝั่งโหลดจริง

ตัวอย่างที่ 6-6

ทรานซิสเตอร์ทำงานที่ความถี่ 250 MHz, $V_{CE} = 5$ V และ $I_C = 5$ mA

$$\begin{aligned} S_{11} &= 0.277 \angle -59^\circ & S_{22} &= 0.848 \angle -31^\circ \\ S_{12} &= 0.078 \angle 93^\circ & S_{21} &= 1.92 \angle 64^\circ \end{aligned}$$

ออกแบบทรานซิสเตอร์ที่มีอัตราขยาย 9 dB, $Z_s = 35 - j60$, $Z_L = 50 - j50$ และ $K = 1.033$

วิธีการ ใช้สมการที่ 6-14 และ 6-23 หาค่าไปแทนในสมการที่ 6-27

$$\begin{aligned} D_s &= S_{11}S_{22} - S_{12}S_{21} \\ &= (0.277 \angle -59^\circ)(0.848 \angle -31^\circ) - (0.078 \angle 93^\circ)(1.92 \angle 64^\circ) \\ &= 0.324 \angle -64.8^\circ \\ D_2 &= (0.848)^2 - (0.324)^2 \\ &= 0.614 \\ C_2 &= 0.848 \angle -31^\circ - (0.324 \angle -64.8^\circ)(0.277 \angle 59^\circ) \end{aligned}$$

$$= 0.768 \angle -33.9^\circ$$

$$G = 7.94$$

$$(1.92)^2$$

$$= 2.15$$

ศูนย์กลางของวงกลมอยู่ที่จุด

$$r_0 = 2.15(0.768 \angle 33.9^\circ)$$

$$1 + (0.614)(2.15)$$

$$= 0.712 \angle 33.9^\circ$$

ค่าที่คำนวณได้นี้นำไปจุดบน Smith Chart

รัศมีของอัตราขยาย 9 dB คำนวณได้จาก

$$p_0 = \frac{(1 - 2(1.033)(0.078)(1.92)(2.15)) + (0.150)^2(2.15)^2}{1 + (0.614)(2.15)}$$

$$1 + (0.614)(2.15)$$

$$= 0.285$$

รูปที่ 6-14 แสดงการจุดลงบน Smith Chart

ถ้าอิมพีแดนซ์ของโหลดจริงที่ต้องใช้คือ $50 - j50$ จากนั้นทำการนอมอลไลซ์ด้วย 50 โอห์มได้ $1 - j1$ แสดงในรูป 6-14 (จุด A)

มองจากโหลดจะได้

$$\text{Arc AB} = \text{Series C} = -j2 \text{ ohms}$$

$$\text{Arc BC} = \text{Shunt L} = -j0.425 \text{ mho}$$

จากนั้นใช้สมการที่ 4-11 หาค่าแทนในสมการที่ 4-14 เพื่อหาค่าจริงของส่วนประกอบ

EXAMPLE 6-6—Cont.

NAME	TITLE	DWG. NO.
SMITH CHART FORM Z-41-N	ANALOG INSTRUMENTS COMPANY, NEW PROVIDENCE, N.J. 07974	DATE

NORMALIZED IMPEDANCE AND ADMITTANCE COORDINATES

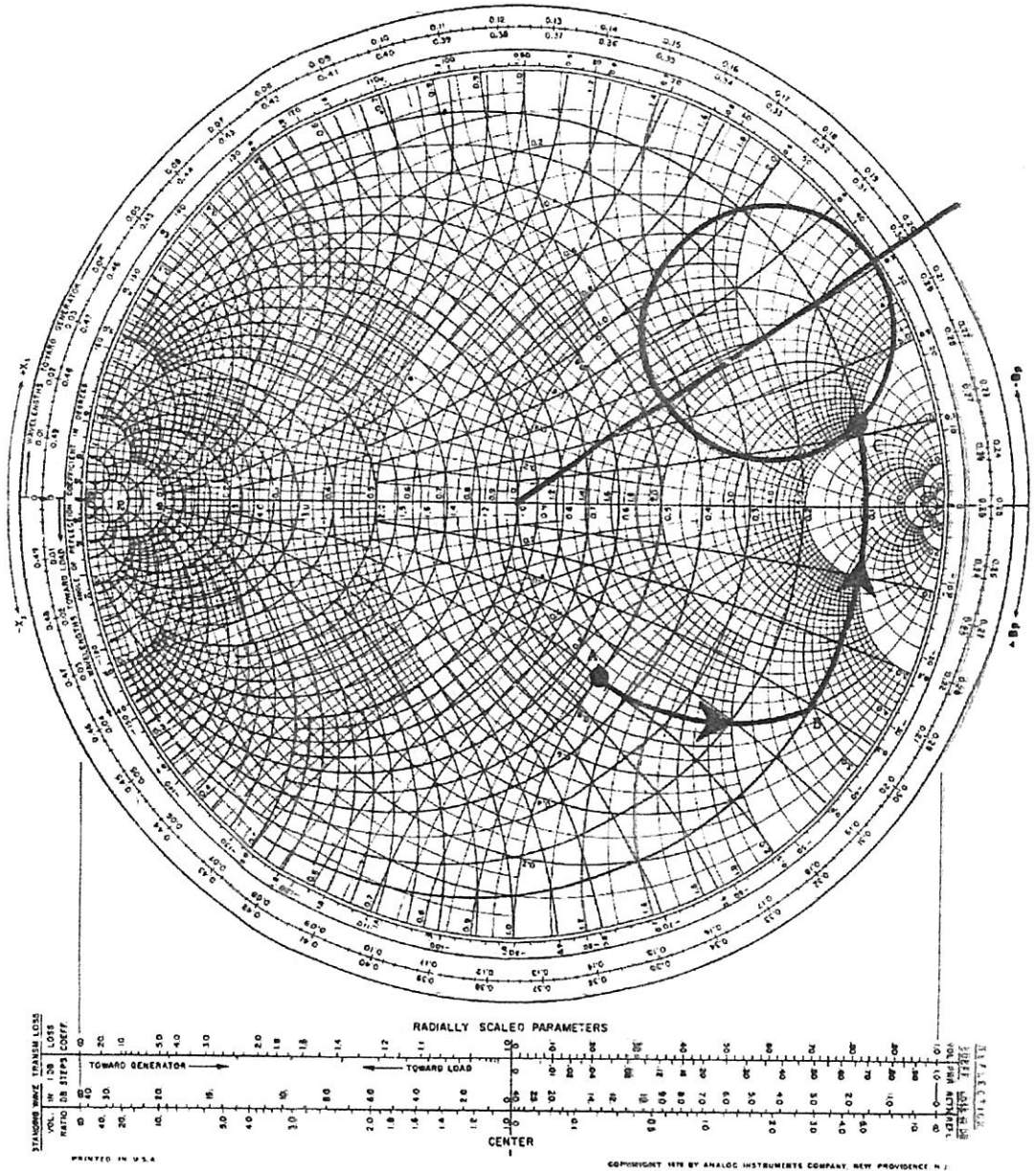


Fig. 6-14. Output network design values for Example 6-6.

Cont. on next page

EXAMPLE 6-6—Cont.

NAME	TITLE	DWG. NO.
SMITH CHART FORM ZY-04N	ANALOG INSTRUMENTS COMPANY, NEW PROVIDENCE, N.J. 07974	DATE

NORMALIZED IMPEDANCE AND ADMITTANCE COORDINATES

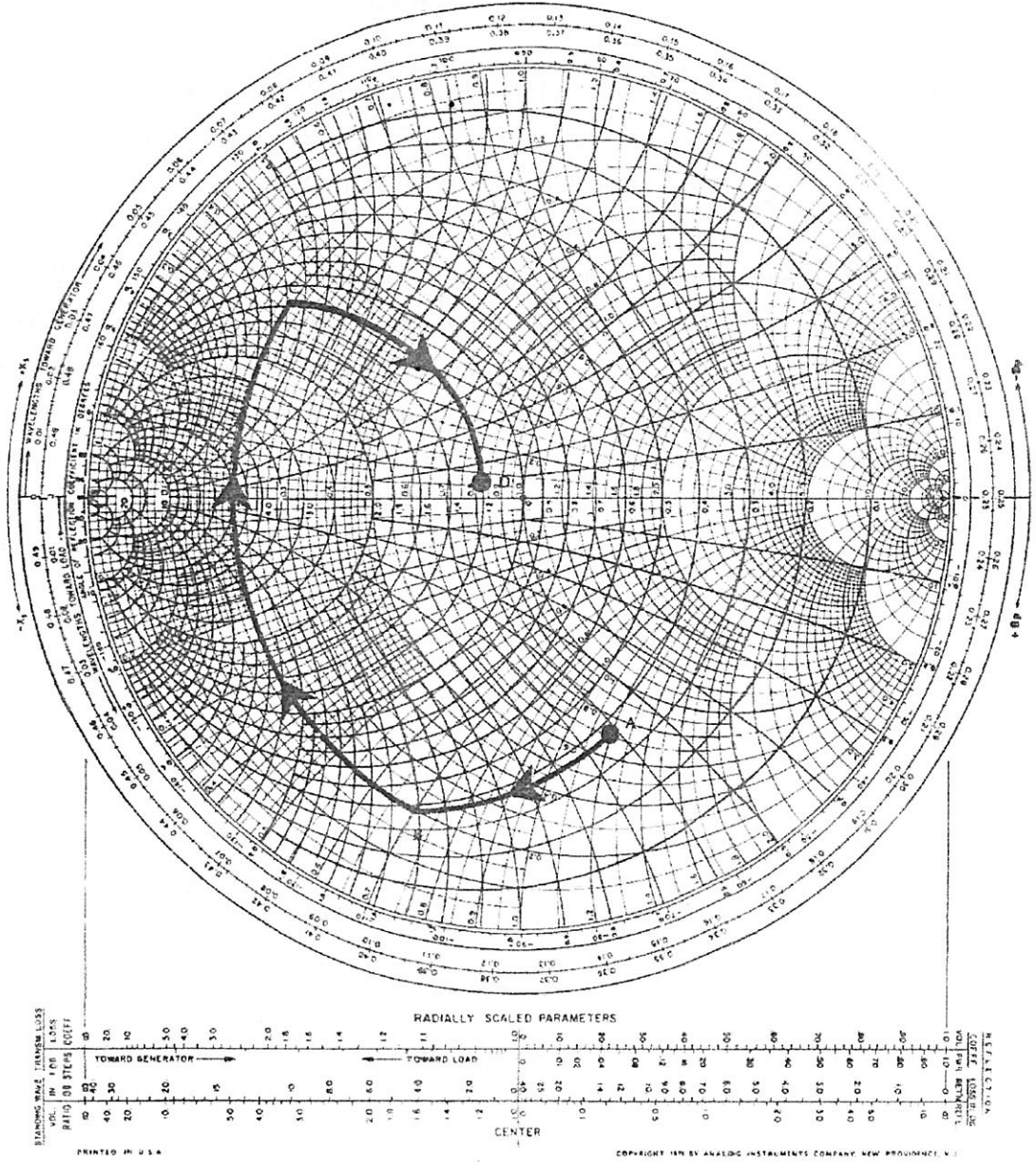


Fig. 6-15. Input network-design values for Example 6-6.

Cont. on next page

ตัวอย่างที่ 6-6 (ต่อ)

$$C_1 = \frac{1}{2\pi(250 \times 10^6)(2)(50)}$$

$$= 6.4 \text{ PF}$$

And,

$$L1 = \frac{50}{2\pi(250 \times 10^6)(0.425)}$$

$$= 75 \text{ nH}$$

สำหรับการคอนจูเกตแมทซ์ที่อินพุตไปยังทรานซิสเตอร์ด้วย $T_L = 0.82 \angle 14.02^\circ$ (จุด C) การออกแบบสัมประสิทธิ์การสะท้อนของแหล่งจ่ายต้องเป็น (ใช้สมการ 6-21)

$$T_s = \left[0.277 \angle -59^\circ + \frac{(0.078 \angle 93^\circ)(192 \angle 64^\circ)(0.82 \angle 14.02^\circ)}{1 - (0.82 \angle 14.2^\circ)(0.848 \angle -31^\circ)} \right]^*$$

จุดนี้ถูกพล็อตเหมือนกับจุด D ในรูป 6-15 อิมพีแดนซ์แหล่งจ่ายที่ถูกนอมอลไลซ์ตามจริง ถูกพล็อตที่จุด A ($0.7 - j1.2$ ohms) ดังนั้น เนทเวิร์คทางด้านอินพุตต้องแปลงอิมพีแดนซ์ตามจริงที่จุด A ยังอิมพีแดนซ์ที่จุด D สำหรับการฝึกฝน สิ่งเหล่านี้ถูกทำขึ้นจาก การออกแบบด้วยสามตัวประกอบดังแสดง

$$\text{ArcAB} = \text{Shunt } C2 = j0.62 \text{ mho}$$

$$\text{ArcBC} = \text{Series } L2 = j1.09 \text{ ohms}$$

$$\text{ArcCD} = \text{Shunt } C2 = j2.1 \text{ mho}$$

จากสมการ 4-11 จนถึง 4-14

$$C_2 = \frac{0.62}{2\pi(250 \times 10^6)(50)}$$

$$= 7.9 \text{ PF}$$

$$C_3 = \frac{2.1}{2\pi(250 \times 10^6)(50)}$$

$$= 27 \text{ PF}$$

$$L_2 = \frac{(1.09)(50)}{2\pi(250 \times 10^6)}$$

$$= 34.7 \text{ nH}$$

การออกแบบที่สมบูรณ์ คัดไบอัสเนทเวิร์คออกไป แสดงในรูปที่ 6-16

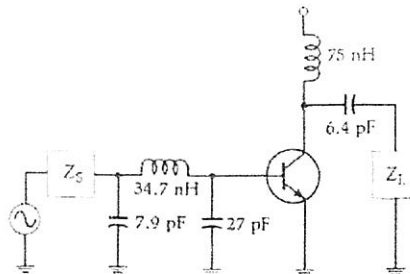


Fig. 6-16. Final circuit for Example 6-6.

วิธีการกำหนดอิมพีแดนซ์ที่แหล่งจ่ายและโหลดเหล่านั้นว่าจะเป็นเหตุของทรานซิสเตอร์ไม่เสถียร คือ พล็อต วงกลมแห่งเสถียรภาพ ลงบน สมิทชาร์ท

วงกลมแห่งเสถียรภาพคือวงกลมพื้นฐานบนสมิทชาร์ท ซึ่งเป็นสัญลักษณ์ของขอบเขตระหว่างค่าของอิมพีแดนซ์ที่แหล่งจ่ายและโหลดเหล่านั้นว่าเป็นเหตุของความไม่เสถียรภาพ และสิ่งเหล่านั้นที่ไม่ใช่สาเหตุ ขอบนอกสุดของวงกลมดังกล่าว ที่ของจุดซึ่งบังคับ $K=1$ ไม่ข้างในก็ข้างนอกของวงกลม จะแทนย่านที่ไม่เสถียรและการคำนวณจะต้องทำหลังจากวงกลมถูกวาด

การหาที่ตั้งและ radius ของวงกลมเสถียรภาพของอินพุตและเอาต์พุตหาจากขั้นตอนต่อไปนี้

1. คำนวณ D_S ใช้สมการ 6-14

2. คำนวณ C_1

$$C_1 = S_{11} - D_S S_{22} \quad (\text{Eq. 6-28})$$

3. คำนวณ C_2 ใช้สมการ 6-18

4. คำนวณตำแหน่งศูนย์กลางของวงกลมเสถียรภาพอินพุต

$$r_{s1} = \frac{C_1^*}{|S_{11}|^2 - |D_S|^2} \quad (\text{Eq. 6-29})$$

5. คำนวณรัศมีของวงกลมเสถียรภาพอินพุต

$$p_{s2} = \left| \frac{S_{12} S_{21}}{|S_{22}|^2 - |D_S|^2} \right| \quad (\text{Eq. 6-30})$$

6. คำนวณตำแหน่งศูนย์กลางของวงกลมเสถียรภาพเอาต์พุต

$$r_{s2} = \frac{C_2^*}{|S_{22}|^2 - |D_S|^2} \quad (\text{Eq. 6-31})$$

7. คำนวณรัศมีของวงกลมเสถียรภาพเอาต์พุต

$$p_{s2} = \left| \frac{S_{12} S_{21}}{|S_{22}|^2 - |D_S|^2} \right| \quad (\text{Eq. 6-32})$$

ทันทีที่การคำนวณเกิดขึ้น วงกลมเสถียรภาพสามารถถูกพล็อตโดยตรงบนสมิทชาร์ท ควรจำไว้ว่า อย่างไรก็ตาม ถ้าคุณพยายามพล็อตวงกลมเสถียรภาพบนสมิทชาร์ท สำหรับแอมพลิไฟเออร์ที่เสถียรโดยไม่มีเงื่อนไข ชาร์ตทั้งหมดแสดง ย่านการทำงานที่เสถียร ดังแสดงในรูป 6-17

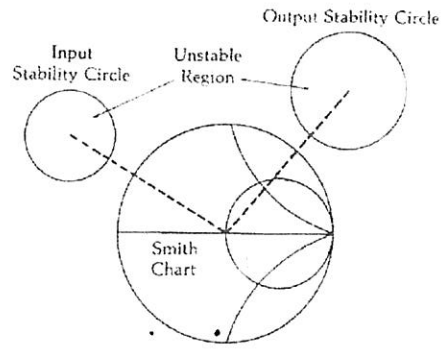
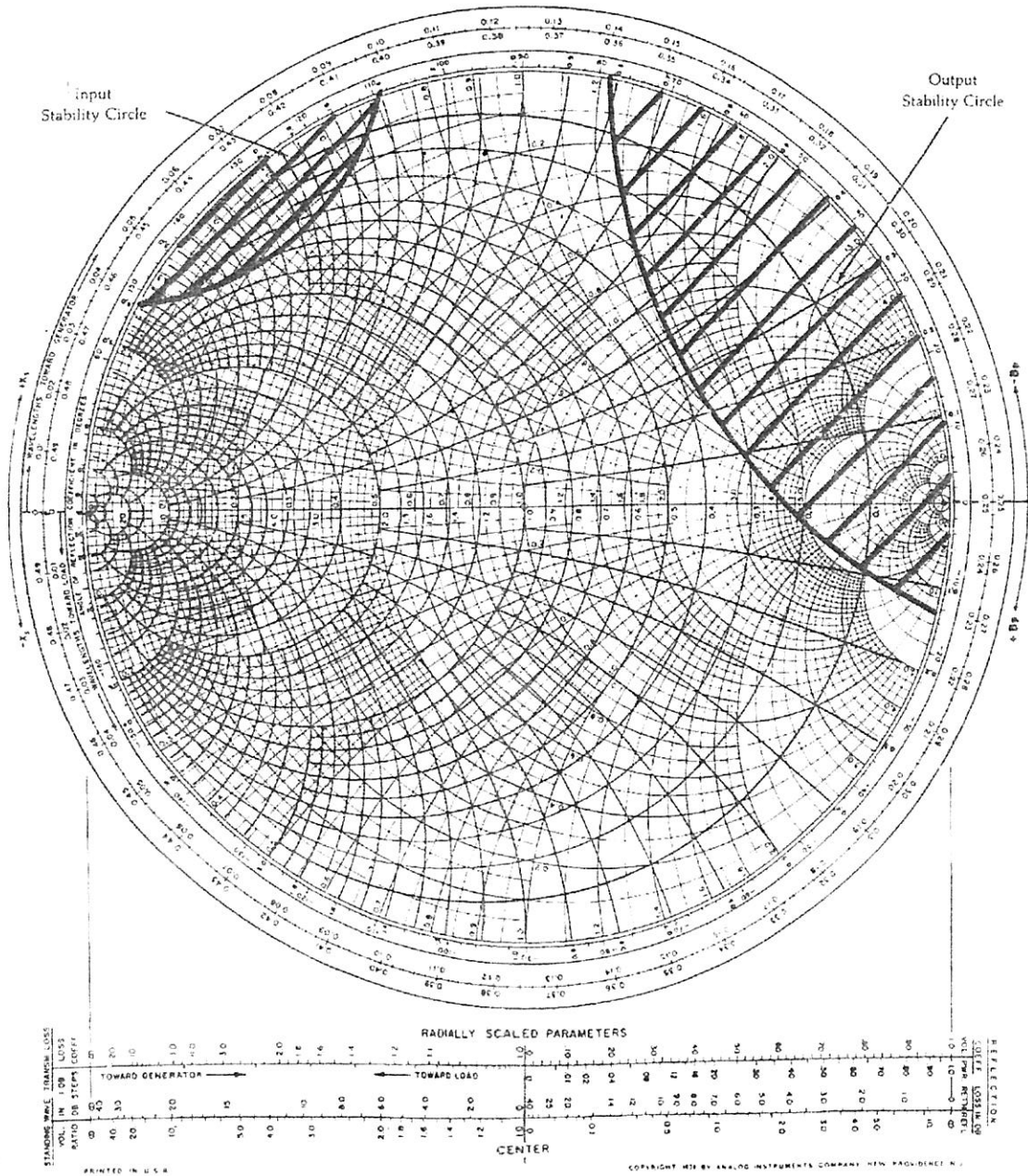


Fig. 6-17. Typical stability circles for an unconditionally stable amplifier.

สำหรับ ทรานซิสเตอร์ที่อาจเกิดความไม่เสถียรขึ้น วงกลมเสถียรภาพอาจคล้ายที่แสดงในรูป 6-18 บางครั้ง
 แต่บางส่วนของวงกลมเสถียรภาพตัดกันตามที่แสดง

NAME	TITLE	DWG. NO.
SMITH CHART FORM ZY-01-N	ANALOG INSTRUMENTS COMPANY, NEW PROVIDENCE, N.J. 07974	DATE

NORMALIZED IMPEDANCE AND ADMITTANCE COORDINATES



รูปที่ 6-18 ตัวอย่างวงกลมเสถียรภาพสำหรับทรานซิสเตอร์ที่อาจเกิดความไม่เสถียรขึ้น

หลังจากวงกลมเสถียรภาพถูกพล็อตลงบนชาร์ต ขึ้นตอนต่อไปคือกำหนดว่าด้านไหนของวงกลม(ด้านในหรือด้านนอก)แทนย่านเสถียรภาพ สิ่งนี้ทำง่ายมาก ถ้า S_{11} กับ S_{22} สำหรับทรานซิสเตอร์น้อยกว่า 1 ตั้งแต่พารามิเตอร์ S ถูกวัดด้วย แหล่งจ่ายและโหลดค่า 50 ohms และตั้งแต่ทรานซิสเตอร์ยังคงเสถียรภายใต้เงื่อนไข (S_{11} หรือ S_{22} ควรจะใหญ่กว่า 1 สำหรับทรานซิสเตอร์ที่ไม่เสถียร) ดังนั้น จุดศูนย์กลางของสมิทชาร์ตที่นอมอลไลซ์

ต้องเป็นส่วนหนึ่งของย่านเสถียรคั้งที่บรรยายโดยวงกลมเสถียรภาพ เพราะฉะนั้น ในกรณีนี้ ถ้าหนึ่งในวงกลมรอบจุดศูนย์กลางของชาร์ต ด้านในของวงกลมนั้นจะแทนย่านของเสถียรภาพทางอิมพีแดนซ์สำหรับช่องนั้น ถ้า ในอีกกรณีหนึ่ง วงกลมไม่ล้อมรอบจุดศูนย์กลางของชาร์ตแล้ว ทั้งหมดของพื้นที่นอกของวงกลมต้องแทนย่านของเสถียรภาพการทำงานสำหรับช่องนั้น

มันเป็นการยากที่คุณจะหาทรานซิสเตอร์ที่ไม่เสถียรด้วย แหล่งจ่ายและโหลดค่า 50ohm และถ้าคุณทำเช่นนั้น มันอาจเป็นวิธีที่ลองอุปกรณ์อื่น เพราะฉะนั้น ขั้นตอนคร่าว ๆ ข้างบนอาจเป็นการพิจารณาถึงวิธีที่ตรงที่สุดของการหาตำแหน่งที่ตั้งย่านเสถียรภาพการปฏิบัติงานบนสมิทชาร์ต ตัวอย่างที่ 6.7 แผนภาพเกี่ยวกับขั้นตอน

ตัวอย่างที่ 6-7

S พารามิเตอร์สำหรับ ทรานซิสเตอร์ 2N5179 ที่ 200 MHz ด้วย $V_{CE} = 6$ volts และ $I_C = 5$ mA (ดู Datasheet ในบทที่ 5)

$$S_{11} = 0.4 \angle 280^\circ$$

$$S_{22} = 0.78 \angle 345^\circ$$

$$S_{12} = 0.048 \angle 65^\circ$$

$$S_{21} = 5.4 \angle 103^\circ$$

เลือกสัมประสิทธิ์การสะท้อนของโหลดและแหล่งจ่ายที่เสถียร ซึ่งจะหา Power Gain ได้ 12 dB ที่ 200 MHz

วิธีทำ

การคำนวณของ Rollett's stability factor (K) สำหรับทรานซิสเตอร์บอกความไม่เสถียรภาพที่อาจเกิดขึ้นได้ด้วย $K = 0.082$ เพราะฉะนั้น คุณต้องพิจารณาอย่างหนัก ในการเลือกอิมพีแดนซ์แหล่งจ่ายและโหลด สำหรับอุปกรณ์หรือมันอาจสั้นเกินไป สำหรับการหาอย่างเสถียรภาพการทำงานบนสมิทชาร์ต พล็อตวงกลมเสถียรภาพอินพุตและเอาต์พุต ดำเนินการด้วยขั้นตอนแรก เรามี

$$D_s = (0.4 \angle 280^\circ)(0.78 \angle 345^\circ) - (0.048 \angle 65^\circ)(5.4 \angle 103^\circ)$$

$$= (0.429 \angle -58.18^\circ)$$

$$C_1 = (0.4 \angle 280^\circ) - (0.429 \angle -58.2^\circ)(0.78 \angle -3.45^\circ)$$

$$= (0.241 \angle -136.6^\circ)$$

$$C_2 = (0.78 \angle -3.45^\circ) - (0.429 \angle -58.2^\circ)(0.4 \angle -280^\circ)$$

$$= (0.65 \angle -24^\circ)$$

ดังนั้น จุดศูนย์กลางของวงกลมเสถียรภาพอินพุตตั้งอยู่ที่จุด

$$r_{s1} = \frac{(0.241 \angle 136.6^\circ)}{(0.4)^2 - (0.429)^2}$$

$$= 10 \angle 136.6^\circ$$

รัศมีของวงกลมคำนวณจาก

$$p_{s1} = \left| \frac{(0.048 \angle 65^\circ)(5.4 \angle 103^\circ)}{0.4^2 - 0.429^2} \right|$$

$$= 10.78$$

เหมือนกันเลย สำหรับวงกลมเสถียรภาพเอาท์พุท

$$r_{s2} = \frac{(0.65 \angle 24^\circ)}{(0.78)^2 - (0.429)^2}$$

$$= 1.53 \angle 24^\circ$$

$$p_{s1} = \left| \frac{(0.048 \angle 65^\circ)(5.4 \angle 103^\circ)}{(0.78)^2 - (0.429)^2} \right|$$

$$= 0.610$$

วงกลมนี้แสดงในรูป 6-19 ควรจำว่าวงกลมเสถียรภาพอินพุทถูกเขียนเหมือนเส้นตรงเพราะว่ารัศมีของมันใหญ่มาก เนื่องจาก S_{11} และ S_{22} มีค่าน้อยกว่า 1 เราสามารถได้ข้อสรุปว่า ขั้วในของวงกลมเสถียรภาพอินพุทแสดงย่านของเสถียรภาพอินพุทอิมพีแดนซ์แหล่งจ่าย ขณะที่ ขั้วในของวงกลมเสถียรภาพเอาท์พุทแสดงย่านของเสถียรภาพอิมพีแดนซ์โหลดสำหรับอุปกรณ์

วงกลม gain 12 dB ถูกพล็อตแสดงเช่นกันในรูป 6-19 มันถูกพบการใช้สมการ 6-14 และสมการ 6-23 ถึงสมการ 6-27 ควรจำว่า D_S และ C_2 ถูกคำนวณแล้ว ตำแหน่งศูนย์กลางของวงกลมถูกพบอยู่ที่

$$r_0 = 0.287 \angle 24^\circ$$

และรัศมี

$$P_0 = 0.724$$

โหลดอิมพีแดนซ์ที่เราอาจไม่เลือกสำหรับทรานซิสเตอร์อยู่ที่ขั้วในของวงกลมเสถียรภาพอินพุท โหลดอิมพีแดนซ์อื่นอื่นที่อยู่บนวงกลม gain 12 dB จะจัดหา gain ที่จำเป็นที่ยาวเท่ากับอินพุทของอุปกรณ์แมทซ์คู่ และยาวเท่ากับอิมพีแดนซ์ที่ต้องการสำหรับการแมทซ์คู่ มีขั้วในวงกลมเสถียรภาพ

$$\Gamma_L = 0.89 \angle 70^\circ$$

ใช้สมการ 6-21 จำนวนสัมประสิทธิ์ที่จำเป็นสำหรับการแมทซ์คู่และพล็อตจุดนี้เป็นสมิทชาร์ต

$$\Gamma_s = 0.678 \angle 79.4^\circ$$

สังเกตว่า T_s มีขั้วในย่านของวงกลมเสถียรภาพอินพุท เพราะฉะนั้น แทนเสถียรภาพการสิ้นสุดสำหรับทรานซิสเตอร์

EXAMPLE 6-7—Cont.

NAME	TITLE	DWG. NO.
SMITH CHART FORM ZY-61-N	ANALOG INSTRUMENTS COMPANY, NEW PROVIDENCE, N.J. 07974	DATE

NORMALIZED IMPEDANCE AND ADMITTANCE COORDINATES

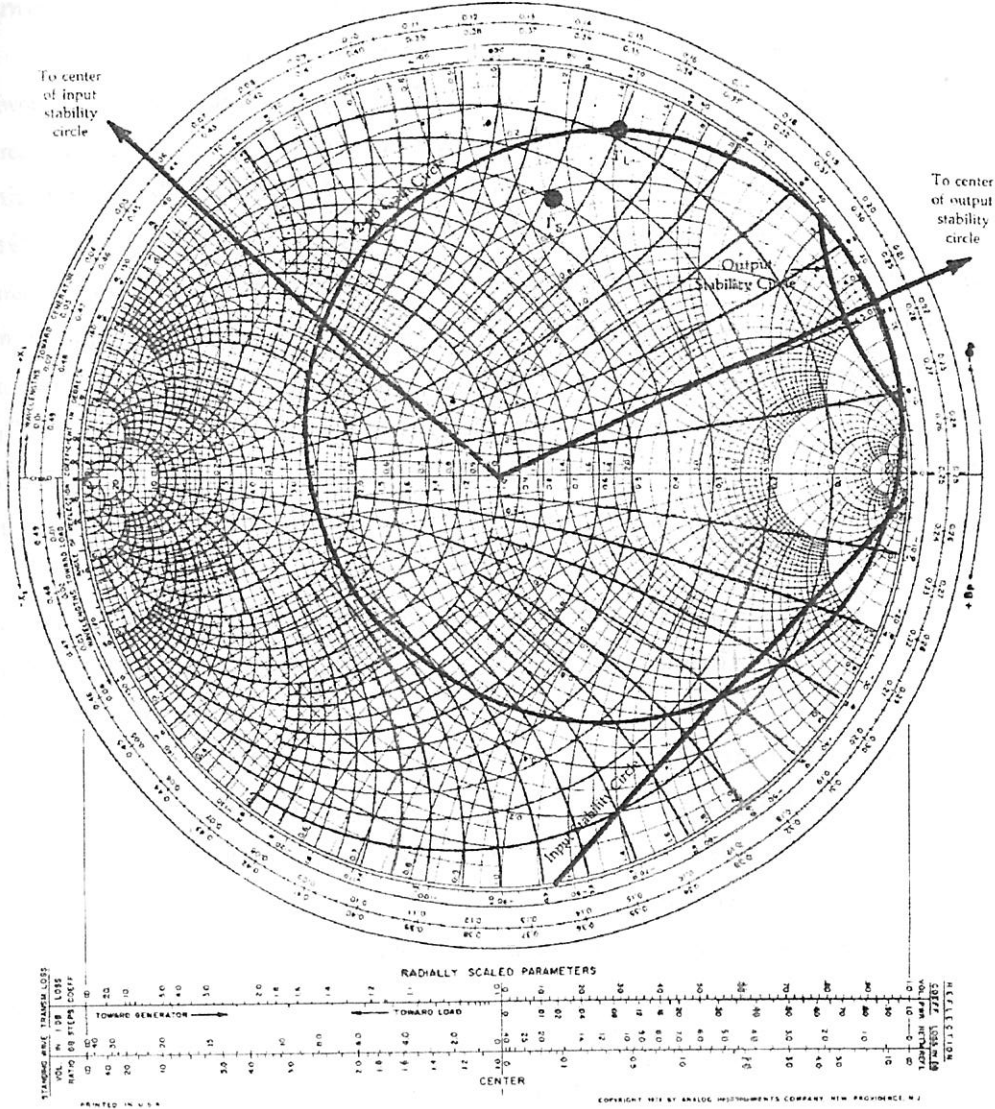


Fig. 6-19. Stability and gain circles for the transistor in Example 6-7.

Design for Optimum noise figure

(การออกแบบสำหรับ Optimum Noise Figure)

Noise Figure ของ Two Port Network ให้การวัดขนาดของ noise ที่รวมกับสัญญาณที่ส่งเข้าผ่านไปยังเนตเวิร์ค สำหรับวงจรที่ใช้ได้จริง อัตราส่วนสัญญาณต่อ noise ที่เอาต์พุตของมันจะน้อยกว่าทางอินพุต ในส่วนใหญ่ของการประยุกต์การออกแบบวงจร อย่างไรก็ตาม มันเป็นไปได้ที่จะลด noise ของแต่ละ Two Port Network ผ่านทางเลือกอันระอบคอบของจุดปฏิบัติงานและความต้านทานแหล่งจ่าย

ในบทที่ 5 ได้กล่าวถึงอย่างสรุปว่าสำหรับแต่ละทรานซิสเตอร์ ตามความจริงสำหรับแต่ละ Two Port Network มี optimum source resistance ที่จำเป็นเพื่อสร้าง noise ที่มีขนาดเล็ก ผู้ผลิตหลายรายกำหนด optimum source resistance ลงบน Data Sheet เช่นในกรณีของทรานซิสเตอร์ 2N5179 ที่ให้ไว้ในบทที่ 5 อันอื่นจะกำหนดสัมประสิทธิ์การสะท้อนที่ดีที่สุด เช่นในกรณีของ ซีรีส์ทรานซิสเตอร์ MA-42120 ที่แสดง Datasheet ในรูปที่ 6-20 ควรจำว่าสมิทชาร์ตหน้า 3 ของ Datasheet คิดป้าว่า "Typical Optimum Noise Source Impedance VS Collector Current" อย่างเห็น ได้ชัดที่แสดงจากชาร์ต ถ้าคุณวางแผนที่จะใช้ทรานซิสเตอร์ที่บางความถี่ นอกเหนือจาก 60 MHz หรือ 450 MHz คุณอาจไม่โชคดีดังเช่น การออกแบบให้สัมพันธ์กับ Optimum noise figure อย่างเป็นทางการแบบฉบับ Datasheet ส่วนมากจะไม่สมบูรณ์อย่างเช่นนี้ มีแค่ที่ว่างไม่พอในหนังสือข้อมูลที่เป็นแบบแผนที่จัดหาข้อมูลทั้งหมดให้ผู้ใช้ต้องการในการออกแบบแอมพลิไฟเออร์ที่ทุกความถี่ที่เป็นไปได้และจุดไบอัส Datasheet จะบอกแก่จุดเริ่มต้นในบางการออกแบบ ความเป็นไปได้คือคุณจะลงท้ายด้วยการทำหลายครั้งวัดด้วยตัวคุณเองบนอุปกรณ์ ก่อนมันจะเป็นส่วนหนึ่งของการออกแบบ

ในหน้า 2 ของ Datasheet คุณจะชดของแถบ โคล์ "Typical Optimum N.F. vs Collector Current" ควรจำว่า สำหรับอุปกรณ์โดยเฉพาะนี้ ที่ 450 MHz กระแส Collector ที่ดีที่สุด สำหรับ noise figure คือประมาณ 1.5 mA นี่คือนูลค่าของกระแส Collector ควรเป็นผลใน noise figure แก่มากกว่า 2 dB อีกครั้ง ข้อมูลถูกนำเสนอสำหรับแค่ 60 MHz และ 450 MHz

การออกแบบแอมพลิไฟเออร์สำหรับ noise ที่มีขนาดเล็กเป็นการง่ายที่จะกำหนด ทั้งการทดลองหรือจาก Datasheet ความต้านทานแหล่งจ่ายและจุดไบอัสที่ผลิต noise ที่มีขนาดเล็กสำหรับอุปกรณ์(ตัวอย่างที่ 6-8) ทันทันที่ กำหนดอิมพีแดนซ์แหล่งจ่ายที่แท้จริงเป็นการฝืนอย่างง่าย ๆ เพื่อดูเหมือนค่าที่ดีที่สุด ในการพิจารณาเสถียรภาพยังคงใช้ ถ้า Rollet Stability factor (K) คำนวณแล้วค่าน้อยกว่า 1 ดังนั้นคุณต้องระวังในการเลือกสัมประสิทธิ์แหล่งจ่ายและโหลด มันเป็นการดีในกรณีที่ว่าวงกลมเสถียรภาพสำหรับการวาดกราฟอย่างแม่นยำที่ย่านไม่เสถียรภาพ

หลังจากการหาทรานซิสเตอร์ด้วยอิมพีแดนซ์แหล่งจ่ายที่ดีที่สุด ขั้นตอนต่อไปคือกำหนดสัมประสิทธิ์การสะท้อนของโหลดที่ดีที่สุดที่จำเป็นเพื่อสิ้นสุดเอาต์พุตของทรานซิสเตอร์อย่างเหมาะสม หาได้จาก

$$\Gamma_L = \left[S_{22} + \frac{S_{12}S_{21}\Gamma_s}{1 - S_{11}\Gamma_s} \right] \quad \text{(สมการ 6-33)}$$

ซึ่ง

Γ_s คือ สัมประสิทธิ์การสะท้อนสำหรับ Noise figure ที่มีขนาดเล็ก

ตัวอย่างที่ 6-8

กำหนดว่าจุดไบอัสที่ดีที่สุดสำหรับ Noise figure ขนาดเล็ก สำหรับทรานซิสเตอร์คือ $V_{CE} = 10 \text{ V}$ และ $I_C = 5 \text{ mA}$ สัมประสิทธิ์การสะท้อนที่ดีที่สุด ที่ให้ไว้ใน Datasheet คือ

$$\Gamma_s = 0.7 \angle 140^\circ$$

S parameter สำหรับทรานซิสเตอร์ ภายใต้เงื่อนไขที่ 200 MHz คือ

$$S_{11} = 0.4 \angle 162^\circ$$

$$S_{22} = 0.35 \angle -39^\circ$$

$$S_{12} = 0.04 \angle 60^\circ$$

$$S_{21} = 5.2 \angle 63^\circ$$

กำหนด Low noise amplifier ให้ทำงานระหว่างแหล่งจ่าย 75-ohm และโหลด 100-ohm ที่ 200 MHz อัตราขยายโคที่ศูนย์กลางห้วงจาดแอมพลิไฟเออร์เมื่อมันถูกสร้างขึ้น

วิธีทำ

Rollett stability factor(K) กำหนดเป็น 1.74 ซึ่งแสดงเสถียรภาพที่ไม่มีเงื่อนไข (สมการ 6-15) เพราะฉะนั้น เราอาจดำเนินการออกแบบ การออกแบบค่าของ input matching network ถูกแสดงในรูปที่ 6-12 การนอมอลไลซ์ ด้วย 75 ohm ความต้านทานแหล่งจ่ายถูกแปลงเป็น Γ_s ใช้ส่วนประกอบสองส่วน

$$\text{Arc AB} = \text{Shunt } C = j1.7 \text{ mhos}$$

$$\text{Arc BC} = \text{Series } L = j0.86 \text{ ohm}$$

ใช้สมการ 4-11 ถึง 4-14 ค่าของส่วนประกอบคำนวณจาก

$$C_1 = \frac{1.7}{2\pi(50)(200 \times 10^6)}$$

$$= 27 \text{ pF}$$

$$L_1 = \frac{0.86(50)}{2\pi(200 \times 10^6)}$$

$$= 34 \text{ nH}$$

สัมประสิทธิ์การสะท้อนของโหลดต้องการการเปลี่ยนค่าอย่างเหมาะสม ทรานซิสเตอร์ในขณะนั้นใช้สมการ

6-33

$$\Gamma_s = \left[0.35 \angle -39^\circ + \frac{(0.04 \angle 60^\circ)(5.2 \angle 63^\circ)(0.7 \angle 140^\circ)}{1 - (0.4 \angle 162^\circ)(0.7 \angle 140^\circ)} \right]^*$$

$$= 0.42 \angle 60.7^\circ$$

ค่านี้ คู่กับค่านอมอลไลซ์ของความต้านทานโหลดที่พล็อตในรูป 6-22 โหลด 100 ohm ต้องถูกแปลงเป็น Γ_L วิธีหนึ่งที่เป็นไปได้ถูกแสดงในรูป 6-22 ควรจำว่า ตัวนำขนานเดียวจะให้การแปลงอิมพีแดนซ์ที่จำเป็น

$$\text{Arc AB} = \text{Shunt } L = -j0.48 \text{ mho}$$

ใช้สมการ 4-11 ถึง 4-41 อีกครั้ง ค่าของตัวนำหาได้จาก

$$L_2 = \frac{(50)}{2\pi(200 \times 10^6)(0.48)}$$

$$= 83 \text{ nH}$$

การออกแบบสุดท้ายรวมถึงตัวอย่างไบอัสเน็ทเวิร์กถูกแสดงในรูป 6-23 คาปาซิเตอร์ $0.1 \mu\text{F}$ ถูกใช้เพียงเป็นส่วนอ้อมและเชื่อมต่อ อัตราขยายของแอมพลิฟายเออร์ ดังที่คำนวณด้วยสมการ 6-22 คือ 13 dB

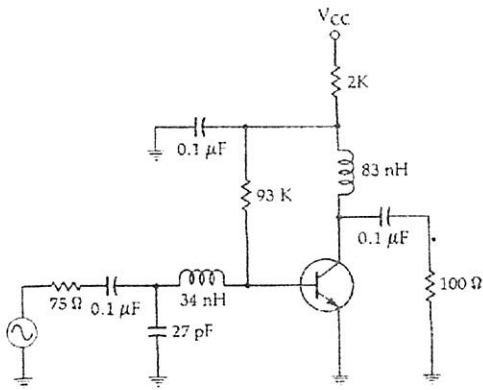
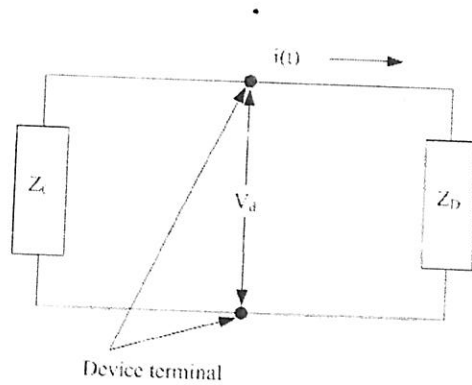


Fig. 6-23. Final circuit for Example 6-8.

บทที่ 5

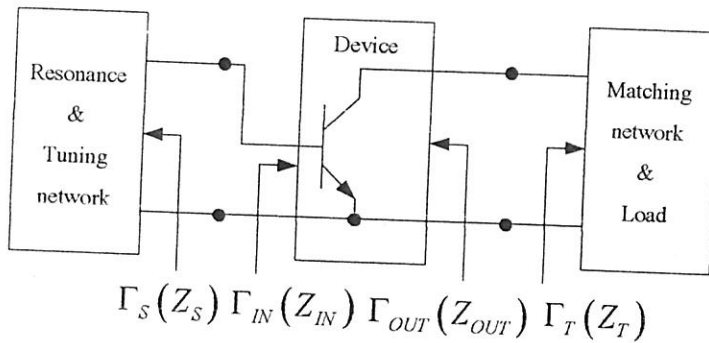
การออกแบบวงจรกำเนิดสัญญาณ

ออสซิลเลเตอร์จัดเป็นแหล่งกำเนิดรูปคลื่นได้ด้วยตัวเอง ซึ่งประกอบด้วยตัวขยายกำลัง และวงจรเรโซแนนซ์โดยที่ตัวขยายกำลังนั้นใช้ตัวอุปกรณ์แอคทีฟ เช่น ทรานซิสเตอร์แบบไบโพลาร์ หรือ เฟต ในส่วนของวงจรเรโซแนนซ์นั้นประกอบด้วยตัวอุปกรณ์ เช่น ตัวเก็บประจุ ตัวเหนี่ยวนำ วาเรกเตอร์ไดโอด เป็นต้น แบบจำลองที่ใช้ในการวิเคราะห์และออกแบบออสซิลเลเตอร์ที่นิยมใช้กันมีสองรูปแบบคือ รูปแบบที่หนึ่งแทนออสซิลเลเตอร์ด้วยโครงข่ายหนึ่งพอร์ตซึ่งประกอบด้วย อิมพีแดนซ์ของตัวอุปกรณ์แอคทีฟแทนด้วย Z_D เชื่อมต่อกับคู่ขั้วอิมพีแดนซ์ของวงจรที่มีอุปกรณ์พาสซีฟซึ่งแทนด้วย Z_C ตัวอุปกรณ์แอคทีฟ Z_D ทำหน้าที่ในการขยายกำลังและถูกสังเคราะห์ ค่าความต้านทานลบเพื่อชดเชยกำลังที่สูญเสียให้กับวงจรเรโซแนนซ์ของออสซิลเลเตอร์ดังรูปที่ 6.1



รูปที่ 6.1 แบบจำลองของออสซิลเลเตอร์ซึ่งแทนด้วยโครงข่ายหนึ่งพอร์ต [1]

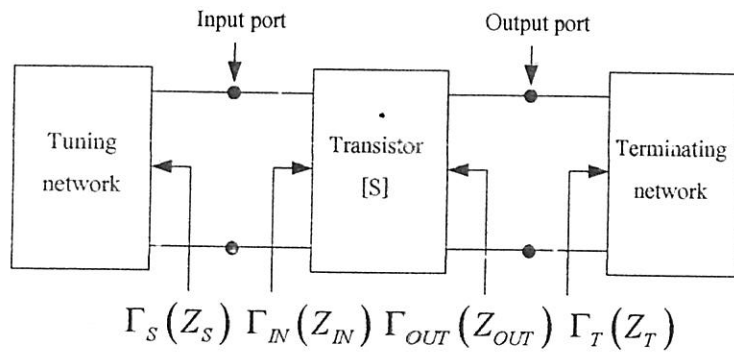
รูปแบบที่สองออสซิลเลเตอร์ด้วยโครงข่ายสองพอร์ต ซึ่งแทนตัวอุปกรณ์แอคทีฟ เช่น ทรานซิสเตอร์ โดยที่พอร์ทอินพุตเชื่อมต่อกับวงจรเรโซแนนซ์และพอร์ทเอาต์พุตเชื่อมต่อกับวงจรแมตซ์ซิงและรวมถึงโหลดด้วยพิจารณาดังรูปที่ 6.2



รูปที่ 6.2 โครงข่ายสองพอร์ตแบบจำลองของออสซิลเลเตอร์ [1]

6.1 ระบบวงจรกำเนิดสัญญาณ [1,6]

ในการวิเคราะห์และออกแบบสร้างวงจรออสซิลเลเตอร์นั้น จะนิยามแทนวงจรด้วยโครงข่ายหนึ่งพอร์ท หรือโครงข่ายสองพอร์ท การที่จะเลือกใช้โครงข่ายแบบใดนั้นขึ้นอยู่กับทางเลือกตัวอุปกรณ์แอกทีฟ เช่น ถังนิกโคไดโอค เนื่องจากโครงสร้างของตัวอุปกรณ์มีหนึ่งคู่ขั้ว ดังนั้นควรแทนวงจรออสซิลเลเตอร์ด้วยโครงข่ายหนึ่งพอร์ท ต่ออยู่กับวงจรที่มีเฉพาะอุปกรณ์พาสซีฟ ตัวอุปกรณ์แอกทีฟทำหน้าที่ในการขยายกำลังและชดเชยกำลังสูญเสียที่เกิดจากวงจร ส่วนการเลือกใช้ทรานซิสเตอร์เมื่อพิจารณาจากโครงสร้างพบว่าเป็นอุปกรณ์ที่มีสามขั้ว ควรแทนด้วยโครงข่ายแบบสองพอร์ทโดยที่อินพุตพอร์ทเชื่อมต่อกับวงจรจนความถี่ ส่วนเอาต์พุตพอร์ทนั้นเชื่อมต่อกับวงจรแมตซ์และโหลด ในการวิเคราะห์วงจรออสซิลเลเตอร์นั้นมีข้อกำหนดที่สำคัญคือ เงื่อนไขของการออสซิลเลต ซึ่งเงื่อนไขของการออสซิลเลตที่ใช้กับโครงข่ายสองพอร์ทนั้นบ่งชี้โดยโคเออร์เรนซ์โดยทั่วไปที่ใช้แทน โครงข่ายในรูปของความต้านทานลบ แสดงดังรูปที่ 6.3 ตัวอุปกรณ์แอกทีฟ เช่น ทรานซิสเตอร์ แทนด้วยโครงข่ายสองพอร์ทในรูปของพารามิเตอร์การกระจัดกระจาย (S-parameter)



รูปที่ 6.3 แบบจำลองการออสซิลเลตสำหรับ โครงข่ายสองพอร์ท [1]

เมื่อโครงข่ายสองพอร์ททำงานอยู่ภายใต้เงื่อนไขของเสถียรภาพ แบบไม่เสถียรของศักย์ (potential unstable) ซึ่งสามารถแทนที่โครงข่ายของวงจรแบบสองพอร์ทด้วยโครงข่ายหนึ่งพอร์ทขณะที่อินพุตพอร์ทเกิดการออสซิลเลต จะส่งผลทำให้เอาต์พุตพอร์ทเกิดการออสซิลเลตขึ้นด้วยซึ่งมีเงื่อนไขประกอบดังนี้เมื่ออินพุตพอร์ทของ โครงข่ายเกิดการออสซิลเลต โครงข่ายแบบสองพอร์ทจะเกิดการออสซิลเลต

$$\text{เงื่อนไขข้อที่หนึ่ง} \quad K < 1 \quad (6.1)$$

$$\text{เงื่อนไขข้อที่สอง} \quad \Gamma_{IN} \Gamma_S = 1 \quad (6.2)$$

$$\text{เงื่อนไขข้อที่สาม} \quad \Gamma_{OUT} \Gamma_T = 1 \quad (6.3)$$

โดยที่

$$K = \frac{1 + |\Delta|^2 - |S_{11}|^2 - |S_{22}|^2}{2|S_{12}S_{21}|} \text{ เป็นค่าตัวประกอบเสถียรภาพของตัวอุปกรณ์แอกทีฟ}$$

$$\Delta = S_{11}S_{22} - S_{12}S_{21}$$

Γ_{IN} เป็นค่าสัมประสิทธิ์การสะท้อนคลื่นที่มองเข้าไปยังอินพุตพอร์ทของโครงข่าย

Γ_S เป็นค่าสัมประสิทธิ์การสะท้อนคลื่นที่มองเข้าไปยังวงจรเรโซแนนซ์ หรือวงจรจูนความถี่ของโครงข่าย

Γ_{OUT} เป็นค่าสัมประสิทธิ์การสะท้อนคลื่นที่มองเข้าไปยังเอาต์พุตพอร์ทของโครงข่าย

Γ_T เป็นค่าสัมประสิทธิ์การสะท้อนคลื่นที่มองเข้าไปยังโครงข่ายการแมตช์พร้อมทั้งโหลดของโครงข่าย

เงื่อนไขข้อที่หนึ่งแสดงว่าตัวประกอบเสถียรภาพต้องมีค่าน้อยกว่าหนึ่ง ($K < 1$) ถ้าค่าตัวประกอบเสถียรภาพมีค่ามากกว่าหนึ่ง แนวทางการลดค่าตัวประกอบเสถียรภาพทำได้โดยใช้วิธีการเปลี่ยนจุดรวมของวงจรหรือทำการป้อนกลับแบบบวกจากเงื่อนไขข้อที่สองและข้อที่สามนั้นเป็นข้อกำหนด ที่จะต้องทำการเลือกตัวอุปกรณ์พาสซีฟ คือ Z_S และ Z_T ที่ทำให้อินพุตและเอาต์พุต พอร์ทเกิดการออสซิลเลตที่ความถี่เรโซแนนซ์ ถ้าทำการออกแบบวงจรอยู่ภายใต้เงื่อนไขข้อที่สอง จะส่งผลให้โครงข่ายทำงานอยู่ภายใต้เงื่อนไขข้อที่สามด้วย ในทางกลับกันก็จะสอดคล้องกับเงื่อนไขข้อที่สองและข้อที่สาม

$$\Gamma_{IN} = S_{11} + \frac{S_{12}S_{21}\Gamma_T}{1 - S_{22}\Gamma_T} = \frac{S_{11} - \Delta\Gamma_T}{1 - S_{22}\Gamma_T} \quad (6.4)$$

จากเงื่อนไขข้อที่สอง $\Gamma_{IN}\Gamma_S = 1$ แทนลงในสมการที่ (6.4) จะได้

$$\Gamma_T = \frac{1 - S_{11}\Gamma_S}{S_{22} - \Delta\Gamma_S} \quad (6.5)$$

จากความสัมพันธ์ของสัมประสิทธิ์การสะท้อนคลื่นที่เอาต์พุตพอร์ทของโครงข่ายกับค่าพารามิเตอร์การกระจัดกระจาย

$$\Gamma_{OUT} = S_{22} + \frac{S_{12}S_{21}\Gamma_S}{1 - S_{11}\Gamma_S} = \frac{S_{22} - \Delta\Gamma_S}{1 - S_{11}\Gamma_S} \quad (6.6)$$

6.2 เงื่อนไขเสถียรภาพของวงจรถูกนิยาม [1,6]

จากหลักการออกแบบตัวขยายกำลังเมื่อทำการพิจารณาถึงวงกลมเสถียรภาพพบว่าต้องเลือกบริเวณการทำงานที่มีเสถียรภาพ (stable region) ส่วนหลักการออกแบบออสซิลเลเตอร์นั้น เมื่อพิจารณาถึงวงกลมเสถียรภาพ พบว่าต้องเลือกบริเวณในการทำงานตรงกันข้ามกับตัวขยายกำลัง คือการเลือกบริเวณการทำงานที่ไม่มีเสถียรภาพ (unstable region) วงกลมเสถียรภาพที่ใช้นั้นมีสองแบบคือ วงกลมเสถียรภาพที่อินพุตพอร์ท กับวงกลมเสถียรภาพที่เอาต์พุตพอร์ท โดยใช้เงื่อนไขของการออสซิลเลตประกอบผลที่ได้คือ ทำให้เกิดการชดเชยกำลังให้กับวงจรเรโซแนนซ์ หรือวงจรจูนความถี่ได้สูงสุด วงจรออสซิลเลเตอร์มีการส่งผ่านกำลังงานสูงสุดไปยังโหลด วงกลมเสถียรภาพทั้งสองแบบสามารถแสดงวิธีการสร้างได้ดังสมการ

6.3 วงกลมเสถียรภาพที่อินพุต (input stability circle) [1,6]

$$r_s = \frac{|S_{12}S_{21}|}{\left| |S_{11}|^2 - |\Delta|^2 \right|} \quad (6.7)$$

$$C_s = \frac{(S_{11} - \Delta S_{22}^*)^*}{|S_{11}|^2 - |\Delta|^2} \quad (6.8)$$

วงกลมเสถียรภาพที่เอาต์พุต (output stability circle)

$$r_T = \frac{|S_{12}S_{21}|}{\left| |S_{22}|^2 - |\Delta|^2 \right|} \quad (6.9)$$

$$C_T = \frac{(S_{22} - \Delta S_{11}^*)^*}{|S_{22}|^2 - |\Delta|^2} \quad (6.10)$$

โดย

$$\Delta = S_{11}S_{22} - S_{12}S_{21}$$

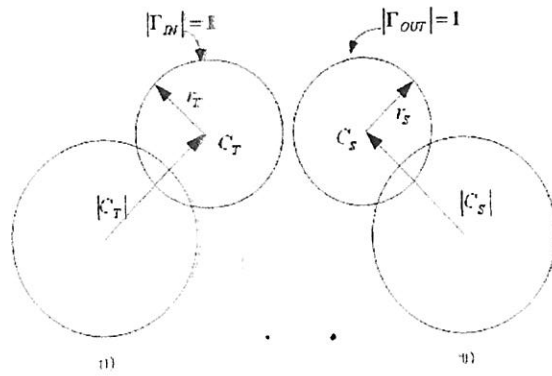
r_s เป็นรัศมีของวงกลม Γ_s

r_T เป็นรัศมีของวงกลม Γ_T

C_s เป็นจุดศูนย์กลางของวงกลม Γ_s

C_T เป็นจุดศูนย์กลางของวงกลม Γ_T

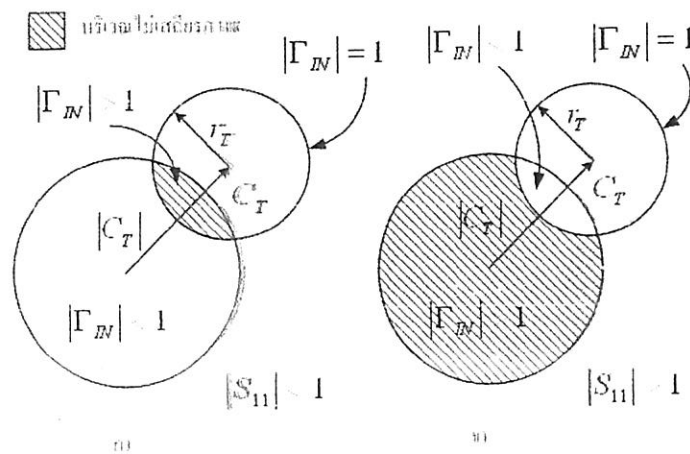
จากค่าพารามิเตอร์การกระจายของตัวอุปกรณ์ ซึ่งมีโครงข่ายสองพอร์ตที่ความถี่หนึ่งถูกแสดง ดังสมการที่ (6.7) ถึงสมการที่ (6.10) สามารถคำนวณและพล็อตลงบนแผนภูมิสมิท (smith chart) ดังรูปที่ 6.4 จากค่าพารามิเตอร์การกระจายของตัวอุปกรณ์แอกทีฟที่ความถี่หนึ่ง สามารถนำไปคำนวณหาวงกลมเสถียรภาพได้โดยใช้เงื่อนไขขอบเขตที่ $|\Gamma_{IN}| = 1$ และ $|\Gamma_{OUT}| = 1$ เนื่องจากนำไปใช้ในการออกแบบสร้างวงจรออสซิลเลเตอร์ จะทำการเลือกบริเวณวงกลมเสถียรภาพที่อินพุตของโครงข่ายให้อยู่ภายใต้ข้อกำหนด $|\Gamma_{IN}| > 1$ และทำการเลือกบริเวณวงกลมเสถียรภาพที่เอาต์พุตของโครงข่ายให้อยู่ภายใต้ข้อกำหนด $|\Gamma_{OUT}| > 1$ เหตุผลที่ต้องกระทำ



รูปที่ 6.4 การสร้างวงกลมเสถียรภาพบนแผนภูมิสมิท

ก) ในระนาบ Γ_T ข) ในระนาบ Γ_S [1]

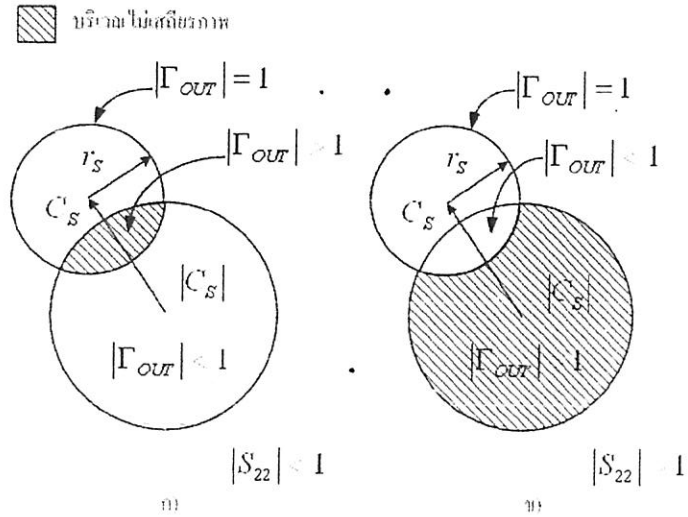
การเลือกเช่นนี้เพราะเนื่องจาก $|\Gamma_S| < 1$ และ $|\Gamma_T| < 1$ เพื่อให้สอดคล้องเงื่อนไขของการออสซิลเลต ดังนั้นในการออกแบบสร้างวงจรออสซิลเลเตอร์ จะต้องคำนวณหาวงกลมเสถียรภาพและทำการเลือกบริเวณที่ไม่มีเสถียรภาพในบริเวณที่แรงแงมื่อ $|C_T| > r_T$ ดังรูปที่ 6.5



รูปที่ 6.5 บริเวณที่แรงแงมื่อเป็นบริเวณไม่มีเสถียรภาพในระนาบ Γ_T [1]

บริเวณที่เลือกได้จากวงกลมเสถียรภาพที่เอาต์พุตที่ทำให้ $|\Gamma_{IN}| > 1$ จากรูปที่ 6.5 ก จะเห็นว่าบริเวณที่ไม่มีเสถียรภาพนั้นมีเพียงเล็กน้อยไม่เหมาะสมที่จะเลือกใช้งาน ส่วนรูปที่ 6.5 ข จะเห็นว่าบริเวณที่ไม่มีเสถียรภาพนั้นมีมากจึงเหมาะสมที่จะเลือกใช้งานในการเลือกบริเวณที่ไม่มีเสถียรภาพจากวงกลมเสถียรภาพ ที่เอาต์พุตของโครงข่าย ซึ่งนำไปใช้ประกอบการออกแบบวงจรแอมป์ซิง โดยต้องอยู่ภายใต้เงื่อนไขของการออสซิลเลต จะทำให้เกิดการส่งผ่านกำลังสูงสุด ข้อที่ควรพิจารณาคือ การคำนวณหาวงกลมเสถียรภาพที่อินพุตพอร์ทของโครงข่ายมีวัตถุประสงค์หลักคือทำการเลือกบริเวณของวงกลมเสถียรภาพที่อินพุตพอร์ทโดยอยู่ภายใต้เงื่อนไขที่ $|\Gamma_{OUT}| > 1$ ดังรูปที่ 6.6 เมื่อ $|C_S| > r_S$ จากรูปที่ 6.6ก แสดงให้เห็นว่าบริเวณที่ไม่มีเสถียรภาพนั้นมีเพียงเล็กน้อย จึงไม่เหมาะสมที่จะเลือกใช้งานหรืออาจกล่าวว่าการนำไปใช้ออกแบบตัวขยายกำลังจาก รูปที่ 6.6 ข แสดงให้เห็นว่าบริเวณที่ไม่มีเสถียรภาพนั้นมีมากดังนั้นควรทำการ

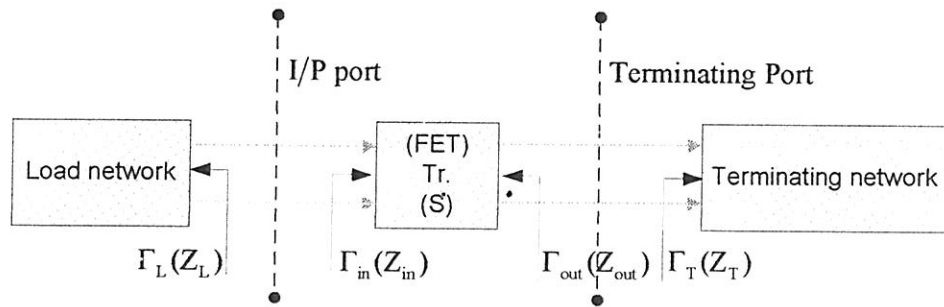
เลือกใช้งาน ซึ่งในการเลือกบริเวณที่ไม่มีเสถียรภาพ จะใช้ประกอบกับโครงข่ายการแมตซ์กับวงจรงูณความถี่ที่อินพุตพอร์ทของโครงข่าย ในการคำนวณหาวงกลมเสถียรภาพเพื่อพิจารณาบริเวณที่ไม่มีเสถียรภาพนั้น ขึ้นอยู่กับค่าของพารามิเตอร์การกระจัดกระจายของตัวอุปกรณ์แอกทีฟเช่นขนาดของ $|S_{11}|$ และค่าสัมประสิทธิ์ของการสะท้อนคลื่นที่มองเข้าไปยังวงจรงูณความถี่



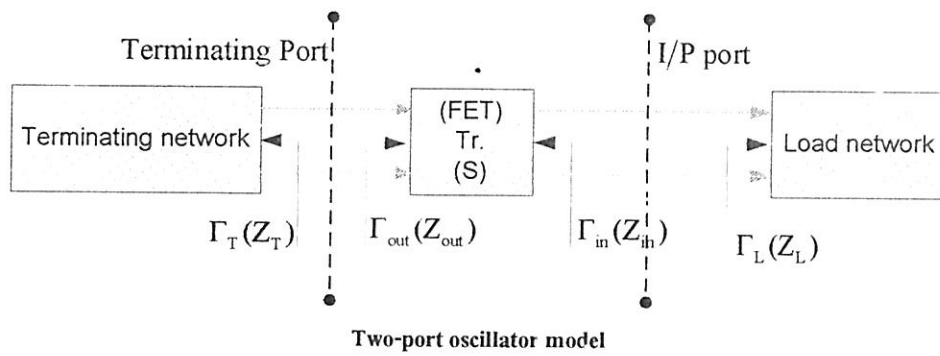
รูปที่ 6.6 บริเวณแรงงาเป็นบริเวณที่ไม่มีเสถียรภาพในระนาบ Γ_S [1]

การออกแบบวงจรออสซิลเลเตอร์

1.)

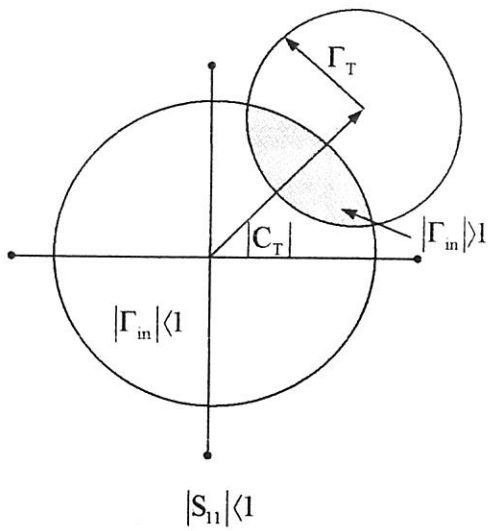


2.)

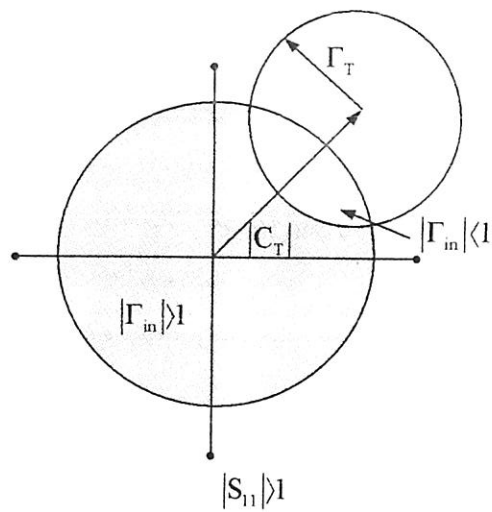


Two-port oscillator model

1.

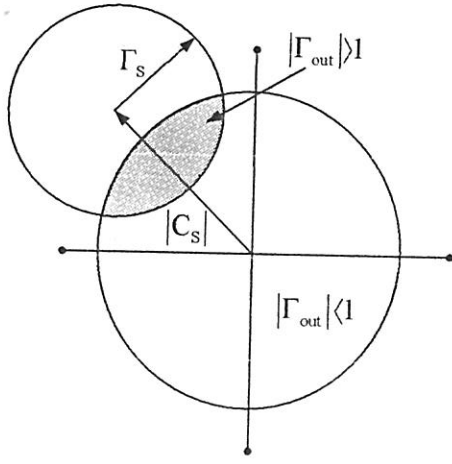


2.



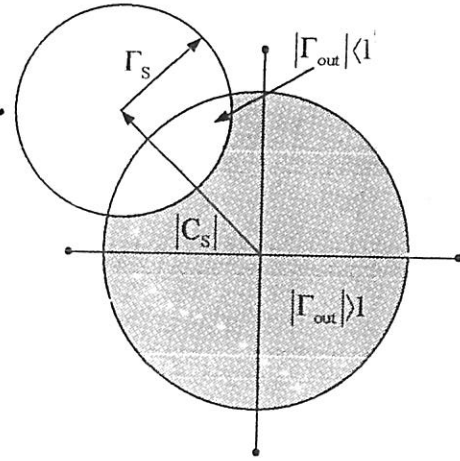
บริเวณไม่มีเงียรภาพในระนาบ Γ_T

3.



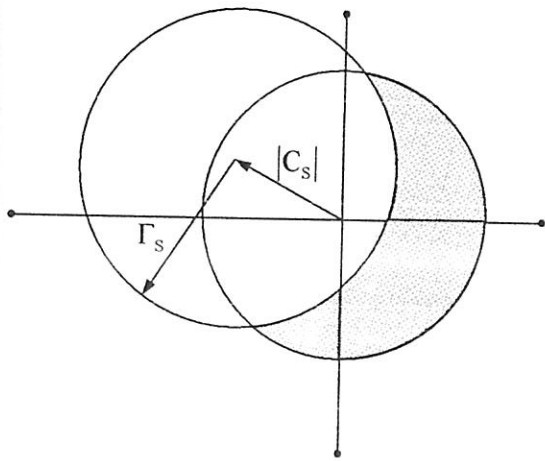
$$|S_{22}| < 1 \text{ และ } |C_S| > \Gamma_S$$

4.



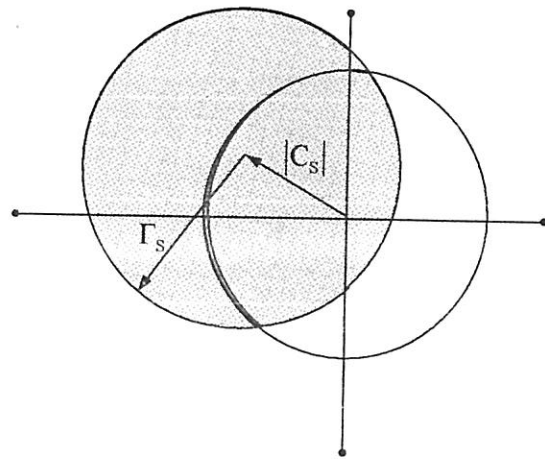
$$|S_{22}| > 1 \text{ และ } |C_S| > \Gamma_S$$

5.



$$|S_{22}| < 1 \text{ และ } \Gamma_S > |C_S|$$

6.



$$|S_{22}| > 1 \text{ และ } \Gamma_S > |C_S|$$

บริเวณไม่มีเงยกราฟในระนาบ Γ_S

➤ แนวการคำนวณ

1. ค่า $K < 1$

2. ค่า $\Gamma_{in} \Gamma_S = 1$

3. ค่า $\Gamma_{out} + \Gamma_T = 1$

โดยที่
$$K = \frac{1 + |\Delta|^2 - |S_{11}|^2 - |S_{22}|^2}{2|S_{12}||S_{21}|}, \Delta = S_{11}S_{22} - S_{12}S_{21}$$

Γ_{in} = ค่าสัมประสิทธิ์การสะท้อนคลื่นที่มองเข้าไปยัง I/P ของพอร์ทโครงข่าย

Γ_S = " ของวงจรเรโซแนนซ์

Γ_{out} = ค่าสัมประสิทธิ์การสะท้อนคลื่นที่มองเข้าไปยัง O/P ของพอร์ทโครงข่าย

Γ_T = " โครงข่ายแมตซ์พร้อมทั้งโหลด

ซึ่งจะมีสูตรดังนี้

$$\Gamma_{in} = S_{11} + \frac{S_{12}S_{21}\Gamma_T}{1-S_{22}\Gamma_T} = \frac{S_{11}-\Delta\Gamma_T}{1-S_{22}\Gamma_T}$$

$$\Gamma_T = \frac{1-S_{11}\Gamma_S}{S_{22}-\Delta\Gamma_S}, \Gamma_{out} = S_{22} + \frac{S_{12}S_{21}\Gamma_S}{1-S_{11}\Gamma_S} = \frac{S_{22}-\Delta\Gamma_S}{1-S_{11}\Gamma_S}$$

วงกลมเสถียรภาพทางด้าน I/P

$$\Gamma_S = \frac{|S_{12}S_{21}|}{|S_{11}|^2 - |\Delta|^2}, C_S = \frac{(S_{11}-\Delta S_{22}^*)^*}{|S_{11}|^2 - |\Delta|^2}$$

วงกลมเสถียรภาพทางด้าน O/P

$$\Gamma_T = \frac{|S_{12}S_{21}|}{|S_{22}|^2 - |\Delta|^2}, C_T = \frac{(S_{12}-\Delta S_{11}^*)^*}{|S_{22}|^2 - |\Delta|^2}$$

Γ_S = เป็นรัศมีของวงกลม Γ_S

C_S = เป็นจุดศูนย์กลางของวงกลม Γ_S

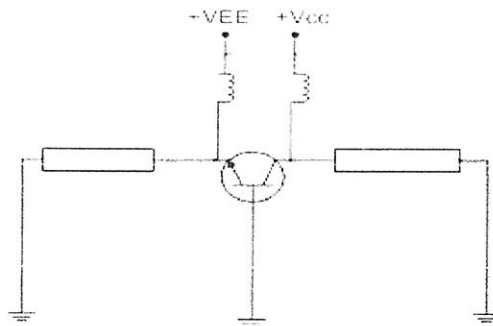
Γ_T = เป็นรัศมีของวงกลม Γ_T

C_T = เป็นจุดศูนย์กลางของวงกลม Γ_T

การออกแบบ Oscillators

Ex จงออกแบบวงจร OSC โดยใช้ Tr. BFQ65 Common-base ที่ความถี่ 1.5 GHz bias $V_{CE} = 3V$

และ $V_{BE} = 0.9V$ โดยมีค่า S-parameters



ดังแสดง

$$S_{11} = 1.47 \angle 125^\circ$$

$$S_{12} = 0.327 \angle 130^\circ$$

$$S_{21} = 2.2 \angle -63^\circ$$

$$S_{22} = 1.23 \angle -45^\circ$$

วิธีทำ

1. หาค่า K จาก

$$K = \frac{1 - |S_{11}|^2 - |S_{22}|^2 + |\Delta|^2}{2 \cdot |S_{12}| |S_{21}|}$$

$$\text{จาก } \Delta = S_{11}S_{22} - S_{12}S_{21}$$

-หาค่า

$$\Delta = (1.47 \angle 125^\circ)(1.23 \angle -45^\circ) - (0.327 \angle 130^\circ)(2.2 \angle -63^\circ)$$

$$= 1.8 \angle 80^\circ - 0.72 \angle 67^\circ$$

$$= (0.31 + j1.77) - (0.28 + j0.66)$$

$$= 0.03 + j1.11$$

$$= 1.11 \angle 88.45^\circ$$

$$\therefore |\Delta| = 1.11$$

$$K = \frac{1 - |1.47|^2 - |1.23|^2 + |1.11|^2}{2 \cdot |0.327| |2.2|}$$

$$= \frac{-1.44}{1.43}$$

$$= -1.00$$

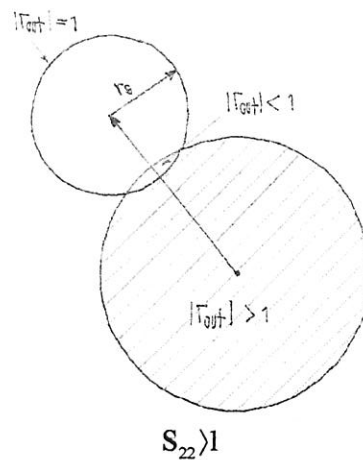
\therefore ค่าของ K < 1 สามารถเป็น OSC ได้

เลือกวงกลมเสถียรภาพที่อินพุต

$$\Gamma_S = \frac{|S_{12}S_{21}|}{||S_{11}|^2 - |\Delta|^2|}$$

$$C_S = \frac{(S_{11} - \Delta S_{22}^*)^*}{|S_{11}|^2 - |\Delta|^2}$$

และเขียนใน $S_{22} > 1$ จะได้



$$\begin{aligned}
\Gamma_s &= \frac{(0.327 \angle 130^\circ)(2.2 \angle -63^\circ)}{\left| |1.47|^2 - |1.11|^2 \right|} \\
&= \frac{0.72 \angle 67^\circ}{|2.16 - 1.23|} \\
&= \frac{0.72}{0.93} = 0.78 \\
C_s &= \frac{(S_{11} - \Delta S_{22}^*)^*}{|S_{11}|^2 - |\Delta|^2} \\
&= \frac{[1.47 \angle 125^\circ - (1.11 \angle 88.45^\circ)(1.23 \angle 45^\circ)]^*}{|1.47|^2 - |1.11|^2} \\
&= \frac{1.47 \angle 125^\circ - 1.37 \angle 133.45^\circ}{2.16 - 1.23} \\
&= \frac{(-0.84 + j1.20) - (-0.94 + j0.95)}{0.93} \\
&= \frac{[0.1 + j0.21]^*}{0.93} \\
&= \frac{[0.23 \angle 64.5^\circ]^*}{0.93} \\
&= 0.25 \angle -64.5^\circ
\end{aligned}$$

$$\therefore |C_s| \langle \Gamma_s \text{ และ } |S_{22}| \rangle I$$

นำค่าที่ได้ไปลงใน Smithchart

$$\text{เลือก } \Gamma_s = 0.65 \angle -125^\circ$$

เพราะอยู่ในช่วงของ Unstable region และให้ค่าการสะท้อนกลับมากที่สุด

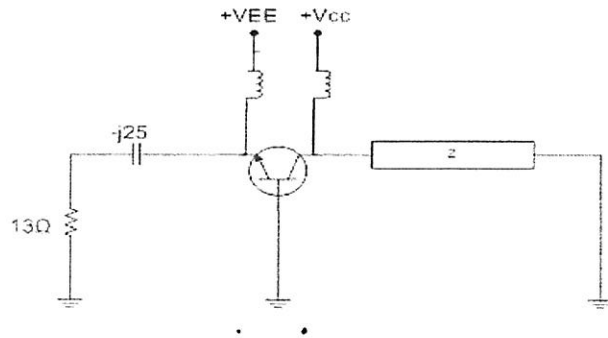
$$\text{หรือ } Z_s = 0.26 - j0.5 \Omega$$

หรือจะได้ค่าจริงคือ

$$Z_s = 50(0.26 - j0.5)$$

$$= 13 - j25 \Omega$$

\(\therefore\) จากทางด้านวงจร I/P จะได้



∴ จาก $-j25$ คือเป็นค่าของ C เนื่องจากเป็น $-j$ จะได้

$$X_C = \frac{1}{2\pi fC}$$

$$C = \frac{1}{2\pi fX_C}$$

$$= \frac{1}{2\pi(1.59)(25)}$$

$$= 4.3 \text{ } \mu\text{F}$$

หาการสะท้อนกลับทางด้าน O/P (Γ_{out})

$$\text{จาก } \Gamma_{out} = S_{22} + \frac{S_{12}S_{21}\Gamma_S}{1-S_{11}\Gamma_S}$$

$$\text{หรือ } \Gamma_{out} = \frac{S_{22} - \Delta\Gamma_S}{1 - S_{11}\Gamma_S}$$

$$= \frac{1.23\angle -45^\circ - (1.11\angle 88.45^\circ)(0.65\angle -125^\circ)}{1 - (1.47\angle 125^\circ)(0.65\angle -125^\circ)}$$

$$= \frac{1.23\angle -45^\circ - 0.72\angle -36.55^\circ}{1 - 0.96\angle 0^\circ}$$

$$= \frac{(0.87 - j0.87) - (0.58 - j0.43)}{1 - 0.96}$$

$$= \frac{0.29 - j0.44}{0.04}$$

$$= \frac{0.53\angle -56.6^\circ}{0.04}$$

$$= 13.25\angle -56.6^\circ$$

∴ จะได้ $\Gamma_{out} = 13.25\angle -56.6^\circ$

จาก $\Gamma_{out}\Gamma_L = 1$

$$\Gamma_L = \frac{1}{13.25\angle -56.6^\circ}$$

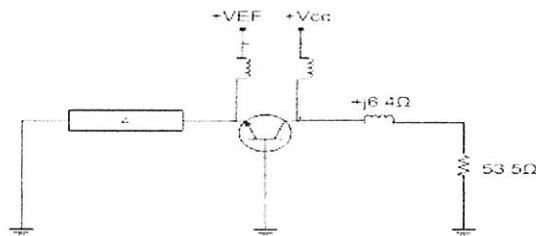
$$\Gamma_L = 0.075\angle 56.6^\circ$$

จะได้

$$\begin{aligned}
 Z_L &= \frac{1+\Gamma_L}{1-\Gamma_L} \\
 &= \frac{1+0.075\angle 56.6^\circ}{1-0.075\angle 56.6^\circ} \\
 &= \frac{1+(0.04+j0.06)}{1-(0.04+j0.06)} \\
 &= \frac{1.04+j0.06}{0.96-j0.06} \\
 &= \frac{1.04\angle 3.3^\circ}{0.96\angle -3.5^\circ} \\
 &= 1.08\angle 6.8^\circ \\
 &= 1.07+j0.13 \Omega
 \end{aligned}$$

∴ คำนวณค่า normalize 50Ω

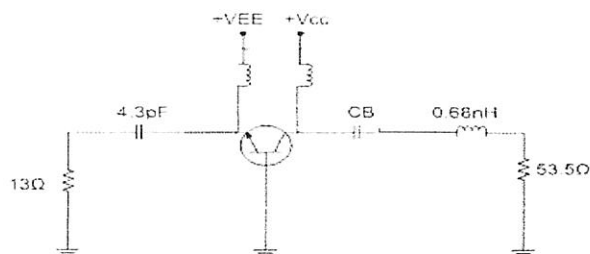
∴ จะได้ O/P ของวงจรคือ

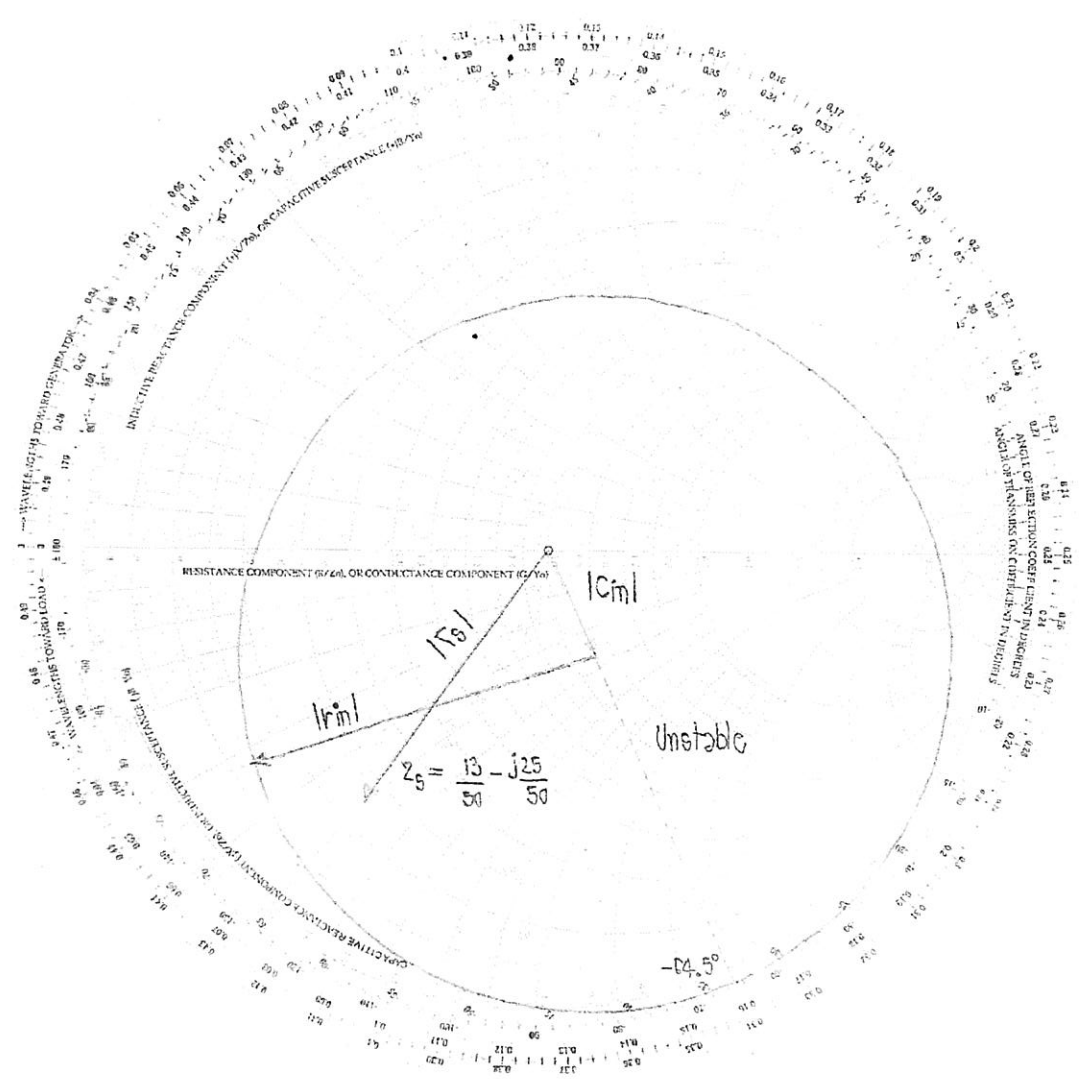


จาก $+j6.4\Omega$ จะได้

$$\begin{aligned}
 X_L &= 2\pi f L \\
 L &= \frac{X_L}{2\pi f} \\
 &= \frac{6.4}{2\pi(1.59)} \\
 &= 6.8 \times 10^{-10} \text{H} \\
 &= 0.68 \text{ nH}
 \end{aligned}$$

∴ ได้วงจรรวมคือ





SWR	TOWARD LOAD →										← TOWARD GENERATOR									
	10	9	8	7	6	5	4	3	2	1	1	2	3	4	5	6	7	8	9	10
∞	1	2	3	4	5	6	7	8	9	10	11	12	13	14	15	16	17	18	19	20
1	0.5	0.6	0.7	0.8	0.9	1.0	1.1	1.2	1.3	1.4	1.5	1.6	1.7	1.8	1.9	2.0	2.1	2.2	2.3	2.4
∞	0.5	0.4	0.3	0.2	0.1	0.0	0.1	0.2	0.3	0.4	0.5	0.6	0.7	0.8	0.9	1.0	1.1	1.2	1.3	1.4
∞	0.5	0.4	0.3	0.2	0.1	0.0	0.1	0.2	0.3	0.4	0.5	0.6	0.7	0.8	0.9	1.0	1.1	1.2	1.3	1.4
∞	0.5	0.4	0.3	0.2	0.1	0.0	0.1	0.2	0.3	0.4	0.5	0.6	0.7	0.8	0.9	1.0	1.1	1.2	1.3	1.4

ATTN: THE SWR
 IS A LOSS OF 10%
 SWR LOSS OF 10%
 TRANSM. COEFF. IS
 TRANSM. COEFF. IS 1

6.6 สรุป

ในบทนี้เป็นการออกแบบวงจรกำเนิดสัญญาณความถี่ โดยใช้หลักการออกแบบวงจรกำเนิดสัญญาณแบบความต้านทานลบโดยใช้ โครงข่ายสองพอร์ท ซึ่งในเนื้อหาประกอบด้วย เงื่อนไขที่จะทำให้เกิดการออสซิลเลตความถี่ อย่างเช่น $K < 1$, $\Gamma_{IN} \Gamma_S = 1$ และ $\Gamma_{OUT} \Gamma_T = 1$ จึงจะทำให้เกิดการออสซิลเลตความถี่ขึ้นได้ รวมไปถึงการพิจารณาเงื่อนไข เสถียรภาพของวงจร วงกลมเสถียรภาพทางด้านอินพุต การออกแบบแมตซ์ระดับ แทนวงจรแมตซ์ซิง L,C เมื่อให้วงจรมี เสถียรภาพมากขึ้นและ แสดงตัวอย่าง การคำนวณออกแบบวงจรกำเนิดสัญญาณความถี่ที่ 2 GHz และ 5.8 GHz พร้อมทั้ง ออกแบบวงจรบนอุปกรณ์ฐานรอง FR-4 สามารถกำเนิดสัญญาณได้จริง

คำถามท้ายบทที่ 6

- จากทรานซิสเตอร์ต้องการให้กำเนิดสัญญาณที่ความถี่ 2 GHz วงจรเบสร่วม (Common-Base) โดยมีค่าพารามิเตอร์ การกระจัดกระจาย

$$S_{11} = 0.94 \angle 174^\circ, S_{12} = 0.013 \angle -98^\circ, S_{21} = 1.9 \angle -28^\circ, S_{22} = 1.01 \angle -17^\circ$$
 จงหาค่า Rollett Stability factor และจากเงื่อนไขนี้สามารถสร้างเป็น วงจรกำเนิดสัญญาณได้หรือไม่
- จงหาค่าของ Rollett Stability factor ของทรานซิสเตอร์ที่ความถี่ 2 GHz โดยการเพิ่มค่า ความเหนี่ยวนำเข้าที่ขาเบสของทรานซิสเตอร์ โดยให้ค่าอยู่ในช่วง 0-2 nH ทรานซิสเตอร์ มีค่าพารามิเตอร์การกระจัดกระจายเท่ากับ

$$S_{11} = 0.94 \angle 174^\circ, S_{12} = 0.013 \angle -98^\circ, S_{21} = 1.9 \angle -28^\circ, S_{22} = 1.01 \angle -17^\circ$$
- จงออกแบบวงจรกำเนิดสัญญาณที่ความถี่ 10 GHz แบบวงจรเกตร่วม (Common-gate) ของ GaAs เฟท โดยมีค่าการไบแอส $V_{DS} = 6V, I_{DS} = 150mA$ และค่าของพารามิเตอร์การกระจัดกระจาย

$$S_{11} = 0.85 \angle -36^\circ, S_{12} = 0.22 \angle -36^\circ, S_{21} = 0.53 \angle 96^\circ, S_{22} = 1.125 \angle 171^\circ$$
- จงออกแบบวงจรกำเนิดสัญญาณที่ความถี่ 5 GHz แบบวงจรอิมิตเตอร์ร่วม (Common-Emitter) ของทรานซิสเตอร์ โดยมีค่าพารามิเตอร์การกระจัดกระจายและการไบแอสดังนี้

$$V_{CE} = 5V, I_C = 20mA, h_{fe} = 80, S_{11} = 0.87 \angle -40^\circ, S_{12} = 0.25 \angle -32^\circ, S_{21} = 0.6 \angle 100^\circ$$
 และ $S_{22} = 1.21 \angle 165^\circ$ โดยให้แมตซ์กับ โหลด $Z_L = 50\Omega$ โดยสาย ไมโครสตริปบนแผ่นอุปกรณ์ฐานรอง ของ FR-4 ความหนา 40 mil, $\epsilon_r = 3.6$
- จงออกแบบวงจรกำเนิดสัญญาณแบบความถี่คง ที่โดยใช้อุปกรณ์แบบลัมพ์ของ ทรานซิสเตอร์วงจรเบสร่วม ให้ค่าไบแอส $V_{CE} = 3V$ ที่ความถี่ 1.5 GHz โดยมีค่า พารามิเตอร์การกระจัดกระจาย

$$S_{11} = 1.47 \angle 125^\circ, S_{12} = 0.327 \angle 130^\circ, S_{21} = 2.2 \angle -63^\circ, S_{22} = 1.23 \angle -45^\circ$$
- จงออกแบบวงจรกำเนิดสัญญาณโดยใช้ไมโครสตริป ของเฟทแบบวงจรเกตร่วม ที่ความถี่ 10 GHz แมตซ์โหลด $Z_L = 50\Omega$ โดยมีค่าพารามิเตอร์การกระจัดกระจาย

$$S_{11} = 0.37 \angle -176^\circ, S_{12} = 0.17 \angle 19.8^\circ, S_{21} = 1.37 \angle -20.7^\circ, S_{22} = 0.90 \angle -25.6^\circ$$

APPENDIX A

ปริมาณเวกเตอร์

ในบทเรียนต่างๆของหนังสือได้มีการอธิบายเกี่ยวกับสมการเวกเตอร์ไว้เพื่อให้ผู้อ่านได้ทบทวนความรู้ก่อน ส่วนในภาคผนวกได้มีการรวบรวมเนื้อหาสาระเกี่ยวกับการบวก ลบ คูณ หารเวกเตอร์ เพื่อช่วยให้ผู้อ่านเข้าใจได้ง่ายขึ้น

ตัวอย่างในรูป A-1 แสดงให้เห็นว่าปริมาณเวกเตอร์สามารถแสดงได้ทั้งในรูปของพิกัดฉากและรูปของโพลาร์ ซึ่งในพิกัดฉากจะแสดงปริมาณเวกเตอร์ในรูปผลบวกของระยะพิกัด(x,y) ดังนั้นเวกเตอร์ A จะแสดงในรูปผลบวกของ 5 หน่วยในแกน x และ 5 หน่วยในแกน y หรือ $A=5+j5$ ในทำนองเดียวกัน ปริมาณเวกเตอร์สามารถเขียนให้อยู่ในรูปของโพลาร์ โดยหาจากระยะทาง R ที่วัดจากจุดเริ่มต้น และมุม θ ที่วัดจากแกน x ซึ่งในตัวอย่างวัดระยะทางได้ 7.07 วัดมุมได้ 45°

$$A=5+j5 \quad \text{หรือ} \quad A=7.07 \angle 45^\circ$$

ในทำนองเดียวกัน, เวกเตอร์ B เขียนในพิกัดฉากได้ $5-j10$ หรือในรูปโพลาร์ได้ $11.18 \angle -63.4^\circ$ (หมายเหตุ มุมติดลบจะหมุนตามเข็มนาฬิกา มุมบวกจะหมุนทวนเข็มนาฬิกา)

พิกัดฉาก/โพลาร์ และการแปลงค่า พิกัดฉาก/โพลาร์

ในการแปลงค่าจะใช้สมการคำนวณทางคณิตศาสตร์ง่ายๆ เวกเตอร์ที่เขียนในรูปพิกัดฉากสามารถแปลงค่าให้อยู่ในรูปโพลาร์ โดยใช้สมการดังนี้

$$R = \sqrt{x^2+y^2} \quad \text{และ} \quad \theta = \arctan (y/x)$$

ส่วนการแปลงค่าจากโพลาร์ ให้อยู่ในรูปพิกัดฉากจะใช้สมการดังนี้

$$x = R \cos \theta \quad \text{และ} \quad y = R \sin \theta$$

การบวกเวกเตอร์

ปริมาณเวกเตอร์ 2 เวกเตอร์สามารถบวกได้ โดยจะแยกบวกในส่วนแกน x และแกน y

ตัวอย่าง A-1

อินพุตอิมพีแดนซ์ของทรานซิสเตอร์ $Z=25-j10 \Omega$ จงแปลงค่าอิมพีแดนซ์นี้ให้อยู่ในรูปโพลาร์

วิธีทำ

ระยะทาง (R) ของเวกเตอร์ หาได้จาก

$$\begin{aligned} R &= \sqrt{x^2+y^2} \\ &= \sqrt{25^2+100} \\ &= 26.9 \end{aligned}$$

มุมจากแกน X หาได้จาก

$$\begin{aligned} \theta &= \arctan (y/x) \\ &= \arctan (-10/25) \\ &= -21.8^\circ \end{aligned}$$

ดังนั้น เราสามารถแปลงค่า จาก $Z=25-j10$ □ ให้อยู่ในรูปโพลาร์ได้โดย $Z=26.9\angle-21.8^\circ \Omega$

Exampel A-2

กำหนดค่า input impedance $Z = 26.9 \angle -21.8^\circ$ จงแปลงให้อยู่ในรูป rectangular form

Solution

First:

$$\begin{aligned}x &= R \cos \theta \\&= 26.9 \cos (-21.8^\circ) \\&= 26.9 (0.9285) \\&= 25\end{aligned}$$

and, then,

$$\begin{aligned}y &= R \sin \theta \\&= 26.9 \sin (-21.8^\circ) \\&= 26.9 (0.9285) \\&= -10\end{aligned}$$

จะได้ว่า $Z = 25 - j10$ ohms

Vector Subtraction (การลบเวกเตอร์)

การลบเวกเตอร์จะมีกระบวนการกระทำที่คล้ายกับการบวกเวกเตอร์ ดังจะแสดงให้เห็นในสองตัวอย่างต่อไปนี้

Example A-3

กำหนดค่า impedance $Z_1 = 11.18 \angle 63.4^\circ$ ohms อนุกรมกับ impedance $Z_2 = 18.03 \angle -56.3^\circ$ ohms
จงหาค่า impedance (Z_T) ที่ได้จากการอนุกรมกัน ให้อยู่ในรูปของ rectangular

Solution

สำหรับการบวกกันนั้นเราสามารถกระทำได้โดย การนำค่าอิมพีแดนซ์ แต่ละตัวมาแปลงค่าให้อยู่ในรูปของ rectangular เสียก่อน

For Z_1 :

$$\begin{aligned}x_1 &= R_1 \cos \theta_1 \\&= 11.18 \cos (63.4^\circ) \\&= 5 \\y_1 &= R_1 \sin \theta_1 \\&= 11.18 \sin (63.4^\circ) \\&= 10\end{aligned}$$

จะได้ว่า $Z_1 = 5 + j10$ ohms.

For Z_2 :

$$\begin{aligned}x_2 &= R_2 \cos \theta_2 \\ &= 18.03 \cos (-56.3^\circ) \\ &= 10 \\ y_2 &= R_2 \sin \theta_2 \\ &= 18.03 \sin (-56.3^\circ) \\ &= -15\end{aligned}$$

จะได้ว่า $Z_2 = 10 - j15$ ohms.

เราจะทำการบวกกันโดยแยกการบวกค่า x และ y

$$\begin{aligned}x_T &= x_1 + x_2 \\ &= 5 + 10 \\ &= 15 \\ y_T &= y_1 + y_2 \\ &= 10 - 15 \\ &= -5\end{aligned}$$

จะได้ว่า $Z_T = 15 - j5$ ohms.

Example A-4

กำหนดค่าต่างๆดังนี้

$$V_1 = 11.18 \angle 63.4^\circ$$

$$V_2 = 18.03 \angle -56.3^\circ$$

จงหา $V_T = V_1 - V_2$

Solution:

สำหรับการลบกันนั้นเราสามารถกระทำได้โดย การนำค่าอิมพีแดนซ์ แต่ละตัวมาแปลงค่าให้อยู่ในรูปของ rectangular เสียก่อน

For V_1 :

$$\begin{aligned}x_1 &= R_1 \cos \theta_1 \\ &= 11.18 \cos (63.4^\circ) \\ &= 5 \\ y_1 &= R_1 \sin \theta_1 \\ &= 11.18 \sin (63.4^\circ) \\ &= 10\end{aligned}$$

จะได้ว่า $V_1 = 5 + j10$ ohms.

For V_2 :

$$\begin{aligned}x_2 &= R_2 \cos \theta_2 \\&= 18.03 \cos (-56.3^\circ) \\&= 10 \\y_2 &= R_2 \sin \theta_2 \\&= 18.03 \sin (-56.3^\circ) \\&= -15\end{aligned}$$

จะได้ว่า $V_2 = 10 - j15$ ohms.

เราจะทำการบวกกันโดยแยกการบวกค่า x และ y

$$\begin{aligned}x_T &= x_1 - x_2 \\&= 5 - 10 \\&= -5 \\y_T &= y_1 - y_2 \\&= 10 - (-15) \\&= 25\end{aligned}$$

จะได้ว่า $Z_T = -5 + j25$ ohms.

Vector Multiplication (การคูณเวกเตอร์)

ในการนำเวกเตอร์สองเวกเตอร์มาคูณกันนั้นเราสามารถที่จะกระทำในรูปของ Polar form ได้เลย โดยการนำค่าจริง (R) มาคูณกันได้เลย สำหรับค่าของมุม (θ) จะนำมาบวกกัน(ดังแสดงที่ Example A-5)

$$R_T = R_1 R_2 \quad \text{and} \quad \theta_T = \theta_1 + \theta_2$$

Vector Division (การหารเวกเตอร์)

ในการนำเวกเตอร์สองเวกเตอร์มาหารกันนั้นเราสามารถที่จะกระทำในรูปของ Polar form ได้เลย โดยการนำค่าจริง (R) มาหารกันได้เลย สำหรับค่าของมุม (θ) จะนำมาลบกัน(ดังแสดงที่ Example A-6)

$$R_T = R_1 / R_2 \quad \text{and} \quad \theta_T = \theta_1 - \theta_2$$

Real, Imaginary, and magnitude Components

ตัวอย่าง A-5

สำหรับทรานซิสเตอร์, $S_{21} = 5.6 \angle 60^\circ$ และ $S_{12} = 0.1 \angle 30^\circ$ จงหาผลลัพธ์ของ $S_{21} S_{12}$

วิธีทำ

ค่าตัวแปร S อยู่ในรูปของเชิงขั้วเรียบร้อยแล้ว ดังนั้น

$$R_T = R_1 R_2$$

$$= (5.6)(0.1)$$

$$= 0.56$$

และ

$$\theta_T = \theta_1 + \theta_2$$

$$= 60^\circ + 30^\circ$$

$$= 90^\circ$$

ดังนั้นผลลัพธ์ของ $S_{21}S_{12}$ คือ $0.56 \angle 90^\circ$

ตัวอย่าง A-6

แสดงการหารเวกเตอร์ดังต่อไปนี้

$$V_T = \frac{V_1}{V_2}$$

ซึ่ง $V_1 = 4 \angle 60^\circ$

$$V_2 = 5 + j5$$

วิธีทำ

V_1 อยู่ในรูปเชิงขั้วแล้ว จึงเปลี่ยน V_2 ให้อยู่ในรูปของเชิงขั้ว $V_2 = 7.071 \angle 45^\circ$

$$\begin{aligned} \text{นำขนาดมาหาร } R_T &= \frac{R_1}{R_2} \\ &= \frac{40}{7.071} \\ &= 5.66 \end{aligned}$$

$$\begin{aligned} \text{นำมุมมาลบ } \theta_T &= \theta_1 - \theta_2 \\ &= 60^\circ - 45^\circ \\ &= 15^\circ \end{aligned}$$

ดังนั้นผลหารคือ $5.66 \angle 15^\circ$

ขนาดของ complex vector (ตัวอย่าง A-7) อาจอธิบายได้โดย

เมื่อให้ complex vector V ซึ่ง

$$\begin{aligned} V &= R \angle \theta \\ &= x + jy \end{aligned}$$

ส่วนที่เป็นจำนวนจริงคือ $\text{Re}(V) = x$

ส่วนที่เป็นจำนวนจินตภาพคือ $\text{Im}(V) = jy$

และขนาดของ vector V คือ $|V| = R$

ตัวอย่าง A-7

กำหนดให้ $V = 10\angle 60^\circ$ จงหา $\text{Re}(V)$, $\text{Im}(V)$ และ $|V|$

วิธีทำ

ขั้นแรก ทำ vector ให้อยู่ในรูปแบบ rectangular

$$x = R \cos \theta$$

$$= 10 \cos(60^\circ)$$

$$= 5$$

$$y = R \sin \theta$$

$$= 10 \sin(60^\circ)$$

$$= 8.66$$

ดังนั้น

$$V = 5 + j8.66$$

$$\text{Re}(V) = 5$$

$$\text{Im}(V) = j8.66$$

$$|V| = 10$$

APPENDIX B

สัญญาณรบกวน

สัญญาณรบกวน เป็นสัญญาณที่เราไม่ต้องการ ไม่ว่าจะ เป็นในระบบ ไดนามิค-อิเล็กทรอนิกส์ หรือระบบอิเล็กทรอนิกส์เองก็ตาม สัญญาณนี้อาจเกิด โดยธรรมชาติหรืออาจเกิดจากตัวอุปกรณ์ที่ประคิษฐ์ขึ้น สัญญาณรบกวนที่มีในบรรยากาศอาจเกิดจากพลังงานที่มากมายของดวงอาทิตย์ทำให้ก่อตัวเป็น Thermal noise สัญญาณรบกวนนี้เป็นอุปสรรคที่เราต้องกำจัดทิ้งไป จุดประสงค์ของภาคผนวกนี้ก็คืออธิบายเกี่ยวกับสัญญาณรบกวนอย่างง่าย แหล่งกำเนิดสัญญาณรบกวน เช่น ในการออกแบบแผงวงจร Amplifier และในการออกแบบ Receiver ถ้วนแล้วแต่มีสัญญาณรบกวนทั้งนั้น

ชนิดของสัญญาณรบกวน

ในระดับนี้จะอธิบายเกี่ยวกับสัญญาณรบกวน 2 ประเภท คือ Thermal noise และ Shot noise

Thermal noise

เป็นสัญญาณรบกวนที่เกิดขึ้นจากการเพิ่มอุณหภูมิ ซึ่งในตัวไปจะมีอุณหภูมิมากกว่า 0° เคลวิน การเคลื่อนที่อย่างสุ่มของประจุในตัวนำจะทำให้เกิดกระแสและแรงดัน ซึ่งกระแสและแรงดันนี้จะเป็ตัวทำให้เกิด noise อุณหภูมิที่สูงขึ้นของตัวนำก่อให้เกิดสัญญาณรบกวนขึ้น โดยมีสมการการคำนวณดังนี้

$$V = \sqrt{4kTRB}$$

ซึ่ง

V = แรงดันของสัญญาณรบกวน

K = ค่าคงที่ของ Boltzmann (1.38×10^{-23} j/ kelvin)

T = อุณหภูมิสมมูลของเคลวิน

R = ความต้านทานของตัวนำ

B = Bandwidth

จากสมการจะเห็นว่า Bandwidth มีผลต่อ noise โดยตรงถ้า Bandwidth ของระบบแคบจะส่งผลให้ Thermal noise มีค่าลดลงด้วย

ตัวอย่าง

หาค่าแรงดันของสัญญาณรบกวน ที่เกิดขึ้น โดย ความต้านทาน $10 \text{ K}\Omega$ ที่อุณหภูมิห้อง (293 Kelvin)

Bandwidth 10 MHz

วิธีทำ

จาก

$$\begin{aligned} V &= \sqrt{4kTRB} \\ &= \sqrt{4(1.38 \times 10^{-23})(293)(10000)(10 \times 10^6)} \\ &= 40.22 \times 10^{-6} \text{ V} \end{aligned}$$

Thermal noise นี้คล้ายกับ Johnson noise และ white noise

Short noise

เป็นสัญญาณรบกวนอีกประเภท ที่มีอนุภาคคล้ายตัวนำ บ่อยครั้งที่สัญญาณรบกวนจะเกิดจากกระแสตรงที่ใหญ่ในวัสดุที่ตัวนำซึ่งการไหลของกระแสจะเกิดอิเล็กตรอน และโฮล การที่กระแสเปลี่ยนไปนี้จะทำให้เกิดสัญญาณรบกวน Short noise หรือบ่อยครั้งเรียกว่า Schottky noise ซึ่งหาได้จากสมการ

$$I_n^2 = 2qI_{dc}B$$

ซึ่ง

I_n^2 = กระแสของสัญญาณรบกวน

q = จำนวนอิเล็กตรอน (1.6×10^{-19} C)

I_{dc} = กระแสตรง (A)

B = Bandwidth (Hz)

Noise Figure

Noise Figure หรือ NF เป็นปริมาณที่ใช้ในการเปรียบเทียบสัญญาณรบกวนภายในเครือข่าย กับสัญญาณรบกวน ideal ในเครือข่ายซึ่งสามารถคำนวณได้จาก signal to noise ratio (SNR) ระหว่างสัญญาณอินพุต กับสัญญาณเอาต์พุต

Network noise factor (F)

$$NF = 10 \log_{10} F \quad \text{dB} \quad (\text{Eq.B-3})$$

And

$$F = \frac{\text{Input SNR}}{\text{Output SNR}} \quad (\text{Eq.B-4})$$

Cascaded Devices

ในการคำนวณหาสัญญาณรบกวนจากรูปที่มีจำนวน stage ซึ่งนำมาต่อ cascaed มากกว่า 1 stage (Example B-2) เพื่อง่ายต่อการคำนวณ โดยทำการคำนวณทีละ Stage ดังสมการ (Eq.B-5)

$$F_{\text{TOTAL}} = F_1 + \frac{F_2 - 1}{G_1} + \frac{F_3 - 1}{G_1 G_2} + \frac{F_4 - 1}{G_1 G_2 G_3} \dots (\text{Eq.B-5})$$

F_n คือ noise factor แต่ละ stage

G_n คือ gain แต่ละ stage

โดย F_n G_n ไม่อยู่ในหน่วย dB

Example B-2

จากรูป Fig. B-1 เป็นการต่อ cascaed 3 stage ให้คำนวณหาสัญญาณรบกวน

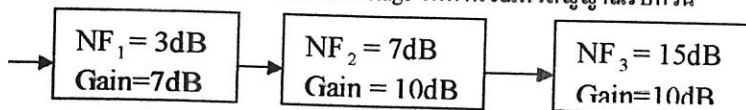


Fig. B-1 Block diagram for Example B-2

Solution

$$F_1=2, F_2=5, F_3=31.6$$

$$G_1=5, G_2=10, G_3=10$$

จากสมการที่ Eq.B-5

$$\text{ได้ } F_{\text{TOTAL}} = 2 + \frac{5-1}{5} + \frac{31.6-1}{5 \times 10}$$

3.4

$$NF = 10 \log_{10} 3.4$$

$$= 5.3 \text{ dB}$$

จากสมการที่ Eq.B-5 เมื่อทำการเปลี่ยนบาง stage ให้มีค่ามากที่สุดแล้วผลรวมของ F_{TOTAL} มีค่าใกล้เคียงกับ F_1 หรือส่งผลกระทบต่อ F_1 น้อยมากดังตัวอย่าง Example B-3 Lossy Networks เมื่อในระบบมีการสูญเสีย

Example B-3

จากตัวอย่างที่ Example B-3 เมื่อ first stage เป็น 25 dB

$$F_{\text{TOTAL}} = 2 + \frac{5-1}{316} + \frac{31.6-1}{316 \times 10}$$

= 2.022

$$NF = 10 \log_{10} 2.022$$

จะเห็นว่าหาก Stage ใดมีค่ามากที่สุด F_1 มีค่าใกล้เคียงกับ F_{TOTAL}

Example B-4

จากรูป B-2 ให้คำนวณหา NF ที่รับได้

จากรูป B-2

$$NF_c = 10 \text{ dB} + 7 \text{ dB} + 4 \text{ dB}$$

$$= 21 \text{ dB}$$

$$\text{หรือ } F_c = 126$$

$$F_{\text{preamp}} = F_P + \frac{F_c - 1}{G_{\text{Preamp}}}$$
$$= 2 + \frac{126 - 1}{10}$$

= 14.5

จากสมการที่ $NF = 10 \log_{10} F$ dB

$$NF_{\text{preamp}} = 10 \log_{10} 14.5$$

$$= 11.6 \text{ dB}$$

$$NF_{rev} = 11.6\text{dB} + 6\text{dB}$$

$$= 17.6\text{dB}$$

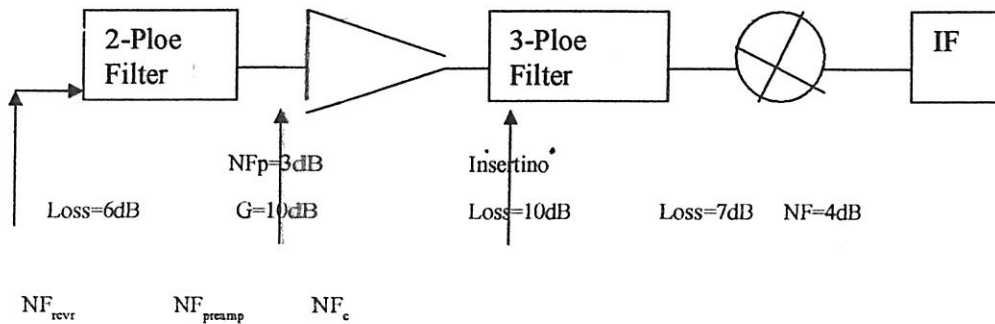


Fig.B-2 Receiver block diagram for Examples B-3

And B-4

การสูญเสีย 10 dB มาจาก NF 10 dB เหมือนกับ filter ที่มีการสูญเสียเพิ่มขึ้น 5 dB จาก NF 5 dB การสูญเสีย NF ในวงจร 2 หรือมากกว่า ที่นำมาต่อกัน สามารถหาได้ง่ายโดยการที่เพิ่ม การสูญเสียไปในแต่ละวงจร ดังนั้นถ้าเรารวมการสูญเสียที่มีอยู่ 10 dB จาก filter เข้ากับการสูญเสียที่เพิ่มขึ้น 3.5 dB ผลรวมของการสูญเสียในวงจรรวมจะมีค่า 13.5 dB (ตัวอย่าง B-4)

การคำนวณระบบการรับ

การสูญเสียจากอุณหภูมิที่มีเพิ่มเข้ามาในสัญญาณผ่านระบบหาได้จาก

$$n_0 = kTB \quad (\text{Eq. B-6})$$

ซึ่ง

n_0 = การสูญเสียในหน่วยวัตต์

k = ค่าคงที่ของ Boltzmann

T = อุณหภูมิในหน่วยเคลวิน

B = ความกว้างของการสูญเสียในวงจร

การสูญเสียในหน่วย dBm หาได้จาก

$$n_0 = 10 \log_{10} \frac{kTB}{1 \times 10^{-3}} \quad (\text{Eq. B-7})$$

ถ้าเราสามารถรู้ค่า n_0 และ NF (หรือคำนวณได้) ระดับสัญญาณที่ต้องใส่เข้าไป หาได้จาก signal-to-noise ratio ซึ่งสามารถหาได้ (ตัวอย่าง B-5)

$$S_1 = NF + n_0 + S/N \quad (\text{Eq. B-8})$$

ซึ่ง

S_i คือ สัญญาณขาเข้าที่เราต้องการ (หน่วย dBm)

NF คือ การสูญเสียที่ตัวรับ

n_0 คือ ค่าการสูญเสียจากอุณหภูมิของตัวรับ
(หน่วย dBm)

S/N คือ อัตราส่วนของ สัญญาณขาออกต่อการสูญเสีย(หน่วย dB)

ตัวอย่าง B-5

จากการใช้ block diagram ใน fig. B-2

จงคำนวณหาสัญญาณขาเข้าที่มี S/R 10dB ที่สัญญาณขาออก ซึ่งระดับความกว้างของการสูญเสียเท่ากับ 1.25 MHz

วิธีทำ

ค่า NF สามารถหาได้จาก ตัวอย่าง B-4 มีค่า 17.6 dB

คำนวณหา n_0 จาก Eq.B-7(สมมุติให้ห้องมีอุณหภูมิ 293 K)

$$n_0 = 10 \log_{10} \frac{(1.38 \times 10^{-23})(293)(1.25 \times 10^6)}{1 \times 10^{-3}}$$
$$= -133 \text{ dBm}$$

ดังนั้นสัญญาณขาเข้า คือ

$$S_i = NF + n_0 + S/N$$
$$= 17.6 - 113 + 10$$
$$= -85.4 \text{ dBm}$$